

สำนักหอสมุดกลาง พระจอมเกล้าลาดกระบัง

การทดสอบและออกแบบครอบเอาต์ฟิวส์และกับดักฟ้าผ่า
Test and Design of Drop - Out Fuse and Lightning Arrester



โดย
นายจักรเพชร แจ่มใส
นายสุพงษ์ วงษ์บุญชา

รฟ.
จ ๑๒๖๗
๑๕๑

เลขหมู่.....
เลขทะเบียน.....**82992**
วัน,เดือน,ปี.....**30 ก.ค. 2551**

b.....	11958480
i.....	

ปริญญานิพนธ์นี้เป็นส่วนหนึ่งของการศึกษาตามหลักสูตรปริญญาวิศวกรรมศาสตรบัณฑิต
สาขาวิชาวิศวกรรมไฟฟ้า

สถาบันเทคโนโลยีพระจอมเกล้าเจ้าคุณทหารลาดกระบัง

ปีการศึกษา 2550

เอกสารนี้เป็นเอกสารที่สงวนไว้สำหรับการใช้งานเพื่อการศึกษาเท่านั้น ไม่อนุญาตให้นำไปใช้ประโยชน์ด้านการค้า
ไม่ว่ากรณีใดๆ ทั้งสิ้น อีกทั้งห้ามมิให้ตัดแปลงเนื้อหา และต้องอ้างอิงถึงเจ้าของเอกสารทุกครั้งที่มีการนำไปใช้

การทดสอบและออกแบบครอบเอาต์ฟิวส์และกับดักฟ้าผ่า
Test and Design of Drop - Out Fuse and Lightning Arrester



อาจารย์ที่ปรึกษา

รศ.ศิริวัฒน์

โพธิเวชกุล

อ.นรเศรษฐ์

พัฒนเดช

อ.พีรวุฒิ

ยุทธโกวิท

เอกสารนี้เป็นเอกสารที่สงวนไว้สำหรับการใช้เพื่อการศึกษาเท่านั้น เมื่ออนุญาตให้นำไปใช้ประโยชน์ด้านการค้า
ไม่ว่ากรณีใดๆ ทั้งสิ้น อีกทั้งห้ามมิให้ตัดแปลงเนื้อหา และต้องอ้างอิงถึงเจ้าของเอกสารทุกครั้งที่มีการนำไปใช้

ปริญญาานิพนธ์ปีการศึกษา 2550

ภาควิชาวิศวกรรมไฟฟ้า


คณะวิศวกรรมศาสตร์ สถาบันเทคโนโลยีพระจอมเกล้าเจ้าคุณทหารลาดกระบัง


เรื่อง การทดสอบและออกแบบบตรอบเอาท์พิวส์และกับดักฟ้าผ่า

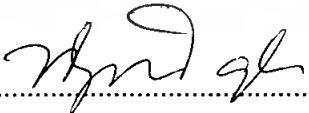
ผู้จัดทำ

1. นายจักรเพชร แจ่มใส 48015094
2. นายสุพงษ์ วงษ์บุญชา 48015140




.....อาจารย์ที่ปรึกษา
(รศ. ศิริวัฒน์ โพธิเวชกุล)


.....อาจารย์ที่ปรึกษา
(อาจารย์ นรเศรษฐ พัฒนเดช)


.....อาจารย์ที่ปรึกษา
(อาจารย์ พิชิต ยุทธโกวิท)

เอกสารนี้เป็นเอกสารที่สงวนไว้สำหรับการใช้งานเพื่อการศึกษาเท่านั้น ไม่อนุญาตให้นำไปใช้ประโยชน์ด้านการค้า
ไม่ว่ากรณีใดๆ ทั้งสิ้น อีกทั้งห้ามมิให้ตัดแปลงเนื้อหา และต้องอ้างอิงถึงเจ้าของเอกสารทุกครั้งที่มีการนำไปใช้

การทดสอบและออกแบบครอบเอาต์ไฟวส์และกับดักฟ้าผ่า

นายจักรเพชร	แจ่มใส	
นายสุพงษ์	วงษ์บุญชา	
รศ. ศิริวัฒน์	โพธิเวชกุล	อาจารย์ที่ปรึกษา
อ.นรเศรษฐ์	พัฒนเดช	อาจารย์ที่ปรึกษา
อ.พีรวุฒิ	ยุทธโกวิท	อาจารย์ที่ปรึกษา
ปีการศึกษา 2550		

บทคัดย่อ

ในปฏิญญานิพนธ์เล่มนี้จะนำเสนอการศึกษากระบวนการทดสอบและการออกแบบของครอบเอาต์ไฟวส์และกับดักฟ้าผ่า ตัวอย่างครอบเอาต์ไฟวส์ ระบบ 22 kV พิกัด 27 kV 100 A โดยทำการทดสอบตามมาตรฐาน ANSI C37.42-1996 ในหัวข้อความคงทนของฉนวนและตัวอย่างกับดักฟ้าผ่า พิกัด 21 kV 5 kA และ 24 kV 10 kA ถูกทดสอบตามมาตรฐาน IEEE 60099-4 ในหัวข้อความคงทนของฉนวน ผลการทดสอบทางไฟฟ้าลูกถ้วยของครอบเอาต์ไฟวส์ปรากฏว่าตัวครอบเอาต์ไฟวส์มีคุณสมบัติไม่เป็นไปตามมาตรฐานว่าด้วยความคงทนอยู่ได้ต่อแรงดันอิมพัลส์ ในส่วนของกับดักฟ้าผ่าปรากฏว่ากับดักฟ้าผ่าที่นำมาทดสอบมีคุณสมบัติตามข้อกำหนดของมาตรฐาน

จากผลการทดสอบจึงจำเป็นต้องทำการออกแบบลักษณะครีบนวนลูกถ้วยของครอบเอาต์ไฟวส์ใหม่ โดยใช้มาตรฐาน IEC 815 และข้อกำหนดของการไฟฟ้าส่วนภูมิภาค โดยแบบที่ได้จะใช้โปรแกรม FEMLAB 3.1 วิเคราะห์การกระจายสนามไฟฟ้าแล้วนำไปเปรียบเทียบกับลักษณะการกระจายสนามไฟฟ้าบนครีบนวนเดิม ซึ่งผลการเปรียบเทียบปรากฏว่าการกระจายสนามไฟฟ้าของครีบนวนที่ออกแบบใหม่จะมีการกระจายสนามไฟฟ้าที่ดีกว่าของเดิม เนื่องจากค่าความเครียดสนามไฟฟ้าสูงสุดที่เกิดขึ้นก็มีค่าน้อยกว่า ดังนั้น สามารถสรุปได้ว่าคุณลักษณะทางไฟฟ้าของลูกถ้วยฉนวนที่ออกแบบใหม่จะมีคุณสมบัติที่ดีกว่าครีบนวนที่มีใช้อยู่เดิม

Test and Design of Drop-Out Fuse and Lightning Arrester

Jagkapech Jamsai

Supong Vongbooncha

Assoc.Prof.Siriwat Potivejkul Advisor

Norasage Pattanadech Advisor

Peerawut Yutthakowit Advisor

Academic Year 2007

ABSTRACT

This project presents the electrical testing and design of drop-out fuses and lightning arresters. The drop-out fuses (open type), 22 kV 27 kV 100 A ,were tested accordamce with ANSI C-37.42 (1996) standard intopic of insulation test and the lightning arrester 21 kV 5 kA and 24 kV 10 kA, were tested arcording to IEC 60099-4 intopic of insulation test.The test results show that drop-out fuses could not pass. The test in case of impulse voltage withstand and the lightning arresters could pass the

From test result, the insurator of drop-out fuses were redesigned by IEC 815 and specification of PEA. FEMLAB 3.1 program was used to design electrical field stress on the surface of the insulator. The insulator sheds were redesign for reducing electrical field stress. The simulation tests show that the new design has better performance than the conventional one

กิตติกรรมประกาศ

ขอขอบพระคุณ รศ. ศิริวัฒน์ โพธิเวชกุล อาจารย์นเรศวรชฎ พัฒนเดช และ อาจารย์พีรภูมิ ยุทธโกวิท อาจารย์ที่ปรึกษาโครงการงานอย่างสูงที่ให้ความรู้และคอยแนะนำเกี่ยวกับโครงสร้างของโครงการ ตลอดจนการดูแลและเอาใจใส่เป็นอย่างดีและให้โอกาสในการเรียนรู้และประสบการณ์อันมีค่าในการปฏิบัติงานจริง

ขอขอบคุณ หจก. ส. กมลเทรดดิ้ง ที่สนับสนุนวัสดุอุปกรณ์ในการทดสอบและความร่วมมือด้วยดีตลอดมา

ขอขอบคุณ สำนักงานกองทุนสนับสนุนการวิจัย (สกว.) และโครงการ IRPUS ที่ให้การสนับสนุนทุนวิจัย

ขอขอบคุณ รุ่นพี่ปริญญาโท ที่ให้ความช่วยเหลือและคำปรึกษาต่างๆเป็นอย่างดี

ขอขอบคุณ เพื่อนๆ ทุกคนที่ให้ความร่วมมือและช่วยเหลือด้วยดีตลอดมา

อนึ่งโครงการวิจัยชิ้นนี้สำเร็จลุล่วงไปด้วยดีเนื่องด้วยความช่วยเหลือและมีน้ำใจของทุกท่านที่ได้กล่าวมาแล้วข้างต้น และคณะผู้จัดทำขอกราบขอบพระคุณบิดา มารดา ที่คอยให้ความสนับสนุนและส่งเสริมทางด้านปัจจัยต่างๆจนทำให้ปริญญาโทฉบับนี้แล้วเสร็จได้ด้วยดี

คณะผู้จัดทำ

สารบัญ

หน้า

บทคัดย่อ.....	I
ASBTRACT.....	II
กิตติกรรมประกาศ.....	III
สารบัญ.....	IV
สารบัญภาพ.....	VII
สารบัญตาราง.....	XIII
บทที่ 1 บทนำ.....	1
1.1 บทนำทั่วไป.....	1
1.2 ที่มาของปัญหา.....	1
1.3 วัตถุประสงค์.....	2
1.4 ขอบเขตและข้อกำหนดของโครงการ.....	2
1.5 ประโยชน์ที่ได้รับจากการทำโครงการ.....	4
บทที่ 2 ทฤษฎีที่เกี่ยวข้อง.....	5
2.1 ทฤษฎีการเกิดฟ้าผ่า.....	5
2.1.1 ฟ้าผ่าขึ้นหรือฟ้าผ่าลง.....	5
2.1.2 ขั้วของกระแสฟ้าผ่า.....	7
2.1.3 รูปคลื่นกระแสฟ้าผ่า.....	7
2.1.4 ฟ้าผ่าซ้ำหลายลำ.....	8
2.2 แรงดันไฟฟ้าเกินในระบบส่งจ่ายกำลังไฟฟ้า.....	10
2.2.1 แรงดันเกินภายนอก.....	10
2.2.2 แรงดันเกินภายใน.....	10
2.2.3 แรงดันเกินชั่วคราว.....	11
2.3 ดรอพเอาร์ทพีวส์.....	11
2.3.1 ชนิดของดรอพเอาร์ทพีวส์.....	12
2.3.2 พีวส์ลิงค์.....	13
2.3.3 ความสัมพันธ์ระหว่างกระแสและเวลา.....	14
2.4 กั๊บดักฟ้าผ่า.....	15
2.4.1 กั๊บดักฟ้าผ่าแบบมีแก๊ป.....	16
2.4.2 กั๊บดักฟ้าผ่าแบบไม่มีแก๊ป.....	17
2.4.3 กั๊บดักฟ้าผ่าแบบมีแก๊ปทำงานร่วมกับชิงค์ออกไซด์.....	18
2.4.4 ลักษณะสมบัติแรงดัน – กระแสของกั๊บดักฟ้าผ่า.....	19

เอกสารนี้เป็นเอกสารที่สงวนไว้สำหรับการใช้งานเพื่อการศึกษาเท่านั้น เมื่อนุญาตให้นำไปใช้ประโยชน์ด้านการค้า
ไม่ว่ากรณีใดๆ ทั้งสิ้น อีกทั้งห้ามมิให้ตัดแปลงเนื้อหา และต้องอ้างอิงถึงเจ้าของเอกสารทุกครั้งที่มีการนำไปใช้

สารบัญ (ต่อ)

หน้า

2.5 การทดสอบอิมพัลส์.....	21
2.5.1 ข้อกำหนดของรูปคลื่นอิมพัลส์.....	21
2.5.2 แรงดันอิมพัลส์รูปคลื่นฟ้าผ่า.....	22
2.6 การวัดแรงดันสูงด้วยอิมพัลส์โวลเตจดีไวเดอร์.....	24
2.6.1 โวลเตจดีไวเดอร์.....	25
2.6.2 แท่งตัวนำแรงสูง.....	25
2.6.3 ความต้านทานหน่วง.....	25
2.6.4 ออสซิลโลสโคป.....	26
2.6.5 เคเบิลวัด.....	26
2.6.6 ความต้านทานแมชชิง.....	26
2.6.7 สายดิน.....	27
2.7 การตรวจจับดีสชาร์จบางส่วน.....	27
2.7.1 ผลกระทบของดีสชาร์จบางส่วน.....	28
2.7.2 วงจรสมมูลของดีสชาร์จบางส่วน.....	28
2.7.3 ประจุที่ปรากฏและประจุที่วัดได้.....	30
2.7.4 วงจรพื้นฐานสำหรับวัดดีสชาร์จบางส่วน.....	31
2.7.5 การต่อวงจรระบบวัดดีสชาร์จบางส่วนในวงจรทดสอบ.....	35
2.7.6 การแสดงผลดีสชาร์จภายใน.....	36
2.8 การออกแบบครีบนวนโพลีเมอร์ของกัปกักฟ้าผ่าแบบไม่มีแกป.....	37
2.8.1 ลักษณะมิติที่สำคัญของกัปกักฟ้าผ่า.....	38
2.8.2 การใช้งานกัปกักฟ้าผ่าในสภาวะเปรอะเปื้อน.....	38
2.8.3 แนวทางการแก้ไขการเกิดวาบไฟตามผิวฉนวนของกัปกักฟ้าผ่า อันเนื่องจากการใช้งานในบริเวณเปรอะเปื้อน.....	41
2.8.4 การออกแบบกัปกักฟ้าผ่าเพื่อใช้งานในบริเวณเปรอะเปื้อน.....	42
2.9 ไฟไนต์เอลิเมนต์.....	44
บทที่ 3 การทดสอบคุณสมบัติทางไฟฟ้าของดรอพเอาร์ทิวส์และกัปกักฟ้าผ่าแบบไม่มีแกป...50	
3.1 การทดสอบคุณสมบัติทางไฟฟ้าของดรอพเอาร์ทิวส์สภาวะปกติผิวแห้งสะอาด...50	
3.1.1 การทดสอบความทนอยู่ได้ต่อแรงดันที่ความถี่กำลังต่อเนื่อง.....	51
3.1.2 การทดสอบความทนอยู่ได้ต่อแรงดันอิมพัลส์.....	55

เอกสารนี้เป็นเอกสารที่สงวนลิขสิทธิ์ไว้เพื่อใช้ในการศึกษาเท่านั้น ไม่อนุญาตให้นำไปใช้หรือเผยแพร่
ไม่ว่ากรณีใดๆ ทั้งสิ้น อีกทั้งห้ามมิให้ตัดแปลงเนื้อหา และต้องอ้างอิงถึงเจ้าของเอกสารทุกครั้งที่มีการนำไปใช้

สารบัญ (ต่อ)

หน้า

3.2.1 การทดสอบบาร์ดีซาร์จบางส่วน.....	63
3.2.2 การทดสอบหาแรงดันเริ่มทำงาน.....	73
3.2.3 การทดสอบหากระแสรั่วไหล.....	75
บทที่ 4 การออกแบบครีบนวนครอบเอาต์พิวส์และกับดักฟ้าผ่าและ การวิเคราะห์สนามไฟฟ้า.....	78
4.1 การออกแบบครีบนวนครอบเอาต์พิวส์.....	78
4.2 การออกแบบครีบนวนกับดักฟ้าผ่า.....	103
บทที่ 5 บทสรุป.....	107
5.1 สรุปการจัดทำโครงการ.....	107
5.2 สรุปผลการทดลอง.....	107
5.2.1 สรุปการทดสอบความทนอยู่ได้ต่อแรงดันที่ความถี่กำลังต่อเนื่องของ ครอบเอาต์พิวส์.....	107
5.2.2 สรุปการทดสอบความทนอยู่ได้ต่อแรงดันอิมพัลส์.....	107
5.2.3 สรุปผลการทดสอบการดีซาร์จบางส่วนในกับดักฟ้าผ่า.....	108
5.2.4 สรุปผลการทดสอบการหาแรงดันเริ่มทำงานของกับดักฟ้าผ่า.....	108
5.2.5 สรุปผลการทดสอบการหากระแสรั่วไหลของกับดักฟ้าผ่า.....	108
5.3 สรุปผลการออกแบบและการวิเคราะห์สนามไฟฟ้า.....	109
5.3.1 สรุปผลการออกแบบและการวิเคราะห์สนามไฟฟ้าของครอบเอาต์พิวส์.....	109
5.3.2 สรุปผลการออกแบบและการวิเคราะห์สนามไฟฟ้าของกับดักฟ้าผ่า.....	117
5.4 ปัญหาและข้อเสนอแนะที่พบระหว่างดำเนินงาน.....	121
ภาคผนวก.....	111
เอกสารอ้างอิง.....	124

เอกสารนี้เป็นเอกสารที่สงวนไว้สำหรับการใช้งานเพื่อการศึกษาเท่านั้น ไม่อนุญาตให้นำไปใช้ประโยชน์ด้านการค้า
ไม่ว่ากรณีใดๆ ทั้งสิ้น อีกทั้งห้ามมิให้ตัดแปลงเนื้อหา และต้องอ้างอิงถึงเจ้าของเอกสารทุกครั้งที่มีการนำไปใช้

สารบัญภาพ

หน้า

ภาพที่ 2.1	ลักษณะของหัวนำร่อง.....	6
ภาพที่ 2.2	ลักษณะของฟ้าผ่าขึ้น.....	6
ภาพที่ 2.3	รูปคลื่นของกระแสฟ้าผ่า.....	7
ภาพที่ 2.4	รูปคลื่นของฟ้าผ่าบวกและฟ้าผ่าลบ.....	8
ภาพที่ 2.5	กระบวนการฟ้าผ่าซ้ำ.....	9
ภาพที่ 2.6	เปรียบเทียบลักษณะแรงดันเกินภายนอก , แรงดันเกินภายใน และแรงดันเกินชั่วคราว.....	11
ภาพที่ 2.7	การติดตั้งครอบเอาต์ไฟวส์ที่ใช้งานในระบบไฟฟ้า.....	12
ภาพที่ 2.8	ส่วนประกอบหลักของครอบเอาต์ไฟวส์.....	13
ภาพที่ 2.9	ส่วนประกอบของไฟวส์ลิงค์.....	13
ภาพที่ 2.10	คุณสมบัติการทำงานของไฟวส์ลิงค์.....	14
ภาพที่ 2.11	การติดตั้งกับดักฟ้าผ่าที่ใช้งานในระบบส่งจ่าย.....	16
ภาพที่ 2.12	โครงสร้างของกับดักฟ้าผ่าแบบมีแก๊ป.....	16
ภาพที่ 2.13	โครงสร้างของกับดักฟ้าผ่าแบบไม่มีแก๊ป.....	18
ภาพที่ 2.14	ZnO ที่อยู่ภายในกับดักฟ้าผ่า.....	18
ภาพที่ 2.15	กับดักฟ้าผ่าที่มีโครงสร้างที่ประกอบด้วย คู่ขั้วเบี่ยงอาร์คหรือ อาร์คชิ่งฮอร์นต่ออนุกรมกับชิ่งค้อออกไซด์.....	19
ภาพที่ 2.16	การนำกระแสและแรงดันที่ตกคร่อมกับดักฟ้าผ่าแบบไม่มีแก๊ป.....	20
ภาพที่ 2.17	แรงดันอิมพัลส์ฟ้าผ่ารูปคลื่นเต็ม.....	22
ภาพที่ 2.18	แรงดันอิมพัลส์รูปคลื่นตัด.....	23
ภาพที่ 2.19	วงจรพื้นฐานการทดสอบด้วยแรงดันอิมพัลส์.....	24
ภาพที่ 2.20	รูปแบบของดีสชาร์จบางส่วน.....	28
ภาพที่ 2.21	วงจรสมมูลของวัสดุที่มีโพรงก๊าซและเกิดดีสชาร์จบางส่วนภายใน.....	29
ภาพที่ 2.22	การดีสชาร์จบางส่วนในโพรงก๊าซในวัสดุฉนวน.....	30
ภาพที่ 2.23	ผลของค่าตัวเก็บประจุคาบเกี่ยว C_k ต่อความไวการวัด q_m/q ซึ่งขึ้นอยู่กับ C_k/C_r	32
ภาพที่ 2.24	วงจรพื้นฐานของการวัดดีสชาร์จบางส่วน.....	33
ภาพที่ 2.25	รูปคลื่นกระแสและแรงดันทดสอบของดีสชาร์จบางส่วน.....	34
ภาพที่ 2.26	วงจรทดสอบตรวจจับดีสชาร์จบางส่วนโดยตรง.....	35
ภาพที่ 2.27	การแสดงผลการดีสชาร์จบางส่วน.....	37

เอกสารนี้เป็นเอกสารที่สงวนไว้สำหรับการใช้งานเพื่อการศึกษาเท่านั้น ไม่อนุญาตให้นำไปใช้ประโยชน์ด้านการค้า
ไม่ว่ากรณีใดๆ ทั้งสิ้น อีกทั้งห้ามมิให้ตัดแปลงเนื้อหา และต้องอ้างอิงถึงเจ้าของเอกสารทุกครั้งที่มีการนำไปใช้

สารบัญภาพ (ต่อ)

หน้า

ภาพที่ 2.28	ลักษณะทางมิติที่สำคัญของกับดักฟ้าผ่า.....	38
ภาพที่ 2.29	ความเสียหายที่มีสาเหตุจากการมีสาเหตุจากการเกิดวابلไฟตามผิว ของกับดักฟ้าผ่า.....	38
ภาพที่ 2.30	ขั้นตอนการเกิดวابلไฟตามผิวที่ผิวฉนวนจากสิ่งเปราะเปื้อน.....	40
ภาพที่ 2.31	ลักษณะการออกแบบครีปตามมาตรฐาน IEC 815.....	43
ภาพที่ 2.32	รูปแบบของครีปประเภทต่าง ๆ	43
ภาพที่ 2.33	ลักษณะของตัวอย่างแผ่นอะลูมิเนียมที่ใช้วิเคราะห์เปรียบเทียบระหว่างวิธีการ ผลต่างสืบเนื่องกับวิธีการไฟไนต์เอลิเมนต์.....	45
ภาพที่ 2.34	แผ่นอะลูมิเนียมที่วิเคราะห์โดยใช้วิธีการผลต่างสืบเนื่อง (ก) กับวิธีการไฟไนต์เอลิเมนต์ (ข).....	45
ภาพที่ 2.35	ตัวอย่างการแบ่งขอบเขตรูปร่างเป็นเอลิเมนต์ย่อย.....	47
ภาพที่ 2.36	จุดต่อของเอลิเมนต์ย่อย.....	47
ภาพที่ 3.1	ดรอปปะลาที่ฟิวส์ที่ใช้ในการทดสอบพิกัด 27 kV 100 A	50
ภาพที่ 3.2	วงจรทดสอบความทนอยู่ได้ต่อแรงดันที่ความถี่กำลังต่อเนื่อง.....	52
ภาพที่ 3.3	แผนภาพที่ใช้ในการทดสอบความคงทนต่อแรงดันวابلไฟตามผิวในสภาวะปกติ..	54
ภาพที่ 3.4	วงจรทดสอบความทนอยู่ได้ต่อแรงดันอิมพัลส์.....	56
ภาพที่ 3.5	วงจรทดสอบความทนอยู่ได้ต่อแรงดันอิมพัลส์ของดรอปปะลาฟิวส์.....	57
ภาพที่ 3.6	รูปคลื่นแรงดันอิมพัลส์ชั่ววอกที่ใช้ทดสอบที่ระดับแรงดัน 139.54 kV T1= 1.10 μ S, T2 = 47.56 μ S.....	58
ภาพที่ 3.7	รูปคลื่นแรงดันอิมพัลส์ชั่ววอกที่ใช้ทดสอบที่ระดับแรงดัน 140 kV T1= 1.14 μ S, T2 = 46.35 μ S.....	58
ภาพที่ 3.8	รูปคลื่นแรงดันอิมพัลส์ชั่ววอกของดรอปปะลาฟิวส์ตัวอย่างที่ 2 ต่อแบบ เทอร์มินอล -กราวด์ ระดับแรงดัน 139.54 kV ที่เกิดวابلไฟตามผิว.....	59
ภาพที่ 3.9	รูปคลื่นแรงดันอิมพัลส์ชั่ววอกของดรอปปะลาฟิวส์ตัวอย่างที่ 1 ต่อแบบ เทอร์มินอล - เทอร์มินอล ระดับแรงดัน 139.547 kV ที่เกิดวابلไฟตามผิว.....	59
ภาพที่ 3.10	กับดักฟ้าผ่าที่ใช้ในการศึกษา กับดักฟ้าผ่าพิกัด 21 kV 5kA.....	62
ภาพที่ 3.11	วงจรทดสอบการดิสชาร์จบางส่วนของกับดักฟ้าผ่า ZnO.....	63
ภาพที่ 3.12	แสดงผลการการปรับเทียบ วงจรทดสอบการดิสชาร์จบางส่วนภายใน.....	65
ภาพที่ 3.13	ผลการทดสอบการดิสชาร์จบางส่วนภายในของกับดักฟ้าผ่าตัวอย่างที่ 1.....	66
ภาพที่ 3.14	ผลการทดสอบการดิสชาร์จบางส่วนภายในของกับดักฟ้าผ่าตัวอย่างที่ 2.....	67

เอกสารนี้เป็นเอกสารที่สงวนไว้สำหรับการใช้งานเพื่อการศึกษาเท่านั้น ไม่อนุญาตให้นำไปใช้ประโยชน์ด้านการค้า
ไม่ว่ากรณีใดๆ ทั้งสิ้น อีกทั้งห้ามมิให้ตัดแปลงเนื้อหา และต้องอ้างอิงถึงเจ้าของเอกสารทุกครั้งที่มีการนำไปใช้

สารบัญภาพ (ต่อ)

หน้า

ภาพที่ 3.15	ผลการทดสอบการดิสซาร์จบางส่วนภายในของกับดักฟ้าผ่าตัวอย่างที่ 3.....	68
ภาพที่ 3.16	ผลการทดสอบการดิสซาร์จบางส่วนภายในของกับดักฟ้าผ่าตัวอย่างที่ 4.....	69
ภาพที่ 3.17	ผลการทดสอบการดิสซาร์จบางส่วนภายในของกับดักฟ้าผ่าตัวอย่างที่ 5.....	70
ภาพที่ 3.18	ผลการทดสอบการดิสซาร์จบางส่วนภายในของกับดักฟ้าผ่าตัวอย่างที่ 6.....	71
ภาพที่ 3.19	ผลการทดสอบการดิสซาร์จบางส่วนภายในของกับดักฟ้าผ่าตัวอย่างที่ 7.....	72
ภาพที่ 3.20	วงจรทดสอบหาค่าแรงดันเริ่มทำงาน.....	74
ภาพที่ 3.21	วงจรทดสอบหาค่ากระแสรั่วไหล.....	76
ภาพที่ 4.1	แสดง Dimension ต่างๆ ของครอบเอาต์พิวส์แบบที่ 1 ครีบเท่า.....	78
ภาพที่ 4.2	แสดงการกระจายของแรงดันไฟฟ้าตามผิวฉนวนของครอบเอาต์พิวส์ แบบที่ 1 ครีบเท่า โดยป้อนแรงดันที่ 21 กิโลโวลต์.....	79
ภาพที่ 4.3	แสดงการกระจายความเครียดสนามไฟฟ้าตามผิวฉนวนของครอบเอาต์พิวส์ แบบที่ 1 ครีบ เท่าโดยป้อนแรงดันที่ 21.....	79
ภาพที่ 4.4	การวิเคราะห์ค่าความเครียดของสนามไฟฟ้าตามผิวครีบฉนวนครีบแรกของ ครอบเอาต์พิวส์ แบบที่ 1 ครีบเท่าโดยป้อนแรงดันที่ 21.....	80
ภาพที่ 4.5	แสดง Dimension ต่างๆของครอบเอาต์พิวส์แบบที่ 2 ครีบเท่า.....	80
ภาพที่ 4.6	แสดงการกระจายของแรงดันไฟฟ้าตามผิวฉนวนของครอบเอาต์พิวส์ แบบที่ 2 ครีบเท่าโดยป้อนแรงดันที่ 21 กิโลโวลต์.....	81
ภาพที่ 4.7	แสดงการกระจายความเครียดสนามไฟฟ้าตามผิวฉนวนของครอบเอาต์พิวส์ แบบที่ 2 ครีบเท่าโดยป้อนแรงดันที่ 21 กิโลโวลต์.....	81
ภาพที่ 4.8	การวิเคราะห์ค่าความเครียดของสนามไฟฟ้าตามผิวครีบฉนวนครีบแรกของ ครอบเอาต์พิวส์ แบบที่ 2 ครีบเท่าโดยป้อนแรงดันที่ 21.....	82
ภาพที่ 4.9	แสดง Dimension ต่างๆของครอบเอาต์พิวส์แบบที่ 3 ครีบสลับ.....	82
ภาพที่ 4.10	แสดงการกระจายของแรงดันไฟฟ้าตามผิวฉนวนของครอบเอาต์พิวส์ แบบที่ 3 ครีบสลับ โดยป้อนแรงดันที่ 21 กิโลโวลต์	83
ภาพที่ 4.11	แสดงการกระจายความเครียดสนามไฟฟ้าตามผิวฉนวนของครอบเอาต์พิวส์ แบบที่ 3 ครีบ สลั้บโดยป้อนแรงดันที่ 21 กิโลโวลต์.....	83
ภาพที่ 4.12	การวิเคราะห์ค่าความเครียดของสนามไฟฟ้าตามผิวครีบฉนวนครีบแรกของ ครอบเอาต์พิวส์ แบบที่ 3 ครีบสลั้บโดยป้อนแรงดันที่ 21 กิโลโวลต์.....	84
ภาพที่ 4.13	แสดง Dimension ต่างๆของครอบเอาต์พิวส์แบบที่ 4 ครีบสลั้บ.....	84

เอกสารนี้เป็นเอกสารที่สงวนไว้สำหรับการใช้งานเพื่อการศึกษาเท่านั้น ไม่อนุญาตให้นำไปใช้ประโยชน์ด้านการค้า
ไม่ว่ากรณีใดๆ ทั้งสิ้น อีกทั้งห้ามมิให้ตัดแปลงเนื้อหา และต้องอ้างอิงถึงเจ้าของเอกสารทุกครั้งที่มีการนำไปใช้

สารบัญภาพ (ต่อ)

หน้า

ภาพที่ 4.14	แสดงการกระจายของแรงดันไฟฟ้าตามผิวฉนวนของดรอพเอ้าท์ฟิวส์ แบบที่ 4 ครีบลับโดยป้อนแรงดันที่ 21 กิโลโวลต์.....	85
ภาพที่ 4.15	แสดงการกระจายความเครียดสนามไฟฟ้าตามผิวฉนวนของดรอพเอ้าท์ฟิวส์ แบบที่ 4 ครีบลับโดยป้อนแรงดันที่ 21 กิโลโวลต์.....	85
ภาพที่ 4.16	การวิเคราะห์ค่าความเครียดของสนามไฟฟ้าตามผิวครีบลับแรกของ ดรอพเอ้าท์ฟิวส์ แบบที่ 4 ครีบลับโดยป้อนแรงดันที่ 21 กิโลโวลต์.....	86
ภาพที่ 4.17	แสดง Dimension ต่าง ๆ ของดรอพเอ้าท์ฟิวส์แบบที่ 5 ครีบลับ.....	86
ภาพที่ 4.18	แสดงการกระจายของแรงดันไฟฟ้าตามผิวฉนวนของดรอพเอ้าท์ฟิวส์ แบบที่ 5 ครีบลับ โดยป้อนแรงดันที่ 21 กิโลโวลต์.....	87
ภาพที่ 4.19	แสดงการกระจายความเครียดสนามไฟฟ้าตามผิวฉนวนของดรอพเอ้าท์ฟิวส์ แบบที่ 5 ครีบลับโดยป้อนแรงดันที่ 21 กิโลโวลต์.....	87
ภาพที่ 4.20	การวิเคราะห์ค่าความเครียดของสนามไฟฟ้าตามผิวครีบลับแรกของ ดรอพเอ้าท์ฟิวส์ แบบที่ 5 ครีบลับโดยป้อนแรงดันที่ 21 กิโลโวลต์.....	88
ภาพที่ 4.21	แสดง Dimension ต่าง ๆ ของดรอพเอ้าท์ฟิวส์แบบที่ 6 ครีบลับ.....	88
ภาพที่ 4.22	แสดงการกระจายของแรงดันไฟฟ้าตามผิวฉนวนของดรอพเอ้าท์ฟิวส์ แบบที่ 6 ครีบลับ โดยป้อนแรงดันที่ 21 กิโลโวลต์.....	89
ภาพที่ 4.23	แสดงการกระจายความเครียดสนามไฟฟ้าตามผิวฉนวนของดรอพเอ้าท์ฟิวส์ แบบที่ 6 ครีบลับ โดยป้อนแรงดันที่ 21.....	89
ภาพที่ 4.24	การวิเคราะห์ค่าความเครียดของสนามไฟฟ้าตามผิวครีบลับแรกของ ดรอพเอ้าท์ฟิวส์ แบบที่ 6 ครีบลับโดยป้อนแรงดันที่ 21.....	90
ภาพที่ 4.25	แสดง Dimension ต่าง ๆ ของดรอพเอ้าท์ฟิวส์แบบที่ 7 ครีบลับ.....	90
ภาพที่ 4.26	แสดงการกระจายของแรงดันไฟฟ้าตามผิวฉนวนของดรอพเอ้าท์ฟิวส์ แบบที่ 7 ครีบลับ โดยป้อนแรงดันที่ 21 กิโลโวลต์.....	91
ภาพที่ 4.27	แสดงการกระจายความเครียดสนามไฟฟ้าตามผิวฉนวนของดรอพเอ้าท์ฟิวส์ แบบที่ 7 ครีบลับโดยป้อนแรงดันที่ 21 กิโลโวลต์.....	91
ภาพที่ 4.28	การวิเคราะห์ค่าความเครียดของสนามไฟฟ้าตามผิวครีบลับแรกของ ดรอพเอ้าท์ฟิวส์ แบบที่ 7 ครีบลับโดยป้อนแรงดันที่ 21 กิโลโวลต์.....	92
ภาพที่ 4.29	แสดง Dimension ต่าง ๆ ของดรอพเอ้าท์ฟิวส์แบบที่ 8 ครีบลับ.....	92
ภาพที่ 4.30	แสดงการกระจายของแรงดันไฟฟ้าตามผิวฉนวนของดรอพเอ้าท์ฟิวส์ แบบที่ 8 ครีบลับ โดยป้อนแรงดันที่ 21 กิโลโวลต์.....	93

เอกสารนี้เป็นเอกสารที่สงวนไว้สำหรับการใช้งานเพื่อการศึกษาเท่านั้น ไม่อนุญาตให้นำไปใช้ประโยชน์ด้านการค้า
ไม่ว่ากรณีใดๆ ทั้งสิ้น อีกทั้งห้ามมิให้ตัดแปลงเนื้อหา และต้องอ้างอิงถึงเจ้าของเอกสารทุกครั้งที่มีการนำไปใช้

สารบัญภาพ (ต่อ)

หน้า

ภาพที่ 4.31	แสดงการกระจายความเครียดสนามไฟฟ้าตามผิวฉนวนของครอบเอาท์พิวส์แบบที่ 8 ครีบลับโดยป้อนแรงดันที่ 21 กิโลโวลต์.....	93
ภาพที่ 4.32	การวิเคราะห์ค่าความเครียดของสนามไฟฟ้าตามผิวครีบลับฉนวนครีบลับแรกของครอบเอาท์พิวส์ แบบที่ 8 ครีบลับโดยป้อนแรงดันที่ 21 กิโลโวลต์.....	94
ภาพที่ 4.33	แสดง Dimension ของกั๊บดักฟ้าผ่าแบบที่ 1.....	95
ภาพที่ 4.34	แสดงการกระจายของแรงดันไฟฟ้าตามผิวฉนวนของกั๊บดักฟ้าผ่าแบบที่ 1 โดยป้อนแรงดันที่ 21 กิโลโวลต์.....	95
ภาพที่ 4.35	แสดงการกระจายความเครียดสนามไฟฟ้าตามผิวฉนวนของกั๊บดักฟ้าผ่าแบบที่ 1 โดยป้อนแรงดันที่ 21 กิโลโวลต์.....	96
ภาพที่ 4.36	การวิเคราะห์ค่าความเครียดของสนามไฟฟ้าตามผิวครีบลับฉนวนครีบลับแรกของกั๊บดักฟ้าผ่าแบบที่ 1 โดยป้อนแรงดันที่ 21 กิโลโวลต์.....	96
ภาพที่ 4.37	แสดง Dimension ของกั๊บดักฟ้าผ่าแบบที่ 2.....	97
ภาพที่ 4.38	แสดงการกระจายของแรงดันไฟฟ้าตามผิวฉนวนของกั๊บดักฟ้าผ่าแบบที่ 2 โดยป้อนแรงดันที่ 21 กิโลโวลต์.....	97
ภาพที่ 4.39	แสดงการกระจายความเครียดสนามไฟฟ้าตามผิวฉนวนของกั๊บดักฟ้าผ่าแบบที่ 2 โดยป้อนแรงดันที่ 21 กิโลโวลต์.....	98
ภาพที่ 4.40	การวิเคราะห์ค่าความเครียดของสนามไฟฟ้าตามผิวครีบลับฉนวนครีบลับแรกของกั๊บดักฟ้าผ่าแบบที่ 2 โดยป้อนแรงดันที่ 21 กิโลโวลต์.....	98
ภาพที่ 4.41	แสดง Dimension ของกั๊บดักฟ้าผ่าแบบที่ 3.....	99
ภาพที่ 4.42	แสดงการกระจายของแรงดันไฟฟ้าตามผิวฉนวนของกั๊บดักฟ้าผ่าแบบที่ 3 โดยป้อนแรงดันที่ 21 กิโลโวลต์.....	99
ภาพที่ 4.43	แสดงการกระจายความเครียดสนามไฟฟ้าตามผิวฉนวนของกั๊บดักฟ้าผ่าแบบที่ 3 โดยป้อนแรงดันที่ 21 กิโลโวลต์.....	100
ภาพที่ 4.44	การวิเคราะห์ค่าความเครียดของสนามไฟฟ้าตามผิวครีบลับฉนวนครีบลับแรกของกั๊บดักฟ้าผ่าแบบที่ 3 โดยป้อนแรงดันที่ 21 กิโลโวลต์.....	100
ภาพที่ 4.45	แสดง Dimension ของกั๊บดักฟ้าผ่าแบบที่ 4.....	101
ภาพที่ 4.46	แสดงการกระจายของแรงดันไฟฟ้าตามผิวฉนวนของกั๊บดักฟ้าผ่าแบบที่ 4 โดยป้อนแรงดันที่ 21 กิโลโวลต์.....	101
ภาพที่ 4.47	แสดงการกระจายความเครียดสนามไฟฟ้าตามผิวฉนวนของกั๊บดักฟ้าผ่าแบบที่ 4 โดยป้อนแรงดันที่ 21 กิโลโวลต์.....	102

เอกสารนี้เป็นเอกสารที่สงวนไว้สำหรับการใช้งานเพื่อการศึกษาเท่านั้น ไม่อนุญาตให้นำไปใช้ประโยชน์ด้านการค้า ไม่ว่าจะกรณีใดๆ ทั้งสิ้น อีกทั้งห้ามมิให้ตัดแปลงเนื้อหา และต้องอ้างอิงถึงเจ้าของเอกสารทุกครั้งที่มีการนำไปใช้

สารบัญภาพ (ต่อ)

หน้า

ภาพที่ 4.48	การวิเคราะห์ค่าความเครียดของสนามไฟฟ้าตามผิวครึ่งฉนวนครึ่งแรก ของกัณฑ์ไฟฟ้าแบบที่ 4 โดยป้อนแรงดันที่ 21 กิโลโวลต์.....	102
ภาพที่ 4.49	แสดง Dimension ของกัณฑ์ไฟฟ้าแบบที่ 5.....	103
ภาพที่ 4.50	แสดงการกระจายของแรงดันไฟฟ้าตามผิวฉนวนของกัณฑ์ไฟฟ้าแบบที่ 5 โดยป้อนแรงดันที่ 21 กิโลโวลต์.....	103
ภาพที่ 4.51	แสดงการกระจายความเครียดสนามไฟฟ้าตามผิวฉนวนของกัณฑ์ไฟฟ้า แบบที่ 5 โดยป้อนแรงดันที่ 21 กิโลโวลต์.....	104
ภาพที่ 4.52	การวิเคราะห์ค่าความเครียดของสนามไฟฟ้าตามผิวครึ่งฉนวนครึ่งแรก ของกัณฑ์ไฟฟ้าแบบที่ 5 โดยป้อนแรงดันที่ 21 กิโลโวลต์.....	104
ภาพที่ 4.53	แสดง Dimension ของกัณฑ์ไฟฟ้าแบบที่ 6.....	105
ภาพที่ 4.54	แสดงการกระจายของแรงดันไฟฟ้าตามผิวฉนวนของกัณฑ์ไฟฟ้าแบบที่ 6 โดยป้อนแรงดันที่ 21 กิโลโวลต์.....	105
ภาพที่ 4.55	แสดงการกระจายความเครียดสนามไฟฟ้าตามผิวฉนวนของกัณฑ์ไฟฟ้า แบบที่ 6 โดยป้อนแรงดันที่ 21 กิโลโวลต์.....	106
ภาพที่ 4.56	การวิเคราะห์ค่าความเครียดของสนามไฟฟ้าตามผิวครึ่งฉนวนครึ่งแรก ของกัณฑ์ไฟฟ้าแบบที่ 6 โดยป้อนแรงดันที่ 21 กิโลโวลต์.....	106

สารบัญตาราง

หน้า

ตารางที่ 1.1	การวางแผนจัดลำดับขั้นตอนของการทำปฏิญญาพันธ...	3
ตารางที่ 2.1	การแบ่งระดับของความเปราะเปื้อน.....	39
ตารางที่ 2.2	ค่าต่ำสุดของ Nominal specific creepage distance ที่ใช้สำหรับการ ออกแบบหรือเลือกใช้กับดักฟ้าผ่าที่จะนำไปใช้ในบริเวณเปราะเปื้อน.....	41
ตารางที่ 3.1	คุณสมบัติของครอบเอาต์ไฟวส์ที่นำมาทดสอบ.....	50
ตารางที่ 3.2	Minimum dielectric withstand test voltages.....	51
ตารางที่ 3.3	ผลการทดสอบความคงทนต่อแรงดันวาทไฟตามผิวแห้งสะอาด กระแสลับ 50 Hz ของครอบเอาต์ไฟวส์ที่ระดับแรงดัน 42.37 kV.....	54
ตารางที่ 3.4	ผลการทดสอบความทนอยู่ได้ต่อแรงดันอิมพัลส์ชั่วววกที่ระดับ แรงดัน 140 kV ของครอบเอาต์ไฟวส์ กรณีเทอร์มินอล-เทอร์มินอล.....	61
ตารางที่ 3.5	ผลการทดสอบความทนอยู่ได้ต่อแรงดันอิมพัลส์ชั่วววกที่ระดับ แรงดัน 140 kV ของครอบเอาต์ไฟวส์ กรณีเทอร์มินอล-กราวนด์.....	61
ตารางที่ 3.6	ผลการทดสอบความทนอยู่ได้ต่อแรงดันอิมพัลส์ชั่วลบที่ระดับ แรงดัน 140 kV ของครอบเอาต์ไฟวส์ กรณีเทอร์มินอล-เทอร์มินอล.....	61
ตารางที่ 3.7	ผลการทดสอบความทนอยู่ได้ต่อแรงดันอิมพัลส์ชั่วลบที่ระดับ แรงดัน 140 kV ของครอบเอาต์ไฟวส์ กรณีเทอร์มินอล-กราวนด์.....	61
ตารางที่ 3.8	ผลการทดสอบหาแรงดันเริ่มทำงานของกับดักฟ้าผ่า.....	75
ตารางที่ 3.9	ผลการทดสอบหากระแสรั่วไหลของกับดักฟ้าผ่า.....	77
ตารางที่ 5.1	สรุปผลการวิเคราะห์สภาพสนามไฟฟ้าที่เกิดขึ้นที่ผิวฉนวนครอบเอาต์ไฟวส์ และกับดักฟ้าผ่าที่ออกแบบใหม่เทียบกับภาคอุตสาหกรรม.....	110

บทที่ 1

บทนำ

1.1 บทนำทั่วไป

การส่งจ่ายพลังงานไฟฟ้าเป็นการส่งจ่ายไฟฟ้าแรงสูง เพื่อให้เพียงพอต่อความต้องการ และเกิดการสูญเสียที่น้อยที่สุด โดยอุปกรณ์ต่างๆที่นำมาใช้ในระบบไฟฟ้ากำลังจำเป็นที่จะต้องได้รับการออกแบบการฉนวนไฟฟ้าที่ดี ในการทำหน้าที่เป็นฉนวนทางไฟฟ้า รวมทั้งอุปกรณ์นั้นจะต้องได้รับการทดสอบก่อนที่จะนำมาใช้งานจริง เพื่อเสถียรภาพและความเชื่อถือได้ของระบบไฟฟ้า

กับดักฟ้าผ่า (Surge Arrester) เป็นอุปกรณ์ป้องกันที่ใช้ในการลดระดับแรงดันเกินหรือจำกัดแรงดันเกิน โดยจะต้องนำกระแสหรือกระแสลิมิตลีสให้ไหลลงสู่ดิน และรักษาระดับแรงดันไฟฟ้าไม่ให้เกินค่าที่เป็นอันตรายต่ออุปกรณ์ไฟฟ้าที่ป้องกันอยู่ ระบบจำหน่ายไฟฟ้าแรงสูงในประเทศไทยส่วนใหญ่จะเป็นแบบติดตั้งกลางแจ้ง จึงมีโอกาที่จะได้รับแรงดันเกินเกิดขึ้นในระบบสูง ทั้งด้วยสาเหตุจากปรากฏการณ์ฟ้าผ่า เรียกว่า แรงดันเกินฟ้าผ่า (Lightning Overvoltage) ซึ่งจัดเป็นแรงดันเกินภายนอก (External Overvoltage) และแรงดันเกินจากการทำงานของสวิตช์ตัดต่อวงจร เรียกว่า แรงดันเกิน สวิตช์ซึ่ง (Switching Overvoltage) ซึ่งจัดเป็นแรงดันเกินภายใน (Internal Overvoltage) ในปัจจุบัน กับดักฟ้าผ่าได้รับการพัฒนา และนำมาใช้งานอย่างแพร่หลาย ด้วยเทคโนโลยีการผลิตภายในประเทศ โดยเฉพาะการนำไปใช้เพื่อป้องกันแรงดันเกิน เนื่องจากฟ้าผ่าในระบบสายส่งไฟฟ้ากำลังและระบบจำหน่ายไฟฟ้า [1]

ดรอพเอาต์ฟิวส์ (Drop-Out Fuse) เป็นอุปกรณ์ป้องกันกระแสเกินพิกัดในระบบจำหน่ายแรงสูงที่มีการติดตั้งง่ายและหลักการทำงานไม่ต้องอาศัยกลไกยุ่งยากเหมือนอุปกรณ์ป้องกันชนิดอื่น มีฟิวส์ลิงค์เป็นตัวทำหน้าที่หลอมละลายตัดวงจรออกเมื่อเกิดกระแสเกินพิกัดตั้งแต่ 2 เท่าของขนาดฟิวส์ลิงค์ขึ้นไป ลักษณะการทำงานของฟิวส์ลิงค์จะเป็นแบบ Extremely Inverse Characteristic คือ กระแสเกินพิกัดยิ่งมีค่ามาก เวลาการทำงานของฟิวส์ลิงค์ยิ่งเร็วขึ้น

1.2 ที่มาของปัญหา

ปัจจุบันระบบสายส่งและระบบจำหน่ายไฟฟ้าของประเทศไทยเป็นแบบติดตั้งภายนอก (Outdoor) จึงมีโอกาสดังกล่าวเกิดสภาวะแรงดันเกินขึ้นในระบบทั้งในกรณีแรงดันเกินฟ้าผ่าและแรงดันเกินสวิตช์ซึ่ง ดังนั้นจำเป็นต้องมีการติดตั้งอุปกรณ์ป้องกัน เพื่อสร้างความเชื่อถือได้ของระบบอุปกรณ์ป้องกันที่จะนำมาติดตั้งนั้นจะต้องได้รับการออกแบบและการทดสอบด้วยวิธีการที่เหมาะสมก่อนที่นำมาติดตั้ง รวมทั้งการศึกษาคุณสมบัติการใช้งาน และโครงสร้างส่วนประกอบต่างๆ เพื่อที่จะใช้ประโยชน์อุปกรณ์ป้องกันได้อย่างมีประสิทธิภาพ

การใช้งานของกับดักฟ้าผ่าและดรอพเอาต์ฟิวส์นั้น มักจะประสบปัญหาในการเจาะทะลุของเนื้อฉนวนโพลีเมอร์ซึ่งสันนิษฐานว่าเกิดจากความผิดปกติภายใน เนื่องมาจากความชื้นที่เอกสารนี้เป็นเอกสารที่สงวนไว้สำหรับการใช้งานเพื่อการศึกษาเท่านั้น ไม่อนุญาตให้นำไปใช้ประโยชน์ด้านการค้า ไม่ว่าจะกรณีใดๆ ทั้งสิ้น อีกทั้งห้ามมิให้ตัดแปลงเนื้อหา และต้องอ้างอิงถึงเจ้าของเอกสารทุกครั้งที่มีการนำไปใช้

เกิดขึ้นภายในเนื้องานที่เกิดจาก กระบวนการผลิต หรือคุณสมบัติของเนื้องานที่ไม่เหมาะสม การทดสอบคุณสมบัติของกับดักฟ้าผ่าและครอบเอาต์พิวส์ก่อนที่จะนำไปติดตั้งใช้งาน จะช่วยลดปัญหาความเสียหายที่เกิดขึ้นในระบบไฟฟ้ากำลังอันเนื่องมาจากความไม่มีคุณภาพของ อุปกรณ์ดังกล่าว รวมทั้งการออกแบบครีป ของเนื้องานโพลีเมอร์ของกับดักฟ้าผ่าและ ครอบเอาต์พิวส์ ให้การกระจายสภาพสนามไฟฟ้าดีขึ้นซึ่งจะช่วยเพิ่มคุณสมบัติทางไฟฟ้าของ กับดักฟ้าผ่าและครอบเอาต์พิวส์

1.3 วัตถุประสงค์

1. เพื่อศึกษาลักษณะการทำงาน โครงสร้างและคุณสมบัติทางไฟฟ้าของกับดักฟ้าผ่าชนิด ไม่มีแกปและครอบเอาต์พิวส์ชนิดที่ตัวพิวส์อยู่ในทรงกระบอก
2. เพื่อศึกษามาตรฐานการทดสอบ กับดักฟ้าผ่าชนิดไม่มีแกป และครอบเอาต์พิวส์ชนิดที่ ตัวพิวส์ อยู่ในทรงกระบอก
- 3 เพื่อศึกษาการใช้โปรแกรมคอมพิวเตอร์ ได้แก่ โปรแกรม AutoCAD 2006 [2] ที่ใช้ในการ ออกแบบครีปของกับดักฟ้าผ่าและครอบเอาต์พิวส์ โปรแกรม FEMLAB 3.1 ที่ใช้ในการ วิเคราะห์สภาพการกระจายสนามไฟฟ้า
4. เพื่อทำการทดสอบทางไฟฟ้าของตัวอย่างกับดักฟ้าผ่าชนิดไม่มีแกปและครอบเอาต์พิวส์ ชนิดที่ตัวพิวส์อยู่ในทรงกระบอก โดยจะใช้อุปกรณ์ทดสอบในห้องปฏิบัติการ ไฟฟ้าแรงสูงของ สถาบันเทคโนโลยีพระจอมเกล้าเจ้าคุณทหารลาดกระบัง
5. เพื่อทำการออกแบบครีปของเนื้องานที่ทำด้วยโพลีเมอร์ของกับดักฟ้าผ่าชนิดไม่มีแกป และครีปของเนื้องานที่ทำด้วยพอร์ตเลนของครอบเอาต์พิวส์ชนิดที่ตัวพิวส์อยู่ใน ทรงกระบอก รวมทั้งการวิเคราะห์สภาพการกระจายสนามไฟฟ้าบนเนื้องานโดยการ ใช้โปรแกรมคอมพิวเตอร์

1.4 ขอบเขตและข้อกำหนดของโครงการ

1. ศึกษาลักษณะการทำงาน โครงสร้างและคุณสมบัติทางไฟฟ้าของกับดักฟ้าผ่าชนิด ไม่มีแกปและครอบเอาต์พิวส์ชนิดที่ตัวพิวส์อยู่ในทรงกระบอก
2. ศึกษามาตรฐานการทดสอบ กับดักฟ้าผ่าชนิดไม่มีแกป และครอบเอาต์พิวส์ชนิดที่ ตัวพิวส์อยู่ในทรงกระบอก
3. ทำการทดสอบทางไฟฟ้าของตัวอย่างกับดักฟ้าผ่าชนิดไม่มีแกปและครอบเอาต์พิวส์ชนิด ที่ตัวพิวส์อยู่ในทรงกระบอก โดยจะใช้อุปกรณ์ทดสอบในห้องปฏิบัติการไฟฟ้าแรงสูง ของสถาบันเทคโนโลยีพระจอมเกล้าเจ้าคุณทหารลาดกระบัง
4. ศึกษาการใช้โปรแกรมคอมพิวเตอร์ ได้แก่ โปรแกรม AutoCAD 2006 ที่ใช้ในการ ออกแบบครีปของกับดักฟ้าผ่าและครอบเอาต์พิวส์ โปรแกรม FEMLAB 3.1 ที่ใช้ในการ วิเคราะห์สภาพการกระจายสนามไฟฟ้า
5. ทำการออกแบบครีปของเนื้องานที่ทำด้วยโพลีเมอร์ของกับดักฟ้าผ่าชนิดไม่มีแกปและ ครีปของเนื้องานที่ทำด้วยพอร์ตเลนของครอบเอาต์พิวส์ชนิดที่ตัวพิวส์อยู่ใน

เอกสารนี้เป็นเอกสารที่สงวนไว้สำหรับการใช้งานเพื่อการศึกษาเท่านั้น ไม่อนุญาตให้นำไปเผยแพร่ในสื่อต่าง ๆ ไม่ว่าจะกรณีใดๆ ทั้งสิ้น อีกทั้งห้ามมิให้ตัดแปลงเนื้อหา และต้องอ้างอิงถึงเจ้าของเอกสารทุกครั้งที่มีการนำไปใช้

ทรงกระบอก รวมทั้งการวิเคราะห์สภาพการกระจายสนามไฟฟ้าบนเนื้อฉนวนโดยการ
ใช้โปรแกรมคอมพิวเตอร์

6. สรุปผลการวิเคราะห์สนามไฟฟ้า
7. จัดทำปฏิญานិพนธ์ฉบับสมบูรณ์

ตารางที่ 1.1 การวางแผนจัดลำดับขั้นตอนของการทำปฏิญานิพนธ์

ขั้นตอนการดำเนินงานวิจัย	พ.ศ. 2550							พ.ศ. 2551		
	มี.ย.	ก.ค.	ส.ค.	ก.ย.	ต.ค.	พ.ย.	ธ.ค.	ม.ค.	ก.พ.	มี.ค.
1. ศึกษาลักษณะการทำงาน ของ ดรอพเออร์ฟิวส์และกับดักฟ้าผ่า	■	■	■	■	■	■	■			
2. ศึกษามาตรฐานการทดสอบ ดรอพเออร์ฟิวส์และกับดักฟ้าผ่า		■	■	■	■	■	■			
3. ทำการทดสอบทางไฟฟ้าของตัวอย่าง ดรอพเออร์ฟิวส์และกับดักฟ้าผ่าและ วิเคราะห์ผลการทดลอง					■	■	■	■	■	
4. ศึกษามาตรฐานที่ใช้ออกแบบครีบน ฉนวนพร้อมทั้งออกแบบครีบนฉนวน ขึ้นมาใหม่				■	■	■	■			
5. นำดรอพเออร์ฟิวส์และกับดักฟ้าผ่าที่ ออกแบบใหม่ไปทำการวิเคราะห์ ความเครียดสนามไฟฟ้าโดยใช้ โปรแกรม FEMLAB 3.1 ในการ วิเคราะห์					■	■	■	■	■	
6. สรุปผลการวิเคราะห์สนามไฟฟ้า									■	■
7. จัดทำปฏิญานิพนธ์ฉบับสมบูรณ์										■

การวางแผน
 การดำเนินงานจริง

เอกสารนี้เป็นเอกสารที่สงวนไว้สำหรับการใช้งานเพื่อการศึกษาเท่านั้น ไม่อนุญาตให้นำไปใช้ประโยชน์ด้านการค้า
ไม่ว่ากรณีใดๆ ทั้งสิ้น อีกทั้งห้ามมิให้ดัดแปลงเนื้อหา และต้องอ้างอิงถึงเจ้าของเอกสารทุกครั้งที่มีการนำไปใช้

1.5 ประโยชน์ที่คาดว่าจะได้รับ

1. มีความรู้ความเข้าใจในการทำงานของครอบเอาต์พิวส์และกับดักฟ้าผ่า
2. สามารถทำการทดสอบครอบเอาต์พิวส์ และกับดักฟ้าผ่าโดยใช้ห้องปฏิบัติการไฟฟ้าแรงสูงของสถาบันเทคโนโลยีพระจอมเกล้าคุณทหารลาดกระบังได้
3. สามารถออกแบบครีบนวนของกับดักฟ้าผ่าและครีบนวนของครอบเอาต์พิวส์ได้
4. มีความเข้าใจในการวิเคราะห์สภาพสนามไฟฟ้าของครีบนวนกับดักฟ้าผ่าโดยใช้โปรแกรมคอมพิวเตอร์



เอกสารนี้เป็นเอกสารที่สงวนไว้สำหรับการใช้งานเพื่อการศึกษาเท่านั้น ไม่อนุญาตให้นำไปใช้ประโยชน์ด้านการค้า ไม่ว่าจะกรณีใดๆ ทั้งสิ้น อีกทั้งห้ามมิให้ดัดแปลงเนื้อหา และต้องอ้างอิงถึงเจ้าของเอกสารทุกครั้งที่มีการนำไปใช้

บทที่ 2

ทฤษฎีที่เกี่ยวข้อง

2.1 ทฤษฎีการเกิดฟ้าผ่า

ฟ้าผ่าเป็นปรากฏการณ์ธรรมชาติ ซึ่งมนุษย์รู้จักกันดี จนปี ค.ศ. 1752 เบนจามิน แฟรงคลิน (Benjamin Franklin) ได้ทำการพิสูจน์และอธิบายว่า ฟ้าผ่าเป็นผลของการเกิดดิซชาร์จของประจุไฟฟ้าในก้อนเมฆ ทำให้เริ่มมีการศึกษาค้นคว้าวิจัยเกี่ยวกับการเกิดฟ้าผ่าเป็นต้นมา โดยศักย์ไฟฟ้าในการเกิดฟ้าผ่ามีค่าสูงตั้งแต่ 10 เมกะโวลต์ ถึง 100 เมกะโวลต์ มีค่ากระแสหลายร้อยกิโลแอมป์ มีค่าความร้อนสูงถึง 30,000 K จึงเป็นอันตรายอย่างยิ่งเมื่อเกิดฟ้าผ่า ซึ่งจะสามารถทำให้เกิดเพลิงไหม้ นอกจากนี้แล้วยังเกิดการเปลี่ยนแปลงของกระแสฟ้าผ่ามีอัตราสูงจึงทำให้เกิดคลื่นแม่เหล็กไฟฟ้ากระจายออกไปรบกวนระบบสื่อสาร เกิดแรงดันเหนี่ยวนำในระบบวงจรไฟฟ้าเป็นแรงดันเสิร์จและเป็นแรงดันเกินวิ่งไปตามสายไฟเข้าสู่อุปกรณ์ใช้ไฟฟ้า ก่อให้เกิดความเสียหายแก่อุปกรณ์อิเล็กทรอนิกส์ที่มีความไวต่อแรงดันทรานเซียนด์ ส่วนกระแสไฟฟ้าที่ไหลลงสู่ดิน ก็อาจเป็นอันตรายแก่สิ่งมีชีวิตในบริเวณนั้นอันเนื่องมาจากแรงดันช่วงก้าว และแรงดันสัมผัสได้ [1] ถึงแม้ว่าจะทราบว่ฟ้าผ่า สิ่งที่ทำได้อีกก็เพียงป้องกันมิให้เกิดความเสียหายและเป็นอันตรายต่อสิ่งมีชีวิต แต่มนุษย์ก็ไม่อาจห้ามการเกิดฟ้าผ่าได้ในทางปฏิบัติจะทำได้อีกก็เพียงป้องกันมิให้เกิดอันตรายอันเนื่องมาจากการเกิดฟ้าผ่า โดยมีการสร้างระบบป้องกันตามหลักวิชาการ แต่การที่จะออกแบบระบบป้องกันอันตรายอันเนื่องมาจากผลของฟ้าผ่าให้มีประสิทธิภาพและประสิทธิภาพนั้น จำต้องทราบและมีความเข้าใจดีเกี่ยวกับลักษณะสมบัติของฟ้าผ่า ซึ่งจะเป็นข้อมูลขั้นพื้นฐานสำคัญที่จะช่วยให้สามารถป้องกันได้เหมาะสมและมีความปลอดภัย ลักษณะสำคัญของฟ้าผ่า อาจแบ่งได้ดังนี้

2.1.1 ฟ้าผ่าขึ้นหรือฟ้าผ่าลง

หมายถึง การเกิดฟ้าผ่าอาจจะเริ่มต้นจากก้อนเมฆลงสู่พื้นดิน (เรียกว่าฟ้าผ่าลง) หรือเริ่มต้น จากพื้นดินขึ้นไปสู่ก้อนเมฆ (เรียกว่าฟ้าผ่าขึ้น)ก็ได้ ซึ่งการเกิดฟ้าผ่านั้นจะเริ่มจากการก่อตัวจากบริเวณจุดหรือบริเวณที่มีความเครียดสนามไฟฟ้าถึงค่าวิกฤติของบรรยากาศที่ระดับพื้นโลก จะมีค่าประมาณ 25-30 kV/cm. แต่เมื่อเกิดภาวะฝนฟ้าคะนองจะทำให้มีความดันอากาศต่ำ ค่าความเครียดสนามไฟฟ้าวิกฤติจะลดลงมีค่าเหลือประมาณ 10 kV/cm. [1] โดยส่วนมากจะพบการเกิดฟ้าผ่าในแบบฟ้าผ่าลง โดยเมื่อเกิดค่าความเครียดสนามไฟฟ้าถึงค่าวิกฤติแล้วก็จะเกิด สีดเดอร์หรือหัวนาร์รอง ขึ้นมาเพื่อนำทางในการเกิดฟ้าผ่าโดยจะเริ่มขยายไปในทางที่เกิดไอออไนเซชันของอากาศได้ง่าย

เมื่อหัวนาร์รองวิ่งลงมาใกล้พื้นโลกแล้ว จะส่งผลทำให้ความเครียดสนามไฟฟ้าที่พื้นโลกมีค่าสูง มีการเหนี่ยวนำให้เกิดสตรีมเมอร์ ซึ่งจะเริ่มต้นจากพื้นโลกพุ่งเข้าหาแนวของหัวนาร์รองเพื่อมาบรรจบกัน จากนั้นประจุจากก้อนเมฆจะดิซชาร์จลงสู่พื้นโลกตามแนวที่หัวนาร์รองได้

กรวยทางไว้ ประจุที่ดิสชาร์จนี้จะมีลักษณะเป็นแสงจ้า เรียกว่า ลำฟ้าผ่า (Main stroke) และการเคลื่อนที่ของประจุในลำฟ้าผ่านี้ก็คือ กระแสฟ้าผ่า นั่นเอง

การที่ประจุจากก้อนเมฆดิสชาร์จลงสู่พื้นดินนั้นเรียกว่า ฟ้าผ่าลง ซึ่งจะมีลักษณะดังภาพที่ 2.1 โดยจะเป็นรูปร่างคล้ายกับรากต้นไม้แตกแขนงลงมา ซึ่งจะมีแนวของหัวนําร่องหลายแนวเนื่องจากการที่หัวนําร่องพยายามที่จะสร้างแนวของลำฟ้าผ่าลงสู่พื้นดิน

ฟ้าผ่าจะเริ่มต้นจากพื้นโลกไปยังก้อนเมฆก็ได้ซึ่งเรียกว่า ฟ้าผ่าขึ้น คือหัวนําร่องจะเริ่มก่อตัวจากสิ่งก่อสร้าง, อาคาร, สูงๆ [1] โดยจะเริ่มจากยอดของโครงสร้างและมีกระบวนการเกิดเช่นเดียวกันกับการเกิดฟ้าผ่าลงเพียงแต่ทิศทางกลับกันเท่านั้น



ภาพที่ 2.1 ลักษณะของหัวนําร่อง

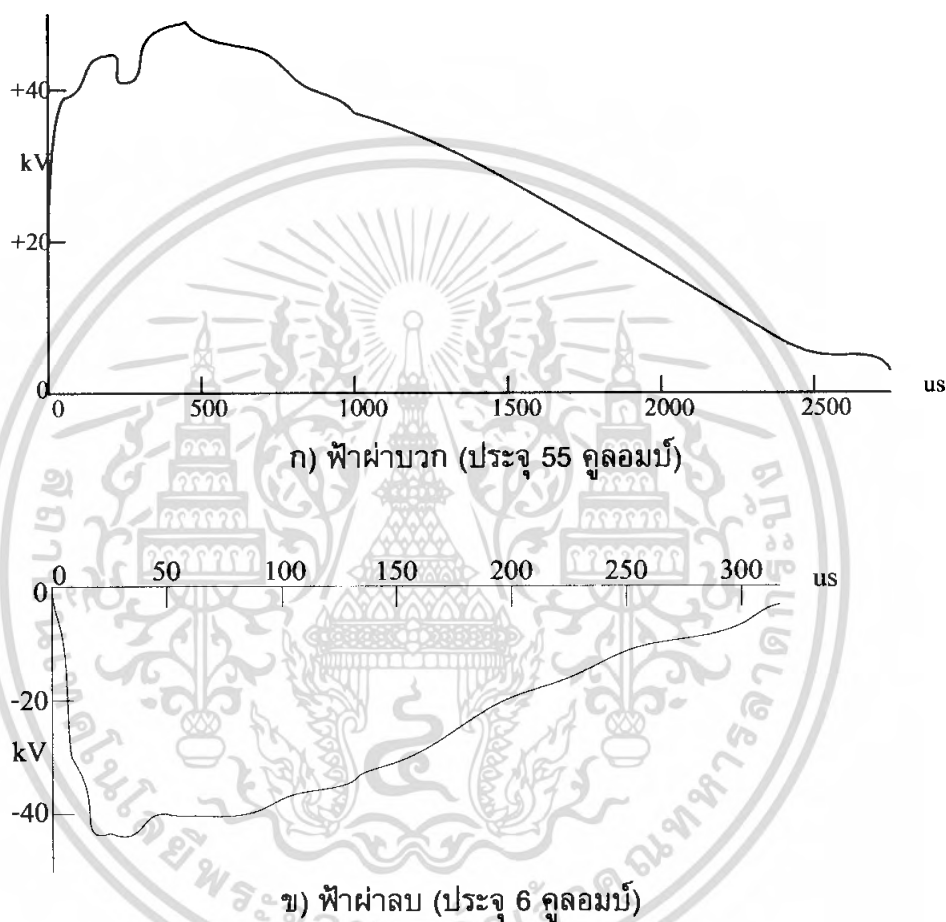


ภาพที่ 2.2 ลักษณะของฟ้าผ่าขึ้น

เอกสารนี้เป็นเอกสารที่สงวนไว้สำหรับการใช้งานเพื่อการศึกษาเท่านั้น ไม่อนุญาตให้นำไปใช้ประโยชน์ด้านการค้าไม่ว่ากรณีใดๆ ทั้งสิ้น อีกทั้งห้ามมิให้ดัดแปลงเนื้อหา และต้องอ้างอิงถึงเจ้าของเอกสารทุกครั้งที่มีการนำไปใช้

2.1.2 ขั้วของกระแสฟ้าผ่า

กระแสฟ้าผ่าเป็นกระแสทรานเซียนต์ที่ไหลทางเดียวอาจเป็นบวกหรือเป็นลบก็ได้ กระแสฟ้าผ่าบวกหมายถึง ลำฟ้าผ่าที่นำเอาประจุบวกจากก้อนเมฆดิสชาร์จลงสู่พื้นโลก ดังภาพที่ 2.3 จากการที่มี ผู้บันทึกและรวบรวมข้อมูลฟ้าผ่าจะพบว่าประมาณร้อยละ 80 ของฟ้าผ่าลงสู่พื้นโลกนั้นเป็นฟ้าผ่าลบ [1] และเป็นที่น่าสังเกตประการหนึ่งของลำฟ้าผ่าคือ ฟ้าผ่าลบลงสู่พื้นโลกมักเป็นฟ้าผ่าซ้ำต่อเนื่องหลายครั้ง ถ้าเป็นฟ้าผ่าบวกมักเป็นลำฟ้าผ่าเดียว

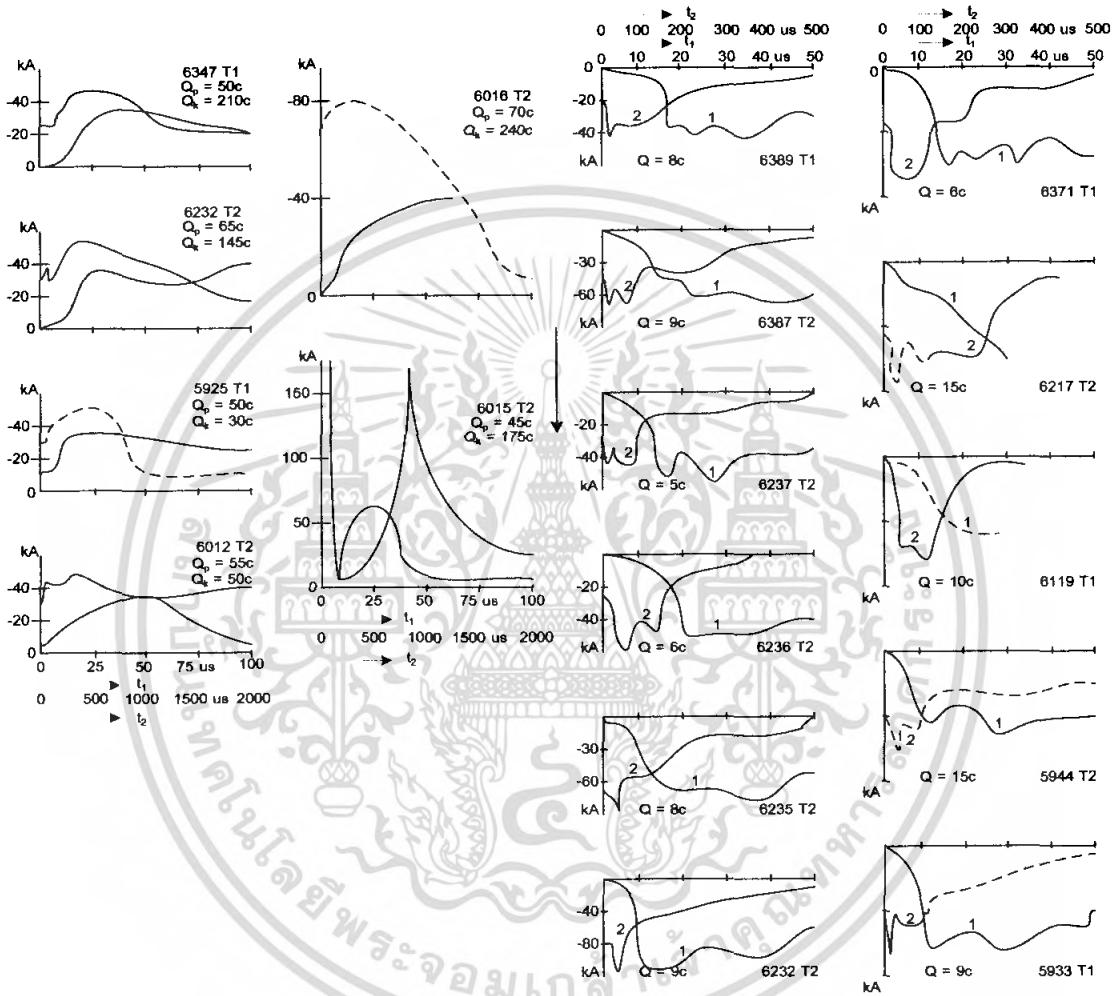


ภาพที่ 2.3 รูปคลื่นของกระแสฟ้าผ่า

2.1.3 รูปคลื่นกระแสฟ้าผ่า

ลักษณะรูปคลื่นกระแสฟ้าผ่าอาจกำหนดด้วยเวลาช่วงหน้าคลื่นและเวลาช่วงหางคลื่น ลักษณะที่สำคัญของช่วงหน้าคลื่นคืออัตราการเพิ่มขึ้นของกระแส เรียกว่า ความชัน วัดเป็น กิโลแอมป์ต่อไมโครวินาที ซึ่งมีผลสำคัญที่ทำให้เกิดแรงดันเหนี่ยวนำมากน้อยในสายตัวนำที่มีความเหนี่ยวนำ ซึ่งเป็นสิ่งที่จะต้องคำนึงในการออกแบบระบบสายล่อฟ้า [1] จากการบันทึก รูปคลื่นฟ้าผ่าเป็นจำนวนมาก จะพบว่าเวลาช่วงหน้าคลื่นและเวลาช่วงหางคลื่นจะมีค่าต่างกัน และขึ้นอยู่กับขั้วของกระแสฟ้าผ่าว่าเป็นบวกหรือเป็นลบด้วย ดังในรูปที่ 2.4 กล่าวคือ ฟ้าผ่าเอกสารนี้เป็นเอกสารที่สงวนไว้สำหรับการใช้งานเพื่อการศึกษาเท่านั้น ไม่อนุญาตให้นำไปใช้ประโยชน์ด้านการค้า ไม่ว่าจะกรณีใดๆ ทั้งสิ้น อีกทั้งห้ามมิให้ตัดแปลงเนื้อหา และต้องอ้างอิงถึงเจ้าของเอกสารทุกครั้งที่มีการนำไปใช้

ลพบจะมีช่วงหน้าคลื่นประมาณ 1-18 ไมโครวินาที และเวลาช่วงหางคลื่นประมาณ 5-120 ไมโครวินาที ฟิวส์บางกช่วงเวลาคื่นจะอยู่ในช่วงประมาณ 3.5-200 ไมโครวินาที และช่วงเวลาหางคลื่นจะอยู่ในช่วงประมาณ 25-2000 ไมโครวินาที นั่นคือ โดยเฉลี่ยฟิวส์บางกจะมี ความชันของรูปคลื่นน้อยกว่าและช่วงเวลาหางคลื่นยาวกว่า หรือกล่าวอีกนัยหนึ่งคือจำนวน ประจุของฟิวส์บางกมากกว่าฟิวส์ลพบ [1]



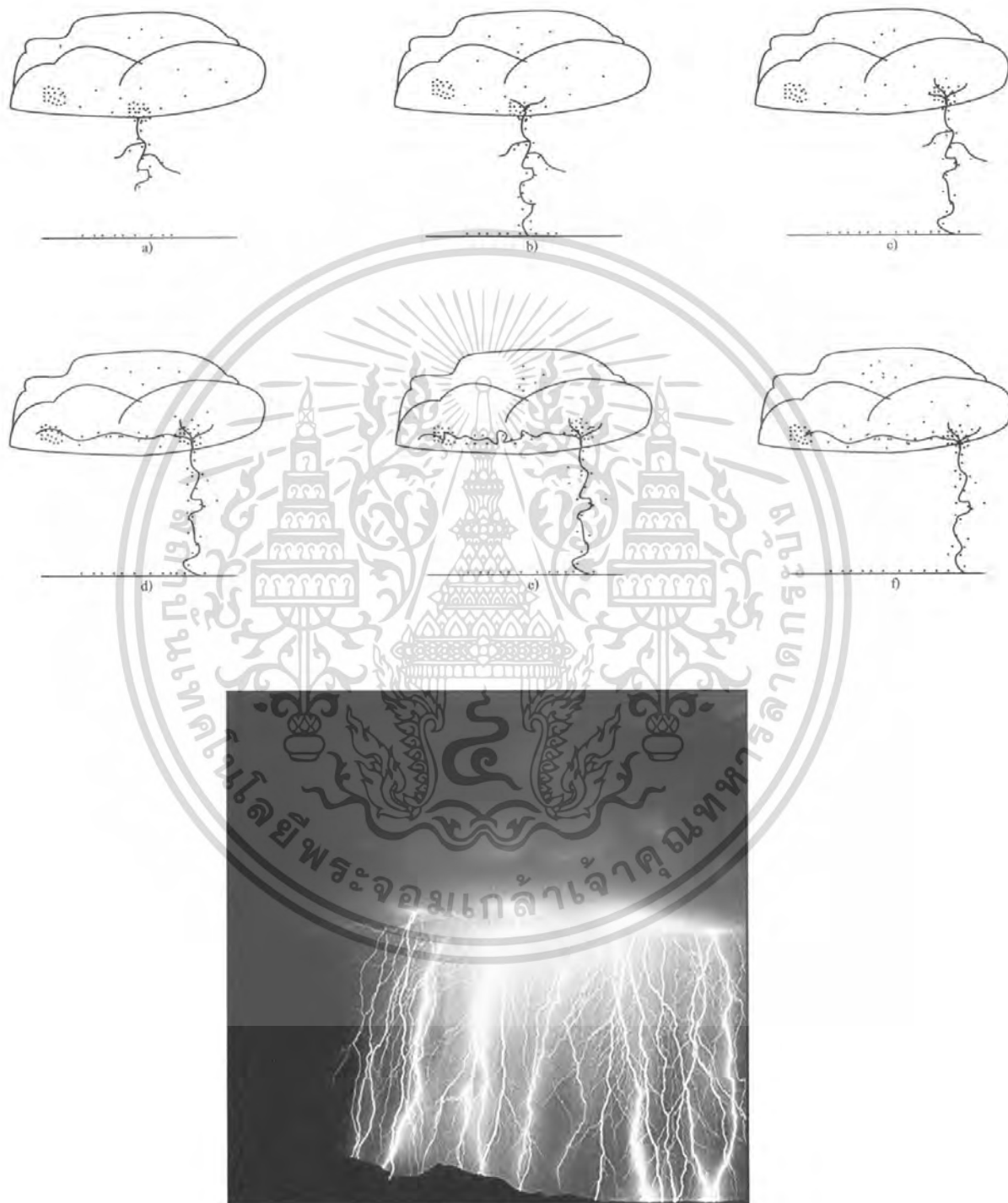
ภาพที่ 2.4 รูปคลื่นของฟิวส์บางกและฟิวส์ลพบ

2.1.4 ฟิวส์ซ้ำหลายลำ (Multi Strokes)

การเกิดฟิวส์ซ้ำหลายลำมีลักษณะดังนี้ คือ เมื่อเกิดฟิวส์ขึ้นในครั้งแรกจะยังคง หลงเหลือแนวของการเกิดฟิวส์ครั้งแรกอยู่ ถ้าประจุที่อยู่ในบริเวณใกล้เคียงกับที่ถ่ายเทลงมา ในครั้งแรกนั้น อาจจะถ่ายเทลงมาตามแนวของการเกิดฟิวส์ครั้งแรกอีก ทำให้เกิดฟิวส์อีก ครั้ง ซึ่งในครั้งนี้จะไม่เกิดแนวของหัวนำร่อง (Leader) เรียกฟิวส์ลักษณะนี้ว่าฟิวส์ซ้ำ จาก ข้อมูลที่เกี่ยวกับปรากฏการณ์ต่างๆ ของฟิวส์ [1] ทำให้ทราบว่า ฟิวส์ลงพื้นโลกประมาณ

เอกสารฉบับนี้ เอกสารลิขสิทธิ์สงวนไว้เพื่อใช้ในการเรียนการสอนเท่านั้น เมื่ออนุญาตให้นำไปใช้ประโยชน์อื่นใด ไม่สามารถใดๆ ทั้งสิ้น อีกทั้งห้ามมิให้ตัดแปลงเนื้อหา และต้องอ้างอิงถึงเจ้าของเอกสารทุกครั้งที่มีการนำไปใช้

60-70% มีลักษณะเป็นฟ้าผ่าซ้ำหลายลำ มีค่าตั้งแต่ 2 ถึงมากกว่า 20 ลำ โดยเฉลี่ยจะประกอบไปด้วย 3 - 4 ลำต่อแฟลช และแต่ละลำมีช่วงเวลาห่างกัน 15-150 ms โดยเฉลี่ยแล้วประมาณ 30-40 ms



ภาพที่ 2.5 กระบวนการฟ้าผ่าซ้ำ

เอกสารนี้เป็นเอกสารที่สงวนไว้สำหรับการใช้งานเพื่อการศึกษาเท่านั้น ไม่อนุญาตให้นำไปใช้ประโยชน์ด้านการค้า ไม่ว่าจะกรณีใดๆ ทั้งสิ้น อีกทั้งห้ามมิให้ตัดแปลงเนื้อหา และต้องอ้างอิงถึงเจ้าของเอกสารทุกครั้งที่มีการนำไปใช้

2.2 แรงแดันไฟฟ้าเกินในระบบส่งจ่ายกำลังไฟฟ้า

แรงแดันไฟฟ้าเกินในระบบส่งจ่ายกำลังไฟฟ้า หรือแรงแดันอิมพัลส์ (Impulse Voltage) ซึ่งอาจจะเกิดขึ้นได้จากสาเหตุที่สำคัญ 2 ประการ คือ จากปรากฏการณ์ธรรมชาติ เช่น ฟ้าผ่า เรียกว่า แรงแดันเกินฟ้าผ่า ส่วนประการที่สองเป็นแรงแดันเกินจากการทำงานของสวิตช์ตัดต่อวงจรในระบบเรียกว่าแรงแดันเกินสวิตช์ซึ่ง เกิดขึ้นในระยะเวลาอันสั้น โดยช่วงระยะเวลาและขนาดของแรงแดันเกิน มีค่าแตกต่างกัน การเกิดแรงแดันเกินสวิตช์โดยทั่วไปมีค่าประมาณ 2 เท่าของพิคแรงแดันซึ่งไม่เป็นอันตรายต่อระบบส่งจ่ายมากนัก แต่แรงแดันเกินฟ้าผ่าจะทำอันตรายกับระบบส่งจ่าย เนื่องจากขนาดของแรงแดันสูงเป็นล้านโวลต์เมื่อเกิดฟ้าผ่าลงบนสายโดยตรง [1]

2.2.1 แรงแดันเกินภายนอก

เนื่องจากระบบส่งจ่ายกำลังไฟฟ้าประเทศไทยส่วนใหญ่ เป็นแบบเดินสายอยู่ภายนอก ซึ่งอยู่ในอากาศ ดังนั้นระบบสายส่งจึงมีโอกาสสูงมากที่จะฟ้าผ่าได้ ทั้งในกรณีผ่าลงโดยตรง หรือการดีสชาร์จ ในกรณีที่เกิดฟ้าผ่าลงบริเวณใกล้เคียง ซึ่งก็จะเป็นสาเหตุที่ทำให้เกิดแรงแดันเกินขึ้นบนสายส่งแรงสูง แรงแดันเกินนี้สามารถคำนวณได้ถ้าหากทราบรูปคลื่นกระแสฟ้าผ่า โดยจะอาศัยหลักการคิดคำนวณตามทฤษฎีของคลื่นจร (Traveling Wave Theory) และทฤษฎีการคำนวณวงจร RLC ลักษณะรูปคลื่นแรงแดันเกินภายนอกหรือแรงแดันอิมพัลส์รูปคลื่นฟ้าผ่า (Lightning Impulse Voltage) นี้จะมีช่วงหน้าคลื่น หมายถึงช่วงเวลาที่แรงแดันเริ่มเพิ่มขึ้น ตั้งแต่ศูนย์จนถึงค่ายอดนั้นสั้นมาก คือ อยู่ในช่วง 1-2 μs และช่วงหางคลื่น คือ แรงแดันลดลงครึ่งหนึ่งของค่ายอดในช่วงเวลาประมาณ 40-60 μs แรงแดันเกินที่เกิดจากฟ้าผ่าที่มีค่ายอดคลื่นสูงมากประมาณ 10 เปอรียูนิทหรือมากกว่านั้น จะเป็นอันตรายกับระบบส่งจ่ายอย่างมาก ซึ่งจำเป็นที่จะต้องรีบกำจัดออกจากระบบเพื่อป้องกันอุปกรณ์ในระบบส่งจ่าย โดยทั่วไปการบอกขนาดของแรงแดันเกินจะบอกด้วยตัวเลข 2 ตัว อยู่ในหน่วยของเวลาซึ่งเขียนอยู่ในรูป T_1/T_2 (T_1 = ช่วงเวลาหน้าคลื่น, T_2 = ช่วงเวลาหางคลื่น) [4]

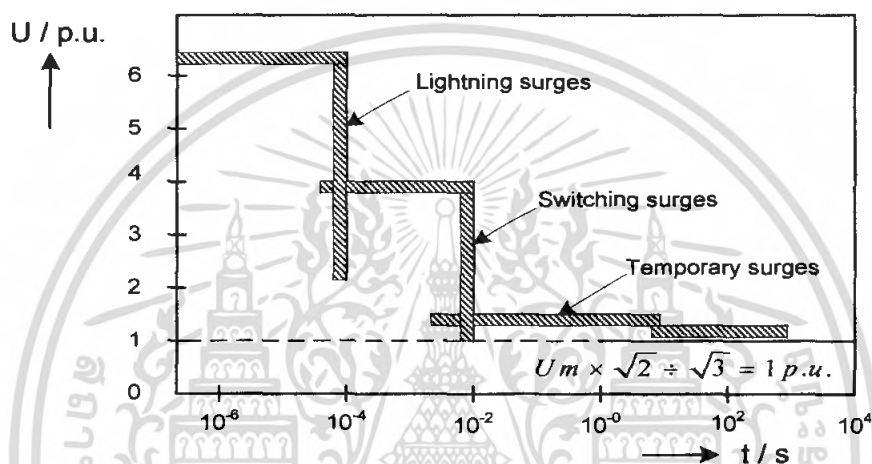
2.2.2 แรงแดันเกินภายใน

สาเหตุที่เกิดแรงแดันเกินภายใน อาจเนื่องจากการทำงานของสวิตช์ตัดต่อวงจร ทั้งในกรณีการทำงานของผู้ปฏิบัติงานและการทำงานโดยอัตโนมัติเมื่อเกิดความบกพร่องขึ้น แรงแดันเกินดังกล่าวเกิดจากการทำงานของสวิตช์ เรียกว่าแรงแดันเกินสวิตช์ (Switching Overvoltage) หรืออิมพัลส์แบบสวิตช์ (Switching Impulse) หรือเกิดจากการลัดวงจรเนื่องจากความบกพร่องของฉนวน หรือเกิดจากแรงแดันเกินภายนอก คือแรงแดันฟ้าผ่าที่ทำให้เกิดสปาร์กหรือวาบไฟตามผิวฉนวนภายนอกที่มีความสกปรก เปียกฝน ชื้นด้วยหมอก น้ำค้าง หรือเกิดลัดวงจรเนื่องจากมีสิ่งแปลกปลอม หรือเกิดจากวงจรรีโซแนนซ์ เพราะค่าคาปาซิแตนซ์และอินดักแตนซ์ในสายส่งรูปลักษณะของคลื่นแรงแดันภายในนี้จะช้ากว่าแรงแดันเกินภายนอก คือ ช่วงหน้าคลื่นจะอยู่ในช่วง 100 - 300 μs และช่วงหางคลื่นอยู่ในช่วง 2,000 - 3,000 μs แรงแดันเกินสวิตช์นี้ไม่มีความหมายต่อการทดสอบระดับการฉนวนที่ใช้กับระบบไฟฟ้าแรงแดันต่ำกว่า 300 kV แต่ที่ระบบแรงแดันสูงกว่า 300 kV การทดสอบด้วยแรงแดันอิมพัลส์แบบสวิตช์ซึ่งจะมี

ความหมายมากขึ้นเมื่อเทียบกับแรงดันอิมพัลส์ฟ้าผ่า แรงดันเกินที่เกิดจากการสวิตช์ซึ่งมีค่ายอดคลื่นสูงประมาณ 4 เปอรียูนิท [1]

2.2.3 แรงดันเกินชั่วคราว (Temporary Overvoltage)

จะแตกต่างจากแรงดันเกินเนื่องจากคลื่นเสิร์จ ช่วงความถี่ของแรงดันเกินชั่วคราวจะมีตั้งแต่ไม่กี่เฮิรตซ์ไปจนถึงหลายร้อยเฮิรตซ์ และมีช่วงระยะเวลาจากไม่กี่วินาที ไปจนถึงเป็นชั่วโมง (ขึ้นอยู่กับช่วงระยะเวลาที่ใช้ในการกำจัดฟอลต์) รูปแบบทั่วไปส่วนใหญ่ของแรงดันเกินชั่วคราวจะเกิดบนเฟสที่ไม่เกิดฟอลต์ เมื่อมีฟอลต์ลงดินแบบ 1 เฟส หรือ 2 เฟส เกิดขึ้น แรงดันเกินแบบนี้มีค่าไม่เกิน $\sqrt{3}$ เปอรียูนิท และไม่มีอันตรรกะกับระบบส่งจ่ายกำลังไฟฟ้า



ภาพที่ 2.6 เปรียบเทียบลักษณะแรงดันเกินภายนอก , แรงดันเกินภายในและแรงดันเกินชั่วคราว

2.3 ครอบเอาต์ฟิวส์

ครอบเอาต์ฟิวส์เป็นอุปกรณ์ป้องกันกระแสเกินพิกัดที่ใช้ในระบบจำหน่ายแรงสูง ซึ่งมีการใช้งานทั่วไป เนื่องจากมีราคาถูกและมีหลักการทำงานไม่ซับซ้อนมาก โดยมีฟิวส์ลิงค์เป็นตัวทำหน้าที่หลอม-ละลายตัดวงจรออก [3] โดยครอบเอาต์ฟิวส์ต้องมีคุณสมบัติดังนี้

1. ต้องมีค่าความทนต่อแรงดันไฟฟ้ารูปคลื่นฟ้าผ่า ซึ่งหมายถึงค่าสูงสุดของรูปคลื่น
2. แรงดันไฟฟ้าระดับการฉนวนอิมพัลส์มูลฐาน (BIL = Basic Impulse Insulation Level) ที่ฉนวนสามารถจะทนได้
3. ต้องมีโครงสร้างที่แข็งแรง เหมาะสมที่จะติดตั้งกับเสาไฟฟ้าหรือคอนสายได้
4. แรงดันใช้งาน (Operating Voltage) จะต้องเหมาะสมกับระบบแรงดันไฟฟ้าที่ใช้อยู่ เช่น 12 , 22 , 33 กิโลโวลต์ เป็นต้น

การทำงานของครอบเอาต์ฟิวส์จะเกิดขึ้นเมื่อ มีกระแสเกินพิกัดมากพอที่จะทำให้ส่วนหลอมละลายของฟิวส์ลิงค์เริ่มหลอมละลาย ความร้อนที่เกิดขึ้นจะทำให้ไฟเบอร์ที่อยู่ภายในกระบอกฟิวส์ร้อน และทำให้เกิดการแตกตัวของก๊าซภายในกระบอกฟิวส์ ก่อนที่ส่วนหลอม

เอกสารนี้เป็นเอกสารที่สงวนไว้สำหรับการใช้งานเพื่อการศึกษาเท่านั้น ไม่อนุญาตให้นำไปใช้ประโยชน์ด้านการค้า ไม่ว่าจะกรณีใดๆ ทั้งสิ้น อีกทั้งห้ามมิให้ตัดแปลงเนื้อหา และต้องอ้างอิงถึงเจ้าของเอกสารทุกครั้งที่มีการนำไปใช้

ละลายจะขาดออกจากกันนั้น จะเกิดอาร์กขึ้น ซึ่งอาร์กนี้จะถูกยึดและทำให้ดับไปโดยการดับออกของก๊าซทางส่วนล่างหรือส่วนหัวของกระบอกฟิวส์ เกิดแรงดึง ทำให้กระบอกฟิวส์ตกลง



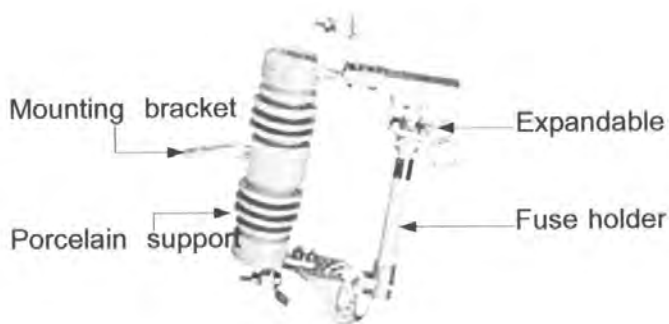
ภาพที่ 2.7 การติดตั้งครอบเอาต์ฟิวส์ที่ใช้งานในระบบไฟฟ้า

2.3.1 ชนิดของครอบเอาต์ฟิวส์

ครอบเอาต์ฟิวส์แบ่งออกเป็น 3 ชนิด คือ ชนิดที่ตัวฟิวส์อยู่ในกระบอก ชนิดที่ตัวฟิวส์ไม่ได้อยู่ในกระบอกและชนิดที่อยู่ภายในสิ่งห่อหุ้ม ส่วนการเลือกใช้ใช้งานจะต้องพิจารณาถึงสิ่งแวดล้อมเป็นหลัก[3]

1. ชนิดที่ตัวฟิวส์อยู่ในกระบอก (Open Type) ฟิวส์ประเภทนี้เป็นเอ็กซ์แพนชัน (Expansion) คือเป็นอุปกรณ์ป้องกันที่มีการพองขยายของไฟและก๊าซ ในขณะที่ตัวฟิวส์หลอมขาดออกจากกันเนื่องจากการลัดวงจร
2. ชนิดที่ตัวฟิวส์ไม่ได้อยู่ในกระบอก (Open-link Type) เป็นฟิวส์ประเภทเอ็กซ์แพนชันเหมือนประเภทแรก เพียงแต่ตัวฟิวส์ลิงค์เป็นชนิดที่ไม่ได้บรรจุในกระบอกฟิวส์
3. ชนิดที่อยู่ภายในสิ่งห่อหุ้ม (Enclosed Type) จะเป็นฟิวส์ประเภทเอ็กซ์แพนชัน แตกต่างจากแบบแรก เพียงแต่กระบอกฟิวส์และขั้วต่อสายใส่บรรจุอยู่ในกล่องล้อมปิด โดยโครงการนี้เป็นการศึกษาครอบเอาต์ฟิวส์ชนิดที่ตัวฟิวส์อยู่ในกระบอก ซึ่งประกอบด้วยส่วนต่างๆ ดังภาพที่ 2.8

เอกสารนี้เป็นเอกสารที่สงวนไว้สำหรับการใช้งานเพื่อการศึกษาเท่านั้น ไม่อนุญาตให้นำไปใช้ประโยชน์ด้านการค้า ไม่ว่าจะกรณีใดๆ ทั้งสิ้น อีกทั้งห้ามมิให้ตัดแปลงเนื้อหา และต้องอ้างอิงถึงเจ้าของเอกสารทุกครั้งที่มีการนำไปใช้



ภาพที่ 2.8 ส่วนประกอบหลักของทรอปเอาท์ฟิวส์

จากรูปที่ 2.8 สามารถอธิบายส่วนประกอบหลัก ๆ ได้ดังนี้

1. Mounting bracket สำหรับยึดทรอปเอาท์ฟิวส์เข้ากับคอนสาย
2. Porcelain support เป็นฉนวนสำหรับติดตั้งฟิวส์ที่ทเอาท์กับ Mounting bracket
3. Fuse holder เป็นกระบอกที่ใส่ฟิวส์ลิ่งค์ ภายใต้วัยไฟเบอร์
4. Expandable cap เป็นฝาครอบอยู่บนส่วนหัวกระบอกฟิวส์

2.3.2 ฟิวส์ลิ่งค์

ฟิวส์ลิ่งค์ทำหน้าที่หลอมละลายตัดวงจรออกเมื่อเกิดกระแสเกินพิกัดมากพอที่จะทำให้ส่วนหลอมละลายของฟิวส์ลิ่งค์เริ่มหลอมละลายส่วนประกอบของฟิวส์ลิ่งค์ดังรูปที่ 2.9



ภาพที่ 2.9 ส่วนประกอบของฟิวส์ลิ่งค์

เอกสารนี้เป็นเอกสารที่สงวนไว้สำหรับการใช้งานเพื่อการศึกษาเท่านั้น ไม่อนุญาตให้นำไปใช้ประโยชน์ด้านการค้า ไม่ว่าจะกรณีใดๆ ทั้งสิ้น อีกทั้งห้ามมิให้ตัดแปลงเนื้อหา และต้องอ้างอิงถึงเจ้าของเอกสารทุกครั้งที่มีการนำไปใช้

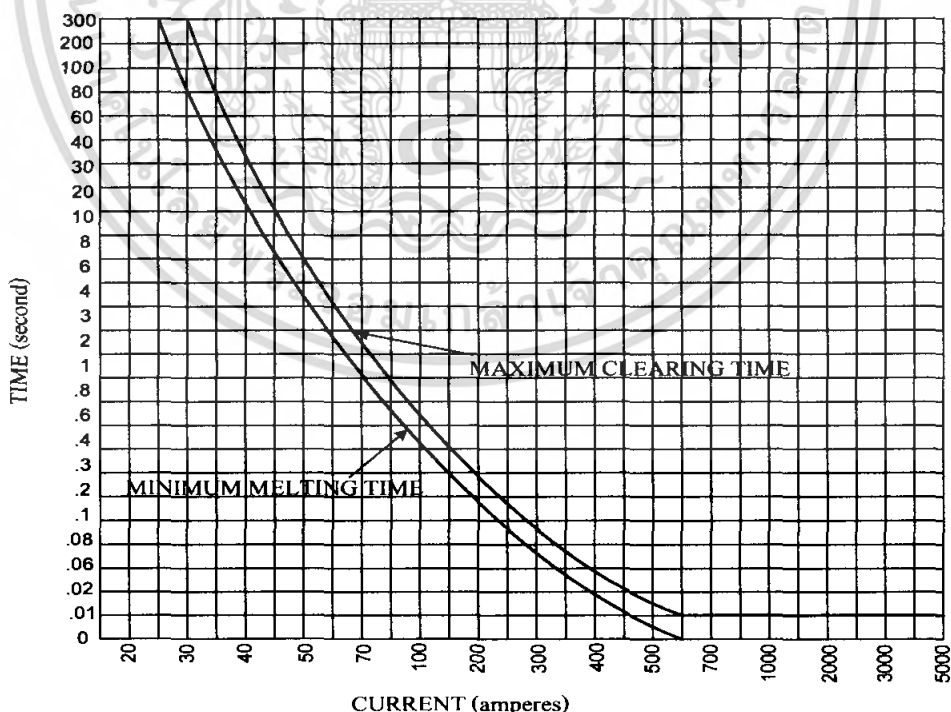
ส่วนประกอบฟิวส์ลิงค์ที่สำคัญมีดังนี้

1. ส่วนหัวของฟิวส์ (Button head) ลักษณะเป็นปม มีหน้าสัมผัสให้กระแสไหลตลอดผ่านได้สะดวก
2. ส่วนหลอมละลาย (Fusible element) จะอยู่ตอนกลางของฟิวส์ลิงค์ ทำด้วยวัสดุที่แตกต่างกันออกไปตามชนิดของฟิวส์ลิงค์ เช่น ทำด้วยเงิน ดีบุก เป็นต้น โดยมีความยาวและพื้นที่หน้าตัดเป็นตัวกำหนดลักษณะความสัมพันธ์ระหว่างกระแสและเวลา (Time-current characteristic curve)
3. ส่วนหางฟิวส์ (Leader) เป็นทองแดงดีเกลียวสำหรับยึดฟิวส์ลิงค์กับตัวกระบอกฟิวส์

ฟิวส์ลิงค์สามารถแบ่งออกเป็น 2 ชนิดตามลักษณะการทำงานคือแบบ K (แบบขาดเร็ว) และแบบ T (แบบขาดช้า) โดยทั่วไปการใช้งานครอบเอาท์ฟิวส์ในระบบส่งจ่ายกำลังไฟฟ้าจะเป็นการใช้ ฟิวส์ลิงค์แบบ K เพียงอย่างเดียว เพื่อสะดวกในการสำรองฟิวส์ลิงค์และไม่ยุ่งยากซับซ้อนในการนำไปติดตั้งใช้งาน

2.3.3 ความสัมพันธ์ระหว่างกระแสและเวลา

คุณสมบัติของฟิวส์ลิงค์แต่ละขนาดจะถูกกำหนดโดยความสัมพันธ์ระหว่างกระแสและเวลาของฟิวส์ลิงค์เป็น 2 ช่วงดังรูปที่ 2.10 คือ



ภาพที่ 2.10 คุณสมบัติการทำงานของฟิวส์ลิงค์

เอกสารนี้เป็นเอกสารที่สงวนไว้สำหรับการใช้งานเพื่อการศึกษาเท่านั้น ไม่อนุญาตให้นำไปใช้ประโยชน์ด้านการค้า ไม่ว่าจะกรณีใดๆ ทั้งสิ้น อีกทั้งห้ามมิให้ตัดแปลงเนื้อหา และต้องอ้างอิงถึงเจ้าของเอกสารทุกครั้งที่มีการนำไปใช้

จากรูปที่ 2.10 สามารถอธิบายลักษณะการทำงานของฟิวส์ลิ่งค์ได้ดังนี้

1. เวล่าน้อยที่สุดที่ฟิวส์เริ่มหลอมละลาย (Minimum melting time) กำหนดให้ฟิวส์ลิ่งค์แบบ K เริ่มหลอมละลายเมื่อมีกระแสไหลผ่านฟิวส์ลิ่งค์เป็น 2 พิกัดขนาดฟิวส์เป็นเวลา 300 วินาที สำหรับฟิวส์ลิ่งค์ขนาด 1 ถึง 100 แอมแปร์ และเป็นเวลา 600 วินาที สำหรับฟิวส์ขนาด 140 และ 200 แอมแปร์
2. เวลาที่มากที่สุดที่ฟิวส์ลิ่งค์ขาดออกจากกัน (Maximum clearing time) เป็นเวลาที่ต้องใช้ตั้งแต่ฟิวส์เริ่มหลอมละลายจนฟิวส์ขาดและหมดอาร์ก หรือเรียกอีกชื่อว่า

$$\text{Total clearing time} = \text{Maximum melting time} + \text{Arcing time}$$

2.4 กับดีกฟ้าผ่า

โดยในยุคเริ่มต้นที่มีการใช้ระบบไฟฟ้าแรงสูงการป้องกันแรงดันเกินในระบบไฟฟ้าจะใช้รีดแกป (Rod Gap) ที่มีราคาถูกเพื่อเป็นตัวนำกระแสให้ไหลลงดิน แต่จะเกิดกระแสที่ความถี่กำลังไหลตาม (Power Follow Current) เนื่องจากไม่สามารถดับอาร์กได้ทันที ทำให้เกิดการลัดวงจรลงดิน และอุปกรณ์ป้องกันจะทำงาน เพื่อหยุดการนำไฟฟ้าของรีดแกป ดังนั้นความเชื่อถือได้ของระบบไฟฟ้าจึงลดลง แต่ปัจจุบันอุปกรณ์ที่นำมาใช้ป้องกันแรงดันเกินในระบบไฟฟ้าได้อย่างมีประสิทธิภาพนั้น ได้แก่ กับดีกฟ้าผ่า โดยจะเป็นทางให้กระแสไหลลงดินเมื่อมีแรงดันเกินเข้ามาในระบบ และตัดกระแสที่ความถี่กำลังไม่ให้ไหลตามลงดินได้

กับดีกฟ้าผ่าที่ใช้ในปัจจุบันเป็นชนิดแบบไม่มีแกป ที่มีคุณสมบัติเป็นความต้านทานที่ไม่เป็นเชิงเส้น (Non Linear Resistor) คือ มีความต้านทานต่ำ เมื่อมีแรงดันสูงขึ้น ทำให้กระแสไหลผ่านตัว กับดีกฟ้าผ่าลงดินได้ กับดีกฟ้าผ่าแบบไม่มีแกปครั้งแรกถูกนำเสนอโดยมัดสุโอเกะ ในปี ค.ศ. 1971 และในสหรัฐอเมริกา กับดีกฟ้าผ่าได้ถูกนำเข้ามาครั้งแรกในปี ค.ศ. 1977 โดย Sakshaug et al. เพราะปัญหาเรื่องเสถียรภาพและช่วงชีวิตของสารเมทัลออกไซด์ ในช่วงแรกกับดีกฟ้าผ่าจึงเป็นแบบที่มีแกปในการลดแรงดันในระบบที่ป้องกัน และต่อมาได้มีการพัฒนาสูตรและสมการต่างๆ ทำให้การใช้แกปมีความสำคัญลดน้อยลง และได้เข้าสู่การพัฒนาของกับดีกฟ้าผ่าที่ไม่ใช่แกป แต่ในปัจจุบันก็ยังคงมีการใช้กับดีกฟ้าผ่าแบบมีแกปในระบบที่มีแรงดันสูงๆ เพื่อจำกัดปัญหาเรื่องกระแสที่ไหลผ่านกับดีกฟ้าผ่าแบบมีแกปในขณะที่ใช้งานปกติ ซึ่งอาจจะก่อให้เกิดอันตรายต่อผู้ใช้งานได้

กับดีกฟ้าผ่าที่ถูกใช้งานอยู่ในปัจจุบันสามารถแบ่งออกได้เป็น 3 ชนิดตามลักษณะโครงสร้างที่สำคัญ คือ

1. กับดีกฟ้าผ่าแบบมีแกป หรือ Gap-Silicon Carbide Arrester
2. กับดีกฟ้าผ่าแบบไม่มีแกป หรือ Gapless Zinc Oxide Arrester หรือ Metal Oxide Varister
3. กับดีกฟ้าผ่าแบบมีแกปทำงานร่วมกับชิงค์ออกไซด์ เรียกว่า Current Limiting Arcing Horn (CLAH)

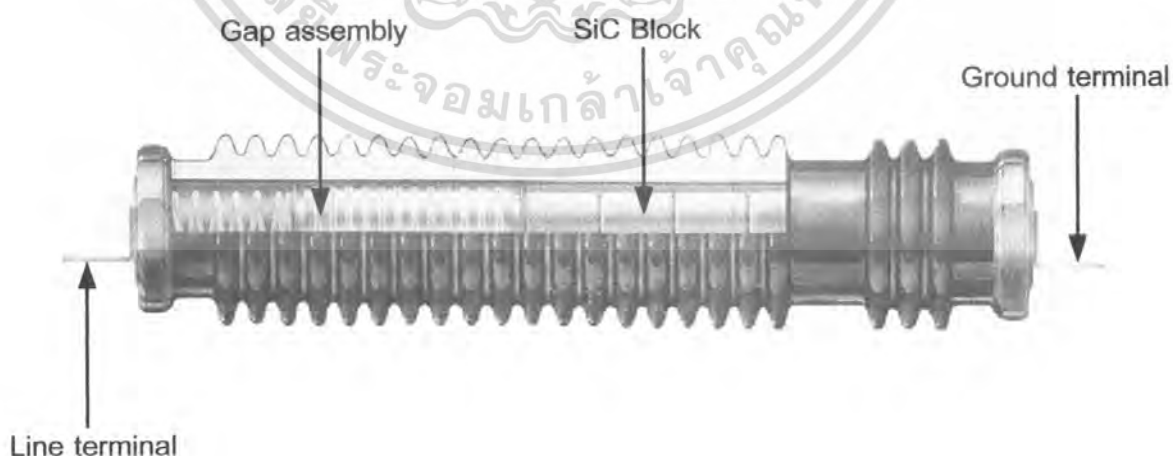
เอกสารนี้เป็นเอกสารที่สงวนไว้สำหรับการใช้งานเพื่อการศึกษาเท่านั้น ไม่อนุญาตให้นำไปใช้ประโยชน์ด้านการค้า ไม่ว่าจะกรณีใดๆ ทั้งสิ้น อีกทั้งห้ามมิให้ตัดแปลงเนื้อหา และต้องอ้างอิงถึงเจ้าของเอกสารทุกครั้งที่มีการนำไปใช้



ภาพที่ 2.11 การติดตั้งกับดักฟ้าผ่าที่ใช้งานในระบบส่งจ่าย

2.4.1 กับดักฟ้าผ่าแบบมีแกป

โครงสร้างที่สำคัญของกับดักฟ้าผ่าแบบมีแกป จะประกอบด้วย ช่องประกาย (Spark Gap) ต่ออนุกรมกับตัวต้านทานแบบไม่เป็นเชิงเส้นชนิดซิลิคอนคาร์ไบด์ (SiC) บรรจุอยู่ภายใน โครงสร้างฉนวนที่มักทำด้วยพอร์ซเลน (Porcelain Insulator) ดังแสดงในรูปที่ 2.12 ในการทำหน้าที่ป้องกันแรงดันเกินนั้น ส่วนใหญ่กับดักฟ้าผ่าจะถูกติดตั้งไว้กับสายเฟสในระบบสายส่งโดย ต่อจากเฟสลงดิน หรือติดตั้งไว้ที่หน้าหม้อแปลงไฟฟ้าในลักษณะต่อขนานกับหม้อแปลงไฟฟ้า [2]



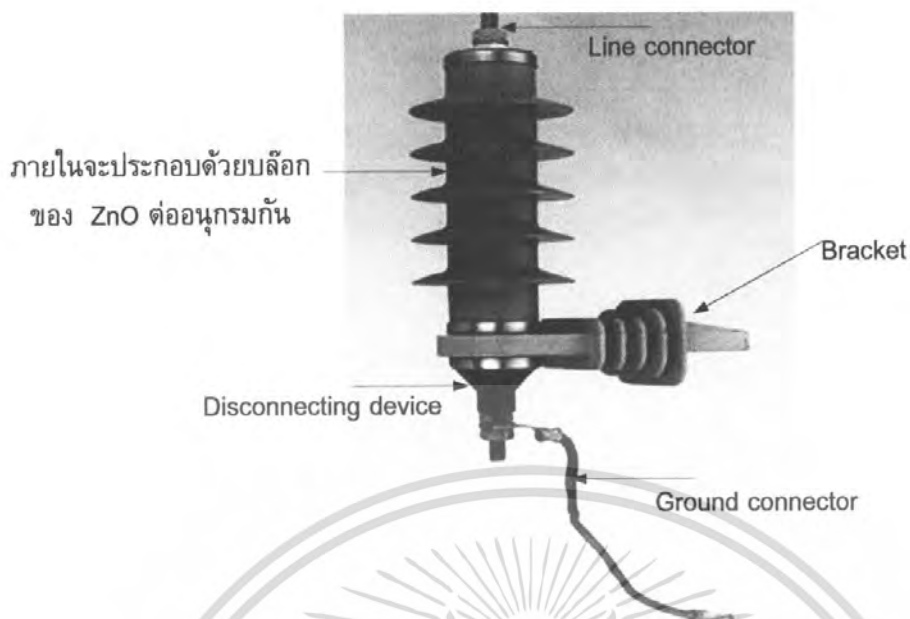
ภาพที่ 2.12 โครงสร้างของกับดักฟ้าผ่าแบบมีแกป

เอกสารนี้เป็นเอกสารที่สงวนไว้สำหรับการใช้งานเพื่อการศึกษาเท่านั้น ไม่อนุญาตให้นำไปใช้ประโยชน์ด้านการค้า ไม่ว่าจะกรณีใดๆ ทั้งสิ้น อีกทั้งห้ามมิให้ตัดแปลงเนื้อหา และต้องอ้างอิงถึงเจ้าของเอกสารทุกครั้งที่มีการนำไปใช้

ภายใต้ภาวะระดับแรงดันใช้งานปกติของระบบไฟฟ้า กับดักฟ้าผ่าแบบมีแกปจะมีความต้านทานสูงมากและไม่มีการแสไฟฟ้าไหลผ่านตัวมันเลย เมื่อมีแรงดันเกินเกิดขึ้นในระบบไฟฟ้า เช่น แรงดันเกินฟ้าผ่า จะทำให้แรงดันที่ตกคร่อมกับดักฟ้าผ่าแบบมีแกปมีค่าสูงขึ้นหากแรงดันเกินดังกล่าวมีค่าสูงถึงค่าแรงดันประกายข้าม (Sparkover Voltage) ของกับดักฟ้าผ่าช่องประกายจะนำกระแส ทำให้แรงดันเกินทั้งหมดตกคร่อมซิลิคอนคาร์ไบด์ ซึ่งเมื่อซิลิคอนคาร์ไบด์ได้รับแรงดันสูงขึ้น ค่าความต้านทานจะมีค่าลดลง ทำให้กระแสเสิร์จไหลผ่านลงดินหรืออาจเรียกว่าเป็นการถ่ายเทประจุลงดินก็ได้ ซึ่งจะเป็นการรักษาระดับแรงดันเกินให้อยู่ในระดับปลอดภัยต่ออุปกรณ์ไฟฟ้าที่ถูกป้องกันอยู่ เมื่อแรงดันมีค่าลดลงซิลิคอนคาร์ไบด์จะมีค่าความต้านทานที่เพิ่มขึ้น กระแสเสิร์จที่ไหลผ่านลงดินจะมีค่าลดลง ช่องประกายข้ามจะหยุดนำกระแสในเวลาต่อมา ทำให้ซิลิคอนคาร์ไบด์กลับคืนสู่สภาวะทำงานปกติได้เองหลังจากที่แรงดันเกินหมดไปแต่กับดักฟ้าผ่าแบบนี้จะมีปัญหาที่สำคัญเกี่ยวกับกระแสไหลตาม (Follow Current) เนื่องจากไม่สามารถดับอาร์กที่เกิดขึ้นได้ทันที ซึ่งจะมีช่วงเวลาที่ต้องใช้เพื่อให้อาร์คดับลงทำให้ยังคงมีกระแสไหลผ่านตัวกับดักฟ้าผ่าอีกเป็นระยะเวลาหนึ่ง ซึ่งอาจจะทำให้เกิดความชำรุดเสียหายได้

2.4.2 กับดักฟ้าผ่าแบบไม่มีแกป

เนื่องจากโครงสร้างและลักษณะการทำงานที่ซับซ้อนของกับดักฟ้าผ่าแบบมีแกป ทำให้มีการพัฒนาดักฟ้าผ่าให้มีประสิทธิภาพ และความเชื่อถือได้ในการทำงานเพิ่มขึ้นโดยได้มีการเลือกใช้ ซิงค์ออกไซด์ (ZnO) หรือ เมทัลออกไซด์ (MO) หลายๆ ชนิดมาผสมกัน ทำให้ได้ค่าความต้านทานที่ไม่เป็นเชิงเส้นมากขึ้น ไม่ต้องใช้ช่องประกายช่วยในการทำงาน สามารถนำกระแสเสิร์จลงดินได้ดีและช่วยให้แรงดันที่ตกคร่อมกับดักเสิร์จมีขนาดต่ำลงด้วย เป็นผลดีทำให้ระดับแรงดันเกินมีค่าลดลง นอกจากนี้กับดักฟ้าผ่าแบบไม่มีแกปจะมีโครงสร้างที่ง่ายกว่ากับดักฟ้าผ่าแบบมีแกป ดังภาพที่ 2.13



ภาพที่ 2.13 โครงสร้างของกับดักฟ้าผ่าแบบไม่มีแกป



ภาพที่ 2.14 ZnO ที่อยู่ภายในกับดักฟ้าผ่า

2.4.3 กับดักฟ้าผ่าแบบมีแกปทำงานร่วมกับซิงค์ออกไซด์

เป็นอุปกรณ์ป้องกันแรงดันเกินชนิดหนึ่ง ที่มีโครงสร้างที่ประกอบไปด้วย คู่ขั้วเบี่ยงอาร์กหรือ อาร์กชิงฮอร์น (Arcing Horn) ต่ออนุกรมกับซิงค์ออกไซด์เพื่อป้องกันความเสียหายที่เกิดขึ้นกับสายไฟ ในระบบจำหน่ายเนื่องจากฟ้าผ่า โดยติดตั้งไว้กับลูกถ้วยฉนวนที่เสาไฟฟ้า เอกสารนี้เป็นเอกสารที่สงวนไว้สำหรับการใช้งานเพื่อการศึกษาเท่านั้น ไม่อนุญาตให้นำไปใช้ประโยชน์ด้านการค้า ไม่ว่าจะกรณีใดๆ ทั้งสิ้น อีกทั้งห้ามมิให้ตัดแปลงเนื้อหา และต้องอ้างอิงถึงเจ้าของเอกสารทุกครั้งที่มีการนำไปใช้

โดยหลักการทำงานของอาร์กชิงฮอร์นนั้น จะทำหน้าที่ดักจับแรงดันเกินฟ้าผ่าที่เกิดขึ้นจากการเกิดฟ้าผ่าลงบนสายเฟสโดยตรง เพื่อนำกระแสเสิร์จให้ผ่านวงแหวนอาร์กหรือริงฮอร์น (Ring Horn) ไปสู่ชิงค์ออกไซด์และปล่อยประจุผ่านลงสู่ดิน เมื่อระดับแรงดันเกินมีค่าลดลง ริงฮอร์นก็จะหยุดการประกายข้ามและหยุดนำกระแสเสิร์จลงดินในเวลาต่อมา ทำให้กับดักฟ้าผ่าแบบมีแกปทำงานร่วมกับชิงค์ออกไซด์ กลับคืนสู่สภาวะทำงานปกติได้เองหลังจากแรงดันเกินหมดไป จากลักษณะของโครงสร้างและหลักการทำงานของกับดักฟ้าผ่าแบบมีแกปทำงานร่วมกับชิงค์ออกไซด์ ดังกล่าวจึงเปรียบเสมือนเป็นกับดักฟ้าผ่าแบบมีแกปภายนอกที่ทำงานร่วมกับชิงค์ออกไซด์

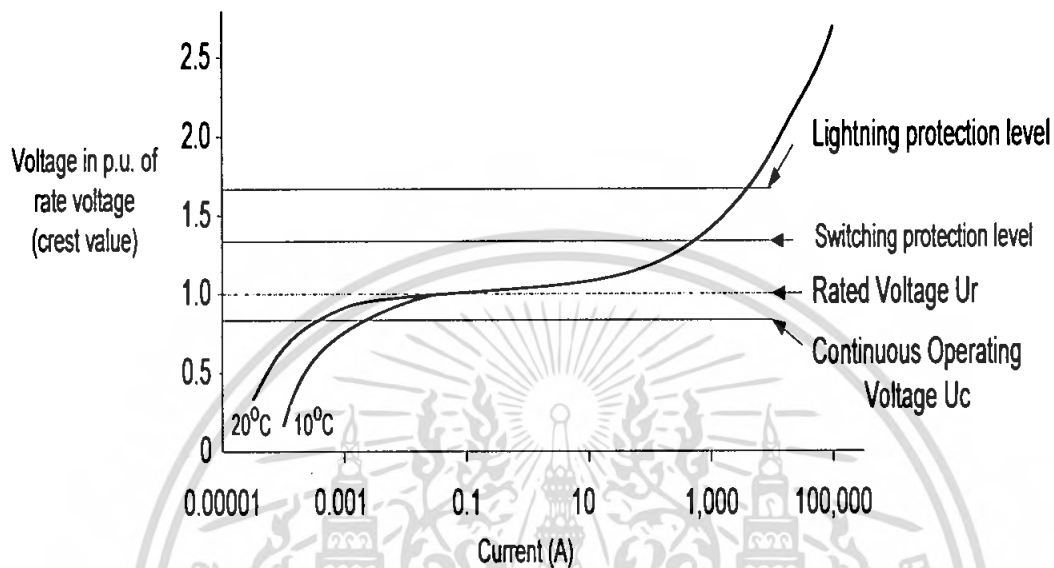


ภาพที่ 2.15 กับดักฟ้าผ่าที่มีโครงสร้างที่ประกอบด้วย คู่ขั้วเบี่ยงอาร์ก หรือ อาร์กชิงฮอร์น ต่ออนุกรมกับ ชิงค์ออกไซด์

2.4.4 ลักษณะสมบัติแรงดัน - กระแสของกับดักฟ้าผ่า

ถึงแม้ว่าลักษณะโครงสร้างและกลไกการทำงานของกับดักฟ้าผ่าทั้ง 3 ชนิด จะแตกต่างกัน โดยเฉพาะการใช้ช่องประกายข้ามและกลไกการเกิดประกายข้าม จะเป็นคุณสมบัติเฉพาะของกับดักฟ้าผ่าแบบมีแกป และกับดักฟ้าผ่าแบบมีแกปทำงานร่วมกับชิงค์ออกไซด์เท่านั้น แต่เมื่อพิจารณาถึงลักษณะสมบัติของแรงดันตกคร่อมกับดักฟ้าผ่า (Residual Voltage) กับกระแสของกับดักฟ้าผ่าแบบ มีแกป และกับดักฟ้าผ่าแบบมีแกปทำงานร่วมกับชิงค์ออกไซด์ หลังจากที่เกิดการประกายข้ามช่องประกายแล้วนั้น กับดักฟ้าผ่าทั้งสองชนิดจะให้ผลตอบสนองแรงดันและกระแสในลักษณะเดียวกันกับ กับดักฟ้าผ่าแบบไม่มีแกป เนื่องจากกับดักฟ้าผ่าทั้ง 3 ชนิด มีคุณสมบัติเป็นตัวต้านทานที่มีค่าไม่เป็นเชิงเส้นเหมือนกัน นั่นคือที่ระดับแรงดันต่ำค่าความต้านทานจะมีค่าสูง กระแสไหลผ่านได้น้อยเมื่อแรงดันสูงขึ้นค่าความต้านทานจะมีค่าลดลง อย่างไม่จำกัดๆ ทั้งสิ้น อีกทั้งห้ามมิให้ตัดแปลงเนื้อหา และต้องอ้างอิงถึงเจ้าของเอกสารทุกครั้งที่มีการนำไปใช้

กระแสไหลผ่านได้เพิ่มขึ้น และค่าของความต้านทานจะยังมีค่าลดลงต่ำลงมากเมื่อระดับแรงดันเกินมีค่าสูงเพิ่มขึ้น



รูปที่ 2.16 การนำกระแสและแรงดันที่ตกคร่อมกับดักฟ้าผ่าแบบไม่มีแกป

จากภาพที่ 2.16 สามารถอธิบายลักษณะสมบัติการนำกระแสและแรงดันที่ตกคร่อมกับดักฟ้าผ่าแบบไม่มีแกป สามารถแสดงได้ด้วยเส้นโค้งแรงดัน – กระแส (Volt – Current Curve) ของกับดักฟ้าผ่า ซึ่งจะเห็นว่าการทำงานของกับดักฟ้าผ่าแบบไม่มีแกปสามารถแบ่งออกเป็น 3 ช่วง คือ

ช่วงที่ 1 เป็นช่วงที่ระบบไฟฟ้ามีระดับแรงดันปกติ ซึ่งจะต่ำกว่าจุดเริ่มทำงานของกับดักฟ้าผ่าแบบไม่มีแกป ค่าความต้านทานของกับดักฟ้าผ่าแบบไม่มีแกปจะมีค่าสูงมาก ทำให้กระแสไฟฟ้าที่ไหลผ่านกับดักฟ้าผ่าแบบไม่มีแกป มีค่าน้อยมากในหน่วยไมโครแอมแปร์ถึง มิลลิแอมแปร์

ช่วงที่ 2 จะมีระดับแรงดันเกินเพิ่มขึ้น ซึ่งจะเป็นแรงดันเกินที่อยู่ในระดับของแรงดันเกินชั่วคราว (Temporary Overvoltage) และแรงดันเกินสวิตชิง ค่าความต้านทานของกับดักฟ้าผ่าแบบไม่มีแกปจะมีค่าลดลง ทำให้มีกระแสไหลผ่านกับดักฟ้าผ่าแบบไม่มีแกปเพิ่มขึ้นในหน่วยแอมแปร์

ช่วงที่ 3 แรงดันเกินที่ตกคร่อมกับดักฟ้าผ่าแบบไม่มีแกปจะมีค่าสูงมาก ซึ่งเป็นแรงดันเกินในระดับฟ้าผ่า ค่าความต้านทานของกับดักฟ้าผ่าแบบไม่มีแกปจะมีค่าต่ำลงมาก ทำให้มีกระแสลัดไหลผ่านกับดักฟ้าผ่าแบบไม่มีแกปได้เพิ่มมากขึ้นในหน่วยกิโลแอมป์

2.5 การทดสอบอิมพัลส์

แรงดันอิมพัลส์เป็นแรงดันทรานเซียนต์แบบไม่เป็นรายคาบ (Non-periodic Transient Volage) ซึ่งค่าแรงดันจะเพิ่มขึ้นอย่างรวดเร็วจากศูนย์ไปถึงค่ายอดแล้วค่อย ๆ ลดลงไปถึงศูนย์อย่างช้า ๆ ในทางปฏิบัติอาจแบ่งแรงดันอิมพัลส์ตามลักษณะรูปลักษณ์หรือสาเหตุที่เกิดขึ้นได้เป็น 2 ชนิด คือ

1. แรงดันอิมพัลส์ฟ้าผ่า (Lightning Impulse) มีสาเหตุมาจากแหล่งกำเนิดอื่นภายนอกระบบ ไฟฟ้า ซึ่งเป็นผลจากปรากฏการณ์ฟ้าผ่าตามธรรมชาติที่ควบคุมไม่ได้
2. แรงดันอิมพัลส์สวิตชิง (Switching Impulse) มีต้นเหตุมาจากการทำงานของอุปกรณ์ตัดตอนภายในระบบเอง ซึ่งรวมทั้งการทำงานในสภาวะการตัดต่อวงจรตามปกติและในขณะเมื่อเกิดความผิดปกติ (Fault) ขึ้นในระบบ

แรงดันอิมพัลส์ที่สร้างขึ้นในห้องปฏิบัติการไฟฟ้าแรงสูง โดยทั่วไปจะมีวัตถุประสงค์หลักเพื่อใช้ทดสอบระดับการฉนวนของอุปกรณ์ไฟฟ้า ซึ่งจะเป็นการทดสอบเพื่อหาค่าความคงทนต่อแรงดันเกิน อิมพัลส์ของการฉนวนของอุปกรณ์ไฟฟ้า เป็นการทดสอบหาความคงทนต่อแรงดันเกินอิมพัลส์ของการฉนวนก่อนนำอุปกรณ์ไปติดตั้งใช้งานจริง หรือใช้เพื่อการศึกษาวิจัยเป็นหลัก สำหรับแรงดันที่สร้างขึ้นในห้องทดลองจะเป็นแรงดันที่เลียนแบบรูปคลื่นที่เกิดขึ้นจริงในทางปฏิบัตินั้นค่าความคงทนต่อแรงดัน อิมพัลส์ของฉนวนไม่ได้ขึ้นอยู่กับขนาดแรงดัน เพราะฉะนั้นเพื่อความสะดวกต่อการเปรียบเทียบผลการทดสอบ จึงได้มีการกำหนดรูปลักษณ์อิมพัลส์ให้เป็นมาตรฐานเดียวกัน โดยจะยึดเอาลักษณะรูปลักษณ์ที่เกิดขึ้นจริงในธรรมชาติเป็นเกณฑ์

2.5.1 ข้อกำหนดของรูปลักษณ์อิมพัลส์

ลักษณะของรูปลักษณ์แรงดันอิมพัลส์ อาจจะกำหนดด้วยคุณสมบัติต่อไปนี้

1. ขนาดแรงดัน (V_p) โดยปกติจะหมายถึง ค่ายอดของรูปลักษณ์แรงดัน ในกรณีที่แรงดันมี ลูกกระพอกซ้อนซึ่งอาจเกิดจากการออสซิลเลชันใกล้ๆ ยอดของรูปลักษณ์ให้ถือเป็นค่าเฉลี่ยจากค่ายอดของรูปลักษณ์ระลอกซ้อนนั้น
2. ขั้วของแรงดันอาจจะเป็นบวกหรือลบก็ได้เมื่อเทียบกับดิน
3. พารามิเตอร์ทางเวลา ซึ่งจะเป็นตัวกำหนดลักษณะของรูปลักษณ์แรงดันทดสอบที่แตกต่างกันแบ่งออกเป็น 2 ช่วงเวลา คือ

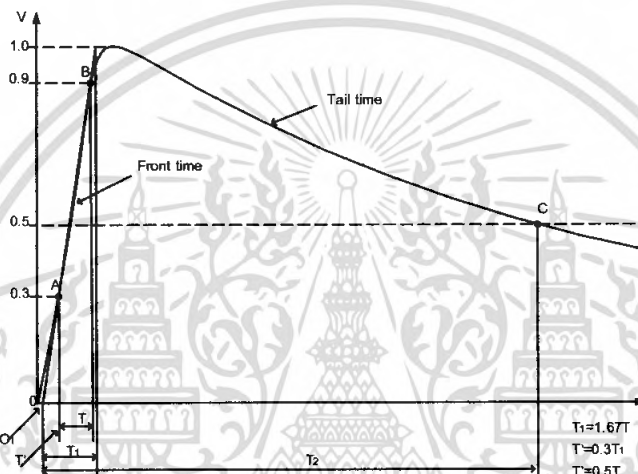
3.1 เวลาช่วงหน้าคลื่น (Front time : T_1) คือช่วงเวลาที่แรงดันเริ่มต้นจากศูนย์จนถึงค่ายอดสูงสุดของรูปลักษณ์

3.2 เวลาช่วงหางคลื่น (Tail time : T_2) คือ ช่วงเวลาที่เริ่มนับจากแรงดันเริ่มต้นเพิ่มขึ้นจากศูนย์ผ่านค่ายอดสูงสุด จนกระทั่งมีขนาดลดลงเหลือครึ่งหนึ่งของค่ายอด

2.5.2 แรงดันอิมพัลส์รูปคลื่นฟ้าผ่า

ตามข้อกำหนดมาตรฐาน IEC 60060 -1 (1989) [4] แรงดันอิมพัลส์ฟ้าผ่าสามารถแบ่งออกได้เป็น 2 ลักษณะคือ

1. แรงดันอิมพัลส์ฟ้าผ่ารูปคลื่นเต็ม (Full Wave Lightning Impulse Voltage) จะมีลักษณะรูปคลื่นตามข้อกำหนด ในรูปที่ 2.17 ซึ่งหมายถึงรูปคลื่นที่มีขนาดแรงดันเริ่มเพิ่มขึ้นจากศูนย์จนถึงค่ายอดสูงสุด แล้วค่อยๆ ลดลงอย่างต่อเนื่องจนกระทั่งลดลงเป็นศูนย์



ภาพที่ 2.17 แรงดันอิมพัลส์ฟ้าผ่ารูปคลื่นเต็ม

เวลาช่วงหน้าคลื่น T_1 ของแรงดันอิมพัลส์แบบฟ้าผ่า คือ 1.67 เท่าของช่วงเวลา T ระหว่างจุดที่อิมพัลส์มีค่า 30% และ 90% ของค่ายอด คือจุด A และ B ดังภาพที่ 2.17 ถ้ารูปคลื่นมีการแกว่งช้อนอยู่ด้วยให้ลากเส้นโค้งรูปคลื่นเฉลี่ยสัญญาณแกว่งช้อนเสียก่อนแล้วจึงค่อยหาจุด A และ จุด B

จุดเริ่มต้นเสมือน O' (Virtual Origin) ของแรงดันอิมพัลส์แบบฟ้าผ่า คือจุดที่คิดเป็นเวลาห่างจากจุด A ในรูปที่ 2.17 ไปข้างหน้า เท่ากับ $0.3 T_1$ หรือ จุดตัดแนวเวลากับเส้นตารางที่ลากผ่านจุด A และ จุด B สำหรับรูปคลื่นแรงดันที่บันทึกโดยแกนเวลาและวาดอย่างเชิงเส้น

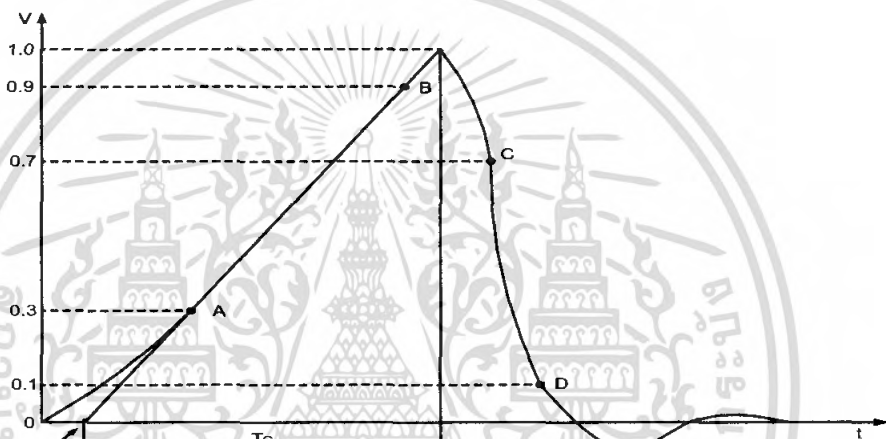
เวลาช่วงหางคลื่น T_2 ของแรงดันอิมพัลส์แบบฟ้าผ่า คือ ช่วงเวลาระหว่างจุดเริ่มต้นเสมือน O' กับจุดที่แรงดันลดค่าลงเหลือครึ่งหนึ่งของค่ายอดทางตอนหางคลื่น ดังภาพที่ 2.17

แรงดันอิมพัลส์ฟ้าผ่ารูปคลื่นมาตรฐาน (Standard Lightning Impulse) ตามข้อกำหนดในมาตรฐาน IEC 60060-1 (1989) [4] คือ แรงดันอิมพัลส์ที่มีช่วงเวลา T_1 / T_2 เป็น $1.2 / 50 \mu s$ โดยมีเกณฑ์ความคลาดเคลื่อนดังนี้

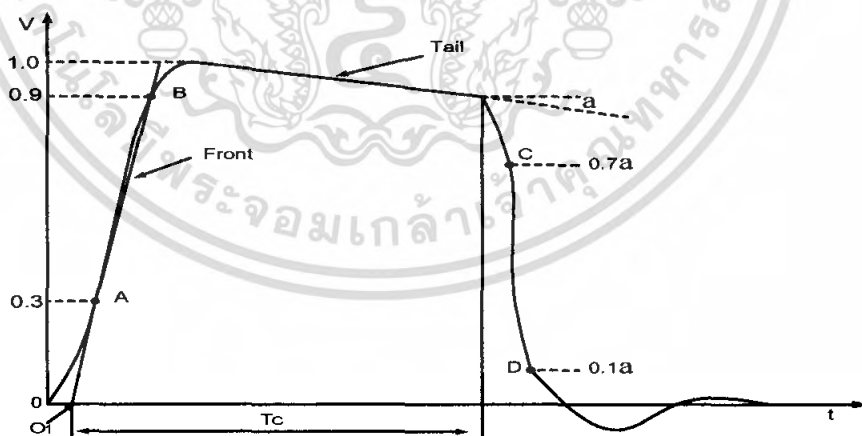
เอกสารนี้เป็นเอกสารที่สงวนไว้สำหรับการใช้งานเพื่อการศึกษาเท่านั้น ไม่อนุญาตให้นำไปใช้ประโยชน์ด้านการค้า ไม่ว่าจะกรณีใดๆ ทั้งสิ้น อีกทั้งห้ามมิให้ตัดแปลงเนื้อหา และต้องอ้างอิงถึงเจ้าของเอกสารทุกครั้งที่มีการนำไปใช้

- เวลาช่วงหน้าคลื่น $T_1 = 1.2\mu\text{s}\pm 30\%$
- เวลาช่วงหลังคลื่น $T_2 = 50\mu\text{s}\pm 20\%$
- ค่ายอดแรงดัน $V_p = 1.2\mu\text{s}\pm 30\%$

2. แรงดันอิมพัลส์ฟ้าผ่ารูปคลื่นตัด (Chopped Wave Lightning Impulse Voltage) คือ แรงดันอิมพัลส์ฟ้าผ่าที่รูปคลื่นเกิดการดีสชาร์จแบบทำลายทำให้แรงดันตกลงสู่ค่าศูนย์อย่างรวดเร็ว การตัดของรูปคลื่นแรงดันอาจเกิดที่หน้าคลื่นหรือส่วนหางคลื่นก็ได้ดังภาพที่ 2.18 โดยแรงดันขณะที่คลื่นตัด (Voltage at The Instant of Chopped) คือ แรงดันในขณะที่เกิดความไม่ต่อเนื่องขึ้นไปรูปคลื่นนั้น เวลาช่วงคลื่นตัด T_c (Time to Chopped) คือ ช่วงเวลาระหว่างจุดเริ่มต้นเสมือนกับช่วงเวลาที่เกิดคลื่นตัด



(ก) แรงดันอิมพัลส์รูปคลื่นตัดหน้าคลื่น



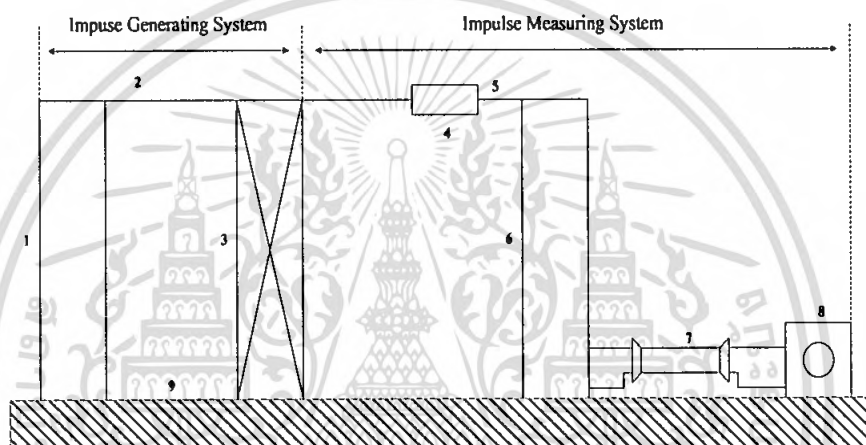
(ข) แรงดันอิมพัลส์รูปคลื่นตัดหลังคลื่น

ภาพที่ 2.18 แรงดันอิมพัลส์รูปคลื่นตัด

เอกสารนี้เป็นเอกสารที่สงวนไว้สำหรับการใช้งานเพื่อการศึกษาเท่านั้น ไม่อนุญาตให้นำไปใช้ประโยชน์ด้านการค้า ไม่ว่ากรณีใดๆ ทั้งสิ้น อีกทั้งห้ามมิให้ตัดแปลงเนื้อหา และต้องอ้างอิงถึงเจ้าของเอกสารทุกครั้งที่มีการนำไปใช้

2.6 การวัดแรงดันสูงด้วยอิมพัลส์โวลเตจดีไวเดอร์

แรงดันอิมพัลส์ฟ้าผ่าและแรงดันอิมพัลส์สวิตช์จะมีอัตราการเปลี่ยนแปลงของแรงดันค่อนข้างสูงเมื่อเทียบกับเวลา ดังนั้นในการวัดแรงดันดังกล่าวด้วยอิมพัลส์โวลเตจดีไวเดอร์สิ่งที่สำคัญ คือ เครื่องมือวัดจะต้องตอบสนองต่อการวัดที่ดี นั่นคือองค์ประกอบของอิมพัลส์โวลเตจดีไวเดอร์และระบบวัดแรงดัน อิมพัลส์จะต้องออกแบบมาเป็นพิเศษ เพื่อให้ได้ผลตอบสนองของการวัดในย่านทรานเซียนต์ดี มีผลการวัดที่ถูกต้องแม่นยำ ที่สำคัญระบบการวัดจะต้องไม่เป็นโหลดหรือส่งผลต่อแหล่งกำเนิด ซึ่งต้องมีการป้องกันผลที่เกิดขึ้นดังกล่าวเพื่อให้ได้เกิดการเปลี่ยนแปลงแรงดันสูงทั้งหมดไปตกคร่อมเฉพาะวัสดุทดสอบเท่านั้นวงจรพื้นฐานที่ใช้ในระบบการวัดแรงดันอิมพัลส์แสดงในภาพที่ 2.19



ภาพที่ 2.19 วงจรพื้นฐานการทดสอบด้วยแรงดันอิมพัลส์

- | | | | |
|-------|---|-----|----------------------------------------------------------|
| เมื่อ | 1 | คือ | เครื่องกำเนิดแรงดันอิมพัลส์ |
| | 2 | คือ | สายนำแรงสูงจากเครื่องกำเนิดแรงดันอิมพัลส์ไปยังวัสดุทดสอบ |
| | 3 | คือ | วัสดุทดสอบ (Test Object) |
| | 4 | คือ | ความต้านทานหน่วง |
| | 5 | คือ | สายนำแรงสูงที่ต่อระหว่างวัสดุทดสอบกับโวลเตจดีไวเดอร์ |
| | 6 | คือ | โวลเตจดีไวเดอร์ |
| | 7 | คือ | เคเบิลวัดแรงดันต่ำ |
| | 8 | คือ | เครื่องวัดภาคแรงต่ำ (Oscilloscope) |
| | 9 | คือ | ระบบสายดิน (Ground) |

องค์ประกอบของระบบวัดแรงดันอิมพัลส์ด้วยโวลเตจดีไวเดอร์ โดยทั่วไปจะประกอบไปด้วย โวลเตจดีไวเดอร์, ออสซิลโลสโคป, สายนำแรงสูง, ความต้านทานหน่วง, ความต้านทาน

เอกสารนี้เป็นเอกสารที่สงวนไว้สำหรับการใช้งานเพื่อการศึกษาเท่านั้น ไม่อนุญาตให้นำไปใช้ประโยชน์ด้านการค้า ไม่ว่าจะกรณีใดๆ ทั้งสิ้น อีกทั้งห้ามมิให้ตัดแปลงเนื้อหา และต้องอ้างอิงถึงเจ้าของเอกสารทุกครั้งที่มีการนำไปใช้

ด้านแรงดันสูง, ความต้านทานด้านแรงดันต่ำ, ความต้านทานแมชชีงและระบบกราวด์ของวงจร โดยองค์ประกอบที่สำคัญมีดังนี้

2.6.1 โวลเตจดีไวเดอร์ (Voltage Divider)

โวลเตจดีไวเดอร์ทำหน้าที่ ลดทอนแรงดันสูงให้ต่ำลงในย่านที่เครื่องมือวัดทั่วไปสามารถจะวัดได้ ซึ่งใช้หลักการแบ่งแรงดันตกคร่อมอิมพีแดนซ์ ประกอบด้วยอิมพีแดนซ์ภาคแรงสูงและอิมพีแดนซ์ภาคแรงต่ำ และนำแรงดันที่ตกคร่อมภาคแรงต่ำไปยังเครื่องมือวัด โวลเตจดีไวเดอร์ส่วนใหญ่จะใช้ช่วงเวลาขาขึ้นของผลตอบสนองรูปคลื่นในการพิจารณาความไวของผลตอบสนองทางเวลา โดยเมื่อพิจารณา อิมพัลส์โวลเตจดีไวเดอร์แบบความต้านทานพบว่าสเตรย์คาปาซิแตนซ์ (Stray Capacitance) จะมีผลต่อเวลาตอบสนองอย่างมากในช่วงที่มีการอัดประจุและดีสชาร์จประจุผ่านโวลเตจดีไวเดอร์ โวลเตจดีไวเดอร์แบบความต้านทานสามารถลดผลของสเตรย์คาปาซิแตนซ์ได้ โดยการออกแบบให้มีค่าความต้านทานต่ำที่สุดเท่าที่จะเป็นไปได้ แต่ต้องไม่ส่งผลกระทบต่อความเป็นโพลตของแหล่งกำเนิด หรืออาจจะลดผลของสเตรย์-คาปาซิแตนซ์ด้วยการใส่ซิลิโคนไดโอดที่ส่วนปลายของโวลเตจดีไวเดอร์

2.6.2 แท่งตัวนำแรงสูง (High-Voltage Lead)

แท่งตัวนำแรงสูงจะต้องระหว่างวัสดุทดสอบกับโวลเตจดีไวเดอร์ ความยาวและขนาดเส้นผ่านศูนย์กลางของแท่งตัวนำอาจจะมีผลต่อการวัดแรงดันอิมพัลส์ โดยควรมีความยาวและเส้นผ่านศูนย์กลางที่แน่นอน และที่สำคัญควรจะปรับเทียบค่าทุกครั้งก่อนที่จะทำการทดสอบ ในทางทฤษฎีนั้นเส้นผ่านศูนย์กลางของแท่งตัวนำควรมีขนาดโตพอที่จะไม่ทำให้เกิดโคโรนา (Corona) แท่งตัวนำขนาดเล็กนั้น จะส่งผลทำให้เกิดโคโรนา และเกิดสัญญาณรบกวนต่อระบบวัดโดยทั่วบริเวณใกล้กับโวลเตจดีไวเดอร์ไม่ควรเกิดดีสชาร์จหรือสไตรม์เมอร์ และควรต่อแท่งตัวนำกับวัสดุทดสอบไม่ควรต่อกับเครื่องกำเนิดแรงดันสูงอิมพัลส์โดยตรง อย่างไรก็ตามเมื่อวัดแรงดันอิมพัลส์ฟ้าผ่ารูปคลื่นเต็มหรือแรงดันอิมพัลส์รูปคลื่นตัดที่ทางคลื่น ค่าความคลาดเคลื่อนที่เกิดขึ้นจากลักษณะการต่อเชื่อมแท่งตัวนำแรงสูงระหว่างโวลเตจดีไวเดอร์กับวัสดุทดสอบนั้นจะไม่น่ามาคิด ถ้าเทอม \sqrt{LC} มีค่าน้อยกว่า 0.05 ns โดยที่ L คือ ค่าความเหนี่ยวนำแฝงในแท่งตัวนำแรงสูง (ประมาณ 1 $\mu\text{H/m}$) และ C คือค่าความจุไฟฟ้าแฝงระหว่างแท่งตัวนำแรงสูงลงดิน โดยถือว่าระยะห่างระหว่างโวลเตจดีไวเดอร์กับวัสดุทดสอบก็คือความยาวของแท่งตัวนำแรงสูง มีขนาดเท่ากับความสูงของวัสดุทดสอบนั่นเอง

2.6.3 ความต้านทานหน่วง (Damping Resistance)

ความต้านทานหน่วงทำหน้าที่หน่วงการแกว่ง (Oscillation) ที่สภาวะทรานเซียนต์ เนื่องจากค่าความเหนี่ยวนำในสายนำแรงสูงหรือแท่งตัวนำแรงสูงกับค่าความจุไฟฟ้าของโวลเตจดีไวเดอร์เอง ความต้านทานหน่วงที่ใช้จะเป็นแบบมีค่าความเหนี่ยวนำแฝงและค่าความจุไฟฟ้าแฝงต่ำ ความต้านทานหน่วงนี้อาจจะต่อไว้ที่ต้นสายนำแรงสูงดังรูปที่ 2.19 หรืออาจต่อไว้ที่ปลายสายนำแรงสูงติดกับโวลเตจดีไวเดอร์ก็ได้ ถ้าต่อไว้ที่ต้นสายแรงสูงเรียกระบบวัดนี้ว่า

เอกสารนี้เป็นเอกสารที่สงวนไว้สำหรับการใช้งานเพื่อการศึกษาเท่านั้น ไม่อนุญาตให้นำไปใช้ประโยชน์ด้านการค้า ไม่ว่าจะกรณีใดๆ ทั้งสิ้น อีกทั้งห้ามมิให้ตัดแปลงเนื้อหา และต้องอ้างอิงถึงเจ้าของเอกสารทุกครั้งที่มีการนำไปใช้

“ระบบสามองค์ประกอบ” (Three-Component System) ถ้าต่อไว้ที่ปลายสายนำแรงสูงติดกับ โวลเตจดีไวเดอร์ ความต้านทานหน่วงนี้จะถือเป็นส่วนหนึ่งของโวลเตจดีไวเดอร์และเรียกระบบนี้ว่า “ระบบสององค์ประกอบ” (Two-Component System) ถ้าสายแรงสูงมีความยาวมาก การต่อความต้านทานหน่วงแบบสามองค์ประกอบ โดยใช้ค่าความต้านทานหน่วงเท่ากับเสิร์จอิมพีแดนซ์ของสายนำแรงสูง จะช่วยลดการแกว่งที่เกิดขึ้นในสภาวะทรานเซียนต์อันเนื่องมาจากอิมพีแดนซ์ที่ไม่แมชกันของแท่งตัวนำแรงสูงกับวงจรกำเนิดแรงดันอิมพัลส์และโวลเตจดีไวเดอร์

2.6.4 ออสซิลโลสโคป

เนื่องจากแรงดันอิมพัลส์เป็นแรงดันที่มีการเปลี่ยนแปลงอย่างรวดเร็วและเกิดขึ้นในช่วงระยะเวลาอันสั้น ดังนั้นออสซิลโลสโคปที่ใช้วัดต้องมีความไว (Sensitivity) ในการวัดสูง ซึ่งแรงดันอิมพัลส์ที่วัดได้อาจมีทั้งรูปคลื่นเต็มและรูปคลื่นตัด เมื่อวิเคราะห์หรือออกมาเป็นสเปกตรัม (Spectrum) จะพบว่ามีค่าความถี่ต่างๆ เป็นช่วงกว้างมาก ซึ่งออสซิลโลสโคปจะต้องมีแบนวิดท์ที่กว้างมากพอและต้องมีการป้องกันหรือไม่ไวต่อคลื่นรบกวนที่เกิดจากสาเหตุอื่นภายนอกและควรจะมีอัตราแรงดันป้อนเข้าสูง เพราะจะเป็นผลดีในการขจัดคลื่นรบกวนให้น้อยลง

2.6.5 เคเบิลวัด

ในทางปฏิบัติเราไม่สามารถต่อออสซิลโลสโคปเข้าโดยตรงกับภาคแรงต่ำของโวลเตจดีไวเดอร์ได้ ทั้งนี้เพราะเพื่อความปลอดภัยของผู้วัดและเพื่อลดการรบกวนของสนามแม่เหล็กไฟฟ้า จึงจำเป็นจะต้องวางออสซิลโลสโคปให้ห่างจากโวลเตจดีไวเดอร์พอสมควร ดังนั้นการส่งสัญญาณของอุปกรณ์ทั้งสองจึงต้องใช้สายนำสัญญาณแบบแกนร่วม (Coaxial Cable) สายเคเบิลที่ใช้ต้องมีshield อย่างน้อยสองชั้นเพื่อป้องกันไม่ให้เกิดแรงดันเหนี่ยวนำขึ้นในสายเนื่องจากสนามแม่เหล็กไฟฟ้า ซึ่งจะส่งผลทำให้เกิดสัญญาณรบกวนปนไปกับสัญญาณที่ต้องการวัด ในกรณีของแรงดันอิมพัลส์จะต้องพิจารณาเป็นแบบสัญญาณคลื่นจร (Travelling Wave) เมื่อคลื่นจรเข้ามาที่ต้นสายเคเบิลจะมองเห็นเคเบิลเป็นความต้านทานบริสุทธิ์เท่ากับ Z_w (Surge Impedance) ไม่ขึ้นกับโหลดที่ปลายสายเคเบิลว่ามีลักษณะเปิดวงจรหรือลัดวงจรอยู่ในขณะนั้น นั่นคือโหลดที่ปลายทางจะไม่มีผลต่อสัญญาณรบกวนต้นทางจนกว่าจะถึงเวลา 2 เท่าของคลื่นเดินทาง τ (Transit Time) และค่าเวลา τ ของสายเคเบิลวัดจะพิจารณาเป็นแบบเดียวกันกับกรณีของสายส่ง ถ้าเวลา τ นั้นมีค่าใกล้เคียงกับเวลาขาขึ้นของคลื่น (Rise Time)

2.6.6 ความต้านทานแมชซิ่ง (Matching Resistance)

ในการวัดแรงดันทรานเซียนต์ (Transient) ที่ส่งผ่านจากโวลเตจดีไวเดอร์ไปยังเครื่องมือวัดทางด้านแรงต่ำอาจทำให้เกิดการผิดเพี้ยนของรูปคลื่นได้ ในที่นี้พิจารณาจากการต่อแมชซิ่งอิมพีแดนซ์เพื่อส่งผ่านแรงดันอิมพัลส์จากโวลเตจดีไวเดอร์ ไปยังเครื่องมือวัด โดยพิจารณาเคเบิลวัดเป็นสายส่งแบบไม่มีพลังงานสูญเสียในสาย (Lossless) ดังนั้นค่าเสิร์จอิมพีแดนซ์

เอกสารนี้เป็นเอกสารที่สงวนไว้สำหรับการใช้งานเพื่อการศึกษาเท่านั้น ไม่อนุญาตให้นำไปใช้ประโยชน์ด้านการค้า ไม่ว่าจะกรณีใดๆ ทั้งสิ้น อีกทั้งห้ามมิให้ตัดแปลงเนื้อหา และต้องอ้างอิงถึงเจ้าของเอกสารทุกครั้งที่มีการนำไปใช้

$Z_w = \sqrt{L/C}$ จึงไม่ขึ้นอยู่กับความถี่และเวลาคลื่นเดินทาง $\tau = \sqrt{LC}$ สำหรับ โวลเตจดีไวเดอร์แบบต้านทานต่อขนานเข้ากับ R_2 ดังนั้นจึงต้องพิจารณาเป็นส่วนหนึ่งของภาค แรงต่ำของโวลเตจดีไวเดอร์ด้วย

ในกรณีโวลเตจดีไวเดอร์แบบตัวเก็บประจุ เคเบิลวัดไม่สามารถต่อแมชซึ่งที่ปลายได้ เนื่องจากความต้านทานที่มีค่าต่ำ เมื่อต่อขนานเข้ากับ C_2 จะไปรวมกับภาคแรงต่ำของ โวลเตจดีไวเดอร์และแรงดันขาเข้าจะมีขนาดลดลงตามเวลา เพื่อหลีกเลี่ยงการแกว่งของคลื่น เดินทางเคเบิลวัด จึงควรต่อ แมชซึ่งที่ต้นทาง แรงดันดกคร่อม C_2 สะท้อนกลับมาถึงต้นทางที่มี $R_m = Z_w$ ต่ออนุกรมอยู่ และแรงดัน C_2 เสมือนกับลัดวงจรจึงไม่ทำให้เกิดคลื่นสะท้อนกลับอีก

2.6.7 สายดิน

สายดินจะทำหน้าที่เชื่อมโยงจุดต่อลงดินของอุปกรณ์ต่างๆ ทำให้ระบบทดสอบมี ศักย์ไฟฟ้ามีค่าเท่ากัน ปกติสายดินจะเป็นชนิดที่มีค่าความเหนียวนำและค่าความต้านทานต่ำ เพื่อลดแรงดันตกใน สายดินให้น้อยที่สุด โดยทั่วไปจะใช้แผ่นโลหะบางขนาดใหญ่ปูบนพื้น ห้องทดสอบ เช่น แผ่นทองแดง เป็นต้น

2.7 การตรวจจับดีสชาร์จบางส่วน (Partial Discharge)

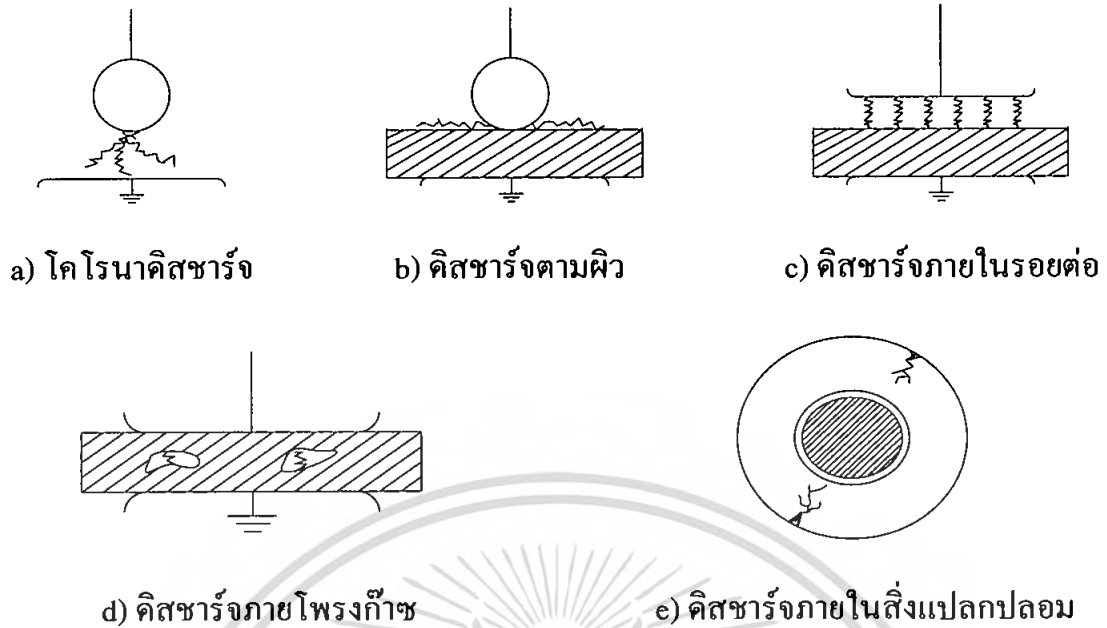
การตรวจจับดีสชาร์จบางส่วน จัดเป็นการทดสอบแบบไม่ทำลาย ซึ่งเป็นการตรวจสอบ ว่ามีดีสชาร์จบางส่วนเกิดขึ้นหรือไม่ ถ้ามี จะเกิดขึ้นที่แรงดันเท่าใด และเรียกว่าแรงดันดีสชาร์จ เริ่มเกิด (U_1)

ดีสชาร์จบางส่วน คือ ดีสชาร์จเบรกดาวน์ที่ไม่สมบูรณ์ พลังงานที่ทำให้เกิดดีสชาร์จ นั้นไม่มากพอที่จะทำให้อนวนเปลี่ยนสภาพไปเป็นสภาพนำไฟฟ้าได้ตลอดแนวระหว่าง อิเล็กโตรด จึงเรียกว่า ดีสชาร์จบางส่วน เพราะฉนวนของอิเล็กโตรดด้านหนึ่งหรือทั้งสองด้าน ซึ่งอาจเป็นของแข็ง ของเหลวหรือก๊าซ ยังเป็นฉนวนที่สมบูรณ์มันคงอยู่

ดีสชาร์จบางส่วน จะเกิดขึ้นในระบบฉนวนที่มีลักษณะสนามไฟฟ้าไม่สม่ำเสมอสูงหรือ ฉนวนที่มีความไม่สม่ำเสมอ หรือไม่ป็นเนื้อเดียวกัน หรือมีสิ่งเจือปน ซึ่งทำให้ความเครียด สนามไฟฟ้าบางจุดในฉนวนมีค่าสูงกว่าค่าความเครียดสนามไฟฟ้าวิกฤต แต่ไม่อาจจะทำให้เกิด เบรกดาวน์โดยสมบูรณ์ได้ หากแต่เกิดเพียงบางส่วนเท่านั้น

ดีสชาร์จบางส่วนเกิดขึ้นได้ทั้งในสนามไฟฟ้ากระแสสลับ และสนามไฟฟ้ากระแสตรง ภายใต้สนามไฟฟ้ากระแสสลับ ดีสชาร์จจะเกิดขึ้นซ้ำๆ ซากๆ ของแรงดัน โดยปกติจะ เกิดขึ้นขณะที่แรงดันที่ป้อนเพิ่มขึ้นจากศูนย์ไปสู่ค่ายอด

ดีสชาร์จบางส่วน อาจแบ่งออกได้เป็น 3 รูปแบบ คือโคโรน่าดีสชาร์จ ดีสชาร์จตามผิว และ ดีสชาร์จภายใน



ภาพที่ 2.20 รูปแบบของดีสชาร์จบางส่วน

2.7.1 ผลกระทบของดีสชาร์จบางส่วน

ดีสชาร์จบางส่วนแต่ละครั้งจะมีพลังงานถ่ายเทให้กับพื้นผิวฉนวน ในลักษณะชนกระแทก เป็นเหตุให้เกิดความร้อนเพิ่มขึ้นเฉพาะจุดเป็นผลให้เกิดปฏิกิริยาทางเคมี ทำให้ฉนวนเสียเป็นจุดๆ และเกิดผิพร่องขยายตัวมากขึ้น และอาจนำไปสู่การเกิดเบรกดาวน์อย่างสมบูรณ์ได้ ทำให้ฉนวนเสียหาย และอายุการใช้งานของฉนวนสั้นลง

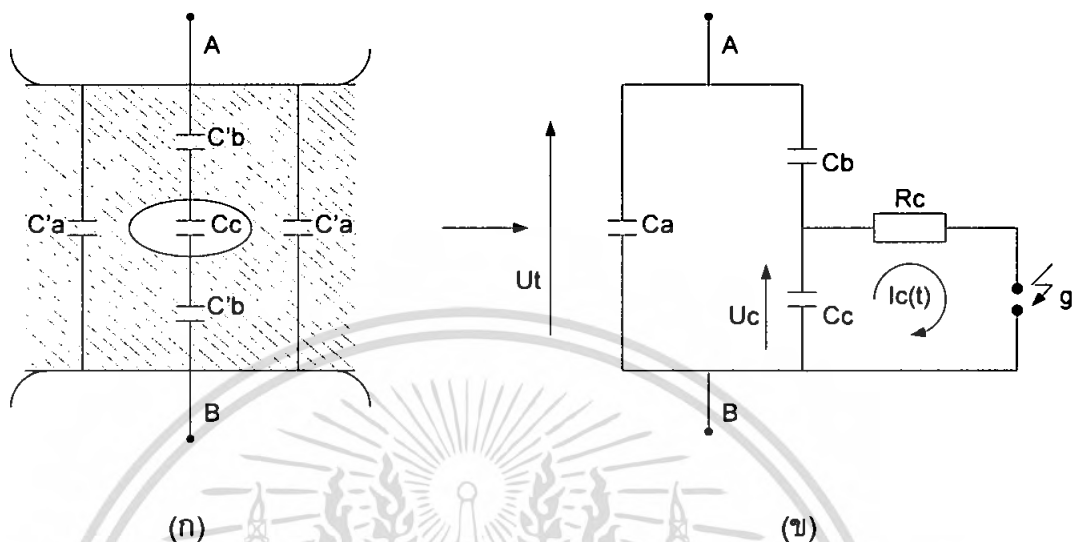
ฉะนั้นเพื่อให้อายุการใช้งานของอุปกรณ์ไฟฟ้าแรงสูงใช้งานได้ยาวนาน การออกแบบการฉนวนของอุปกรณ์ไฟฟ้าจะต้องมีคุณภาพดีพอ ความเครียดสนามไฟฟ้าที่แรงดันใช้งานปกติจะต้องต่ำกว่าค่าความเครียดสนามไฟฟ้าวิกฤตของฉนวน จะต้องไม่มีดีสชาร์จบางส่วนแม้จะมีแรงดันเกินอันเนื่องมาจากแรงดันกระเพื่อมเกิดขึ้น อย่างไรก็ตาม การฉนวนอุปกรณ์แรงสูงมีความยุ่งยากซับซ้อน การดีสชาร์จบางส่วนอาจเกิดขึ้นโดยมิได้ตั้งใจหรืออาจมีความบกพร่องในกระบวนการผลิต หรือคุณภาพของฉนวนไม่ได้ตามกำหนด ฉะนั้นเพื่อความมั่นใจในคุณภาพของการฉนวนอุปกรณ์ไฟฟ้าแรงสูง จำเป็นต้องมีการทดสอบตรวจวัดค่าการดีสชาร์จบางส่วน [1]

2.7.2 วงจรสมมูลของดีสชาร์จบางส่วน

โดยเหตุที่ดีสชาร์จบางส่วนภายใน ที่เกิดขึ้นในเนื้อฉนวนหรือในอุปกรณ์ซึ่งไม่สามารถสังเกตเห็นได้ด้วยตา ฉะนั้นเพื่อให้สามารถตรวจจับหรือวัดค่าดีสชาร์จบางส่วนในฉนวนได้ จึงมีการเขียนวงจรสมมูลของฉนวนที่มีดีสชาร์จบางส่วนขึ้น ไม่ว่าจะเป็อดีสชาร์จบางส่วนชนิดใดก็

เอกสารนี้เป็นเอกสารที่สงวนไว้สำหรับการใช้งานเพื่อการศึกษาเท่านั้น ไม่อนุญาตให้นำไปใช้ประโยชน์ด้านการค้า ไม่ว่าจะกรณีใดๆ ทั้งสิ้น อีกทั้งห้ามมิให้ตัดแปลงเนื้อหา และต้องอ้างอิงถึงเจ้าของเอกสารทุกครั้งที่มีการนำไปใช้

สามารถเขียนวงจรสมมูลได้ [1] เพื่อให้ง่ายต่อการทำความเข้าใจใช้วงจรสมมูลสำหรับฉนวนที่มีโพรงก๊าซ เพื่อใช้ในการวิเคราะห์การเกิดและหาปริมาณดีสชาร์จบางส่วนภายใน ดังวงจรสมมูลของฉนวนในรูปที่ 2.21



รูปที่ 2.21 วงจรสมมูลของวัสดุที่มีโพรงก๊าซและเกิดดีสชาร์จบางส่วนภายใน

ในรูปที่ 2.21 (ก) แสดงวัสดุฉนวน มีโพรงก๊าซภายในเนื้อฉนวน และฉนวนวางอยู่ระหว่างอิเล็กโทรด A-B โพรงก๊าซจะเขียนแทนด้วยความจุไฟฟ้า C_c ส่วนฉนวนที่ต่ออนุกรมกับโพรงก๊าซหรือ C_c เขียนแทนด้วยความจุไฟฟ้า C_c' ส่วนที่ต่ออนุกรมกับ C_c นี้จะรวมกันได้เป็น C_b ส่วนฉนวนที่สมบูรณ์ที่อยู่โดยรอบของ C_c จะให้เป็นค่า C_a และรวมกันในส่วนนี้จะได้เป็น C_a ดังรูปที่ 2.21 (ข) ซึ่งค่าความจุไฟฟ้าของวัสดุทดสอบ C_t จะมีค่าโดยประมาณเท่ากับ C_a ซึ่งมีค่ามากกว่า C_b มาก ๆ นั่นคือ

$$C_t \approx C_a \gg C_c > C_b$$

ถ้าป้อนแรงดัน U_t ที่ขั้ว A-B ทำให้แรงดันตกคร่อมโพรงก๊าซมีค่าสูงกว่าค่าแรงดันเบรกดาว์นของโพรงก๊าซที่แทนด้วย C_c ก็จะเกิดเบรกดาว์นในโพรงก๊าซ ซึ่งเขียนแทนด้วย แกป g มีความต้านทาน R_c ต่ออนุกรมอยู่เป็นตัวจำกัดกระแสดีสชาร์จ $i_c(t)$ ซึ่งมีลักษณะเป็นพัลส์ช่วงกว้างเป็นนาโนวินาที และทำให้เกิดแรงดันตก δU_c ที่โพรงก๊าซเกิดการปล่อยประจุออกมาเป็น

$$\Delta q_c = \delta U_c C_c \tag{2.1}$$

เอกสารนี้เป็นเอกสารที่สงวนไว้สำหรับการใช้งานเพื่อการศึกษาเท่านั้น ไม่อนุญาตให้นำไปใช้ประโยชน์ด้านการค้าไม่ว่ากรณีใดๆ ทั้งสิ้น อีกทั้งห้ามมิให้ตัดแปลงเนื้อหา และต้องอ้างอิงถึงเจ้าของเอกสารทุกครั้งที่มีการนำไปใช้

กระแส $i_c(t)$ นี้ไหลอยู่ภายในที่ไม่สามารถวัดได้ แต่การดีสชาร์จของ C_c ทำให้เกิดการถ่ายเทประจุของ C_b และ C_a ในวงจรสมมูล เป็นผลให้เกิดแรงดันตกที่ขั้ว A-B เท่ากับ δU_c ซึ่งหาได้จากประจุใน C_c คือ

$$\delta U_t = \frac{C_b \delta U_c}{C_b + C_a} \quad (2.2)$$

ค่าแรงดันตกนี้ไม่ให้ข้อมูลอะไรเกี่ยวกับ δq_c เลย แต่เป็นสัดส่วนกับ $C_b \delta U_c$ แต่ค่า δU_t นี้วัดได้เป็นพัลส์รูปขั้น ขึ้นอยู่กับ $i_c(t)$

เมื่อแทนค่า

$$\delta U_c = \delta q_c$$

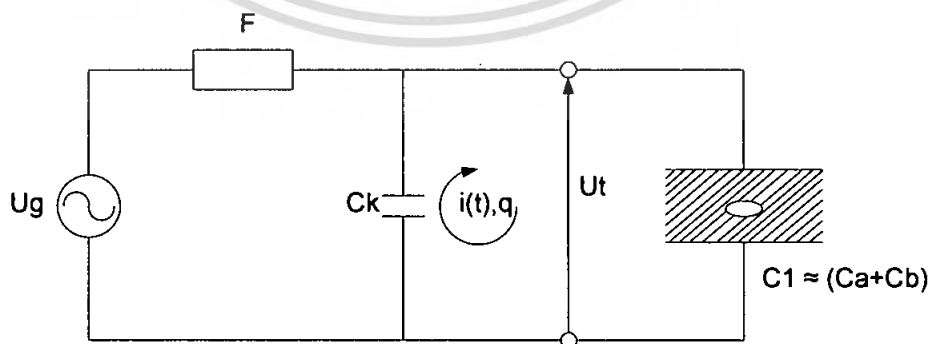
จะได้

$$\delta U_t = \frac{C_b \delta q_c}{C_c (C_b + C_a)} \quad (2.3)$$

ค่าของ δU_t มีค่าเพียงเป็นมิลลิโวลต์ถึงโวลต์ ในขณะที่ δU_c มีค่าเป็นกิโลโวลต์ แต่ไม่ทราบค่า C_c และ C_b จึงไม่อาจหาความสัมพันธ์ของ δU_t กับ δU_c และ δq_c ได้อย่างไรก็ตาม การดีสชาร์จในโพรงก๊าซ C_c เป็นผลทำให้เกิดการเปลี่ยนแปลงการถ่ายเทประจุหรือกระแสในวงจรภายนอกที่สามารถตรวจวัดได้

2.7.3 ประจุที่ปรากฏและประจุที่วัดได้

ดังที่ได้กล่าวมาแล้วว่า ดีสชาร์จบางส่วนภายในเกิดขึ้นในฉนวน หรือภายในอุปกรณ์ที่ห่อหุ้มมิดชิด ฉะนั้น ประจุหรือกระแสที่เกิดจากการดีสชาร์จในโพรงก๊าซนั้นไม่สามารถวัดได้ แต่การดีสชาร์จในโพรงก๊าซ C_c นั้น มีผลให้เกิดการถ่ายเทประจุ เป็นผลให้เกิดแรงดันตก δU_t ที่ขั้วป้อนแรงดันภายนอก A-B และการเคลื่อนที่ของประจุ หรือเกิดกระแสไหลวนอันเนื่องมาจากแรงดันตก เป็นค่ากระแสที่วัดได้ (measurable current) $i(t)$ ดังรูปที่ 2.22 แต่มิใช่กระแสหรือประจุที่เกิดขึ้นตรงภายในโพรงก๊าซ



ภาพที่ 2.22 การดีสชาร์จบางส่วนในโพรงก๊าซในวัสดุฉนวน

เอกสารนี้เป็นเอกสารที่สงวนไว้สำหรับการใช้งานเพื่อการศึกษาเท่านั้น ไม่อนุญาตให้นำไปใช้ประโยชน์ด้านการค้า ไม่ว่าจะกรณีใดๆ ทั้งสิ้น อีกทั้งห้ามมิให้ตัดแปลงเนื้อหา และต้องอ้างอิงถึงเจ้าของเอกสารทุกครั้งที่มีการนำไปใช้

เมื่อ U_g	คือ	ตัวจ่ายแรงดันป้อนให้กับตัวเก็บประจุคาบเกี่ยว C_k และวัสดุทดสอบ C_t
C_k	คือ	ตัวเก็บประจุคาบเกี่ยว
C_t	คือ	ค่าเก็บประจุของวัสดุทดสอบประกอบด้วย C_a , C_b , และ C_c ดังรูปที่ 2.24
$i(t), q$	คือ	กระแสพัลส์ที่สสารจางบางส่วนที่ถ่ายเทระหว่าง C_k กับ C_t เพื่อชดเชยแรงดันที่ตก δU_t คร่อม $C_t \approx (C_a + C_b)$
F	คือ	ตัวกรองสัญญาณ

ค่ากระแสไหลวน $i(t)$ ที่วัดได้นี้ ขึ้นอยู่กับอัตราส่วนค่าเก็บประจุ C_k/C_t เพราะประจุจะเคลื่อนที่จากตัวเก็บประจุคาบเกี่ยว C_k ที่ชดเชยแรงดันตก $q = (C_a + C_b)\delta U_t$ ในกรณีของอุดมคติ $C_k \gg C_t$ และ $C_t \approx C_a + C_b$ ประจุ q จะมีค่ามากที่สุด
 ค่า $C_k \gg C_t$ ค่า δU_t จะได้รับชดเชยสมบูรณ์และประจุที่ถ่ายเทก็คือ กระแส $i(t)$

$$\text{ประจุถ่ายเทหาได้จากสมการ} \quad q = \int i(t) dt = \left\{ C_a + \frac{C_c C_b}{C_c + C_b} \right\} \delta U_t \quad (2.4)$$

$$\text{เพราะว่า } C_b < C_c \text{ จึงได้} \quad q = (C_a + C_b) \delta U_t \quad (2.5)$$

$$\text{เมื่อแทนค่าจาก (2.3) จะได้} \quad q = \frac{C_b}{C_c} \delta q_c \quad (2.6)$$

ประจุ q นี้ เรียกว่า ประจุที่ปรากฏของพัลส์การดีสชาร์จ เพราะว่าประจุ q นี้ไม่เท่ากับ ประจุที่เกิดจริงในโพรงก๊าซ C_c แต่สัมพันธ์กับ δq_c ด้วยอัตราส่วนของ C_b/C_c และเป็นพื้นฐานของหลักการวัดการดีสชาร์จจางส่วน ที่มีความเป็นจริงมากกว่า δU_t ในสมการ (2.3) โดยที่ C_a เป็นค่าเก็บประจุหลักของ C_t ซึ่งไม่มีผลเกี่ยวกับค่าการดีสชาร์จจางส่วน

ในทางปฏิบัติ เงื่อนไขที่จะทำให้ได้ $C_k \gg C_t$ หมายถึง ค่าเก็บประจุคาบเกี่ยวมีค่ามากๆ นั้นเป็นไปได้ยาก เพราะว่าจะกลายเป็นโหลดให้กับตัวจ่ายแรงดัน และไม่ประหยัดอย่างใดก็ตาม ค่าเก็บประจุ C_k ใหญ่กว่า C_t วัสดุทดสอบเพียงเล็กน้อย จะเป็นผลทำให้ความไวในการตรวจจับ หรือตรวจวัดการดีสชาร์จจางส่วนนั้นน้อยลง เนื่องจากกระแสชดเชย $i(t)$ จะมีค่าน้อยลง

เมื่อพิจารณาจากการถ่ายเทของประจุระหว่าง C_t กับ C_k จะได้ความสัมพันธ์ดังนี้

$$Q = C_t \delta U_t \text{ เมื่อ } C_t \approx C_a + C_b$$

$$\text{นั่นคือ} \quad q = (C_t + k) \delta U_t' \quad (2.7)$$

เมื่อ $\delta U_t'$ คือ แรงดันที่ชั่วหลังจากสิ้นสุดการถ่ายเทประจุ ประจุที่ปล่อยจากตัวเก็บประจุคาบเกี่ยว C_k สามารถวัดได้ และเรียกว่าประจุที่วัดได้ q_m (measurable current)

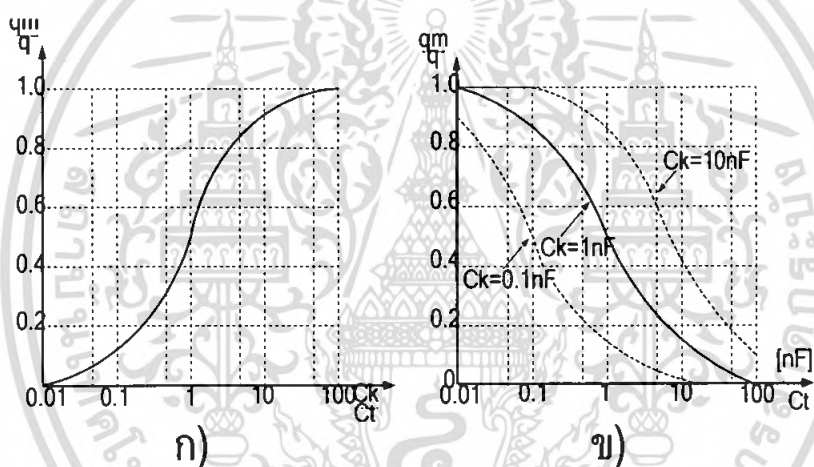
เอกสารนี้เป็นเอกสารที่สงวนไว้สำหรับการใช้งานเพื่อการศึกษาเท่านั้น ไม่อนุญาตให้นำไปใช้ประโยชน์ด้านการค้า ไม่ว่ากรณีใดๆ ทั้งสิ้น อีกทั้งห้ามมิให้ตัดแปลงเนื้อหา และต้องอ้างอิงถึงเจ้าของเอกสารทุกครั้งที่มีการนำไปใช้

$$q_m = C_k \delta U_t' \quad (2.8)$$

ฉะนั้น อัตราส่วนของประที่วัดได้ ต่อประจุปรากฏ คือ

$$\frac{q_m}{q} = \frac{C_k}{(C_t + C_k)} \quad (2.9)$$

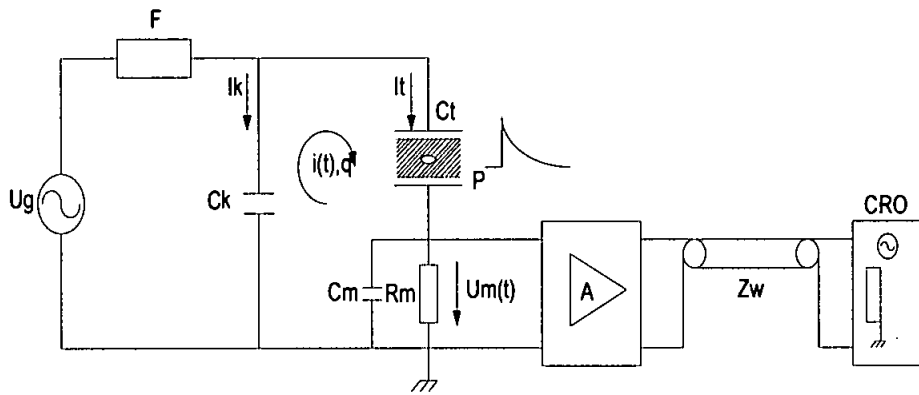
ความสัมพันธ์ของ q_m/q ในเทอมของ C_k/C_t หรือในเทอมของ C_t ดังแสดงในกราฟ ภาพที่ 2.22 ซึ่งจะช่วยให้เลือกค่า C_k ให้โดยพอ ซึ่งขึ้นอยู่กับ C_t แฟกเตอร์วงจร q_m/q และความไวการวัดอาจตรวจสอบได้ จึงต้องมีการเปรียบเทียบวงจรทดสอบ โดยการป้อนประจุที่ทราบค่าแน่นอนและถูกต้องที่วัสดุทดสอบ ผลของ C_k/C_t ต่อความไวในการวัด แสดงโดย q_m/q ดังภาพที่ 2.23



ภาพที่ 2.23 ผลของค่าตัวเก็บประจุคาบเกี่ยว C_k ต่อความไวการวัด q_m/q ซึ่งขึ้นอยู่กับ C_k/C_t

2.7.4 วงจรพื้นฐานสำหรับวัดดิสซาร์จบางส่วน

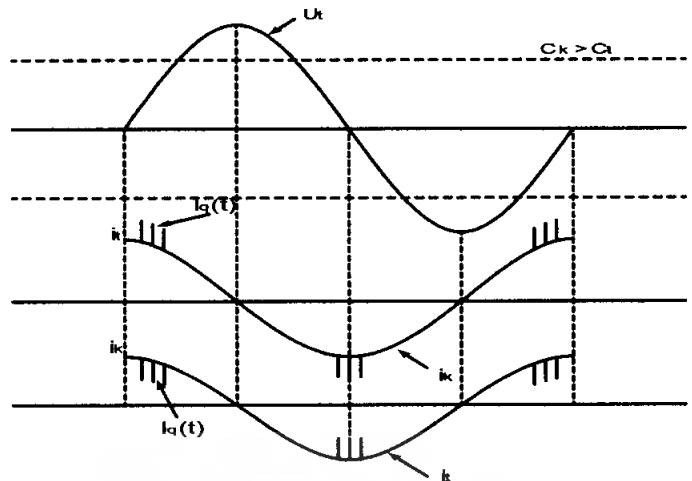
วงจรพื้นฐานสำหรับใช้วัดดิสซาร์จบางส่วน จะประกอบไปด้วยตัวจ่ายแรงดันทดสอบ U_g คือ หม้อแปลงทดสอบป้อนแรงดันให้กับวัสดุทดสอบ และตัวเก็บประจุคาบเกี่ยว C_k ผ่านตัวกรองความถี่สูง F ดังภาพที่ 2.24



ภาพที่ 2.24 วงจรพื้นฐานของการวัดดีสชาร์จบางส่วน

- เมื่อ U_g คือ ตัวจ่ายแรงดันสูงกระแสลับป้อนให้กับตัวเก็บประจุความถี่ C_k และวัสดุที่ใช้ทดสอบ P
- F คือ ตัวกรอง ประกอบด้วยอิมพีแดนซ์มีค่าสูงที่ความถี่สูง นั่นคือ ตัวกรองจะทำหน้าที่กันไม่ให้คลื่นรบกวนความถี่สูงจากตัวจ่ายเข้าไปรบกวนวงจรทดสอบแต่ยอมให้กระแสทดสอบความถี่ต่ำไหลผ่านไปได้ ในเวลาเดียวกัน F จะทำหน้าที่กันไม่ให้สัญญาณดีสชาร์จบางส่วน จากวัสดุทดสอบไหลหนีออกไปทางตัวจ่ายแรงดันได้ ตัวกรองนี้อาจประกอบด้วยตัวเหนี่ยวนำ L หรือประกอบด้วยตัวเก็บประจุ C เป็นวงจร π ก็ได้
- C_k คือ ตัวเก็บประจุความถี่ มีค่าความจุไฟฟ้าประมาณเท่ากับค่าความจุไฟฟ้าของวัสดุทดสอบหรือใหญ่กว่า ในเชิงปฏิบัติ C_k จะมีค่าความจุไฟฟ้าประมาณ 1000 pF เพื่อให้มีค่าอิมพีแดนซ์ต่ำพอที่จะทำให้กระแสดีสชาร์จบางส่วน $i(t)$ ซึ่งมีค่า $< 100 \mu A$ เป็นพัลส์แคบๆ ไหลได้ครบวงจรเป็นกระแสที่วัดได้ ตามที่ได้กล่าวมาแล้วว่า เมื่อเกิดดีสชาร์จในโพรงก๊าซของฉนวน จะทำให้แรงดันที่ขั้วทดสอบ ตกไปเท่ากับ δU , และเป็นสาเหตุให้เกิดการถ่ายเทประจุจากตัวเก็บประจุ C_k เข้าไปทดแทน นั่นคือ จะมีกระแสไหลวน $i(t)$ ที่สามารถตรวจจับหรือวัดได้ (Measurable Current) ซึ่งมีลักษณะเป็นพัลส์ซ้อนอยู่บนรูปคลื่นกระแสที่ป้อนให้กับวัสดุทดสอบ i_s และตัวเก็บประจุความถี่ i_k ($C \frac{di}{dt}$) กระแสทั้งสองจะมีมุมเฟสหน้าหน้าแรงดันที่ป้อนประมาณ 90 องศา ถ้าไม่มีค่าเก็บประจุสเตรย์ขนานกับ C_k กระแสพัลส์ ดีสชาร์จบางส่วน $i(t)$ ที่ซ้อนบนรูปคลื่นกระแสป้อนนี้จะมีขนาดเท่ากับแต่ขึ้นตรงกันข้าม ดังภาพที่ 2.25

เอกสารนี้เป็นเอกสารที่สงวนไว้สำหรับการใช้งานเพื่อการศึกษาเท่านั้น ไม่อนุญาตให้นำไปใช้ประโยชน์ด้านการค้า ไม่ว่าจะกรณีใดๆ ทั้งสิ้น อีกทั้งห้ามมิให้ตัดแปลงเนื้อหา และต้องอ้างอิงถึงเจ้าของเอกสารทุกครั้งที่มีการนำไปใช้



ภาพที่ 2.25 รูปคลื่นกระแสและแรงดันทดสอบของดีสชาร์จบางส่วน

เมื่อ	U_t	คือ	แรงดันที่ป้อน
	i_t	คือ	กระแสที่ป้อนให้กับวัสดุทดสอบ C_t
	i_k	คือ	กระแสที่จ่ายให้กับตัวเก็บประจุความถี่ C_k
	$i_q(t)$	คือ	กระแสพัลส์ดีสชาร์จบางส่วน (PD) ที่วัดได้

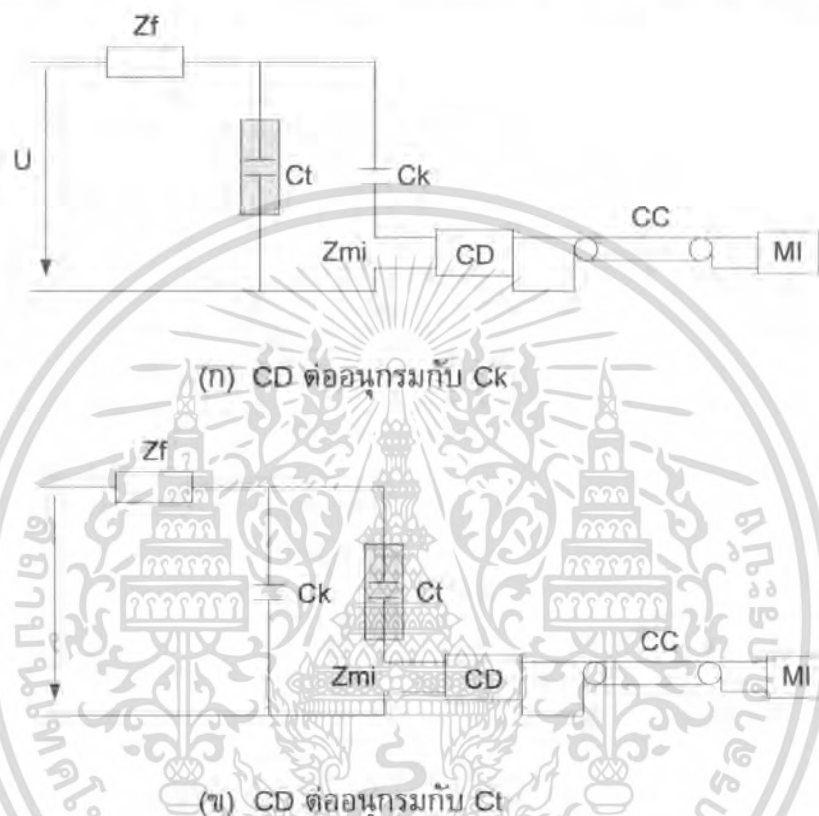
ในการวัดที่ถูกต้องนั้น ค่าความต้านทาน (R_m) ดังภาพที่ 2.25 จะต้องแมช (match) กันกับเคเบิลวัดที่มีอิมพีแดนซ์ (Z_w) ถ้าค่าเก็บประจุของวัสดุทดสอบน้อย แรงดันที่ได้จากกระแสดีสชาร์จบางส่วนนี้ จะจำแนกจากกระแสประจุ $i(t)$ ได้ชัดเจน ในแต่ละครึ่งไซเคิลของแรงดันที่ป้อนจะมีจำนวนพัลส์มากหรือน้อยขึ้นอยู่กับขนาดแรงดันทดสอบ และลักษณะตำแหน่งของการเกิดผิวดรอป ถ้าวัสดุทดสอบที่มีจุดผิวดรอปหลายแห่ง จำนวนพัลส์การดีสชาร์จบางส่วนจะมีมากขึ้น ซึ่งมีช่วงห่างระหว่างพัลส์เป็น μs หรือเร็วกว่านั้น โดยทั่วไปจะสังเกตเห็นอัตราการเกิดดีสชาร์จ มีค่าสูงมากที่สุดเมื่ออัตราการเปลี่ยนแปลงของแรงดัน dU/dt มีค่าสูงสุดขณะนั้นชั่วของพัลส์จะไม่ขึ้นอยู่กับชั่วของแรงดันทดสอบ U_t แต่จะขึ้นอยู่กับเครื่องหมายการเปลี่ยนแปลง dU/dt ตรงกันข้ามในกรณีดีสชาร์จโคโรนา ซึ่งเป็นการดีสชาร์จบางส่วนเกิดภายนอกจะเกิดที่ยอดของแรงดันทดสอบและเครื่องหมายของพัลส์การดีสชาร์จบางส่วนจะสอดคล้องกับชั่วของแรงดันทดสอบที่ป้อน

ภาพที่ 2.24 เป็นวงจรทดสอบที่ใส่แอมพลิฟายเออร์ที่มีแบนวิดท์สูงมาก ที่ต้นทางเคเบิลวัดจะทำให้เคเบิลวัดสัญญาณไม่ต่อกันทางไฟฟ้ากับความต้านทาน R_m เพราะ R_m มีค่าสูงมาก จะมีผลให้การวัดคลาดเคลื่อน ในการนี้จึงใส่ตัวเก็บประจุ C_m ประมาณ 10 pF ที่ต่อระหว่างปลายล่าง C_t กับดิน และขนาดกับ R_m จึงเป็นทางเบี่ยงของสัญญาณประกอบกับที่มีความถี่สูงมาก ๆ ของ $i(t)$ ฉะนั้น $i(t)$ เป็นพัลส์สั้นๆ รูปร่างและค่ายอดบิดเบือน C_m จะทำการอินทิเกรต และ R_m ที่ใส่ไว้จะมีผลให้เกิดการหน่วงด้วยเวลาคงตัว $R_m C_t C_k / (C_t + C_k)$ [1]

เอกสารนี้เป็นเอกสารที่สงวนไว้สำหรับการใช้งานเพื่อการศึกษาเท่านั้น ไม่อนุญาตให้นำไปใช้ประโยชน์ด้านการค้า ไม่ว่าจะกรณีใดๆ ทั้งสิ้น อีกทั้งห้ามมิให้ตัดแปลงเนื้อหา และต้องอ้างอิงถึงเจ้าของเอกสารทุกครั้งที่มีการนำไปใช้

2.7.5 การต่อวงจรระบบวัดคัสซาร์จบางส่วนในวงจรทดสอบ

ในการต่อวงจรของระบบวัดการคัสซาร์จบางส่วน ในวงจรทดสอบจะมีความแตกต่างกันตรงที่การต่ออิมพีแดนซ์วัต Z_m ซึ่งมาตรฐานการวัดการคัสซาร์จบางส่วน ฉบับใหม่คือ IEC 60270 เรียกว่าอุปกรณ์คาบเกี่ยว (Coupling Device) CD ประกอบเป็นอิมพีแดนซ์วัต Z_{mi} ต่อที่ต้นระบบวัดแบ่งเป็น 2 แบบดังรูปที่ 2.26 ซึ่งเป็นวงจรตรวจจับคัสซาร์จบางส่วนโดยตรง



ภาพที่ 2.26 วงจรทดสอบตรวจจับคัสซาร์จบางส่วนโดยตรง

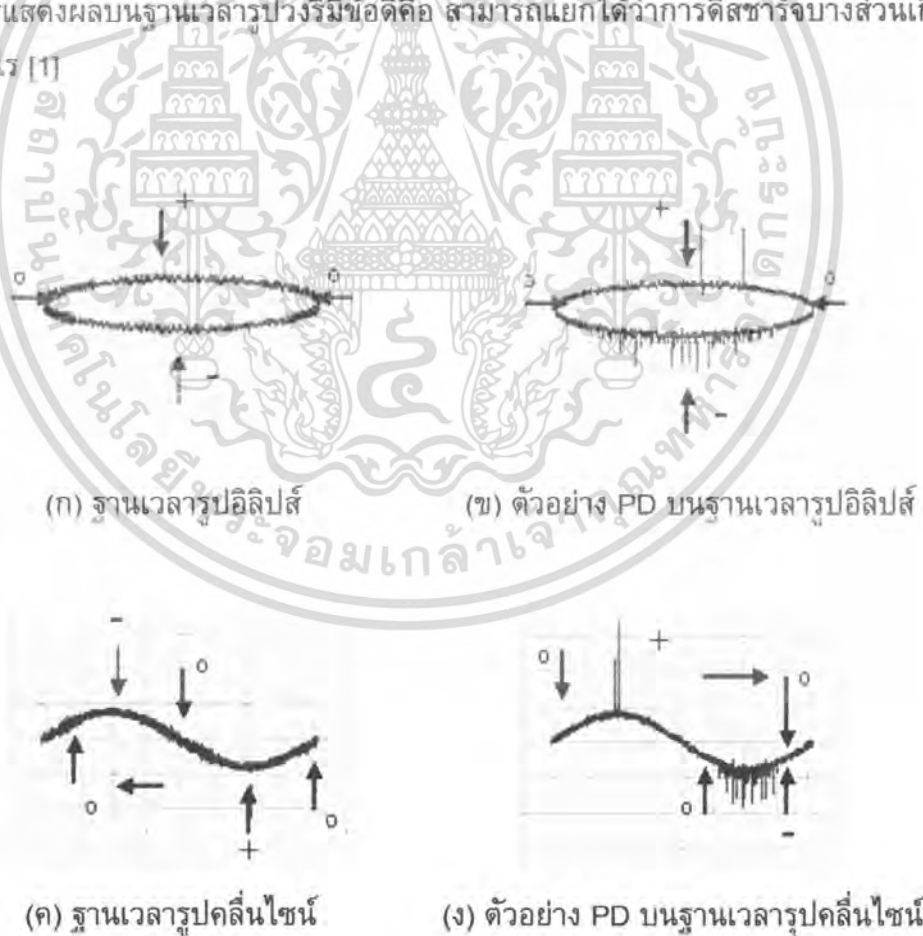
เมื่อ	U	คือ	แรงสูงตัวจ่าย
	Z_f	คือ	ตัวกรอง
	Z_{mi}	คือ	อิมพีแดนซ์ป้อนเข้าของระบบ
	CC	คือ	เคเบิลวัด
	C_t	คือ	ค่าเก็บประจุวัสดุทดสอบ
	C_k	คือ	ค่าเก็บประจุคาบเกี่ยว
	CD	คือ	อุปกรณ์คาบเกี่ยว

ความแตกต่างของวงจรแบบ (ก) และแบบ (ข) คือ แบบ (ก) ตัวคาบเกี่ยว CD ต่ออนุกรมกับ C_k ที่มีศักย์เป็นดิน เป็นแบบที่มีใช้กันมากในทางปฏิบัติ ไม่เสี่ยงต่อการเบรกดาวน์ เอกสารนี้เป็นเอกสารที่สงวนไว้สำหรับการใช้งานเพื่อการศึกษาเท่านั้น ไม่อนุญาตให้นำไปใช้ประโยชน์ด้านการค้า ไม่ว่าจะกรณีใดๆ ทั้งสิ้น อีกทั้งห้ามมิให้ดัดแปลงเนื้อหา และต้องอ้างอิงถึงเจ้าของเอกสารทุกครั้งที่มีการนำไปใช้

เพราะทราบค่าแรงดันที่กำหนดของ C_k แต่ความไวในการวัดจะน้อยกว่าแบบ (ข) เพราะการดิสรชาร์จบางส่วนที่เกิดขึ้นนั้นเกิดขึ้นที่วัสดุทดสอบ C_t แบบ (ข) จะมีความไวสูงกว่า เพราะตัวคาบเกี่ยว CD ต่ออนุกรมโดยตรงกับวัสดุทดสอบ C_t ค่าเก็บประจุสเตรย์ทั้งหลายด้านแรงสูงกับดินจะเพิ่มค่า C_k ทำให้ความไวของวงจร วัดดิสรชาร์จบางส่วนสูงขึ้น แต่จะมีข้อเสียที่เสี่ยงต่อการเกิดเบรกดาวน์ที่วัสดุทดสอบ จะทำให้เครื่องวัด ดิสรชาร์จบางส่วนเสียหายได้

2.7.6 การแสดงผลดิสรชาร์จภายใน

ในการวัดค่าดิสรชาร์จบางส่วน อาจวัดด้วยมิเตอร์ความถี่สูงออกมาเป็นไมโครโวลต์ (μV) พิโคคูลอมป์ (pC) แต่จะทราบเพียงขนาดของการดิสรชาร์จบางส่วนเท่านั้น ซึ่งวิธีที่นิยมใช้แสดงผล การดิสรชาร์จบางส่วนในปัจจุบัน คือ การแสดงผลบนจอออสซิลอโคป ซึ่งอาจจะแสดงได้ 2 แบบ คือ ให้อุปพัลส์ของการดิสรชาร์จบางส่วนปรากฏอยู่บนฐานเวลารูปวงรี ซึ่งมีเครื่องหมายแสดงตำแหน่งยอดบวก ยอดลบ และตำแหน่งศูนย์ของรูปแรงดันทดสอบ หรือแสดงให้อุปคลื่นพัลส์การดิสรชาร์จบางส่วนปรากฏบนฐานเวลารูปคลื่นไซน์ การแสดงการดิสรชาร์จบางส่วนบนฐานเวลารูปคลื่นไซน์จะมีผลที่วัดขนาดได้ถูกต้องและสังเกตตำแหน่งที่เกิดได้แน่นอนการแสดงผลบนฐานเวลารูปวงรีมีข้อดีคือ สามารถแยกได้ว่าการดิสรชาร์จบางส่วนเกิดจากสาเหตุอะไร [1]



ภาพที่ 2.27 การแสดงผลการดิสรชาร์จบางส่วน

เอกสารนี้เป็นเอกสารที่สงวนไว้สำหรับการใช้งานเพื่อการศึกษาเท่านั้น ไม่อนุญาตให้นำไปใช้ประโยชน์ด้านการค้า ไม่ว่ากรณีใดๆ ทั้งสิ้น อีกทั้งห้ามมิให้ตัดแปลงเนื้อหา และต้องอ้างอิงถึงเจ้าของเอกสารทุกครั้งที่มีการนำไปใช้

2.8 การออกแบบครีบนวนโพลีเมอร์ของกับดักฟ้าผ่าแบบไม่มีแกน

ปัญหาสำคัญยิ่งประการหนึ่งของการใช้ระบบไฟฟ้าแรงสูง ก็คือ การฉนวนซึ่งมีบทบาทสำคัญอย่างยิ่งต่อเสถียรภาพ และความเชื่อถือได้ของระบบส่งจ่ายพลังงานไฟฟ้า ความผิดพลาดที่เกิดขึ้นในระบบส่งจ่ายส่วนใหญ่ จะมาจากความล้มเหลวของฉนวนที่มีคุณภาพไม่ได้มาตรฐานหรือการออกแบบที่ไม่มีประสิทธิภาพ ซึ่งการออกแบบการฉนวนไฟฟ้าจะขึ้นอยู่กับ

1. ชนิดของฉนวน
2. คุณสมบัติของฉนวนต่อลักษณะรูปแบบสนามไฟฟ้า และความเครียดสนามไฟฟ้า ชนิด แบบหรือรูปคลื่นแรงดัน (กระแสสลับ กระแสตรง และทรานเซียนด์)
3. ระดับแรงดันระบบ HV, EHV และ UHV
4. สภาพแวดล้อม ความเปรอะเปื้อน และสภาพบรรยากาศ รวมทั้งปรากฏการณ์ฟ้าผ่า
5. ความสำคัญของฉนวนที่แตกต่างกัน
6. ระบบส่งจ่ายไฟฟ้าแรงสูงแบ่งออกเป็น 3 ส่วนคือ สายส่ง สถานีจ่ายไฟฟ้าและสายจำหน่าย

2.8.1 ลักษณะมิติที่สำคัญของกับดักฟ้าผ่า

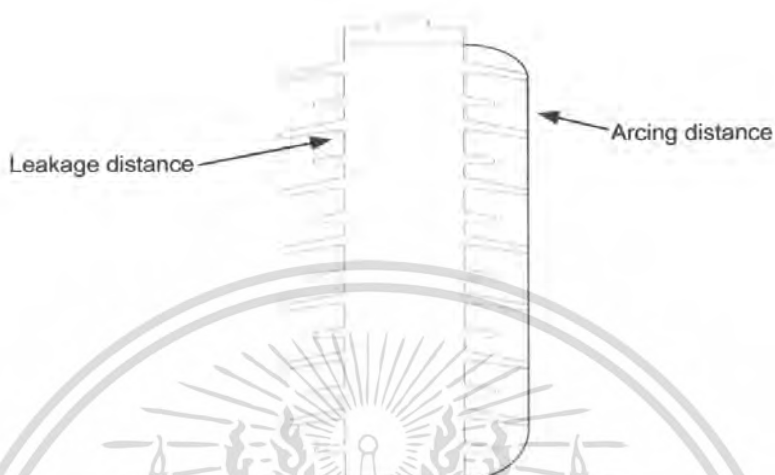
กับดักฟ้าผ่าถือเป็นส่วนประกอบที่สำคัญยิ่งต่อเสถียรภาพ และความเชื่อถือได้ของระบบส่งจ่ายพลังงานไฟฟ้า ความบกพร่องหรือความล้มเหลวของกับดักฟ้าผ่าย่อมจะทำให้เกิดความเสียหาย การส่งจ่ายพลังงานไฟฟ้าหยุดชะงัก ฉะนั้นกับดักฟ้าผ่าที่ดีจะต้องไม่เป็นต้นเหตุที่ทำให้เกิดผิดพลาดในระบบจ่ายพลังงานไฟฟ้า กับดักฟ้าผ่าในสภาวะที่ใช้งานจะต้องทนต่อสภาพดินฟ้าอากาศได้ทุกรูปแบบ ต้องมีความคงทนต่อแรงดันไฟฟ้า ความร้อน แรงแทงกล และปฏิกิริยาเคมี ซึ่งลักษณะสมบัติที่สำคัญของ กับดักฟ้าผ่าที่กล่าวมาในที่นี้คือ ลักษณะสมบัติทางไฟฟ้า ซึ่งจะขึ้นอยู่กับมิติและคุณสมบัติของเนื้อฉนวน

ลักษณะสมบัติทางมิติที่เกี่ยวข้อง และมีผลต่อลักษณะสมบัติทางไฟฟ้าของกับดักฟ้าผ่าที่ควรทราบความหมายมีดังต่อไปนี้

1. ระยะรั้ว (Leakage distance) คือ ระยะที่สั้นที่สุดที่วัดได้ตามผิวฉนวนของกับดักฟ้าผ่าระหว่างอิเล็กโทรด โดยส่วนหนึ่งของระยะรั้วจะเป็นส่วนกันมิให้ผิวฉนวนเปียกได้ง่ายเมื่ออยู่ในสภาพฝนตก ซึ่งจะช่วยให้กับดักฟ้าผ่ามีความคงทนต่อแรงดันวาวไฟตามผิวได้สูง ดังรูปที่ 2.28
2. ระยะอาร์ก (Arcing distance) คือ ระยะสั้นที่สุดที่วัดระหว่างอิเล็กโทรดผ่านอากาศหรือกล่าวอีกนัยหนึ่งคือระยะที่วัดตามแนวที่เกิดอาร์กระยะอาร์กแบ่งออกเป็นระยะอาร์กแห้ง(Dry arcing distance) หมายถึง ระยะที่สั้นที่สุดที่วัดผ่านตัวกลางที่ล้อมรอบ ฉนวนกับดักฟ้าผ่าระหว่างอิเล็กโทรดในการทดสอบการวาวไฟตามผิวแห้ง

เอกสารนี้เป็นเอกสารที่สงวนไว้สำหรับการใช้งานเพื่อการศึกษาเท่านั้น ไม่อนุญาตให้นำไปใช้ประโยชน์ด้านการค้า ไม่ว่าจะกรณีใดๆ ทั้งสิ้น อีกทั้งห้ามมิให้ตัดแปลงเนื้อหา และต้องอ้างอิงถึงเจ้าของเอกสารทุกครั้งที่มีการนำไปใช้

ระยะอาร์กเป็ยก (Wet arcing distance) หมายถึง ระยะที่สั้นที่สุดที่วัดผ่านตัวกลางที่ ล้อมรอบจนวนกับดักฟ้าผ่าระหว่างอิเล็กโทรดในการทดสอบวาบไฟตามผิวเป็ยก



ภาพที่ 2.28 ลักษณะทางมิติที่สำคัญของกับดักฟ้าผ่า

2.8.2 การใช้งานกับดักฟ้าผ่าในสภาวะเปราะเป็น

สิ่งเปราะเป็นที่จับเกาะอยู่บนผิวของจนวนกับดักฟ้าผ่า เมื่อมันเป็ยกน้ำซึ่งจะเกิดจากหมอก หรือความชื้นในตอนเช้า หรือฝนที่ตกปรอยๆ สภาพนำไฟฟ้าของผิวจนวนของกับดักฟ้าผ่าจะมีค่าเพิ่มขึ้น เป็นผลให้กระแสรัไหลตามผิวของกับดักฟ้าผ่ามีค่าเพิ่มมากขึ้น และเป็นสาเหตุให้เกิดวาบไฟตามผิวได้ง่าย การเกิดวาบไฟตามผิวเนื่องจากความเปราะเป็นขึ้นอยู่กับปริมาณและประเภทของสิ่งเปราะเป็นที่ละลายน้ำได้ รวมทั้งปริมาณของสิ่งเปราะเป็นที่ไม่ละลายน้ำ ปริมาณของสิ่งเปราะเป็นที่ละลายน้ำได้เป็นองค์ประกอบที่สำคัญที่สุดของการเกิดวาบไฟตามผิว



ภาพที่ 2.29 ความเสียหายที่มีสาเหตุจากการเกิดวาบไฟตามผิวของ

เอกสารนี้เป็นเอกสารที่สงวนกับดักฟ้าผ่าใช้งานเพื่อการศึกษาเท่านั้น ไม่อนุญาตให้นำไปใช้ประโยชน์ด้านการค้าไม่ว่ากรณีใดๆ ทั้งสิ้น อีกทั้งห้ามมิให้ดัดแปลงเนื้อหา และต้องอ้างอิงถึงเจ้าของเอกสารทุกครั้งที่มีการนำไปใช้

การแบ่งประเภทของสิ่งเปราะเปื้อนโดยทั่วไปแล้วนิยมแบ่งออกเป็น 4 ประเภท ตามสภาพ แวดล้อมที่กักตัวฝ้าติดตั้งใช้งาน ได้แก่ สิ่งเปราะเปื้อนจากทะเล สิ่งเปราะเปื้อนจากอุตสาหกรรม สิ่งเปราะเปื้อนจากทะเลทราย และสิ่งเปราะเปื้อนจากบริเวณอื่น ๆ การแบ่งระดับความเปราะเปื้อน ตามมาตรฐาน IEC 815 [5] ได้แบ่งระดับความเปราะเปื้อนออกเป็น 4 ระดับ ตามสภาพพื้นที่ ดังแสดงในตารางที่ 2.1

ตารางที่ 2.1 การแบ่งระดับของความเปราะเปื้อน

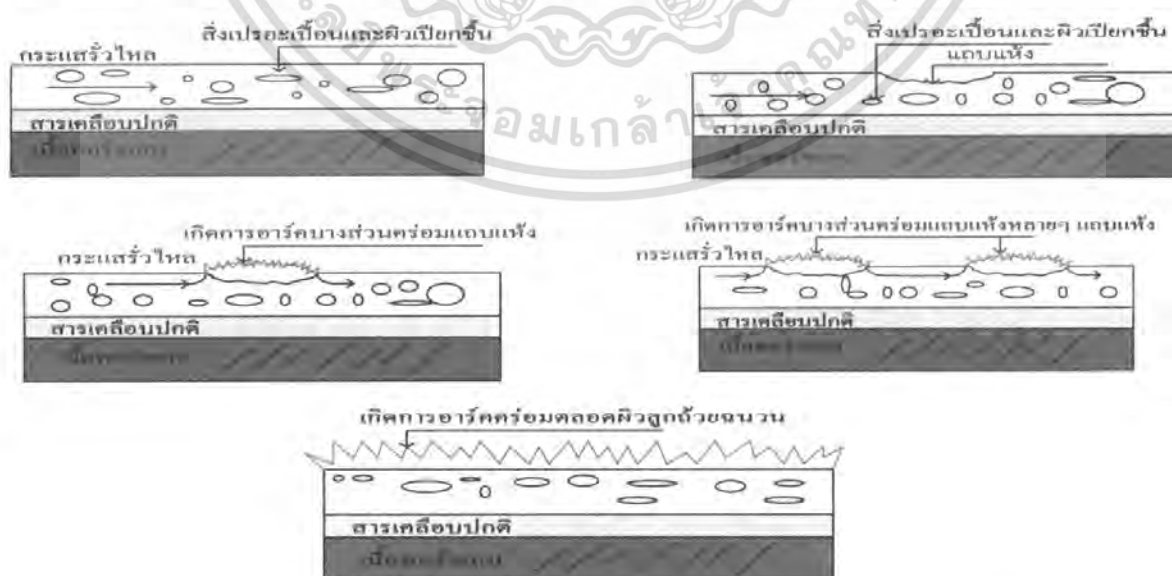
ระดับความเปราะเปื้อน	ตัวอย่าง
1) เล็กน้อย (Light)	<ul style="list-style-type: none"> - บริเวณที่ปลอดภัยจากการประกอบอุตสาหกรรม และชุมชนที่มีอัตราการใช้เครื่องทำความร้อนปริมาณน้อย - บริเวณที่มีความหนาแน่นในการประกอบ อุตสาหกรรมหรือที่อยู่อาศัยโดยจะต้องเป็นบริเวณที่มีลมพัดผ่านหรือมีฝนตกบ่อย - บริเวณเขตเกษตรกรรมหรือบริเวณที่อยู่ใกล้ๆ ภูเขาโดยที่พื้นที่ ทั้งหมดเหล่านี้ จะต้องอยู่ห่างจากชายฝั่งทะเลไม่น้อยกว่า 10-20 กิโลเมตร และจะต้องไม่ได้รับลมทะเลโดยตรง
2) ปานกลาง (Medium)	<ul style="list-style-type: none"> - บริเวณเขตอุตสาหกรรมที่ไม่ได้มีการสร้างฝุ่นหรือควันออกมา และ อาจจะเป็นบริเวณย่านชุมชนที่มีอัตราการใช้เครื่องทำความร้อน ปานกลาง - บริเวณย่านชุมชนหรือเขตอุตสาหกรรมหนาแน่น แต่จะต้องมีลม พัด ผ่านหรือฝนตกปรอย ๆ - บริเวณที่มีลมทะเลพัดผ่าน ซึ่งจะต้องอยู่ห่างจากชายฝั่งทะเลพอสมควร (ควรจะห่างหลายๆ กิโลเมตร)
3) สูง (Heavy)	<ul style="list-style-type: none"> - เขตอุตสาหกรรมหนาแน่น หรือบริเวณชานเมืองของเมืองใหญ่ที่มี อัตราการใช้เครื่องทำความร้อนสูง - บริเวณที่ได้รับลมทะเลที่รุนแรงโดยตรงหรือชายฝั่งทะเล
4) สูงมาก (Very heavy)	<ul style="list-style-type: none"> - บริเวณที่เป็นเขตรับฝุ่นควันจากโรงงานอุตสาหกรรมโดยตรง โดยเฉพาะฝุ่นที่เป็น thick conductive deposit - บริเวณที่อยู่ใกล้ชายฝั่งทะเลมากๆ ซึ่งมีการรับสิ่งเปราะเปื้อนที่พัด มาจากทะเลโดยตรง - ทะเลทรายที่มีโอกาสฝนตกน้อยมาก จะต้องรับลมที่นำเอาทรายและ ไอเกลือเข้ามา

เอกสารนี้เป็นเอกสารที่สงวนไว้สำหรับการใช้งานเพื่อการศึกษาเท่านั้น ไม่อนุญาตให้นำไปใช้ประโยชน์ด้านการค้า ไม่ว่าจะกรณีใดๆ ทั้งสิ้น อีกทั้งห้ามมิให้ตัดแปลงเนื้อหา และต้องอ้างอิงถึงเจ้าของเอกสารทุกครั้งที่มีการนำไปใช้

หมายเหตุ

- บริเวณเกษตรกรรมในข้อ 1 ถ้ามีการใช้ปุ๋ยโดยการฉีดพ่นหรือมีการเผาไหม้ของกากขี้มูลพืชต่างๆ เมื่อมีลมพัดนำเอาสิ่งเหล่านั้นมาแพร่กระจายออกไป ระดับความเปรอะเปื้อนอาจจะอยู่ในระดับสูง
- บริเวณที่อยู่ห่างจากชายฝั่งทะเลหรืออยู่ใกล้ชายฝั่งทะเลในข้อที่ 2 หรือ 3 ระยะเวลาที่พิจารณาจะต้องขึ้นอยู่กับลักษณะภูมิประเทศของชายฝั่งทะเล และลักษณะที่เกิดขึ้นด้วย

กระแสรั่วไหลทำให้เกิดความร้อนขึ้น อุณหภูมิของความร้อนที่เกิดขึ้นจะไม่สม่ำเสมอเท่ากันตลอดผิวของฉนวน โดยจะขึ้นอยู่กับความหนาแน่นกระแส บริเวณที่มีความหนาแน่นกระแสสูงเช่น บริเวณคอคอดจะเกิดความร้อนสูงกว่าบริเวณอื่นทำให้ผิวฉนวนของกับดักฟ้าผ่าบริเวณนั้นแห้งก่อน ซึ่งมีลักษณะเป็นส่วนเล็กๆ แคบๆ มีความกว้างประมาณ 1-2 มิลลิเมตร เรียกว่าแถบแห้ง (Dry band) บริเวณแถบแห้งนี้มีสภาพความต้านสูง ไม่สามารถที่จะนำกระแสได้ ทำให้แรงดันเกือบทั้งหมดตกคร่อมไปที่แถบแห้ง ถ้าความคงทนต่อความเป็นฉนวนของอากาศบริเวณแถบแห้งมีค่าน้อยกว่าความเข้มของสนามไฟฟ้าที่ตกคร่อมแถบแห้ง จะเกิดการเบรกดาวนของอากาศคร่อมแถบแห้งขึ้นเรียกว่าการดีสชาร์จบางส่วน (Partial Discharge) กระแสรั่วไหลที่เกิดขึ้นอาจทำให้ขนาดของแถบแห้งขยายออกไป ถ้าความเข้มของสนามไฟฟ้าที่ตกคร่อมแถบแห้งมีค่าไม่เพียงพอที่จะทำให้เกิดการดีสชาร์จต่อไปอีก การดีสชาร์จบางส่วนจะหยุดลง ถ้ามีแถบแห้งหลายๆ ส่วนที่อยู่ใกล้กันเกิดการพัฒนาการจนเชื่อมต่อถึงกันได้ ก็จะทำให้เกิดวาบไฟตามผิวตกคร่อมตลอดผิวฉนวนของกับดักฟ้าผ่า ขั้นตอนของการเกิดวาบไฟตามผิวฉนวนของกับดักฟ้าผ่าเนื่องจากสิ่งเปรอะเปื้อนแสดงในดั่งภาพที่ 2.30



ภาพที่ 2.30 ขั้นตอนการเกิดวาบไฟตามผิวที่มีฉนวนจากสิ่งเปรอะเปื้อน

เอกสารนี้เป็นเอกสารทบทวนเวลาสำหรับการใช้งานเพื่อการศึกษาเท่านั้น เมื่อนุญาติให้นำไปเผยแพร่ขึ้นด้านการค้าไม่ว่ากรณีใดๆ ทั้งสิ้น อีกทั้งห้ามมิให้ตัดแปลงเนื้อหา และต้องอ้างอิงถึงเจ้าของเอกสารทุกครั้งที่มีการนำไปใช้

2.8.3 แนวทางการแก้ไขการเกิดวาทไฟตามผิวฉนวนของกับดักฟ้าผ่าอันเนื่องจากการใช้งานในบริเวณเปรอะเปื้อน

1. ลดปริมาณการสะสมของสิ่งเปรอะเปื้อนบนผิวฉนวนของกับดักฟ้าผ่า

การป้องกันการเกิดวาทไฟตามผิวฉนวนของกับดักฟ้าผ่า โดยใช้วิธีลดปริมาณการสะสมของสิ่งเปรอะเปื้อน ได้แก่ การทำความสะอาดผิวฉนวนของกับดักฟ้าผ่าตามระยะเวลาที่กำหนดไว้หรือจะใช้ กับดักฟ้าผ่าประเภทที่มีรูปทรงที่ยากแก่การจับเกาะของสิ่งเปรอะเปื้อนและจะต้องทำการฉีดล้างทำความสะอาดกับดักฟ้าผ่าตามระยะเวลาที่เหมาะสม จะทำเมื่อผิวฉนวนของกับดักฟ้าผ่าเริ่มสกปรกสามารถทำได้ทั้งในขณะที่ดับกระแสไฟฟ้าและขณะจ่ายกระแสไฟฟ้า โดยจะต้องพิจารณาค่าความนำไฟฟ้าของน้ำที่ใช้ในการฉีด ระยะห่างและแรงดันของน้ำ ทิศทาง ตลอดจนลักษณะการติดตั้งของกับดักฟ้าผ่า ในการออกแบบปีกฉนวนของกับดักฟ้าผ่าให้มีรูปร่างที่ทำให้การจับเกาะของสิ่งเปรอะเปื้อนทำได้ยากขึ้น

2. การเพิ่มความคงทนต่อแรงดันวาทไฟตามผิวฉนวนของกับดักฟ้าผ่า

การเกิดวาทไฟตามผิวฉนวนของกับดักฟ้าผ่าจะเกิดได้ยากขึ้น ถ้าผิวฉนวนของกับดักฟ้าผ่ามีความคงทนต่อแรงดันวาทไฟตามผิวสูงขึ้น อาจทำได้โดยการเพิ่มระยะรั่ว (Leakage Distance) ของ กับดักฟ้าผ่า การเพิ่มระยะรั่วของครีบนวนของกับดักฟ้าผ่าให้มากขึ้นนั้น ทำให้กระแสรั่วไหลเกิดขึ้นได้น้อยลง โดยมาตรฐาน IEC 815 [8] ได้ระบุค่าต่ำสุดของ Nominal specific creepage distance ที่ใช้สำหรับการออกแบบครีบนวนที่จะนำไปใช้ในบริเวณที่มีความเปรอะเปื้อน โดยเป็นฟังก์ชันของระดับสิ่งเปรอะเปื้อนของสถานที่นั้นๆ ดังแสดงในตารางที่ 2.2

ตารางที่ 2.2 ค่าต่ำสุดของ Nominal specific creepage distance ที่ใช้สำหรับการออกแบบหรือเลือกใช้กับดักฟ้าผ่าที่จะนำไปใช้ในบริเวณเปรอะเปื้อน

ระดับของความเปรอะเปื้อน	ค่าต่ำสุด ของ Nominal specific creepage distance (mm/kV)
เล็กน้อย	16
ปานกลาง	20
สูง	25
สูงมาก	31

โดยที่บริเวณที่ระดับของความเปรอะเปื้อนเบาบาง ค่าต่ำสุดของ Nominal specific creepage distance อาจจะมีค่าน้อยกว่า 16 mm/kV ก็ได้ แต่จะต้องไม่น้อยกว่า 12 mm/kV (ค่าต่ำสุดที่ยินยอมให้ใช้ได้) ซึ่งจะขึ้นอยู่กับการดูแลบำรุงรักษาและบริเวณที่มีระดับของความ

เอกสารนี้เป็นเอกสารที่สงวนไว้สำหรับการใช้งานเพื่อการศึกษาเท่านั้น ไม่อนุญาตให้นำไปใช้ประโยชน์ด้านการค้าไม่ว่ากรณีใดๆ ทั้งสิ้น อีกทั้งห้ามมิให้ตัดแปลงเนื้อหา และต้องอ้างอิงถึงเจ้าของเอกสารทุกครั้งที่มีการนำไปใช้

เปราะเปื้อนสูงมากเป็นพิเศษ ค่าที่ระบุไว้คือ 31 mm/kV อาจจะไม่เพียงพอที่จะสามารถป้องกันการเกิดวาทไฟตามผิวได้ ดังนั้นควรพิจารณาใช้ค่า Nominal specific creepage distance เพิ่มขึ้น โดยขึ้นอยู่กับบำรุงรักษาและผลการทดสอบจากห้องปฏิบัติการและประสบการณ์ของผู้ออกแบบ บางกรณีอาจจะพิจารณาควบคู่ไปกับการวางแผนการทำความสะอาดกับดักฟ้าผ่า หลังจากติดตั้งใช้งานหรือการใช้สายเคเบิลผิวฉนวนของ กับดักฟ้าผ่าอีกด้วย

2.8.4 การออกแบบกับดักฟ้าผ่าเพื่อใช้งานในบริเวณเปราะเปื้อน

เกณฑ์การออกแบบครีปฉนวนโพลีเมอร์ของกับดักฟ้าผ่าแบบไม่มีแก๊ป จะอาศัยข้อแนะนำตามมาตรฐาน IEC 815 [5] โดยมีขั้นตอนการออกแบบดังนี้

1. คำนวณค่า minimum nominal creepage distance ตามสมการที่ (2.10)

$$(L_{nc})_{\min} = (L_{sc})_{\min} \times U_m \times k_d \quad (2.10)$$

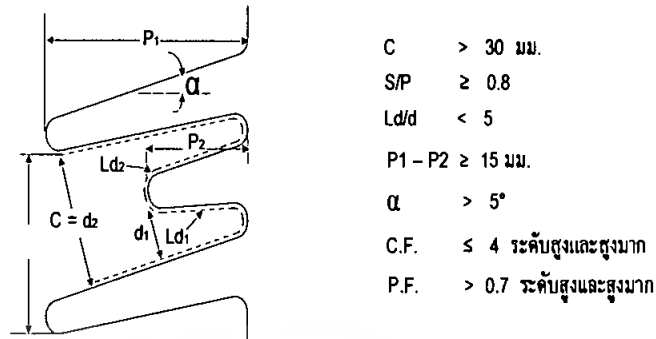
เมื่อ $(L_{nc})_{\min}$ คือ minimum nominal creepage distance
 $(L_{sc})_{\min}$ คือ minimum specific creepage distance
 U_m คือ highest system voltage phase-to phase for the equipment
 k_d คือ ตัวประกอบแก้ไข (correction factor) ; $k_d = 1$ เมื่อเส้นผ่านศูนย์กลางเฉลี่ยของลูกถ้วย (D_m) < 300 mm.

กับดักฟ้าผ่าฉนวนเป็นแบบปีกสลับ ค่า (D_m) โดยประมาณหาได้จากสมการที่ (2.11)

$$D_m = (D_{e1} + D_{e2} + 2D_i) / 4 \quad (2.11)$$

เมื่อ D_{e1} คือ เส้นผ่าศูนย์กลางปีกใหญ่
 D_{e2} คือ เส้นผ่าศูนย์กลางปีกเล็ก
 D_i คือ เส้นผ่านศูนย์กลางของแกนกับดักฟ้าผ่า

2. ลักษณะรูปร่างของครีบบ ตามมาตรฐาน IEC 815 [8] ดังนี้

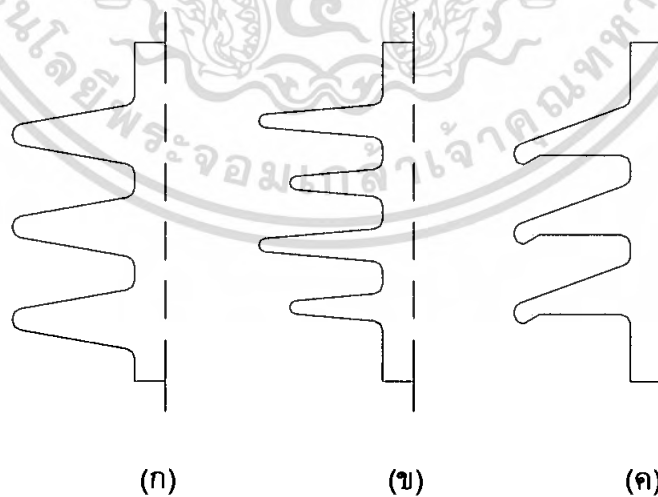


C	> 30 มม.
S/P	≥ 0.8
Ld/d	< 5
$P_1 - P_2$	≥ 15 มม.
α	> 5°
C.F.	≤ 4 ระดับสูงและสูงมาก
P.F.	> 0.7 ระดับสูงและสูงมาก

ภาพที่ 2.31 ลักษณะการออกแบบครีบบตามมาตรฐาน IEC 815

เมื่อ	C	คือ	ระยะช่องว่างแนวตั้งฉากกับผิวของครีบบไปยังครีบบนอกสุดของครีบบน
	S	คือ	ระยะห่างระหว่างชั้นครีบบในแนวตั้งของครีบบคู่ใด ๆ
	P	คือ	ความกว้างของครีบบที่ยื่นออกไปจากคอดันโดยที่ P_1 และ P_2 เป็นความกว้างของครีบบยาวและครีบบสั้นตามลำดับ
	d	คือ	ระยะห่างในอากาศระหว่างผิวของครีบบ
	L_d	คือ	ระยะรั้วที่วัดระหว่างจุดที่กำหนด จุดวัดค่า

3. เลือกลักษณะครีบบ ลักษณะของครีบบที่ใช้งานโดยทั่วไปจะมี 3 ประเภท



ภาพที่ 2.32 รูปแบบของครีบบประเภทต่าง ๆ

เอกสารนี้เป็นเอกสารที่สงวนไว้สำหรับการใช้งานเพื่อการศึกษาเท่านั้น ไม่อนุญาตให้นำไปใช้ประโยชน์ด้านการค้า ไม่ว่าจะกรณีใดๆ ทั้งสิ้น อีกทั้งห้ามมิให้ตัดแปลงเนื้อหา และต้องอ้างอิงถึงเจ้าของเอกสารทุกครั้งที่มีการนำไปใช้

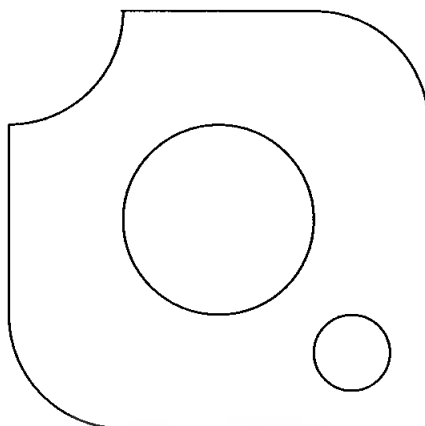
พิจารณาเปรียบเทียบกันระหว่างรูปแบบครึ่งแต่ละแบบพบว่าครึ่งแบบ (ก) สิ่งเปราะจะเป็อนมีโอกาสดับเกาะน้อยที่สุด แต่ทำความสะอาดตัวเองโดยอาศัยปรากฏการณ์ธรรมชาติ เช่น ลมพัดหรือฝนตกได้แยะที่สุด ส่วนครึ่งแบบ (ข) การที่มีครึ่งสั้นมาเสริมสลักับครึ่งยาวเพื่อทำหน้าที่ชดเชยระยะรั้วที่หายไป ครึ่งแบบนี้จะทำความสะอาดตัวเองได้ดีกว่าครึ่งแบบ (ก) สำหรับครึ่งแบบ (ค) สิ่งเปราะ-เป็อนมีโอกาสดับได้เพิ่มขึ้น แต่มีคุณสมบัติในการทำความสะอาดตัวเองได้ดีกว่าครึ่งชนิดแบบอื่นๆ แต่โอกาสที่หยดน้ำจะเชื่อมต่อระหว่างปีกในสภาวะที่ฝนตกหนักมีเพิ่มขึ้น

2.9 ไฟไนต์เอลิเมนต์

ปรากฏการณ์ส่วนใหญ่ที่เกิดขึ้นรอบตัวเรา สามารถอธิบายได้โดยกฎเกณฑ์ทางฟิสิกส์ และทำการประดิษฐ์ขึ้นมาในลักษณะของสมการต่างๆได้ ซึ่งอาจจะทำให้อยู่ในรูปแบบของสมการเชิงอนุพันธ์ (Differential Equation) หรือในรูปแบบของสมการอินทิกรัล (Integral Equation) เป็นต้น ดังตัวอย่างเช่น ในการคำนวณหาการกระจายอุณหภูมิบนเครื่องยนต์ของรถยนต์ อาจเริ่มมาจากสมการอนุพันธ์ที่อธิบายสถานะของความสมดุลในการถ่ายเทความร้อน การคำนวณออกแบบโครงสร้างปีกเครื่องบินอาจเริ่ม มาจากสมการเชิงอนุพันธ์ที่อธิบายสถานะของความสมดุลของโครงสร้างนั้นภายใต้แรงกดดันของอากาศในขณะที่ทำการบิน เป็นต้น

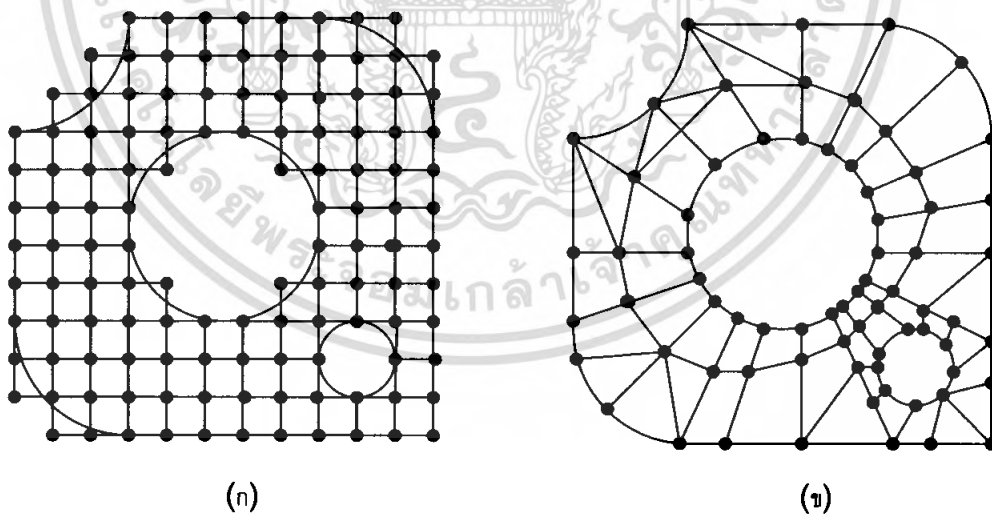
สมการเชิงอนุพันธ์ที่สอดคล้องกับปัญหาต่างๆนั้น ปกติแล้วจะประดิษฐ์ขึ้นมาได้โดยไมยาก แต่ว่าผลเฉลยแม่นยำตรง (exact solution) ที่ต้องการจะต้องทำการหาออกมาโดยวิธีการวิเคราะห์ (analytical method) นั้นทำได้ยากและลำบากมากหรืออาจจะหาไม่ได้เลยเหตุผลดังกล่าวก่อให้เกิดวิธีการหาผลเฉลยโดยประมาณ (approximate solution) ขึ้นมาใช้ วิธีการหาผลเฉลยโดยประมาณ (approximate method) นั้นมีหลายวิธีการ วิธีการที่ได้รับความนิยมอย่างกว้างขวาง ในอดีตที่ผ่านมาคือ วิธีการหาผลต่างสี่บเนื่อง (finite difference method)

หลักการที่สำคัญของวิธีการผลต่างสี่บเนื่องก็คือการหาค่าผลเฉลยโดยประมาณ โดยเริ่มจากการเขียนสมการเชิงอนุพันธ์ให้อยู่ในรูปแบบของระบบสมการผลต่างสี่บเนื่อง (system of difference equation) ข้อดีของวิธีการผลต่างสี่บเนื่องก็คือ วิธีการดังกล่าวเป็นวิธีที่ง่ายแก่การศึกษาและทำความเข้าใจ รวมไปถึงความสะดวกในการเขียนโปรแกรมคอมพิวเตอร์เพื่อใช้ในการคำนวณหาผลเฉลยของปัญหานั้น ๆ ส่วนข้อเสียของการใช้วิธีการผลต่างสี่บเนื่องก็มีหลายประการ เช่น ความไม่สะดวกในการกำหนดเงื่อนไขขอบเขต (application of boundary condition) และที่สำคัญที่สุดก็คือความยากลำบากในการประยุกต์วิธีการนี้เพื่อใช้กับปัญหาที่มีรูปร่างซับซ้อน ซึ่งการออกแบบสิ่งที่มีรูปร่างลักษณะซับซ้อนในปัจจุบันนี้ได้กลายเป็นสิ่งจำเป็นเพื่อการพัฒนาปรับปรุงคุณภาพสิ่งของนั้น ๆ ให้ดียิ่งขึ้น



ภาพที่ 2.33 ลักษณะของตัวอย่างแผ่นอะลูมิเนียมที่ใช้วิเคราะห์เปรียบเทียบระหว่างวิธีการผลต่างสลับเนื่องกับวิธีการไฟไนต์เอลิเมนต์

รูปที่ 2.33 แสดงลักษณะของแผ่นโลหะอะลูมิเนียมชิ้นหนึ่ง ซึ่งประกอบด้วยส่วนโค้งและส่วนที่เป็นเส้นตรง การวิเคราะห์หากการกระจายของความเค้น (Stress distribution) บนแผ่นอะลูมิเนียมนี้ภายใต้แรงกระทำที่กำหนดให้โดยการใช้วิธีการผลต่างสลับเนื่อง (finite difference method) จะเริ่มจากการแบ่งแผ่นอะลูมิเนียมนี้ออกเป็นช่องตารางสี่เหลี่ยมดังรูปที่ 2.34 (ก) โดยที่ตารางสี่เหลี่ยมเหล่านี้ต่อกันที่จุดต่อ (grid points) ตามหัวมุมของสี่เหลี่ยมต่าง ๆ และขนาดของปัญหาหรือจำนวนตัวไม่รู้ค่า (number of unknowns) จะขึ้นอยู่กับจำนวนของจุดต่อนี้เอง



ภาพที่ 2.34 แผ่นอะลูมิเนียมที่วิเคราะห์โดยใช้วิธีการผลต่างสลับเนื่อง (ก) กับวิธีการไฟไนต์เอลิเมนต์ (ข)

เอกสารนี้เป็นเอกสารที่สงวนไว้สำหรับการใช้งานเพื่อการศึกษาเท่านั้น ไม่อนุญาตให้นำไปใช้ประโยชน์ด้านการค้าไม่ว่ากรณีใดๆ ทั้งสิ้น อีกทั้งห้ามมิให้ดัดแปลงเนื้อหา และต้องอ้างอิงถึงเจ้าของเอกสารทุกครั้งที่มีการนำไปใช้

ภาพที่ 2.34 (ก) นี้ แสดงให้เห็นว่าตารางสี่เหลี่ยมที่ใช้ในวิธีการผลต่างสลับเนื่องไม่สามารถจำลองรูปร่างลักษณะดั้งเดิมที่แท้จริงของแผ่นอะลูมิเนียมดังกล่าวได้อย่างเที่ยงตรงหากใช้ขนาดตารางสี่เหลี่ยมให้มีขนาดเล็กลง ซึ่งหมายถึง จะต้องเพิ่มจำนวนตารางสี่เหลี่ยมให้มากขึ้นก็จะสามารถจำลองรูปร่างลักษณะดั้งเดิมที่แท้จริงได้ใกล้เคียงมากยิ่งขึ้น แต่ในขณะเดียวกันจำนวนจุดต่อที่เพิ่มมากขึ้นจะทำให้จำนวนสมการผลต่างสลับเนื่องมากขึ้นด้วย และกระบวนการในการแก้ปัญหาที่มีความจำเป็นที่ต้องการใช้หน่วยความจำบนเครื่องคอมพิวเตอร์เพิ่มขึ้น รวมไปถึงถึงเวลาที่ใช้ในการคำนวณจะสูงมากขึ้นตามไปด้วย

สาเหตุของความยากลำบากดังกล่าว มีส่วนก่อให้เกิดวิธีการหาผลเฉลยโดยประมาณวิธีใหม่ที่เรียกว่า วิธีการไฟไนต์เอลิเมนต์ (finite element method) ที่นิยมเรียกด้วยคำย่อกันว่า FEM ซึ่งวิธีการนี้สามารถนำมาใช้กับปัญหาที่มีรูปร่างลักษณะซับซ้อนเช่นใดก็ได้ โดยสามารถจำลองรูปร่างลักษณะดั้งเดิมที่แท้จริงได้ใกล้เคียงเที่ยงตรงกว่า หลักการของวิธีการนี้ในขั้นต้นก็คล้ายกับวิธีการผลต่างสลับเนื่อง กล่าวคือ เริ่มจากการแบ่งรูปร่างของปัญหาออกเป็นเนื้อที่หลายๆ ชิ้นที่เรียกว่าเอลิเมนต์ เช่น ในตัวอย่างของแผ่นอะลูมิเนียมเดิมนี้สามารถแบ่งออกเป็นเอลิเมนต์ต่างๆ กัน โดยเอลิเมนต์ต่างๆ นี้ อาจอยู่ในรูปลักษณะของสามเหลี่ยมและสี่เหลี่ยมด้านไม่เท่าก็ได้ ดังเช่น รูปที่ 2.34 (ข)

ผลประโยชน์สิ่งแรกที่ได้เห็นได้ชัดเจนจากรูปที่ 2.34 เมื่อเปรียบเทียบกับวิธีการผลต่างสลับเนื่อง ก็คือ วิธีการไฟไนต์เอลิเมนต์ประกอบด้วยเอลิเมนต์ขนาดต่าง ๆ กันที่สามารถจำลองรูปร่างลักษณะดั้งเดิมของแผ่นอะลูมิเนียมได้เป็นอย่างดี ซึ่งหมายถึงปัญหานี้จะถูกแก้เพื่อหาผลเฉลยโดยประมาณจากแบบจำลองทางคณิตศาสตร์ (Mathematical model) ที่มีรูปร่างลักษณะใกล้เคียงกับของจริงดั้งเดิมมากที่สุด ดังนั้นค่าผลเฉลยโดยประมาณที่คำนวณออกมาได้จะมีความแม่นยำมากขึ้นตามไปด้วย

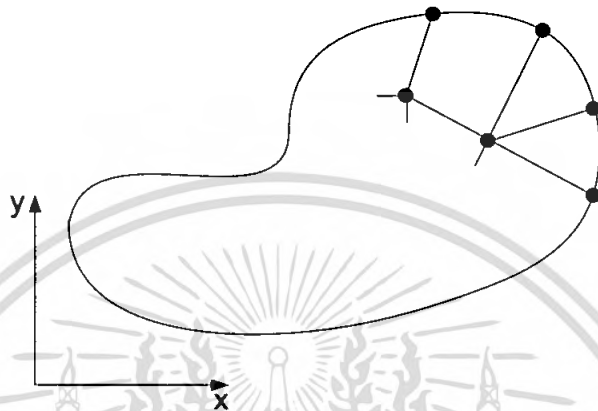
หลักการของวิธีไฟไนต์เอลิเมนต์จะเริ่มต้นจากการพิจารณาเอลิเมนต์ที่ละเอลิเมนต์ โดยจะทำการสร้างสมการสำหรับแต่ละเอลิเมนต์ที่ตั้งอยู่บนรากฐานที่ว่า สมการที่สร้างขึ้นมานั้นจำเป็นต้องมีความสอดคล้องกับสมการเชิงอนุพันธ์ของปัญหาที่ทำอยู่นั้น จากนั้นจึงนำสมการของแต่ละเอลิเมนต์ที่สร้างขึ้นได้มาประกอบกันเข้า ก่อให้เกิดระบบสมการชุดใหญ่ ซึ่งในความหมายทางกายภาพก็คล้ายกับการนำทุกเอลิเมนต์มาประกอบรวมเข้าด้วยกันจะก่อให้เกิดเป็นรูปร่าง และลักษณะทั้งหมดของปัญหาที่แท้จริง จากนั้นจึงทำการกำหนดเงื่อนไขขอบเขตที่ไหลลงไปในระบบสมการชุดใหญ่นี้ แล้วจึงทำการแก้สมการดังกล่าว ซึ่งจะก่อให้เกิดผลเฉลยโดยประมาณที่ต้องการ ณ ตำแหน่งต่าง ๆ ของปัญหานั้น

ขั้นตอนทั่วไปของวิธีการไฟไนต์เอลิเมนต์

วิธีการไฟไนต์เอลิเมนต์ประกอบด้วยขั้นตอนใหญ่ๆ ทั้งหมด 6 ขั้นตอน ดังต่อไปนี้

ขั้นตอนที่ 1

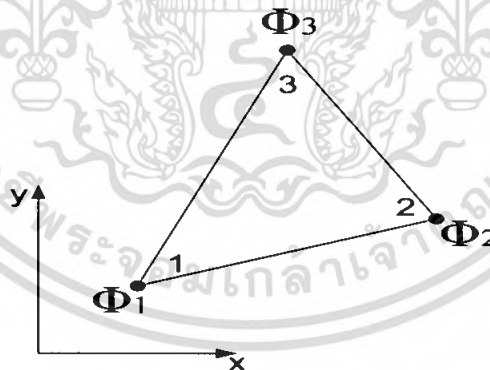
การแบ่งขอบเขตรูปร่างลักษณะของปัญหาที่ต้องการหาผลลัพธ์นั้น จะแบ่งออกเป็นเอลิเมนต์ย่อยๆ ดังรูปที่ 2.35 ขอบเขตดังกล่าวอาจเป็นขอบเขตของปัญหาชนิดต่าง ๆ กัน เช่น ปัญหาการกระจายตัวของสนามไฟฟ้า เป็นต้น



ภาพที่ 2.35 ตัวอย่างการแบ่งขอบเขตรูปร่างเป็นเอลิเมนต์ย่อย

ขั้นตอนที่ 2

การเลือกฟังก์ชันประมาณภายในเอลิเมนต์ (element interpolation functions) เช่น เอลิเมนต์สามเหลี่ยม จะประกอบด้วย 3 จุดต่อที่มีหมายเลข 1, 2 และ 3 ดังแสดงในรูปที่ 2.36



ภาพที่ 2.36 จุดต่อของเอลิเมนต์ย่อย

โดยที่จุดต่อนี้จะเป็นตำแหน่งของตัวไม่รู้ค่า (Nodal unknowns) ซึ่งก็คือ ϕ_1 , ϕ_2 และ ϕ_3 ตัวไม่รู้ค่าที่จุดต่อเหล่านี้ อาจเป็นค่าความเข้มสนามไฟฟ้า หากเราพิจารณาถึงปัญหาการกระจายตัวของสนามไฟฟ้า ลักษณะการกระจายตัวของตัวไม่รู้ค่าบนเอลิเมนต์นี้ สามารถเขียนให้อยู่ในรูปของสมการฟังก์ชันการประมาณภายในและตัวไม่รู้ค่าที่จุดต่อได้ดังสมการ (2.12)

เอกสารนี้เป็นเอกสารที่สงวนไว้สำหรับการใช้งานเพื่อการศึกษาเท่านั้น ไม่อนุญาตให้นำไปใช้ประโยชน์ด้านการค้า ไม่ว่าจะกรณีใดๆ ทั้งสิ้น อีกทั้งห้ามมิให้ดัดแปลงเนื้อหา และต้องอ้างอิงถึงเจ้าของเอกสารทุกครั้งที่มีการนำไปใช้

$$\phi(x, y) = N_1(x, y)\phi_1 + N_2(x, y)\phi_2 + N_3(x, y)\phi_3 \quad (2.12)$$

เมื่อ $N_i(x, y), i=1, 2, 3$ คือ ฟังก์ชันประมาณภายในเอลิเมนต์

สมการ (2.23) สามารถเขียนให้อยู่ในรูปแบบของเมตริกซ์ได้ดังนี้

$$\phi(x, y) = \begin{bmatrix} N_1 & N_2 & N_3 \end{bmatrix} \begin{bmatrix} \phi_1 \\ \phi_2 \\ \phi_3 \end{bmatrix} = \underset{(1 \times 3)}{[N]} \underset{(3 \times 1)}{[\phi]} \quad (2.13)$$

เมื่อ $[N]$ คือ เมตริกซ์ของฟังก์ชันการประมาณภายในเอลิเมนต์
 $[\phi]$ คือ เมตริกซ์ที่ประกอบด้วยตัวไม่รู้ค่าที่จุดต่อของเอลิเมนต์

ขั้นตอนที่ 3

การสร้างสมการของเอลิเมนต์ ดังตัวอย่างเช่นสมการของเอลิเมนต์สามเหลี่ยมแบบ ตัวอย่างดังแสดงในรูปที่ 2.38 จะอยู่ในรูปแบบดังนี้

$$\begin{bmatrix} k_{11} & k_{12} & k_{13} \\ k_{21} & k_{22} & k_{23} \\ k_{31} & k_{32} & k_{33} \end{bmatrix}_e \begin{bmatrix} \phi_1 \\ \phi_2 \\ \phi_3 \end{bmatrix}_e = \begin{bmatrix} F_1 \\ F_2 \\ F_3 \end{bmatrix}_e$$

ซึ่งเขียนย่อได้เป็น

$$[k]_e [\phi]_e = [F]_e \quad (2.14)$$

ขั้นตอนที่ 3 นี้ ถือว่าเป็นหัวใจสำคัญของวิธีการไฟไนต์เอลิเมนต์ การสร้างสมการของเอลิเมนต์ซึ่งขึ้นอยู่กับรูปแบบของสมการ (2.15) สามารถทำได้โดย

1. วิธีการโดยตรง (direct approach)
2. วิธีการแปรผัน (variational approach)
3. วิธีการถ่วงน้ำหนักเศษตกค้าง (method of weighted residuals)

ขั้นตอนที่ 4

การนำสมการของแต่ละเอลิเมนต์ที่ได้มาประกอบกัน ก่อให้เกิดระบบของสมการพร้อมกันขึ้น (system of simultaneous equations) ในรูปแบบดังต่อไปนี้

เอกสารนี้เป็นเอกสารที่สงวนไว้สำหรับการใช้งานเพื่อการศึกษาเท่านั้น ไม่อนุญาตให้นำไปใช้ประโยชน์ด้านการค้าไม่ว่ากรณีใดๆ ทั้งสิ้น อีกทั้งห้ามมิให้ตัดแปลงเนื้อหา และต้องอ้างอิงถึงเจ้าของเอกสารทุกครั้งที่มีการนำไปใช้

$$\sum (\text{element equation}) \Rightarrow [k]_{\text{sys}} [\phi]_{\text{sys}} = [F]_{\text{sys}} \quad (2.15)$$

ขั้นตอนที่ 5

ทำการประยุกต์เงื่อนไขขอบเขต (boundary condition) ลงในสมการ (2.25) แล้วจึงแก้สมการนั้นเพื่อหา $[\phi]_{\text{sys}}$ อันประกอบด้วยตัวไม่รู้ค่าที่จุดต่อ ซึ่งอาจเป็นค่าความเข้มสนามไฟฟ้า หากเราพิจารณาถึงปัญหาการกระจายตัวของสนามไฟฟ้า เป็นต้น

ขั้นตอนที่ 6

เมื่อคำนวณค่าต่าง ๆ ที่จุดต่อออกมาได้แล้ว ก็สามารถทำการหาค่าอื่น ๆ ที่ต้องการทราบต่อไปได้ เช่น เมื่อรู้ค่าความเข้มสนามไฟฟ้า ณ ตำแหน่งต่าง ๆ ของโครงสร้างเราสามารถนำไปใช้ในลักษณะการกระจายตัวของสนามไฟฟ้าได้



เอกสารนี้เป็นเอกสารที่สงวนไว้สำหรับการใช้งานเพื่อการศึกษาเท่านั้น ไม่อนุญาตให้นำไปใช้ประโยชน์ด้านการค้า ไม่ว่าจะกรณีใดๆ ทั้งสิ้น อีกทั้งห้ามมิให้ดัดแปลงเนื้อหา และต้องอ้างอิงถึงเจ้าของเอกสารทุกครั้งที่มีการนำไปใช้

บทที่ 3

การทดสอบคุณสมบัติทางไฟฟ้าของครอบเอาต์พิวส์และกับดักฟ้าผ่า

3.1 การทดสอบคุณสมบัติทางไฟฟ้าของครอบเอาต์พิวส์

การทดสอบครอบเอาต์พิวส์ในโรงงานนี้เป็นการทดสอบเพื่อศึกษาคุณสมบัติทางไฟฟ้าของ ครอบเอาต์พิวส์ใน ระบบ 22 kV ที่สภาวะปกติผิวและครีบนวนแห้งสะอาด ครอบเอาต์พิวส์ที่ใช้ในการศึกษามีพิกัดแรงดัน 27 kV กระแสต่อเนื่อง 100 A ดังภาพที่ 3.1 และ ตารางที่ 3.1 การทดสอบในสภาวะปกติผิวแห้งสะอาดทดสอบตามมาตรฐาน IEEE std 4 :1995, [6] IEEE C37.41-2000, [7] และ ANSI C37.42 [3]



ภาพที่ 3.1 ครอบเอาต์พิวส์ที่ใช้ในการทดสอบระบบ 22 kV พิกัด 27 kV 100 A

ตารางที่ 3.1 คุณสมบัติของครอบเอาต์พิวส์ที่นำมาทดสอบ

RATED VOLTAGE (kV)	RATED CURRENT (A)	BREAKING CURRENT (kA)	IMPULSE WITHSTAND VOLTAGE LINE TO GROUND BIL (kV)	WET WITHSTAND VOLTAGE (kV)	CREEPAGE DISTANCE MIN (mm)	WEIGHT (kg)	DIMENSION L X H (cm)
27	100	8	125	50	320	8.5	500X300

เอกสารนี้เป็นเอกสารที่สงวนไว้สำหรับการใช้งานเพื่อการศึกษาเท่านั้น ไม่อนุญาตให้นำไปใช้ประโยชน์ด้านการค้า ไม่ว่าจะกรณีใดๆ ทั้งสิ้น อีกทั้งห้ามมิให้ดัดแปลงเนื้อหา และต้องอ้างอิงถึงเจ้าของเอกสารทุกครั้งที่มีการนำไปใช้

การทดสอบคุณสมบัติทางไฟฟ้าของทรอบเอาท์พิวส์สภาวะปกติผิวแห้งสะอาด เป็นการทดสอบความคงทนของฉนวน โดยหัวข้อการทดสอบคือ การทดสอบความทนอยู่ได้ต่อแรงดันที่ความถี่กำลังต่อเนื่องและการทดสอบความทนอยู่ได้ต่อแรงดันอิมพัลส์ แรงดันที่ใช้ในการทดสอบดูจากพิกัดแรงดันใช้งานของตัวทรอบเอาท์พิวส์ แสดงดังตารางที่ 3.2

ตารางที่ 3.2 Minimum dielectric withstand test voltages

Rated voltage	Terminal-to-ground			Terminal-to-Terminal	
	AC dry 1 min	AC wet 10 s	BIL	AC dry 1 min	BIL
15	35	30	95	35	95
27	42	36	125	42	125
38	70	60	150	70	150

Voltage in kV_{rms} or kV_{peak} as appropriate.

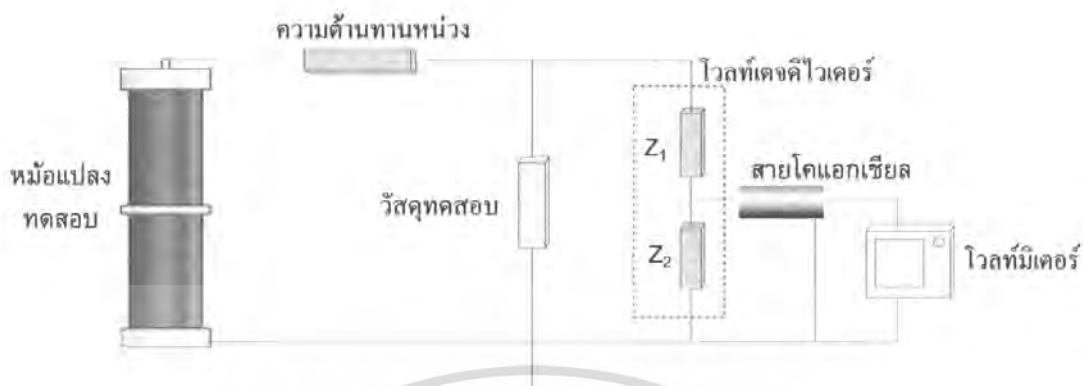
3.1.1 การทดสอบความทนอยู่ได้ต่อแรงดันที่ความถี่กำลังต่อเนื่อง

อุปกรณ์การทดสอบ

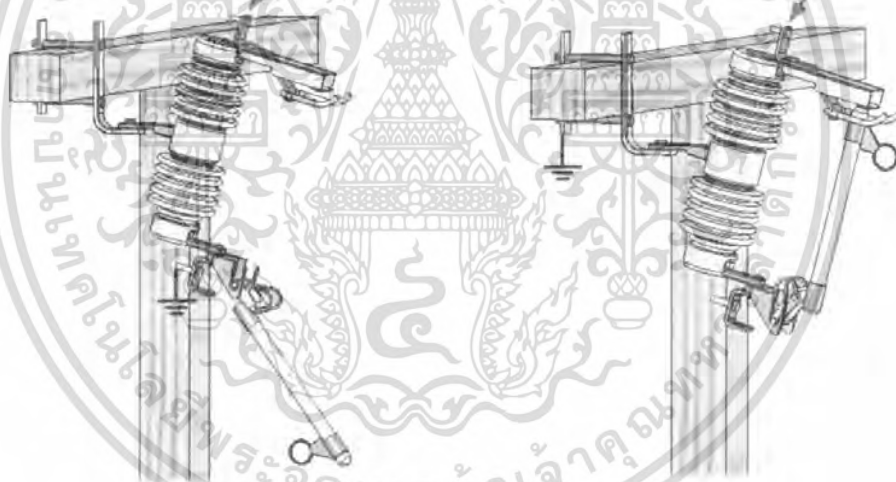
- 1) เครื่องกำเนิดไฟฟ้ากระแสสลับ : 100 kV, 50 mA
 - พิกัดกำลัง : 5 kVA
 - อินพุท แรงดัน : 235 V
 - กระแส : 22 A
 - เอาท์พุท แรงดัน : 100 kV 1 PE
 - กระแส : 0.05 A
 - ความถี่ : 50 Hz
- 2) ความต้านทานน้ำบริสุทธิ์
 - พิกัด : 0.49 $M\Omega$
- 3) ทรอบเอาท์พิวส์
 - พิกัดแรงดัน : 22 kV
 - พิกัดกระแสต่อเนื่อง : 100 A
- 4) โวลท์มิเตอร์, สายโคแอกเซียล : 75 Ω

เอกสารนี้เป็นเอกสารที่สงวนไว้สำหรับการใช้งานเพื่อการศึกษาเท่านั้น ไม่อนุญาตให้นำไปใช้ประโยชน์ด้านการค้า ไม่ว่ากรณีใดๆ ทั้งสิ้น อีกทั้งห้ามมิให้ตัดแปลงเนื้อหา และต้องอ้างอิงถึงเจ้าของเอกสารทุกครั้งที่มีการนำไปใช้

วงจรการทดสอบ



(ก) วงจรการทดสอบ



(ข) ลักษณะการบ่อนแรงดัน
เทอร์มินอล - เทอร์มินอล

(ค) ลักษณะการบ่อนแรงดัน
เทอร์มินอล - กราวด์

ภาพที่ 3.2 วงจรทดสอบความทนอยู่ได้ต่อแรงดันที่ความถี่กำลังต่อเนื่อง

ขั้นตอนการทดสอบ

1) ต่อยังรูปที่ 3.2 และทำตามข้อกำหนดในมาตรฐาน ANSI C37.42-1996 โดยใช้ดรอปปะเก๊าท์ฟิวส์ที่ผ่านการทำความสะอาดครีบบของฉนวน ดรอปปะเก๊าท์ฟิวส์ต้องไม่ผ่านการใช้งานไม่มีร่องรอยแตกชำรุดหรือทดสอบมาก่อน ส่วนประกอบของดรอปปะเก๊าท์ฟิวส์ต้องมาจากโรงงานเดียวกัน อุณหภูมิระหว่างการทดสอบอยู่ระหว่าง -30°C ถึง 40°C ต้องมีการบันทึกค่าเอกสารถือเป็นเอกสารหลักฐานสำหรับการใช้งานเพื่อการศึกษาเท่านั้น เมื่อนุญเตเห็นาเบเซบระเอชชดาดการค้ำไม่ว่ากรณีใดๆ ทั้งสิ้น อีกทั้งห้ามมิให้ตัดแปลงเนื้อหา และต้องอ้างอิงถึงเจ้าของเอกสารทุกครั้งที่มีการนำไปใช้

ความดัน ความชื้น อุณหภูมิ แรงดัน ที่ใช้ในการทดสอบเป็นแรงดันรูปคลื่นไซน์ ความถี่ 50 Hz อัตราส่วน V_{peak}/V_{rms} ต้องมีค่าเท่ากับ $\sqrt{2} \pm 5\%$ กระแส short circuit ของหม้อแปลงทดสอบต้องมีค่าประมาณ 0.1 ถึง 0.5 A การติดตั้งครอบเอาต์พิวส์จะติดตั้งบนไม้คอนตามการใช้งานปกติและสูงจากพื้นมากกว่า 1.5 m ไม้คอนที่ใช้จะมีขนาด 9×11 cm สายตัวนำเป็นสายเปลือยและมีขนาดเล็กที่สุดที่สามารถใส่ขั้วต่อนล่าง หรืออาจเป็นสายแบบอื่นที่ไม่มีผลในการทดสอบ สายตัวนำควรรออยู่ในแนวนอนขนานกับไม้คอนอย่างน้อย 30 cm จากขั้วต่อนล่างและล่าง ขั้วต่อนล่างอาจโค้งงอได้ถ้าจำเป็น ตำแหน่งในการทดสอบจะทดสอบทั้งในกรณีเทอร์มินอล-เทอร์มินอล และในกรณีเทอร์มินอล-กราวด์ โดยในการทดสอบจะติดตั้งอุปกรณ์ต่างๆ ให้ใกล้เคียงกับการใช้งานจริง

2) บันทึกสภาพแวดล้อมภายในห้องทดสอบดังนี้

ความดันบรรยากาศ	=	763	มม.ปรอท
อุณหภูมิแวดล้อม	=	32	เซลเซียส
ความชื้นสัมพัทธ์	=	60	%
ความชื้นสัมบูรณ์	=	20	กรัม/ลูกบาศก์เมตร

3) บันทึกรูปคลื่นสัญญาณแรงดันจากหม้อแปลงทดสอบ

4) แก่ค่าเนื่องจาก อุณหภูมิ ความดันบรรยากาศและความชื้น เพื่อพิจารณาปรับแรงดันที่สภาวะมาตรฐานเป็นแรงดันที่สภาวะห้องทดลองตามสมการที่ 2, 3, 4, 5 ในภาคผนวก ก

ระบบ 22 kV พิกัด 27 kV 100 A

$$g = \frac{U_b}{500L\delta} = \frac{46.2}{500 \times 0.22 \times 0.964 \times 1.117} = 0.390$$

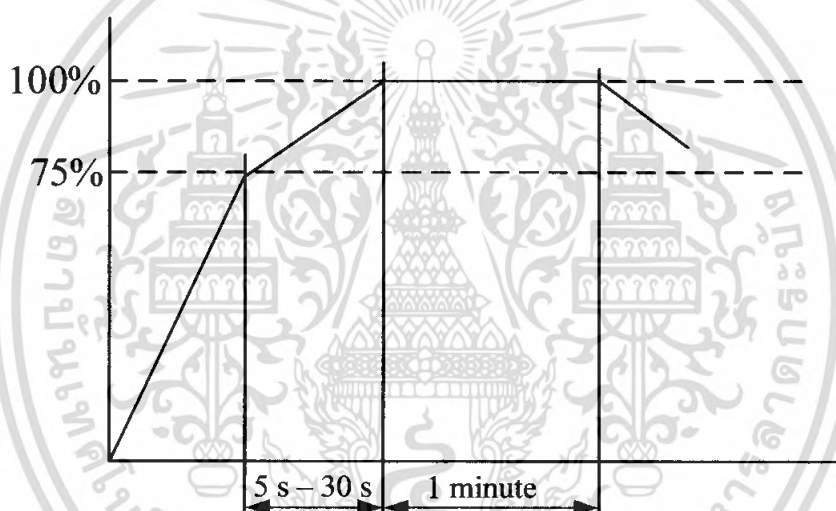
จากกราฟรูปที่ ก.2 $m = w = 0.12$

$$K_1 = \delta^m = \left[\frac{b(273 + t_0)}{b_0(273 + t)} \right]^m = \left[\frac{763 \times (273 + 20)}{760 \times (273 + 32)} \right]^{0.12} = 0.964^{0.12} = 0.996$$

เอกสารนี้เป็นเอกสารที่สงวนไว้สำหรับการใช้งานเพื่อการศึกษาเท่านั้น ไม่อนุญาตให้นำไปใช้ประโยชน์ด้านการค้า ไม่ว่าจะกรณีใดๆ ทั้งสิ้น อีกทั้งห้ามมิให้ตัดแปลงเนื้อหา และต้องอ้างอิงถึงเจ้าของเอกสารทุกครั้งที่มีการนำไปใช้

$$\begin{aligned}
 K_2 &= k^w \\
 &= 1.117^{0.12} = 1.013 \\
 U &= U_n \times K_1 \times K_2 \\
 &= 42 \times 0.996 \times 1.013 = 42.37 \text{ kV}
 \end{aligned}$$

5) ทำการทดสอบในกรณีเทอร์มินอล-เทอร์มินอล และในกรณีเทอร์มินอล-กราวด์ โดยป้อนแรงดันทดสอบกระแสสลับความถี่ 50 เฮิร์ตซ์ ขนาด 42.37 kV สำหรับระบบ 22 kV (ที่สภาวะห้องทดลอง) โดยการขึ้นแรงดันในการทดสอบจะต้องขึ้นแรงดันอย่างรวดเร็วจนถึงค่าแรงดันที่ 75% หลังจากนั้นค่อยๆ ขึ้นถึงค่าแรงดันถึงค่าแรงดัน 100% ภายใน 5 ถึง 30 วินาที และปล่อยค้างไว้ 1 นาทีดังแผนภาพรูปที่ 3.3



ภาพที่ 3.3 แผนภาพที่ใช้ในการทดสอบความคงทนต่อแรงดันวาบไฟตามผิวในสภาวะปกติ

6) บันทึกผลการทดสอบ

ผลการทดสอบ

ตารางที่ 3.3 ผลการทดสอบความคงทนต่อแรงดันวาบไฟตามผิวแห่งสะอาดกระแสสลับ 50 Hz ของครอบเอาต์พิวส์ที่ระดับแรงดัน 42.37 kV (ที่สภาวะห้องทดลอง)

ครอบเอาต์พิวส์	ผลการทดสอบ	
	กรณีเทอร์มินอล-เทอร์มินอล	กรณีเทอร์มินอล-กราวด์
ตัวอย่างที่ 1	ไม่เกิดวาบไฟตามผิว	ไม่เกิดวาบไฟตามผิว
ตัวอย่างที่ 2	ไม่เกิดวาบไฟตามผิว	ไม่เกิดวาบไฟตามผิว

เอกสารนี้เป็นเอกสารของงานวิจัยสำหรับการใช้ในงานวิจัยเท่านั้น ไม่อนุญาตให้นำไปเผยแพร่โดยไม่ได้รับอนุญาต
ไม่ว่ากรณีใดๆ ทั้งสิ้น อีกทั้งห้ามมิให้ตัดแปลงเนื้อหา และต้องอ้างอิงถึงเจ้าของเอกสารทุกครั้งที่มีการนำไปใช้

การวิเคราะห์และการประเมินผลการทดสอบ

การทดสอบความทนอยู่ได้ต่อแรงดันที่ความถี่กำลังต่อเนื่องของทรอบเอาต์พิวส์ ระบบ 22 kV พิกัดแรงดัน 27 kV กระแสต่อเนื่อง 100 A ปรากฏว่าเมื่อจ่ายแรงดัน 42.37 kV ให้กับ ทรอบเอาต์พิวส์เป็นเวลา 1 นาที ทั้งการต่อทรอบเอาต์พิวส์ กรณีเทอร์มินอล-เทอร์มินอล และกรณีเทอร์มินอล-กราวด์ ไม่เกิดวาทไฟตามผิวทั้ง 2 ตัวอย่าง

ดังนั้นจึงกล่าวได้ว่าทรอบเอาต์พิวส์ในชุดนี้ผ่านมาตรฐาน ของ ANSI C 37.42 ว่าด้วยการทดสอบความคงทนต่อแรงดันวาทไฟตามผิวแห่งสะอาดกระแสลับ 50 Hz

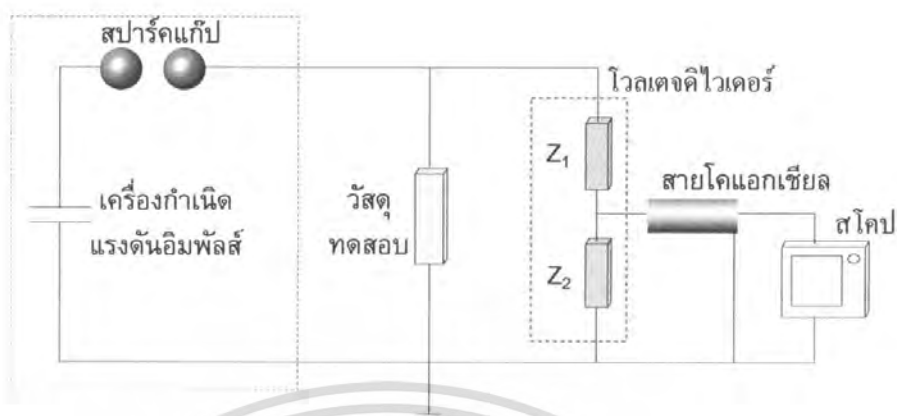
3.1.2 การทดสอบความทนอยู่ได้ต่อแรงดันอิมพัลส์

อุปกรณ์การทดสอบ

- 1) เครื่องกำเนิดแรงดันอิมพัลส์
 - พิกัด 200 kV/2 stage, 5 kJ
 - แรงดันที่ใช้ในการชาร์จ : 200 kV (100 kV/stage)
 - พิกัดแรงดันอิมพัลส์ฟ้าผ่าสูงสุด : 180 kV
 - พิกัดแรงดันอิมพัลส์สวิตชิง : 155 kV
 - พลังงานจ่ายสูงสุด : 5 kJ
- 2) คาปาซิเตอร์โวลต์เดจดีไวเดอร์
 - คาปาซิแตนซ์ : 4200 pF
 - พิกัดแรงดันอิมพัลส์ฟ้าผ่า : 200 kV
 - พิกัดแรงดันที่ความถี่ 50 Hz : 50 kV
 - อัตราส่วน(ratio) : 230.5:1
- 3) ทรอบเอาต์พิวส์
 - พิกัดแรงดัน : 22 kV
 - พิกัดกระแสต่อเนื่อง : 100 A
- 4) โวลท์มิเตอร์, สายโคแอกเซียล : 75 Ω

เอกสารนี้เป็นเอกสารที่สงวนไว้สำหรับการใช้งานเพื่อการศึกษาเท่านั้น ไม่อนุญาตให้นำไปใช้ประโยชน์ด้านการค้า ไม่ว่ากรณีใดๆ ทั้งสิ้น อีกทั้งห้ามมิให้ตัดแปลงเนื้อหา และต้องอ้างอิงถึงเจ้าของเอกสารทุกครั้งที่มีการนำไปใช้

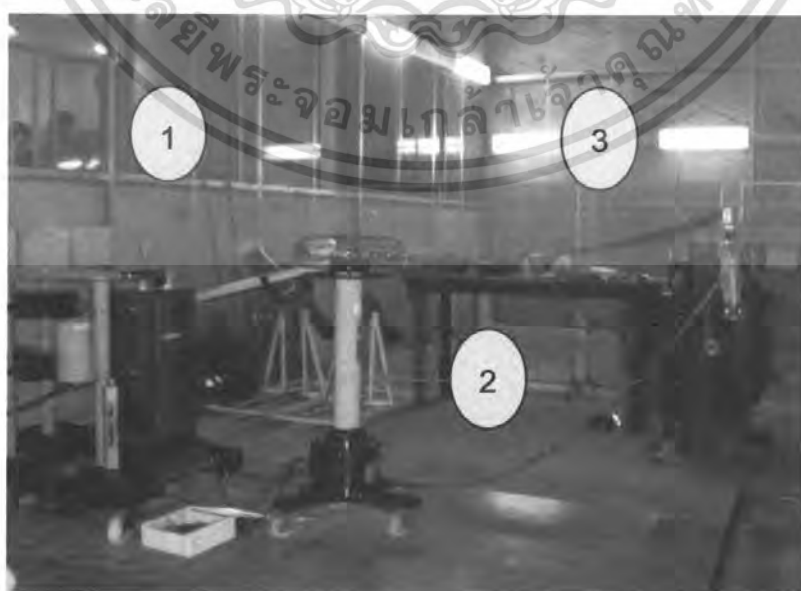
วงจรการทดสอบ



ภาพที่ 3.4 วงจรทดสอบความทนอยู่ได้ต่อแรงดันอิมพัลส์

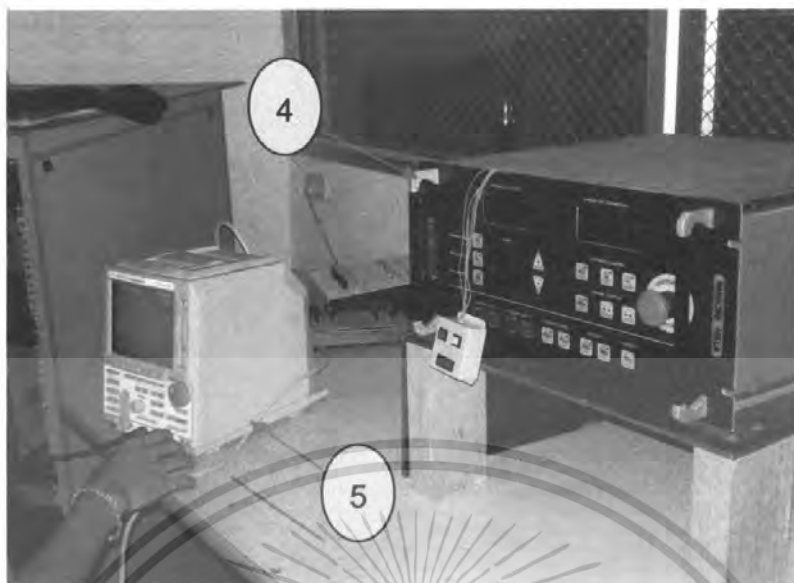
ขั้นตอนการทดสอบ

1) ต่อดังรูปที่ 3.5 และทำตามข้อกำหนดในมาตรฐาน ANSI C37.42-1996 การติดตั้งอุปกรณ์การทดสอบเหมือนกับการทดสอบความทนอยู่ได้ต่อแรงดันที่ความถี่กำลังต่อเนื่อง แต่แรงดันที่ใช้ในการทดสอบเป็นแรงดันอิมพัลส์รูปคลื่นเต็ม $1.2/50 \mu s$ ช่วงเวลาหน้าคลื่น $\leq 1.2 \mu s$ และช่วงเวลาหางคลื่น $\geq 50 \mu s$ ตำแหน่งในการทดสอบจะทดสอบทั้งในกรณีเทอร์มินอล-เทอร์มินอล และในกรณีเทอร์มินอล-กราวด์ ในการทดสอบจะติดตั้งอุปกรณ์ต่างๆ ให้ใกล้เคียงกับการใช้งานจริง



(ก) วงจรการทดสอบ

เอกสารนี้เป็นเอกสารที่สงวนไว้สำหรับการใช้งานเพื่อการศึกษาเท่านั้น ไม่อนุญาตให้นำไปใช้ประโยชน์ด้านการค้า ไม่ว่าจะกรณีใดๆ ทั้งสิ้น อีกทั้งห้ามมิให้ดัดแปลงเนื้อหา และต้องอ้างอิงถึงเจ้าของเอกสารทุกครั้งที่มีการนำไปใช้



(ข) ชุดควบคุมเครื่องกำเนิดแรงดันอิมพัลส์

- 1 คือ เครื่องกำเนิดแรงดันอิมพัลส์
- 2 คือ โวลต์จติไวเตอร์
- 3 คือ วัสดุทดสอบ (ดรอพเอ้าท์ไฟลส์)
- 4 คือ ชุดควบคุมเครื่องกำเนิดแรงดันอิมพัลส์
- 5 คือ ออสซิลโลสโคป

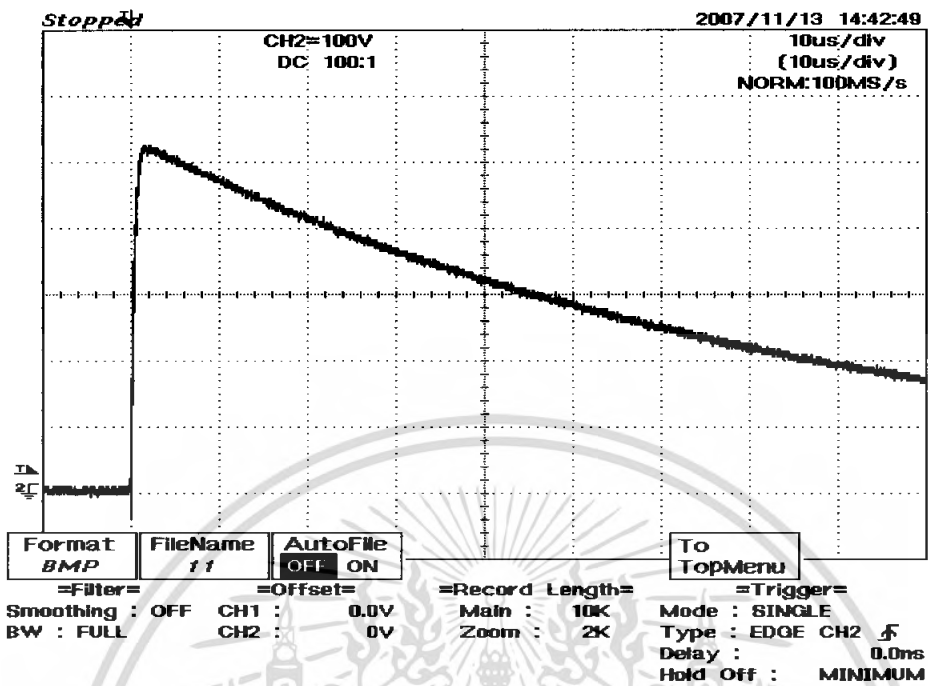
ภาพที่ 3.5 วงจรทดสอบความทนอยู่ได้ต่อแรงดันอิมพัลส์ของดรอพเอ้าท์ไฟลส์

2) บันทึกสภาพแวดล้อมภายในห้องทดสอบดังนี้

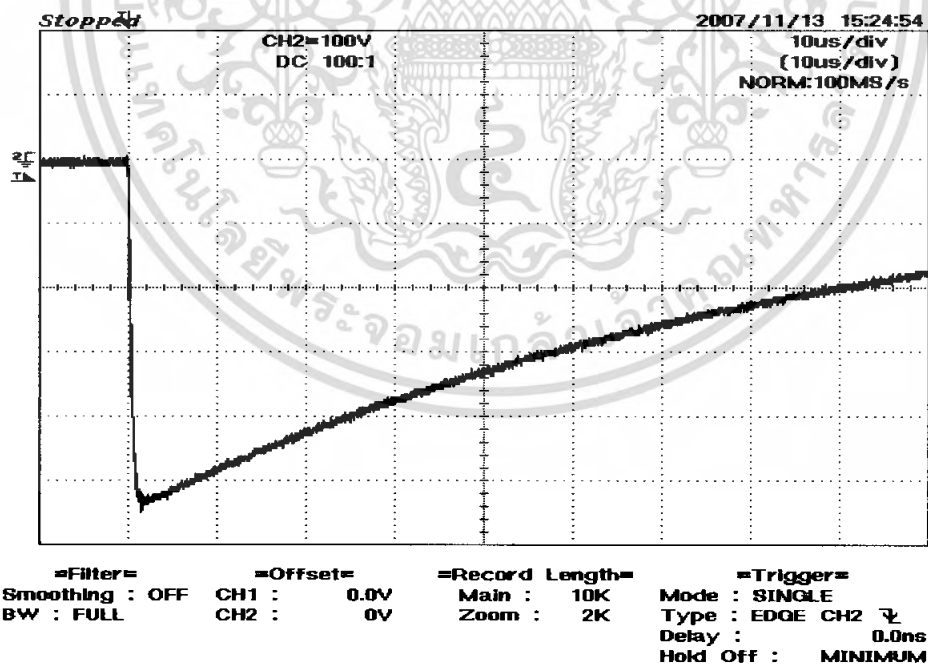
ความดันบรรยากาศ	=	763	มม.ปรอท
อุณหภูมิแวดล้อม	=	32	เซลเซียส
ความชื้นสัมพัทธ์	=	65	%
ความชื้นสัมบูรณ์	=	20	กรัม/ลูกบาศก์เมตร

เอกสารนี้เป็นเอกสารที่สงวนไว้สำหรับการใช้งานเพื่อการศึกษาเท่านั้น ไม่อนุญาตให้นำไปใช้ประโยชน์ด้านการค้า ไม่ว่ากรณีใดๆ ทั้งสิ้น อีกทั้งห้ามมิให้ตัดแปลงเนื้อหา และต้องอ้างอิงถึงเจ้าของเอกสารทุกครั้งที่มีการนำไปใช้

3) บันทึกรูปคลื่นสัญญาณแรงดันจากเครื่องกำเนิดแรงดันอิมพัลส์

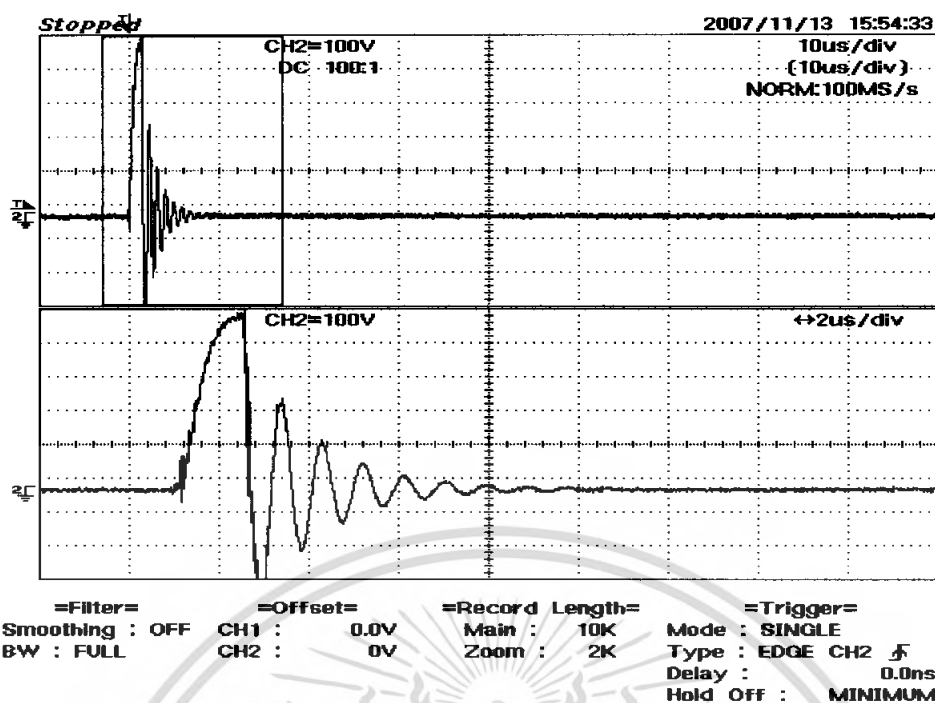


ภาพที่ 3.6 รูปคลื่นแรงดันอิมพัลส์ชั่วคราวที่ใช้ทดสอบที่ระดับแรงดัน 139.54 kV
 $T_1 = 1.10 \mu\text{s}$, $T_2 = 47.56 \mu\text{s}$

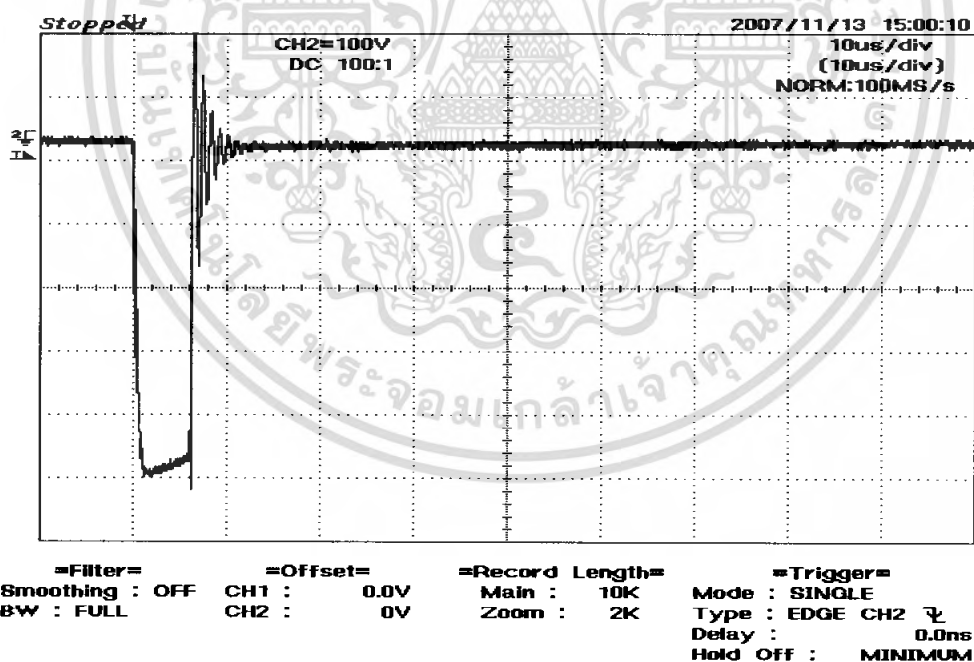


ภาพที่ 3.7 รูปคลื่นแรงดันอิมพัลส์ชั่วพลที่ใช้ทดสอบที่ระดับแรงดัน 140 kV
 $T_1 = 1.14 \mu\text{s}$, $T_2 = 46.35 \mu\text{s}$

เอกสารนี้เป็นเอกสารที่สงวนไว้สำหรับการใช้งานเพื่อการศึกษาเท่านั้น ไม่อนุญาตให้นำไปใช้ประโยชน์ด้านการค้า ไม่ว่าจะกรณีใดๆ ทั้งสิ้น อีกทั้งห้ามมิให้ตัดแปลงเนื้อหา และต้องอ้างอิงถึงเจ้าของเอกสารทุกครั้งที่มีการนำไปใช้



ภาพที่ 3.8 รูปคลื่นแรงดันอิมพัลส์ชั่วคราวของตรอบเอาต์พิวส์ตัวอย่างที่ 2 ต่อแบบ
เทอร์มินอล -กราวน์ ระดับแรงดัน 139.54 kV ที่เกิดวาบไฟตามผิว



ภาพที่ 3.9 รูปคลื่นแรงดันอิมพัลส์ชั่วคราวของตรอบเอาต์พิวส์ตัวอย่างที่ 1 ต่อแบบ
เทอร์มินอล - เทอร์มินอล ระดับแรงดัน 139.547 kV ที่เกิดวาบไฟตามผิว

เอกสารนี้เป็นเอกสารที่สงวนไว้สำหรับการใช้งานเพื่อการศึกษาเท่านั้น ไม่อนุญาตให้นำไปใช้ประโยชน์ด้านการค้า
ไม่ว่ากรณีใดๆ ทั้งสิ้น อีกทั้งห้ามมิให้ตัดแปลงเนื้อหา และต้องอ้างอิงถึงเจ้าของเอกสารทุกครั้งที่มีการนำไปใช้

4) แก่ค่าเนื่องจาก อุณหภูมิ ความดันบรรยากาศและความชื้น เพื่อพิจารณาปรับแรงดันที่สภาวะมาตรฐานเป็นแรงดันที่สภาวะห้องทดลองตามสมการที่ 2, 3, 4, 5 ในภาคผนวก ก

ระบบ 22 kV พิกัด 27 kV 100 A

$$g = \frac{U_b}{500L\delta k}$$

$$= \frac{137.5}{500 \times 0.22 \times 0.964 \times 1.1}$$

$$= 1.178$$

จากกราฟรูปที่ ก.2 $m = w = 1$

$$K_1 = \delta^m = \left[\frac{b(273+t_0)}{b_0(273+t)} \right]^m$$

$$= \left[\frac{763 \times (273+20)}{760 \times (273+32)} \right]^1$$

$$= 0.964^1 = 0.964$$

$$K_2 = k^w$$

$$= 1.1^1 = 1.1$$

$$U = U_n \times K_1 \times K_2$$

$$= 125 \times 0.964 \times 1.1 = 132.55 \text{ kV}$$

5) ทำการทดสอบในกรณีเทอร์มินอล-เทอร์มินอล และในกรณีเทอร์มินอล-กราว์น โดยป้อนแรงดันอิมพัลส์ ขนาด 140 kV สำหรับระบบ 22 kV (ที่สภาวะห้องทดลอง) โดยป้อนแรงดันอิมพัลส์ทั้งชั่ววอกและชั่วลบ

เอกสารนี้เป็นเอกสารที่สงวนไว้สำหรับการใช้งานเพื่อการศึกษาเท่านั้น ไม่อนุญาตให้นำไปใช้ประโยชน์ด้านการค้าไม่ว่ากรณีใดๆ ทั้งสิ้น อีกทั้งห้ามมิให้ตัดแปลงเนื้อหา และต้องอ้างอิงถึงเจ้าของเอกสารทุกครั้งที่มีการนำไปใช้

6) บันทึกผลการทดสอบ

ผลการทดสอบ

ตารางที่ 3.4 ผลการทดสอบความทนอยู่ได้ต่อแรงดันอิมพัลส์ชั่วคราวที่ระดับแรงดัน 140 kV (ที่สภาวะห้องทดลอง) ของครอบเอาต์พิวส์ กรณีเทอร์มินอล-เทอร์มินอล

ครอบเอาต์พิวส์ พิกัด 27 kV 100 A	ผลการทดสอบ		
	ครั้งที่ 1	ครั้งที่ 2	ครั้งที่ 3
ตัวอย่างที่ 1	ไม่เกิดวาบไฟตามผิว	ไม่เกิดวาบไฟตามผิว	ไม่เกิดวาบไฟตามผิว
ตัวอย่างที่ 2	ไม่เกิดวาบไฟตามผิว	ไม่เกิดวาบไฟตามผิว	ไม่เกิดวาบไฟตามผิว

ตารางที่ 3.5 ผลการทดสอบความทนอยู่ได้ต่อแรงดันอิมพัลส์ชั่วคราวที่ระดับแรงดัน 140 kV (ที่สภาวะห้องทดลอง) ของครอบเอาต์พิวส์ กรณีเทอร์มินอล-กราวนด์

ครอบเอาต์พิวส์ พิกัด 27 kV 100 A	ผลการทดสอบ		
	ครั้งที่ 1	ครั้งที่ 2	ครั้งที่ 3
ตัวอย่างที่ 1	เกิดวาบไฟตามผิว	เกิดวาบไฟตามผิว	เกิดวาบไฟตามผิว
ตัวอย่างที่ 2	เกิดวาบไฟตามผิว	เกิดวาบไฟตามผิว	เกิดวาบไฟตามผิว

ตารางที่ 3.6 ผลการทดสอบความทนอยู่ได้ต่อแรงดันอิมพัลส์ชั่วขณะที่ระดับแรงดัน 140 kV (ที่สภาวะห้องทดลอง) ของครอบเอาต์พิวส์ กรณีเทอร์มินอล-เทอร์มินอล

ครอบเอาต์พิวส์ พิกัด 27 kV 100 A	ผลการทดสอบ		
	ครั้งที่ 1	ครั้งที่ 2	ครั้งที่ 3
ตัวอย่างที่ 1	เกิดวาบไฟตามผิว	เกิดวาบไฟตามผิว	เกิดวาบไฟตามผิว
ตัวอย่างที่ 2	ไม่เกิดวาบไฟตามผิว	ไม่เกิดวาบไฟตามผิว	ไม่เกิดวาบไฟตามผิว

ตารางที่ 3.7 ผลการทดสอบความทนอยู่ได้ต่อแรงดันอิมพัลส์ชั่วขณะที่ระดับแรงดัน 140 kV (ที่สภาวะห้องทดลอง) ของครอบเอาต์พิวส์ กรณีเทอร์มินอล-กราวนด์

ครอบเอาต์พิวส์ พิกัด 27 kV 100 A	ผลการทดสอบ		
	ครั้งที่ 1	ครั้งที่ 2	ครั้งที่ 3
ตัวอย่างที่ 1	ไม่ทำการทดสอบ	ไม่ทำการทดสอบ	ไม่ทำการทดสอบ
ตัวอย่างที่ 2	ไม่ทำการทดสอบ	ไม่ทำการทดสอบ	ไม่ทำการทดสอบ

เอกสารนี้เป็นเอกสารที่สงวนไว้สำหรับการใช้งานเพื่อการศึกษาเท่านั้น ไม่อนุญาตให้นำไปใช้ประโยชน์ด้านการค้า ไม่ว่าจะกรณีใดๆ ทั้งสิ้น อีกทั้งห้ามมิให้ตัดแปลงเนื้อหา และต้องอ้างอิงถึงเจ้าของเอกสารทุกครั้งที่มีการนำไปใช้

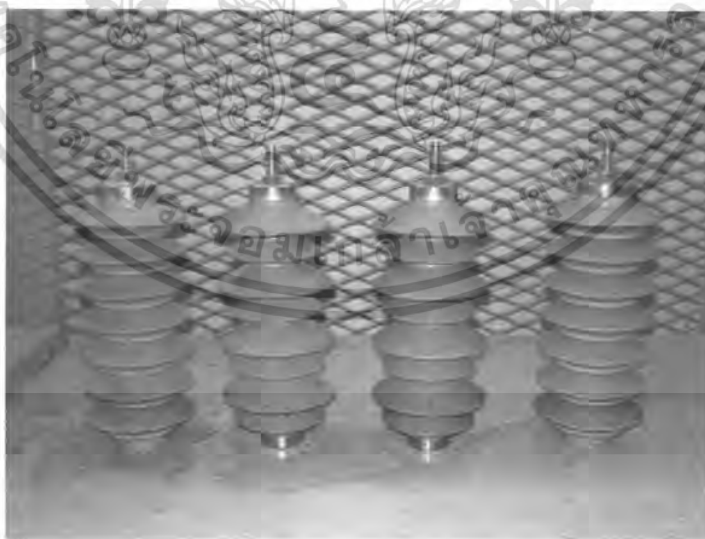
การวิเคราะห์และการประเมินผลการทดสอบ

ในการทดสอบความทนอยู่ได้ต่อแรงดันอิมพัลส์ของทรอปเอาร์ทไฟวส์ระบบ 22 kV พิกัด 27 kV 100 A ทั้งสองตัวอย่างปรากฏว่า การป้อนแรงดันทดสอบที่ 140 kV ชั่วบวก ต่อแบบเทอร์มินอล-เทอร์มินอล ไม่เกิดวาบไฟตามผิว ที่แรงดันขั้วลบตัวอย่างที่ 1 จะเกิดวาบไฟตามผิวที่แรงดัน 139.54 kV ตัวอย่างที่ 2 ไม่เกิดวาบไฟตามผิว เมื่อต่อแบบเทอร์มินอล-กราวนด์ ที่แรงดันชั่วบวก เกิดวาบไฟตามผิวทั้งสองตัว ที่แรงดัน 139.54 kV

ฉะนั้นจึงสรุปได้ว่าทรอปเอาร์ทไฟวส์ทั้งสองตัวอย่างไม่ผ่านการทดสอบตามมาตรฐาน IEEEstd4 :1995, IEEE C37.40-1993 IEEE C37.41-2000, IEEE C37.42-1996 และ ANSI C37.42 จึงได้ทำการออกแบบลักษณะของฉนวนขึ้นมาใหม่ตามมาตรฐาน IEC 815 ซึ่งมีรายละเอียดตามบทที่ 4

3.2 การทดสอบคุณสมบัติทางไฟฟ้าของกัณฑ์ดักฟ้าผ่า

การทดสอบกัณฑ์ดักฟ้าผ่าแบบไม่มีแกนนี้จะใช้กัณฑ์ดักฟ้าผ่าพิกัด 21 kV 5kA และพิกัด 24 kV 10 kA ทำการทดสอบตามมาตรฐาน IEEE 60099-4 [8] โดยมีหัวข้อการทดสอบที่สามารถใช้อุปกรณ์ทดสอบที่มีอยู่ของห้องปฏิบัติการไฟฟ้าแรงสูง สถาบันเทคโนโลยีพระจอมเกล้าเจ้าคุณทหารลาดกระบัง คือ การทดสอบการเกิดดีสชาร์จบางส่วน การทดสอบหาแรงดันเริ่มทำงานและการทดสอบหากระแสรั่วไหล



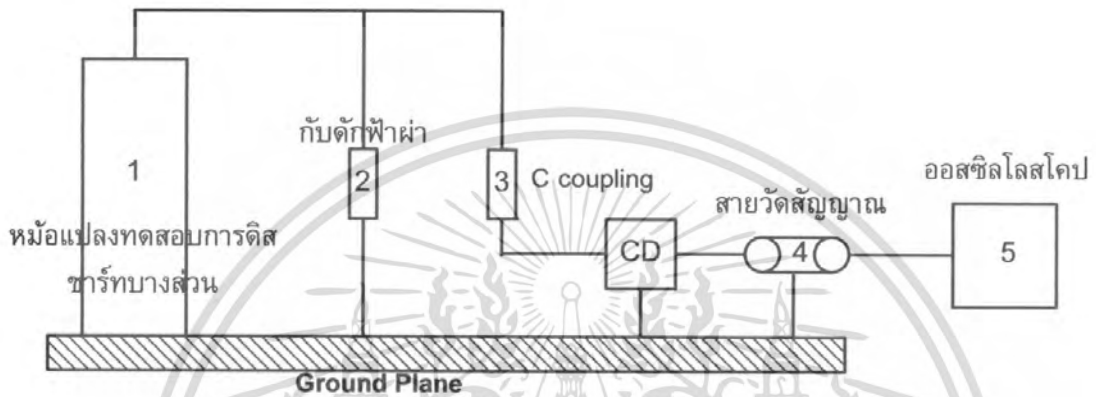
ภาพที่ 3.10 กัณฑ์ดักฟ้าผ่าที่ใช้ในการศึกษาและทำการทดสอบ
พิกัด 21 kV 5 kA และ พิกัด 24 kV 10 kA

เอกสารนี้เป็นเอกสารที่สงวนไว้สำหรับการใช้งานเพื่อการศึกษาเท่านั้น ไม่อนุญาตให้นำไปใช้ประโยชน์ด้านการค้า ไม่ว่าจะกรณีใดๆ ทั้งสิ้น อีกทั้งห้ามมิให้ตัดแปลงเนื้อหา และต้องอ้างอิงถึงเจ้าของเอกสารทุกครั้งที่มีการนำไปใช้

3.2.1 การทดสอบการดีสชาร์จบางส่วน (Internal partial discharge)

การทดสอบการดีสชาร์จบางส่วนจะเป็นการทดสอบเพื่อหาความผิดปกติภายในของกับดักฟ้าผ่าเพื่อเป็นการยืนยันว่าไม่มีความผิดปกติภายในกับดักฟ้าผ่า การทดสอบการดีสชาร์จบางส่วนจะกระทำต่อกับดักฟ้าผ่าชนิดไม่มีแกนเท่านั้น

วงจรการทดสอบ



ภาพที่ 3.11 วงจรทดสอบการดีสชาร์จบางส่วนของกับดักฟ้าผ่า ZnO

- 1 หม้อแปลงทดสอบพิกัด 40 kVA 460/75 kV 50/60 Hz
- 2 C coupling พิกัด 100 kV, 0.01 nF

เอกสารนี้เป็นเอกสารที่สงวนไว้สำหรับ **3 กับดักฟ้าผ่า** การศึกษาเท่านั้น ไม่อนุญาตให้นำไปใช้ประโยชน์ด้านการค้า ไม่ว่าจะกรณีใดๆ ทั้งสิ้น อีกทั้งห้ามมิให้ตัดแปลงเนื้อหา และต้องอ้างอิงถึงเจ้าของเอกสารทุกครั้งที่มีการนำไปใช้

ขั้นตอนการทดสอบ

1. ก่อนทำการทดสอบจะต้องทำการปรับเทียบ (Calibration) วงจรทดสอบ และนำอุปกรณ์ปรับเทียบออกจากวงจรทดสอบก่อนทำการทดสอบทุกครั้ง
2. ติดตั้งกับดักฟ้าผ่าที่ผ่านการทำความสะอาดครีบบของฉนวน ดั้วตัดวงจร (Disconnect or Fault Indicator) ต้องถูกปลดออกไป และกับดักฟ้าผ่าต้องไม่ผ่านการใช้งานหรือทดสอบมาก่อน
3. ทำการเปรียบเทียบวงจรทดสอบและบันทึกค่าการปรับเทียบดังนี้

การปรับเทียบ

ประจุที่ป้อน 10 pC

ค่าที่อ่านได้จากเครื่องวัด 9.97 pC

ค่า Back ground Noise 0.82 pC

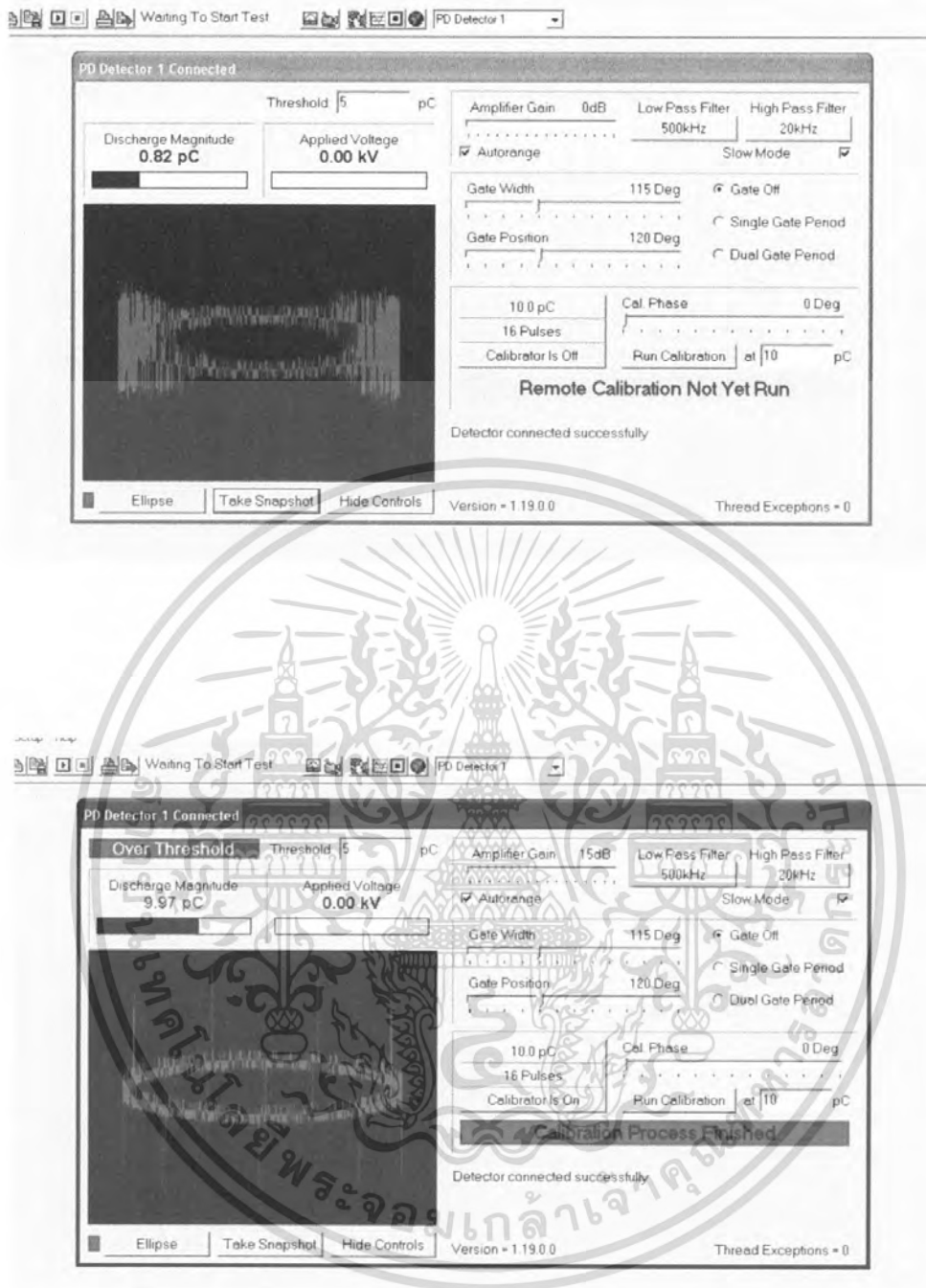
ค่าสเกลแฟคเตอร์ของการวัด PD เท่ากับ 0.997

4. ป้อนแรงดันให้กับกับดักฟ้าผ่าขนาดเท่ากับอัตราแรงดันของกับดักฟ้าผ่า (rate voltage) ค้างไว้ประมาณ 2s – 10s แล้วลดแรงดันลงเหลือ 1.05 เท่าของแรงดันใช้งานต่อเนื่อง (Continous operating voltage) วัดค่าการเกิดดิสชาร์จบางส่วน
5. บันทึกค่าการเกิดดิสชาร์จ

ผลการทดสอบ

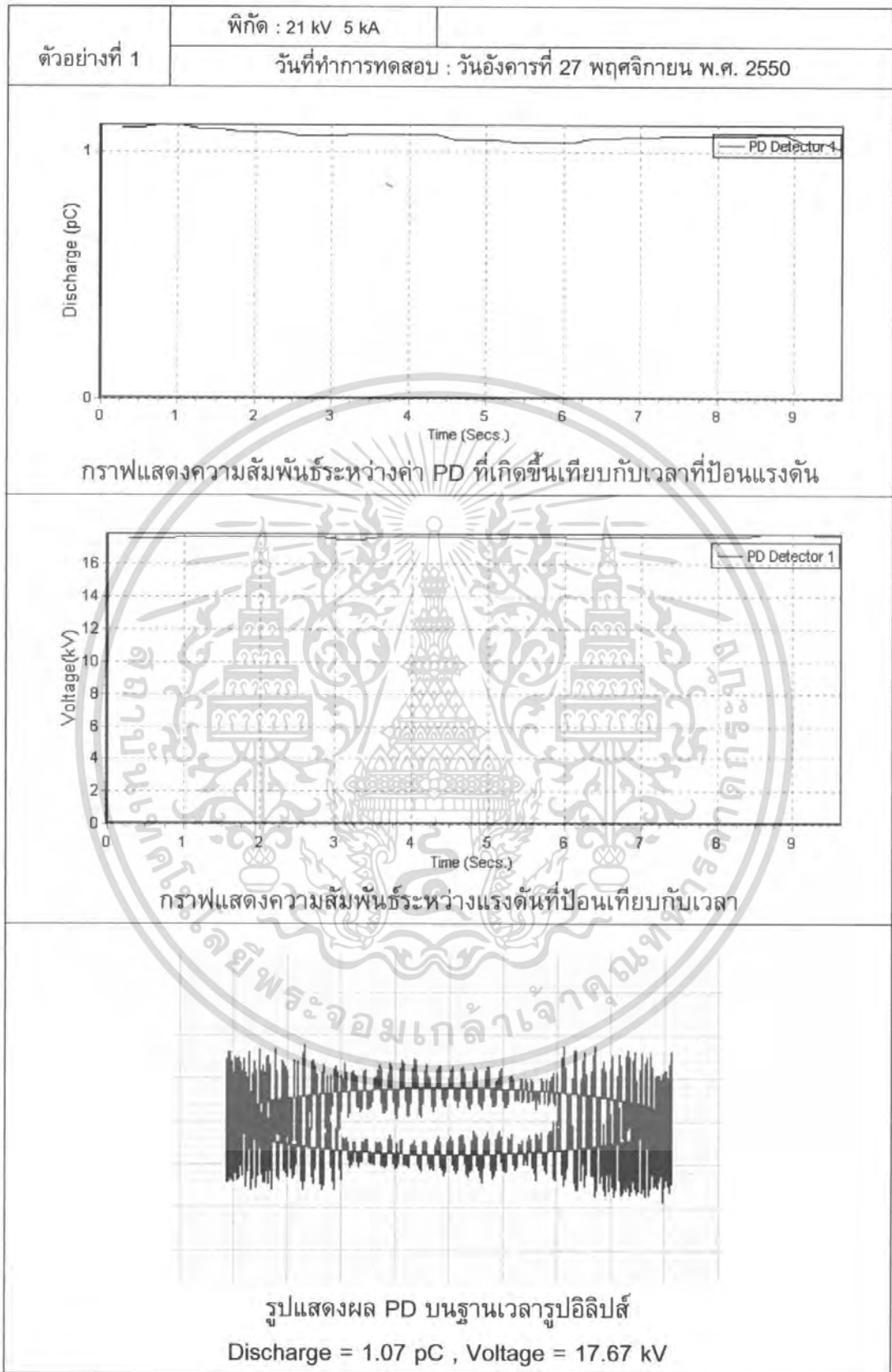
สภาพแวดล้อมขณะทำการทดสอบมีรายละเอียดดังนี้ ความดันบรรยากาศของอากาศมีค่าเท่ากับ 764 mmHg อุณหภูมิห้อง 30 °C ความชื้นสัมพัทธ์ 70 %

เอกสารนี้เป็นเอกสารที่สงวนไว้สำหรับการใช้งานเพื่อการศึกษาเท่านั้น ไม่อนุญาตให้นำไปใช้ประโยชน์ด้านการค้า ไม่ว่ากรณีใดๆ ทั้งสิ้น อีกทั้งห้ามมิให้ตัดแปลงเนื้อหา และต้องอ้างอิงถึงเจ้าของเอกสารทุกครั้งที่มีการนำไปใช้



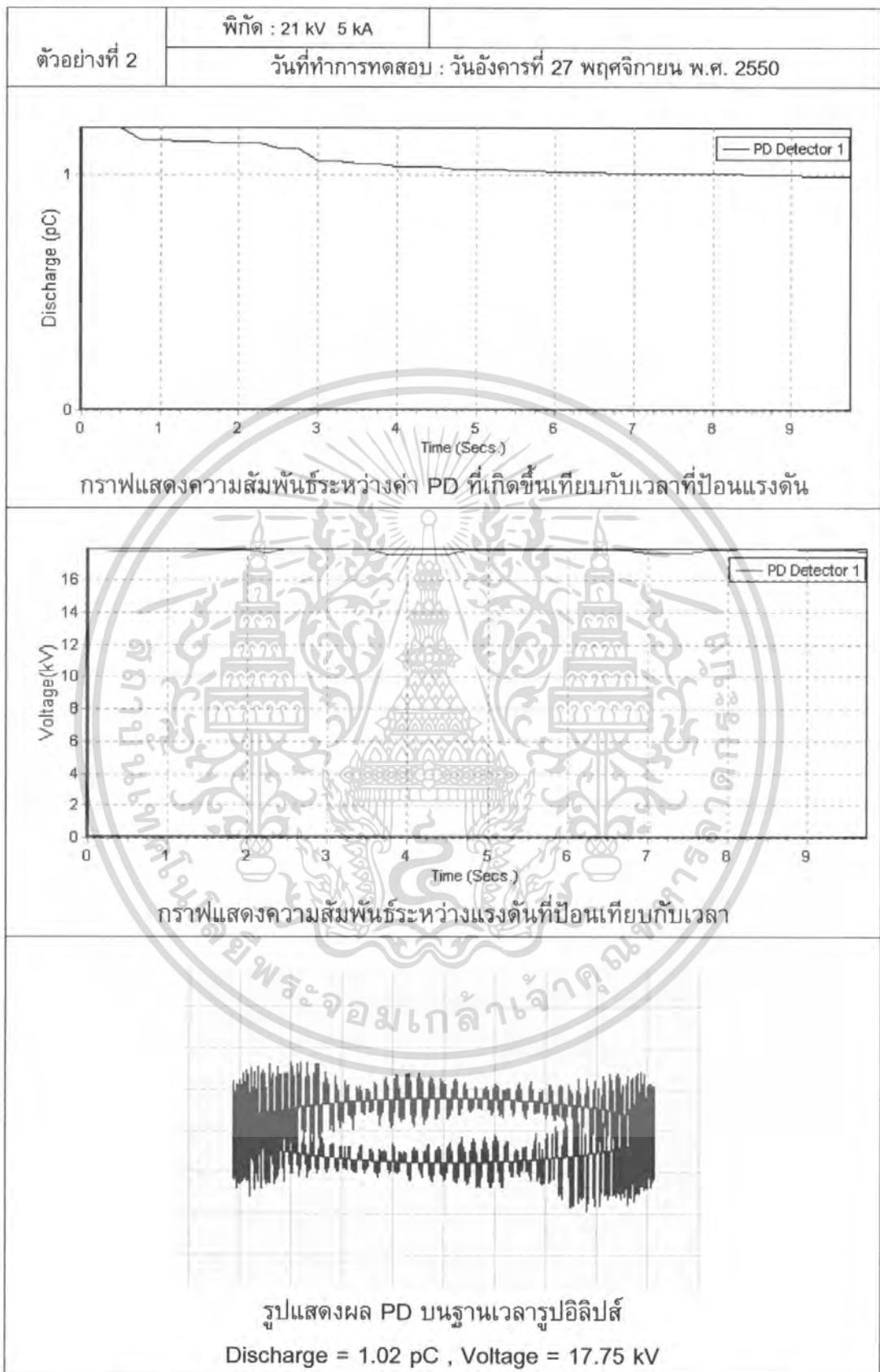
ภาพที่ 3.12 แสดงผลการการปรับเทียบ (Calibration) วงจรทดสอบการดิสชาร์จบางส่วน ภายใน

เอกสารนี้เป็นเอกสารที่สงวนไว้สำหรับการใช้งานเพื่อการศึกษาเท่านั้น ไม่อนุญาตให้นำไปใช้ประโยชน์ด้านการค้า ไม่ว่าจะกรณีใดๆ ทั้งสิ้น อีกทั้งห้ามมิให้ดัดแปลงเนื้อหา และต้องอ้างอิงถึงเจ้าของเอกสารทุกครั้งที่มีการนำไปใช้



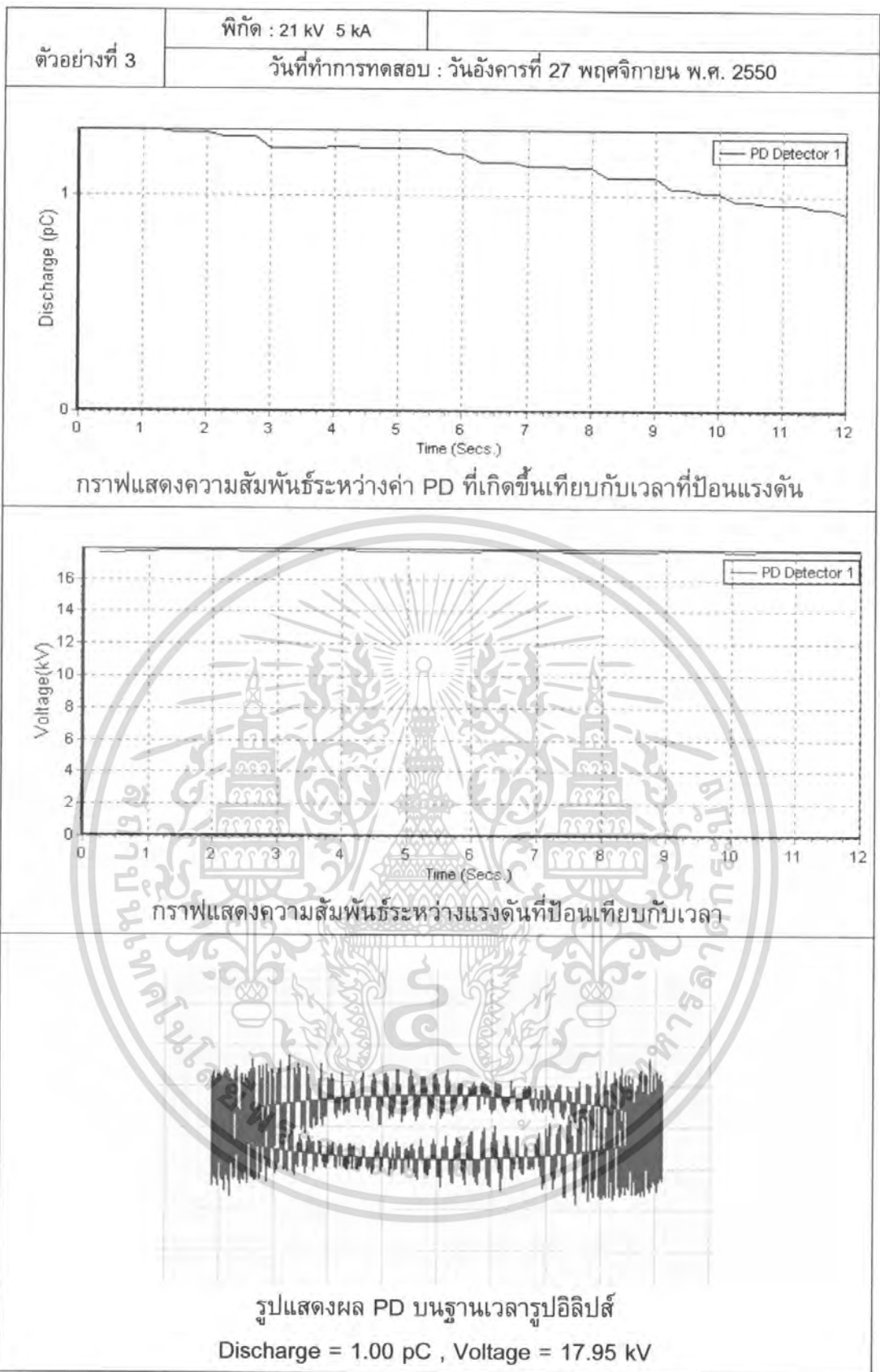
ภาพที่ 3.13 ผลการทดสอบการดิสชาร์จบางส่วนภายในของกับดักฟ้าผ่าตัวอย่างที่ 1

เอกสารนี้เป็นเอกสารที่สงวนไว้สำหรับการใช้งานเพื่อการศึกษาเท่านั้น ไม่อนุญาตให้นำไปใช้ประโยชน์ด้านการค้า ไม่ว่ากรณีใดๆ ทั้งสิ้น อีกทั้งห้ามมิให้ตัดแปลงเนื้อหา และต้องอ้างอิงถึงเจ้าของเอกสารทุกครั้งที่มีการนำไปใช้



ภาพที่ 3.14 ผลการทดสอบการดิสชาร์จบางส่วนภายในของกับดักฟ้าผ่าตัวอย่างที่ 2

เอกสารนี้เป็นเอกสารที่สงวนไว้สำหรับการใช้งานเพื่อการศึกษาเท่านั้น ไม่อนุญาตให้นำไปใช้ประโยชน์ด้านการค้า ไม่ว่าจะกรณีใดๆ ทั้งสิ้น อีกทั้งห้ามมิให้ตัดแปลงเนื้อหา และต้องอ้างอิงถึงเจ้าของเอกสารทุกครั้งที่มีการนำไปใช้

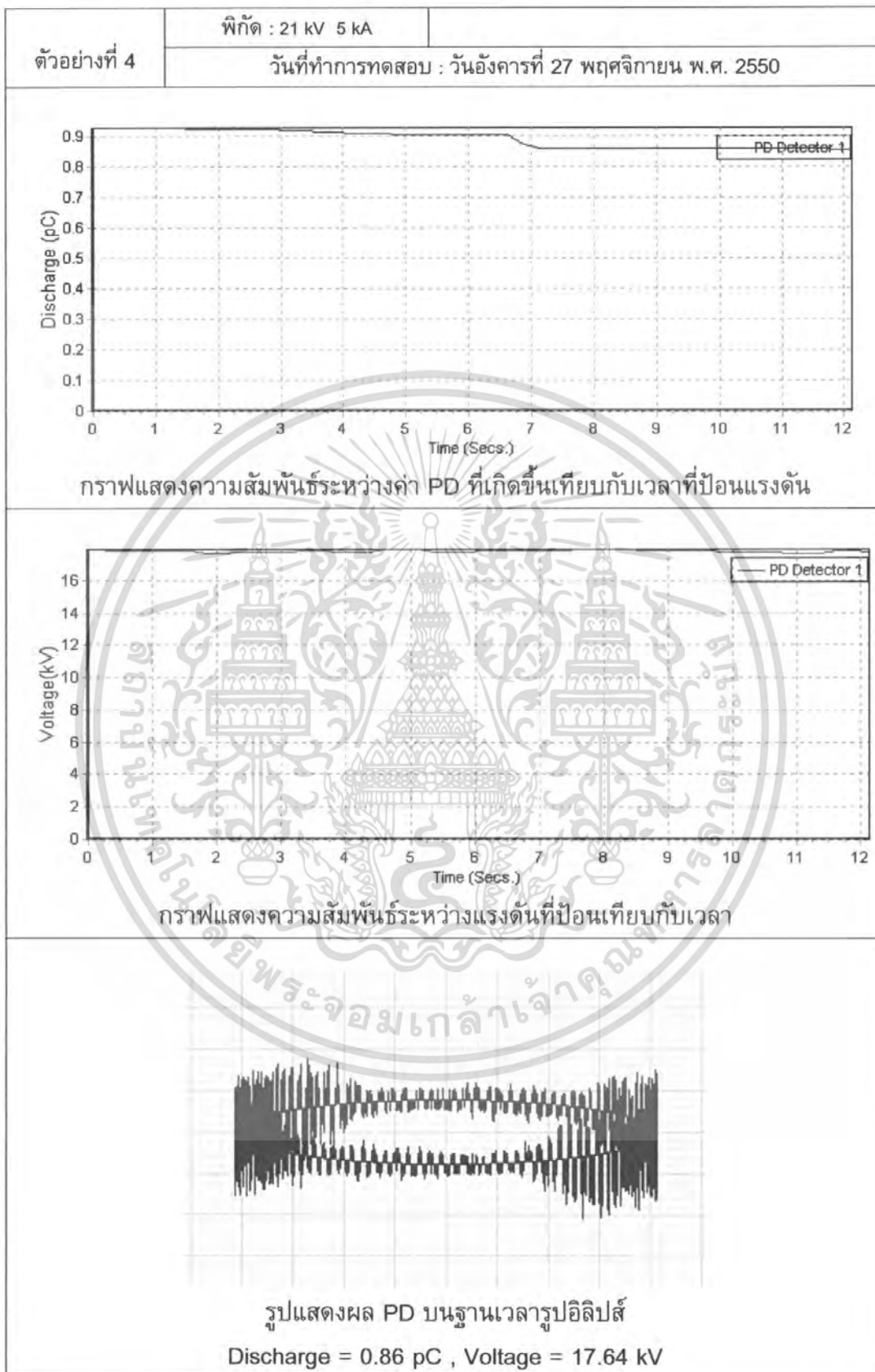


ภาพที่ 3.15 ผลการทดสอบการดิสชาร์จบางส่วนภายในของกับดักฟ้าผ่าตัวอย่างที่ 3

เอกสารนี้เป็นเอกสารที่สงวนไว้สำหรับการใช้งานเพื่อการศึกษาเท่านั้น ไม่อนุญาตให้นำไปใช้ประโยชน์ด้านการค้า ไม่ว่าจะกรณีใดๆ ทั้งสิ้น อีกทั้งห้ามมิให้ดัดแปลงเนื้อหา และต้องอ้างอิงถึงเจ้าของเอกสารทุกครั้งที่มีการนำไปใช้

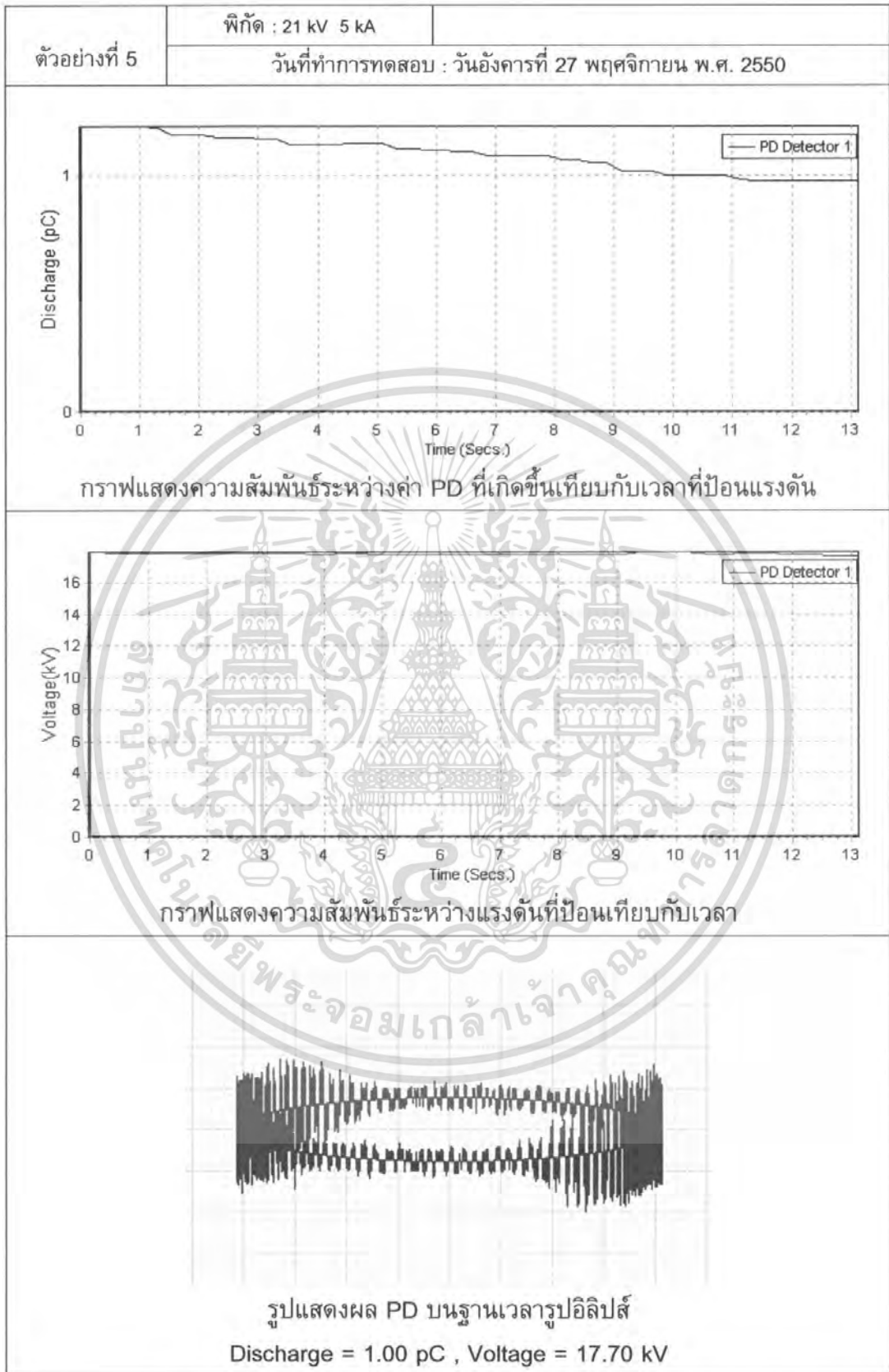


เอกสารนี้เป็นเอกสารที่สงวนไว้สำหรับการใช้งานเพื่อการศึกษาเท่านั้น ไม่อนุญาตให้นำไปใช้ประโยชน์ด้านการค้า
ไม่ว่ากรณีใดๆ ทั้งสิ้น อีกทั้งห้ามมิให้ดัดแปลงเนื้อหา และต้องอ้างอิงถึงเจ้าของเอกสารทุกครั้งที่มีการนำไปใช้



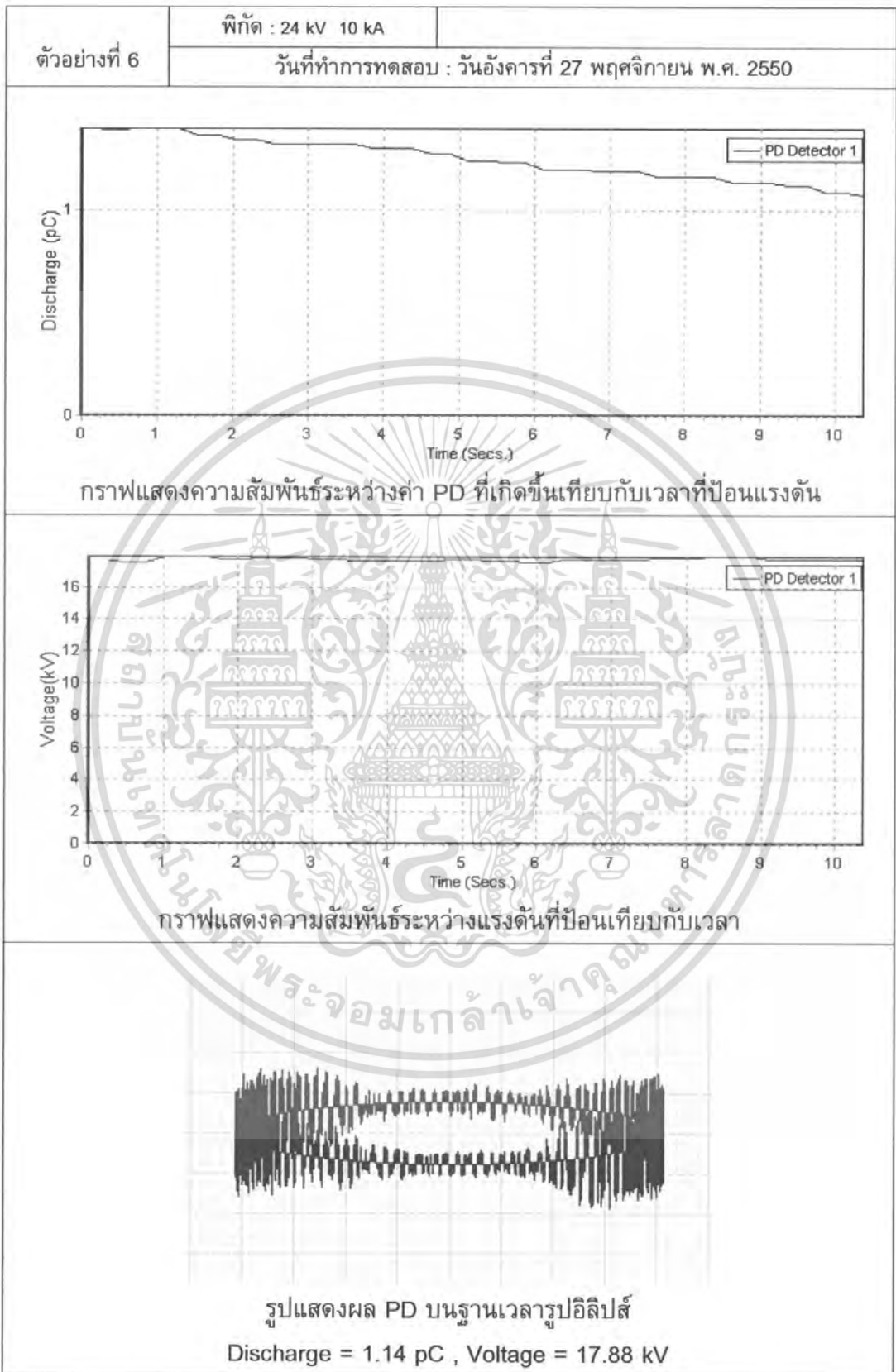
ภาพที่ 3.16 ผลการทดสอบการดิสชาร์จบางส่วนภายในของกบดักฟ้าผ่าตัวอย่างที่ 4

เอกสารนี้เป็นเอกสารที่สงวนไว้สำหรับการใช้งานเพื่อการศึกษาเท่านั้น ไม่อนุญาตให้นำไปใช้ประโยชน์ด้านการค้า ไม่ว่ากรณีใดๆ ทั้งสิ้น อีกทั้งห้ามมิให้ตัดแปลงเนื้อหา และต้องอ้างอิงถึงเจ้าของเอกสารทุกครั้งที่มีการนำไปใช้



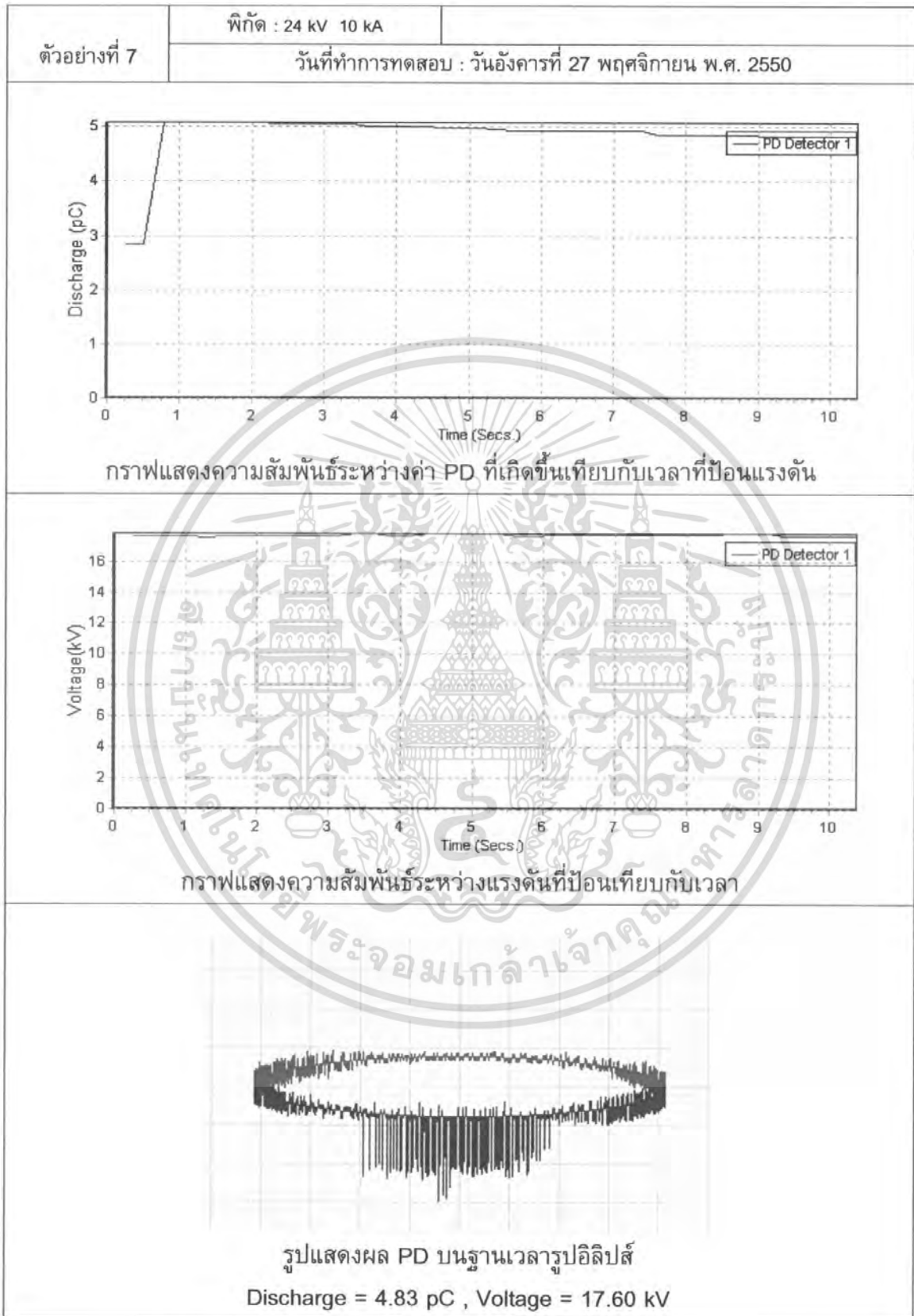
ภาพที่ 3.17 ผลการทดสอบการดิสชาร์จบางส่วนภายในของกับดักฟ้าผ่าตัวอย่างที่ 5

เอกสารนี้เป็นเอกสารที่สงวนไว้สำหรับการใช้งานเพื่อการศึกษาเท่านั้น ไม่อนุญาตให้นำไปใช้ประโยชน์ด้านการค้า ไม่ว่ากรณีใดๆ ทั้งสิ้น อีกทั้งห้ามมิให้ตัดแปลงเนื้อหา และต้องอ้างอิงถึงเจ้าของเอกสารทุกครั้งที่มีการนำไปใช้



ภาพที่ 3.18 ผลการทดสอบการดิสชาร์จบางส่วนภายในของกับดักฟ้าผ่าตัวอย่างที่ 6

เอกสารนี้เป็นเอกสารที่สงวนไว้สำหรับการใช้งานเพื่อการศึกษาเท่านั้น ไม่อนุญาตให้นำไปใช้ประโยชน์ด้านการค้า ไม่ว่ากรณีใดๆ ทั้งสิ้น อีกทั้งห้ามมิให้ตัดแปลงเนื้อหา และต้องอ้างอิงถึงเจ้าของเอกสารทุกครั้งที่มีการนำไปใช้



เอกสารนี้เป็นเอกสารลิขสิทธิ์หรือการสงวนลิขสิทธิ์ของกรมการไฟฟ้าฝ่ายผลิตแห่งประเทศไทย ซึ่งอยู่ภายใต้การควบคุมและบังคับใช้ตามกฎหมายว่าด้วยการคุ้มครองสิทธิบัตรและทรัพย์สินทางปัญญาของกรมการไฟฟ้าฝ่ายผลิตแห่งประเทศไทย

หากท่านใดต้องการนำเอกสารนี้ไปใช้โดยไม่ได้รับอนุญาตจากกรมการไฟฟ้าฝ่ายผลิตแห่งประเทศไทย หรือมีการดัดแปลงเนื้อหา หรือทำซ้ำโดยไม่ได้รับอนุญาตจากกรมการไฟฟ้าฝ่ายผลิตแห่งประเทศไทย จะถือว่าผิดกฎหมายและต้องรับผิดชอบต่อความเสียหายที่เกิดขึ้น

สรุปผลการทดสอบ

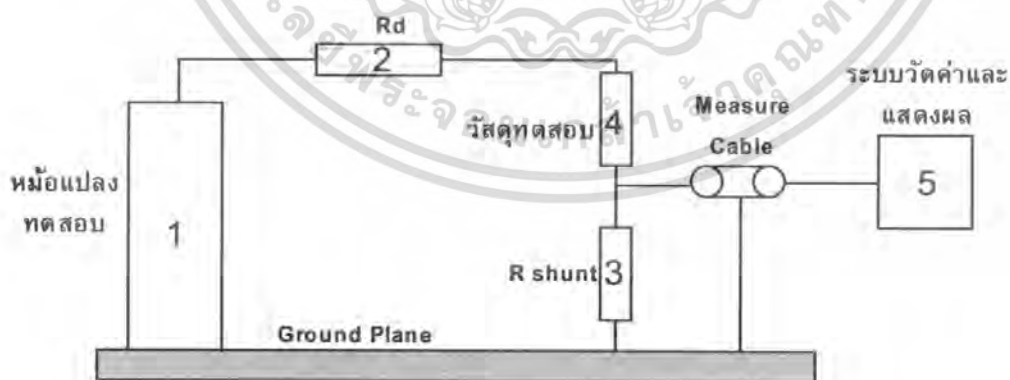
ค่าการดิสชาร์จที่วัดได้จากการทดสอบต้องมีค่าไม่เกินค่ากำหนดในมาตรฐาน IEC 60099-4 คือ ค่าที่วัดได้ต้องมีค่าไม่เกิน 10 pC

จากการทดสอบวัดค่าการดิสชาร์จบางส่วนที่ระดับแรงดัน 1.05 เท่า ของแรงดันใช้งาน ต่อเนื่องของกับดักฟ้าผ่าตามมาตรฐาน IEC 60099-4 พบว่ากับดักฟ้าผ่า พิกัด 21 kV 5kA ทั้ง 5 ตัวอย่างทดสอบ มีค่าการเกิดดิสชาร์จบางส่วนอยู่ในช่วงประมาณ 0.86 – 1.07 pC กับดักฟ้าผ่า พิกัด 24kV 10 kA ตัวอย่างที่ 6 มีค่าการดิสชาร์จบางส่วนที่ 1.14 pC ส่วนตัวอย่างทดสอบที่ 7 ซึ่งเป็นกับดักฟ้าผ่าพิกัด 24 kV 10 kA มีค่าการดิสชาร์จบางส่วนสูงกว่าตัวอย่างอื่นๆมาก ซึ่งมีค่า 4.83 pC เนื่องจากอาจก่อให้เกิดความเสียหายต่ออุปกรณ์ทดสอบ จากรูปการแสดงการดิสชาร์จบางส่วนบนฐานเวลารูปอิลิปส์ทำให้สามารถสรุปได้ว่า การดิสชาร์จบางส่วนที่ตรวจพบเป็นการดิสชาร์จภายในตัวกับดักฟ้าผ่าพิกัด 21 kV 5 kA ตัวอย่างการทดสอบที่ 1 – 5 และกับดักฟ้าผ่าพิกัด 24 kV 10 kA ตัวอย่างการทดสอบที่ 6 – 7 ผ่านการทดสอบตามมาตรฐาน

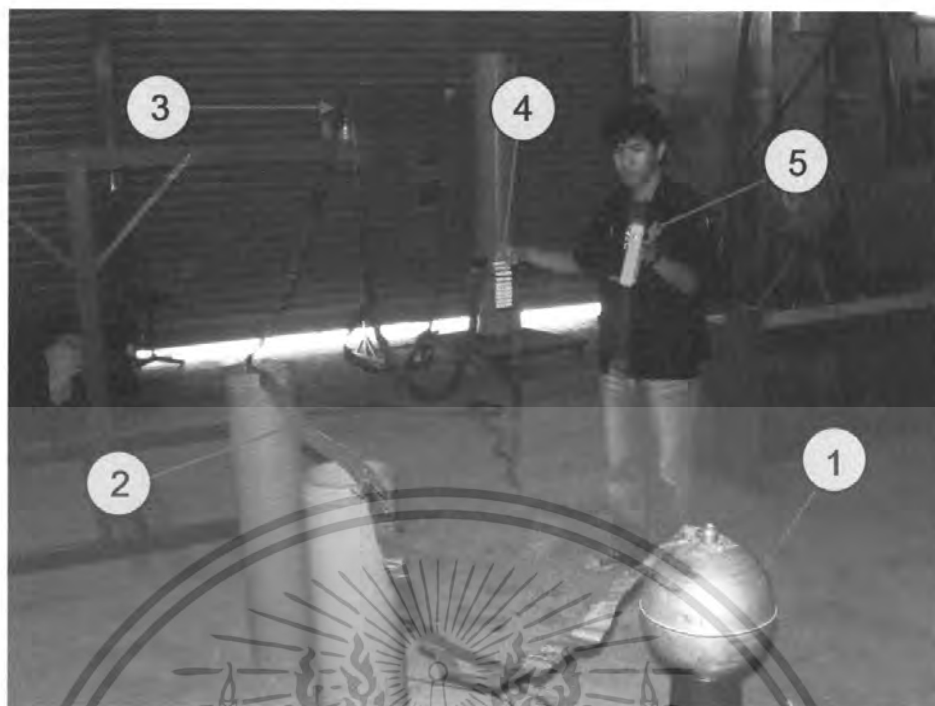
3.2.2 การทดสอบหาแรงดันเริ่มทำงาน (Reference Voltage)

การทดสอบนี้เป็นการทดสอบเพื่อตรวจสอบแรงดันเริ่มทำงานซึ่งกำหนดมาจากบริษัทผู้ผลิต

วงจรการทดสอบ



เอกสารนี้เป็นเอกสารที่สงวนไว้สำหรับการใช้งานเพื่อการศึกษาเท่านั้น ไม่อนุญาตให้นำไปใช้ประโยชน์ด้านการค้า ไม่ว่าจะกรณีใดๆ ทั้งสิ้น อีกทั้งห้ามมิให้ดัดแปลงเนื้อหา และต้องอ้างอิงถึงเจ้าของเอกสารทุกครั้งที่มีการนำไปใช้



ภาพที่ 3.20 วงจรทดสอบหาค่าแรงดันเริ่มทำงานกับดักฟ้าผ่า

1. หม้อแปลงทดสอบพิกัด 4 kVA 230/100 kV 50 Hz
2. ความต้านทานชั้นที่ พิกัด 10.15 k Ω 20 W
3. กับดักฟ้าผ่า
4. ความต้านทานจำกัดกระแส พิกัด 0.49 M Ω
5. โวลต์มิเตอร์

ขั้นตอนการทดสอบ

1. ก่อนทำการทดสอบต้องทำความสะอาดผิวครีบฉนวนของกับดักฟ้าผ่าให้สะอาด เพื่อไม่ให้ความสกปรกทำให้เกิดการวาวไฟตามผิว
2. ติดตั้งกับดักฟ้าผ่าตามลักษณะการใช้งาน
3. ป้อนแรงดันให้กับกับดักฟ้าผ่าในขณะเดียวกันวัดขนาดกระแสรั่วไหลของกับดักฟ้าผ่า ปรับแรงดันเพิ่มขึ้นจนได้ขนาดกระแสรั่วไหลตามที่บริษัทผู้ผลิตกำหนด
4. บันทึกผลการทดสอบ

เอกสารนี้เป็นเอกสารที่สงวนไว้สำหรับการใช้งานเพื่อการศึกษาเท่านั้น ไม่อนุญาตให้นำไปใช้ประโยชน์ด้านการค้า ไม่ว่าจะกรณีใดๆ ทั้งสิ้น อีกทั้งห้ามมิให้ดัดแปลงเนื้อหา และต้องอ้างอิงถึงเจ้าของเอกสารทุกครั้งที่มีการนำไปใช้

ผลการทดสอบ

ตารางที่ 3.8 ผลการทดสอบหาแรงดันเริ่มทำงานของกับดักฟ้าผ่า

กับดักฟ้าผ่า	ระดับแรงดันเริ่มทำงาน (kV) ที่ 1 mA
1. พิกัด 21 kV 5 kA	35.35
2. พิกัด 21 kV 5 kA	31.96
3. พิกัด 21 kV 5 kA	32.52
4. พิกัด 21 kV 5 kA	32.10
5. พิกัด 21 kV 5 kA	34.64
6. พิกัด 24 kV 10 kA	36.77
7. พิกัด 24 kV 10 kA	37.47

สรุปผลการทดลอง

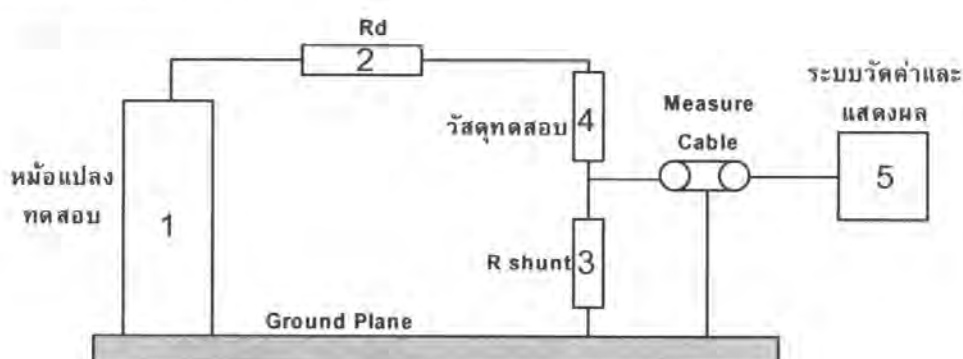
ค่าแรงดันที่ป้อนให้กับกับดักฟ้าผ่าจนมีกระแสรั่วไหลตามที่บริษัทผู้ผลิตกำหนด จะถูกกำหนดเป็นค่าแรงดันเริ่มทำงาน

จากผลการทดสอบพบว่ากับดักฟ้าผ่าพิกัด 21 kV 5 kA มีระดับแรงดันเริ่มทำงานที่ 1 mA อยู่ในช่วง 32.96 – 35.35 kV ส่วนกับดักฟ้าผ่าพิกัด 24 kV 10 kA มีระดับแรงดันเริ่มทำงานที่ 1 mA อยู่ในช่วง 36.77 – 37.47 kV

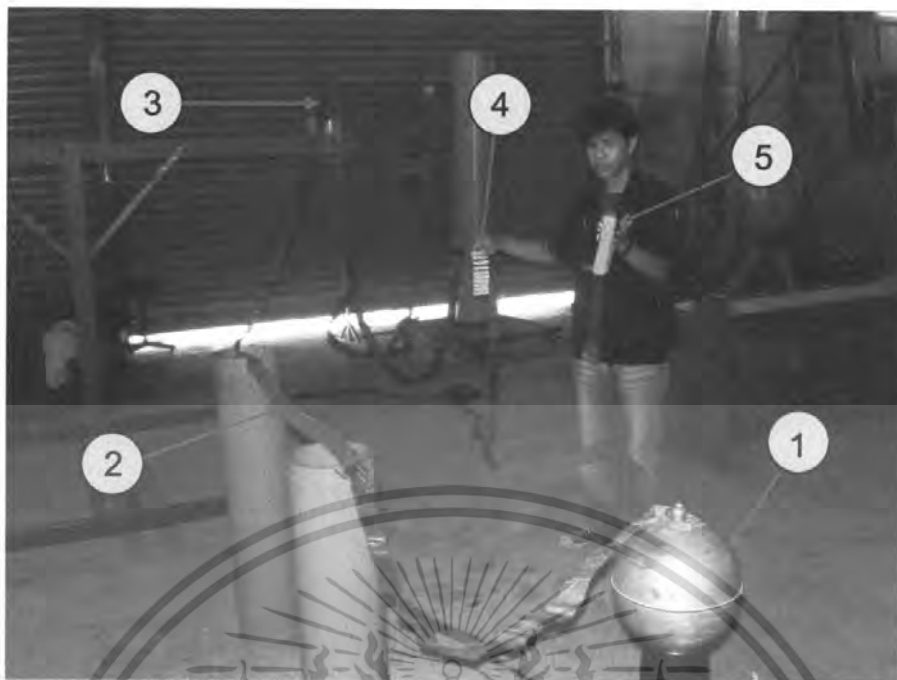
3.2.3 การทดสอบหากระแสรั่วไหล

การทดสอบนี้เป็นการทดสอบเพื่อหาค่ากระแสรั่วไหลของกับดักฟ้าผ่าในขณะที่ระดับแรงดันปกติและขณะที่เกิดแรงดันเกินชั่วขณะ

วงจรการทดสอบ



เอกสารนี้เป็นเอกสารที่สงวนไว้สำหรับการใช้งานเพื่อการศึกษาเท่านั้น ไม่อนุญาตให้นำไปใช้ประโยชน์ด้านการค้า ไม่ว่าจะกรณีใดๆ ทั้งสิ้น อีกทั้งห้ามมิให้ตัดแปลงเนื้อหา และต้องอ้างอิงถึงเจ้าของเอกสารทุกครั้งที่มีการนำไปใช้



ภาพที่ 3.21 วงจรทดสอบหาค่ากระแสรั่วไหลของกับดักฟ้าผ่า

1. หม้อแปลงทดสอบพิกัด 4 kVA 230/100 kV 50 Hz
2. ความต้านทานฉันทึ พิกัด 10.15 k Ω 20 W
3. กับดักฟ้าผ่า
4. ความต้านทานจำกัดกระแส พิกัด 0.49 M Ω
5. โวลต์มิเตอร์

ขั้นตอนการทดสอบ

1. ก่อนทำการทดสอบต้องทำความสะอาดผิวครีบนวนของกับดักฟ้าผ่าให้สะอาด เพื่อไม่ให้ความสกปรกทำให้เกิดการรวบไฟตามผิว
2. ติดตั้งกับดักฟ้าผ่าตามลักษณะการใช้งาน
3. บ้อนแรงดันให้กับกับดักฟ้าผ่ามีค่าเท่ากับค่าแรงดันเฟส – กราวนซ์ของอัตราแรงดัน ในขณะเดียวกันวัดขนาดกระแสรั่วไหลของกับดักฟ้าผ่า ปรับแรงดันเพิ่มขึ้นจนเท่ากับแรงดันเกินชั่วขณะ โดยกับดักฟ้าผ่าขนาด 21 kV และ 24 kV มีแรงดันใช้งานต่อเนื่องสูงสุดเท่ากับ 17.0 kV และ 19.5 kV ตามลำดับ
4. บันทึกผลการทดสอบ

เอกสารนี้เป็นเอกสารที่สงวนไว้สำหรับการใช้งานเพื่อการศึกษาเท่านั้น ไม่อนุญาตให้นำไปใช้ประโยชน์ด้านการค้า ไม่ว่าจะกรณีใดๆ ทั้งสิ้น อีกทั้งห้ามมิให้ดัดแปลงเนื้อหา และต้องอ้างอิงถึงเจ้าของเอกสารทุกครั้งที่มีการนำไปใช้

ผลการทดสอบ

ตารางที่ 3.9 ผลการทดสอบหากระแสรั่วไหลของกัปดักฟ้าผ่า

กัปดักฟ้าผ่า	ระดับแรงดัน (kV)	ขนาดกระแสรั่วไหล (mA)
1. พิกัด 21 kV 5 kA	12.7	0.170
	17.0	0.220
2. พิกัด 21 kV 5 kA	12.7	0.201
	17.0	0.206
3. พิกัด 21 kV 5 kA	12.7	0.210
	17.0	0.220
4. พิกัด 21 kV 5 kA	12.7	0.175
	17.0	0.220
5. พิกัด 21 kV 5 kA	12.7	0.171
	17.0	0.223
6. พิกัด 24 kV 10 kA	13.8	0.286
	19.5	0.404
7. พิกัด 24 kV 10 kA	13.8	0.283
	19.5	0.414

สรุปผลการทดลอง

กระแสรั่วไหลที่วัดได้ที่ระดับแรงดันที่กำหนด จะกำหนดเป็นกระแสรั่วไหลของกัปดักฟ้าผ่าในขณะที่ใช้งานที่ระดับแรงดันปกติและขณะที่เกิดแรงดันเกินชั่วขณะ

จากผลการทดสอบกัปดักฟ้าผ่าพิกัด 21 kV 5 kA มีค่ากระแสรั่วไหลที่ระดับแรงดันปกติ (12.7 kV) อยู่ในช่วงระหว่าง 0.17 – 0.21 mA และมีค่ากระแสรั่วไหลที่ระดับแรงดันใช้งานต่อเนื่องสูงสุด (17.0 kV) อยู่ในช่วงระหว่าง 0.22 – 0.223 mA ส่วนกัปดักฟ้าผ่าพิกัด 24 kV 10 kA มีค่ากระแสรั่วไหลที่ระดับแรงดันปกติ อยู่ในช่วงระหว่าง 0.283 – 0.286 mA และมีค่ากระแสรั่วไหลที่ระดับแรงดันใช้งานต่อเนื่องสูงสุด (19.5 kV) อยู่ในช่วงระหว่าง 0.404 – 0.414 mA

เอกสารนี้เป็นเอกสารที่สงวนไว้สำหรับการใช้งานเพื่อการศึกษาเท่านั้น ไม่อนุญาตให้นำไปใช้ประโยชน์ด้านการค้าไม่ว่ากรณีใดๆ ทั้งสิ้น อีกทั้งห้ามมิให้ตัดแปลงเนื้อหา และต้องอ้างอิงถึงเจ้าของเอกสารทุกครั้งที่มีการนำไปใช้

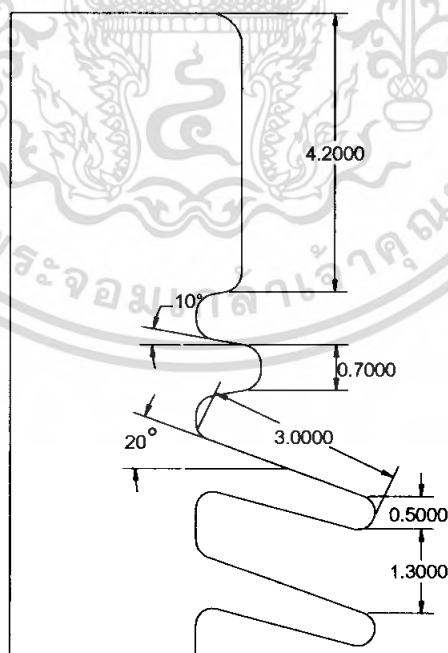
บทที่ 4

การออกแบบครีบนวนและการวิเคราะห์สนามไฟฟ้าของ ดรอพเอาร์ทิวส์และกับดักฟ้าผ่า

การออกแบบครีบนวนกับดักฟ้าผ่าและดรอพเอาร์ทิวส์จะต้องคำนึงถึงการกระจายของสนามไฟฟ้าซึ่งจะมีผลโดยตรงต่อการเกิดวาบไฟตามผิว การออกแบบลักษณะมิติครีบนวนของดรอพเอาร์ทิวส์ที่ดี จะต้องพยายามออกแบบให้ครีบนวนหรือชั้นของครีบนวนมีผิวโค้งไปตามเส้นศักย์ไฟฟ้าเท่า (Equipotential line) เพื่อให้ความเครียดสนามไฟฟ้าที่มีค่าน้อยและมีการกระจายสนามไฟฟ้าที่สม่ำเสมอ นอกจากนี้ยังต้องพิจารณาถึงระดับแรงดันที่ใช้งานและพิจารณาผลของกระแสต่อเนื่องด้วยโดยความสูงจะเป็นการบ่งบอกถึงระดับของแรงดันที่ทนได้ ส่วนเส้นผ่านศูนย์กลางจะเป็นตัวบ่งบอกถึงพิภพการไหลของกระแส

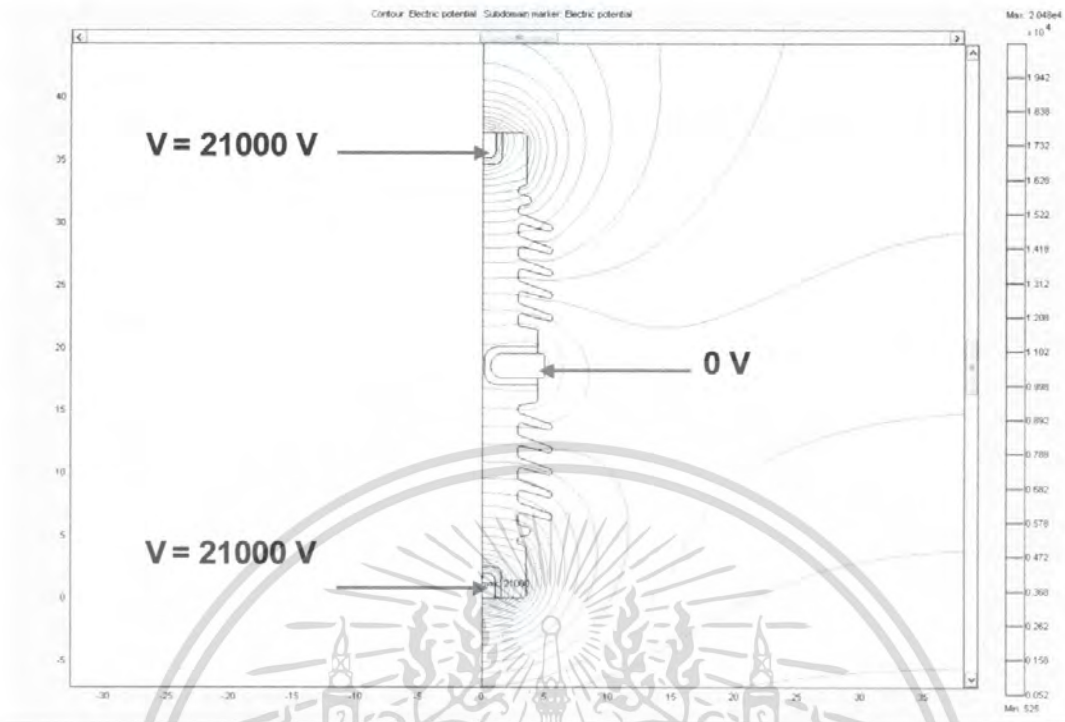
การวิเคราะห์สภาพสนามไฟฟ้าจะใช้โปรแกรม FEMLAB 3.1 ในการวิเคราะห์ ซึ่งจะช่วยให้สามารถวิเคราะห์สภาพสนามไฟฟ้าได้สะดวกมากขึ้น ตัวอย่างการวิเคราะห์สภาพสนามไฟฟ้าจะมีลักษณะดังต่อไปนี้

4.1 การออกแบบครีบนวนและวิเคราะห์สภาพสนามไฟฟ้าตามผิวของ ดรอพเอาร์ทิวส์

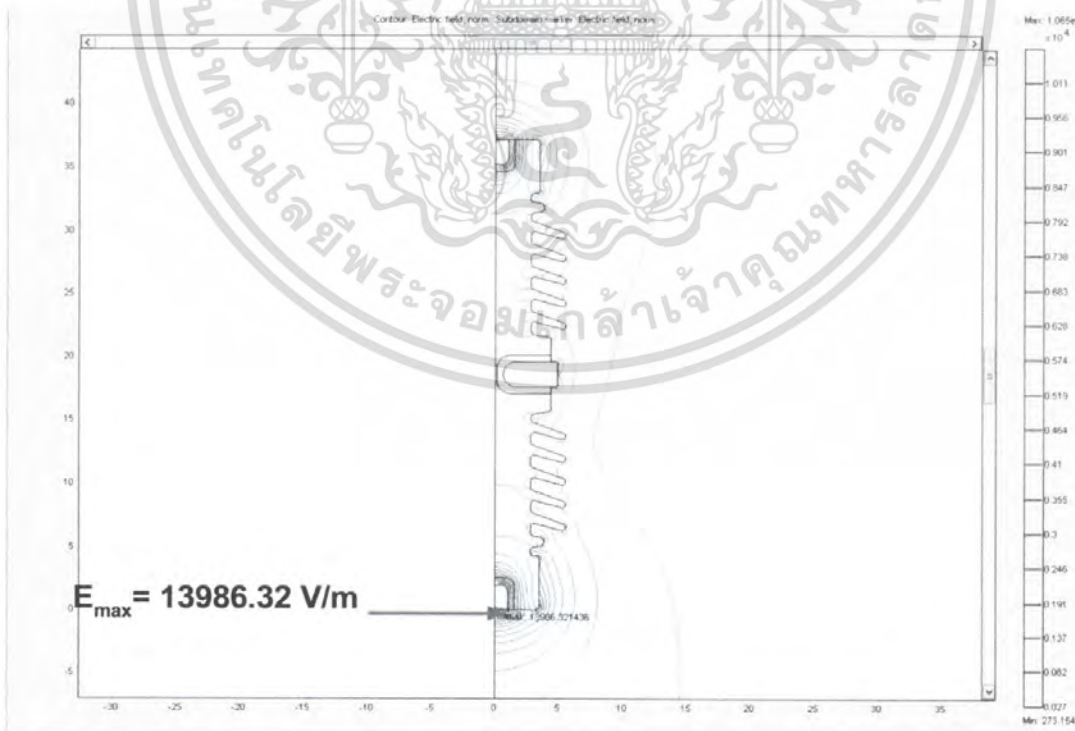


ภาพที่ 4.1 แสดง Dimension ต่างๆ ของดรอพเอาร์ทิวส์แบบที่ 1 ครีบนวน

เอกสารนี้เป็นเอกสารที่สงวนไว้สำหรับการใช้งานเพื่อการศึกษาเท่านั้น ไม่อนุญาตให้นำไปใช้ประโยชน์ด้านการค้า ไม่ว่าจะกรณีใดๆ ทั้งสิ้น อีกทั้งห้ามมิให้ตัดแปลงเนื้อหา และต้องอ้างอิงถึงเจ้าของเอกสารทุกครั้งที่มีการนำไปใช้

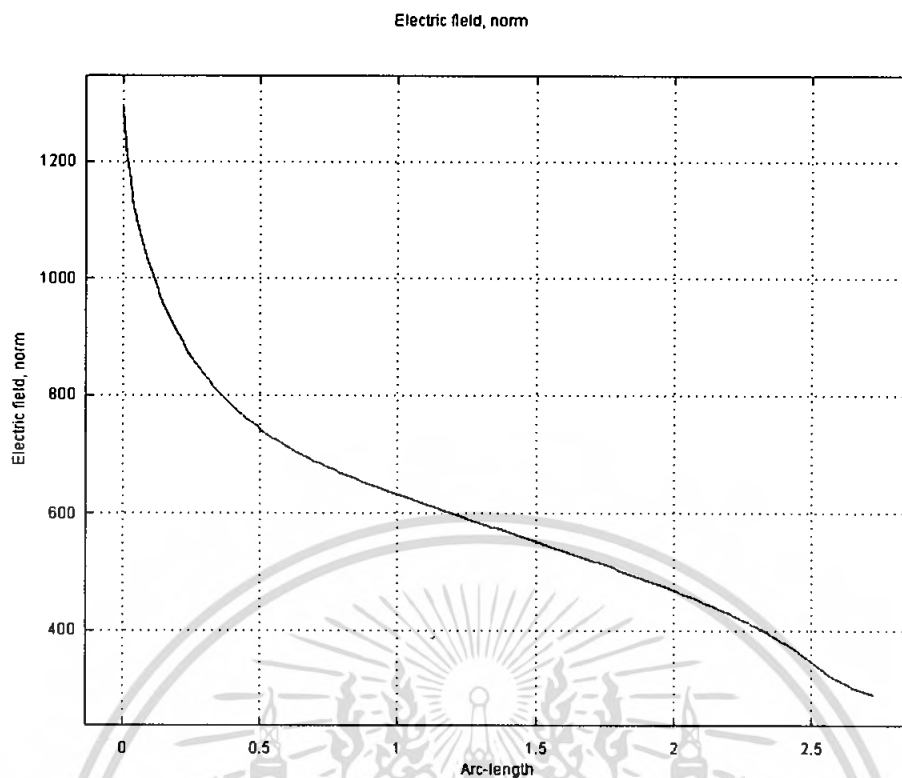


ภาพที่ 4.2 แสดงการกระจายของแรงดันไฟฟ้าตามผิวฉนวนของดรอพเอาต์พิวส์แบบที่ 1 ครีบท่า โดยป้อนแรงดันที่ 21 kV

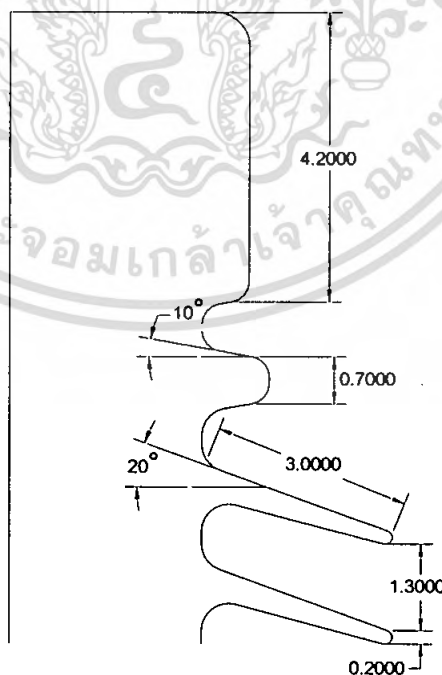


ภาพที่ 4.3 แสดงการกระจายความเครียดสนามไฟฟ้าตามผิวฉนวนของดรอพเอาต์พิวส์

เอกสารนี้เป็นเอกสารของบริษัท 1 ครีบท่า โดยป้อนแรงดันที่ 21 kV นั้น ไม่อนุญาตให้นำไปใช้ประโยชน์ด้านการค้า ไม่ว่าจะกรณีใดๆ ทั้งสิ้น อีกทั้งห้ามมิให้ดัดแปลงเนื้อหา และต้องอ้างอิงถึงเจ้าของเอกสารทุกครั้งที่มีการนำไปใช้

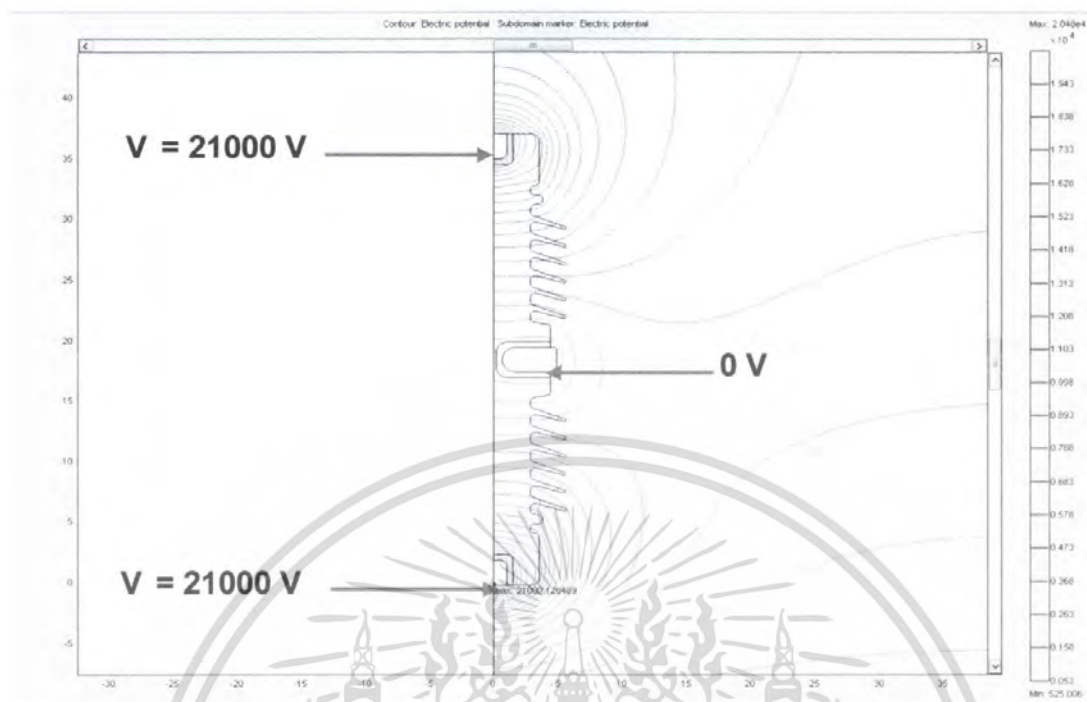


ภาพที่ 4.4 การวิเคราะห์ค่าความเครียดของสนามไฟฟ้าตามผิวครีบนวนครึ่งแรกของ
 ครอบเอาท์พิวส์ แบบที่ 1 ครีบท่าโดยป้อนแรงดันที่ 21 kV

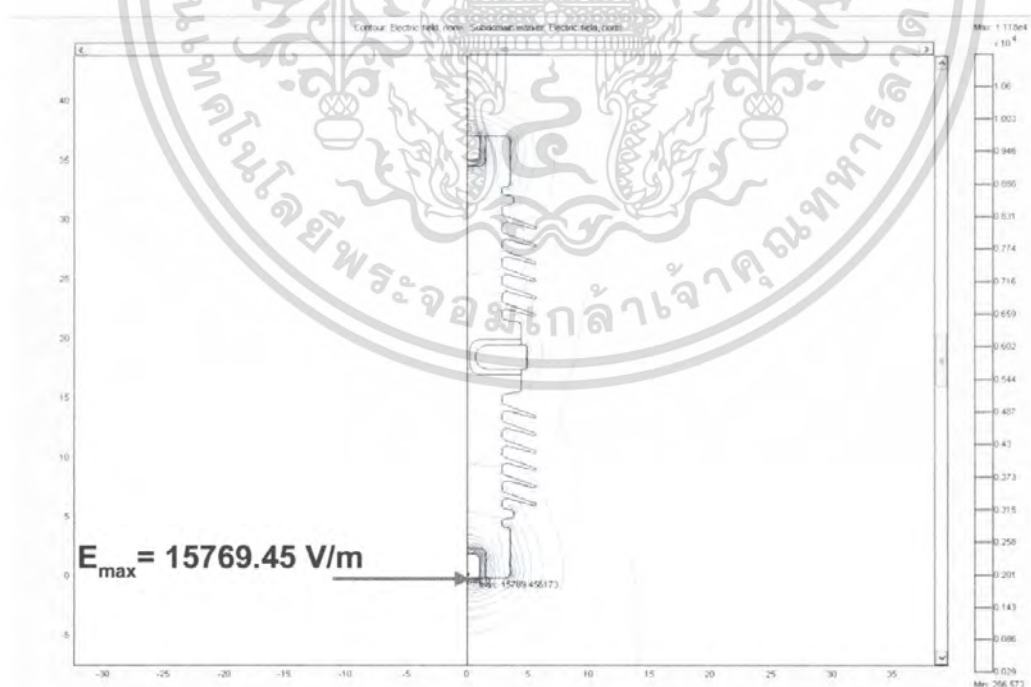


ภาพที่ 4.5 แสดง Dimension ต่างๆของครอบเอาท์พิวส์แบบที่ 2 ครีบท่า

เอกสารนี้เป็นเอกสารที่สงวนไว้สำหรับการใช้งานเพื่อการศึกษาเท่านั้น ไม่อนุญาตให้นำไปใช้ประโยชน์ด้านการค้า
 ไม่ว่ากรณีใดๆ ทั้งสิ้น อีกทั้งห้ามมิให้ตัดแปลงเนื้อหา และต้องอ้างอิงถึงเจ้าของเอกสารทุกครั้งที่มีการนำไปใช้



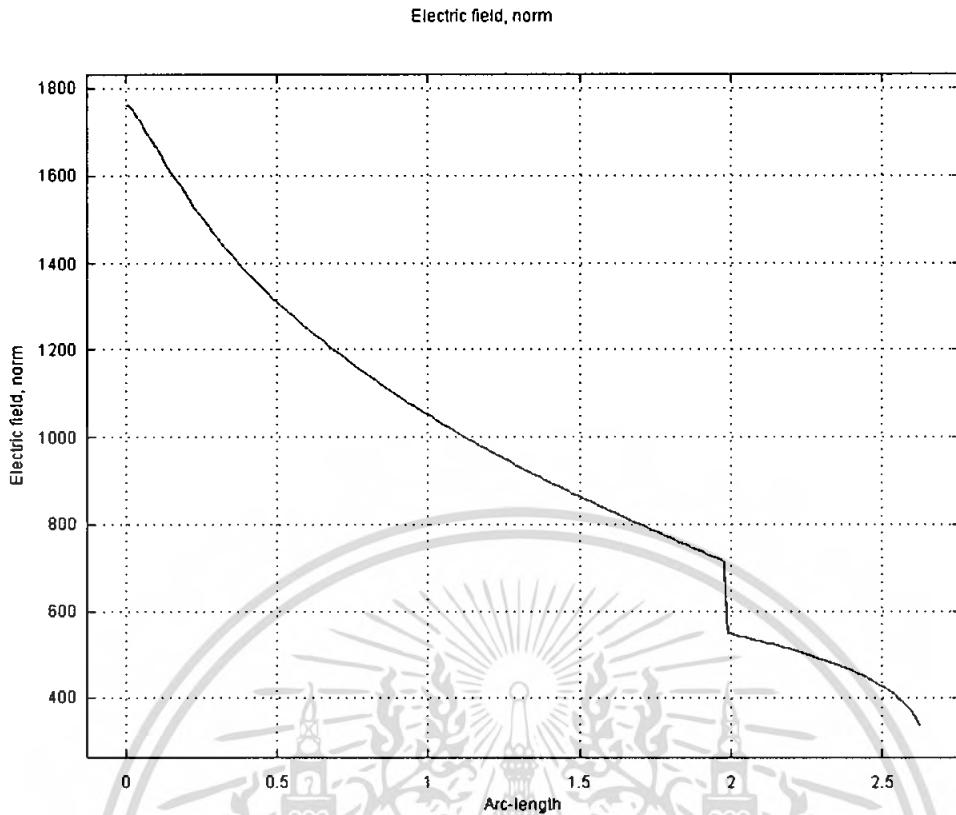
ภาพที่ 4.6 แสดงการกระจายของแรงดันไฟฟ้าตามพิกัดของรอบเอาต์ไฟส์ แบบที่ 2 ครีบเท่า โดยป้อนแรงดันที่ 21 kV



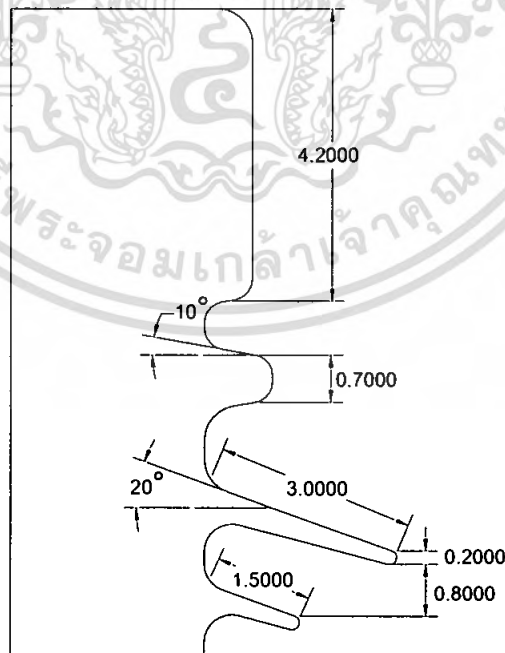
ภาพที่ 4.7 แสดงการกระจายความเครียดสนามไฟฟ้าตามพิกัดของรอบเอาต์ไฟส์

แบบที่ 2 ครีบเท่า โดยป้อนแรงดันที่ 21 kV

เอกสารนี้เป็นเอกสารที่สงวนไว้สำหรับการใช้งานเพื่อการศึกษาเท่านั้น ไม่อนุญาตให้นำไปใช้ประโยชน์ด้านการค้า ไม่ว่าจะกรณีใดๆ ทั้งสิ้น อีกทั้งห้ามมิให้ตัดแปลงเนื้อหา และต้องอ้างอิงถึงเจ้าของเอกสารทุกครั้งที่มีการนำไปใช้

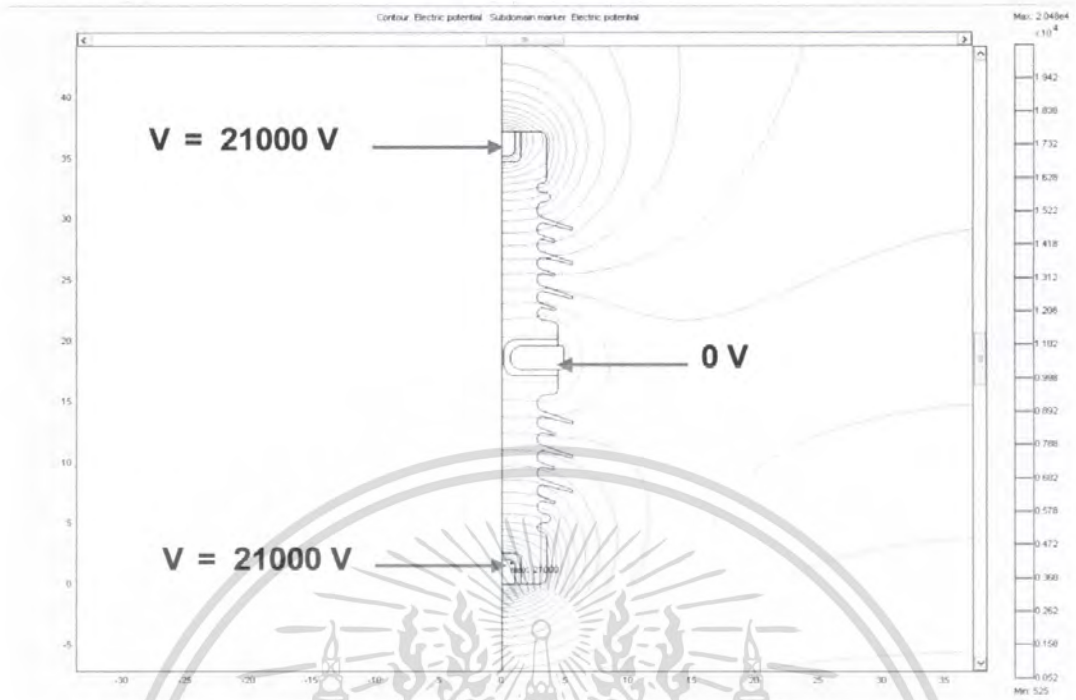


ภาพที่ 4.8 การวิเคราะห์ค่าความเครียดของสนามไฟฟ้าตามผิวครีบนวนครบแรกของ
 ครอบเอาฟิวส์ แบบที่ 2 ครีบท่าโดยป้อนแรงดันที่ 21 kV

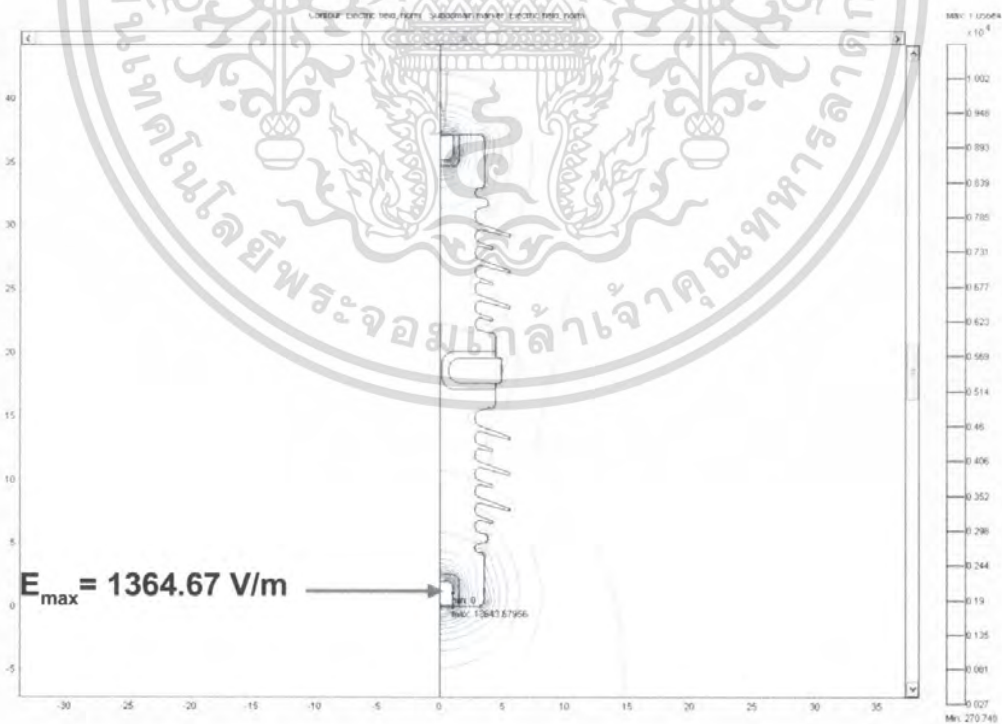


ภาพที่ 4.9 แสดง Dimension ต่างๆของครอบเอาฟิวส์แบบที่ 3 ครีบลับ

เอกสารนี้เป็นเอกสารที่สงวนไว้สำหรับการใช้งานเพื่อการศึกษาเท่านั้น เมื่ออนุญาตให้เผยแพร่โดยไม่เสียค่าใช้จ่าย
 ไม่ว่าจะกรณีใดๆ ทั้งสิ้น อีกทั้งห้ามมิให้ตัดแปลงเนื้อหา และต้องอ้างอิงถึงเจ้าของเอกสารทุกครั้งที่มีการนำไปใช้



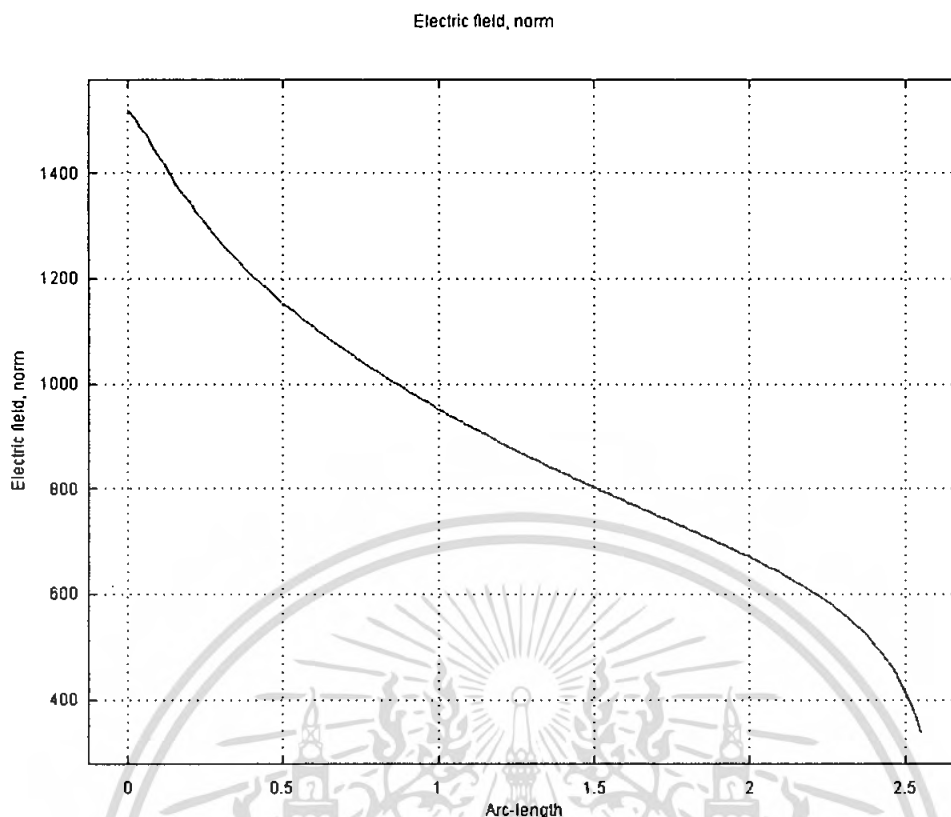
ภาพที่ 4.10 แสดงการกระจายของแรงดันไฟฟ้าตามผิวฉนวนของดรออปเอาร์ทิวส์แบบที่ 3 ครีปสลับ โดยป้อนแรงดันที่ 21 kV



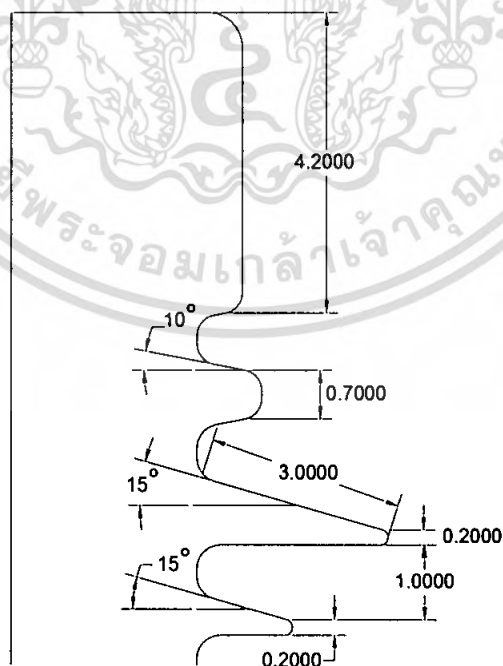
ภาพที่ 4.11 แสดงการกระจายความเครียดสนามไฟฟ้าตามผิวฉนวนของดรออปเอาร์ทิวส์

แบบที่ 3 ครีป สลัปโดยป้อนแรงดันที่ 21 kV

เอกสารนี้เป็นเอกสารที่สงวนไว้สำหรับการใช้งานเพื่อการศึกษาเท่านั้น ไม่อนุญาตให้นำไปใช้ประโยชน์ด้านการค้า ไม่ว่าจะกรณีใดๆ ทั้งสิ้น อีกทั้งห้ามมิให้ดัดแปลงเนื้อหา และต้องอ้างอิงถึงเจ้าของเอกสารทุกครั้งที่มีการนำไปใช้

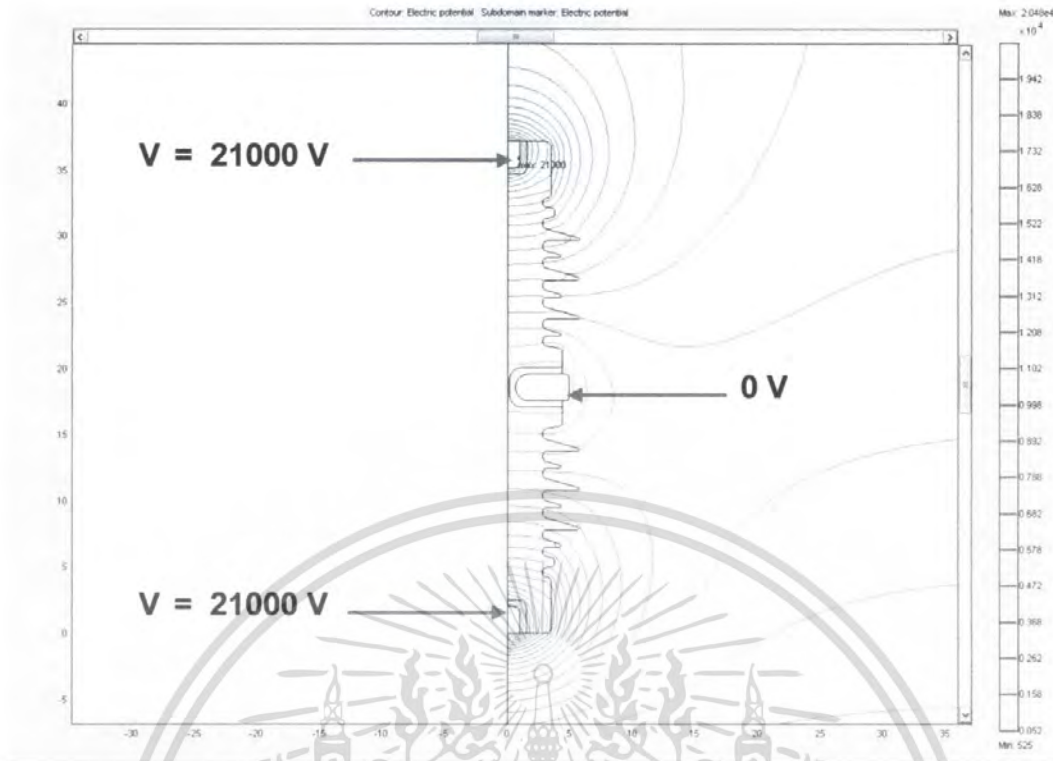


ภาพที่ 4.12 การวิเคราะห์ค่าความเครียดของสนามไฟฟ้าตามผิวครีบนวนครีบบแรกของ
 ครอบเอาร์ทไฟวส์ แบบที่ 3 ครีบบลับโดยป้อนแรงดันที่ 21 kV

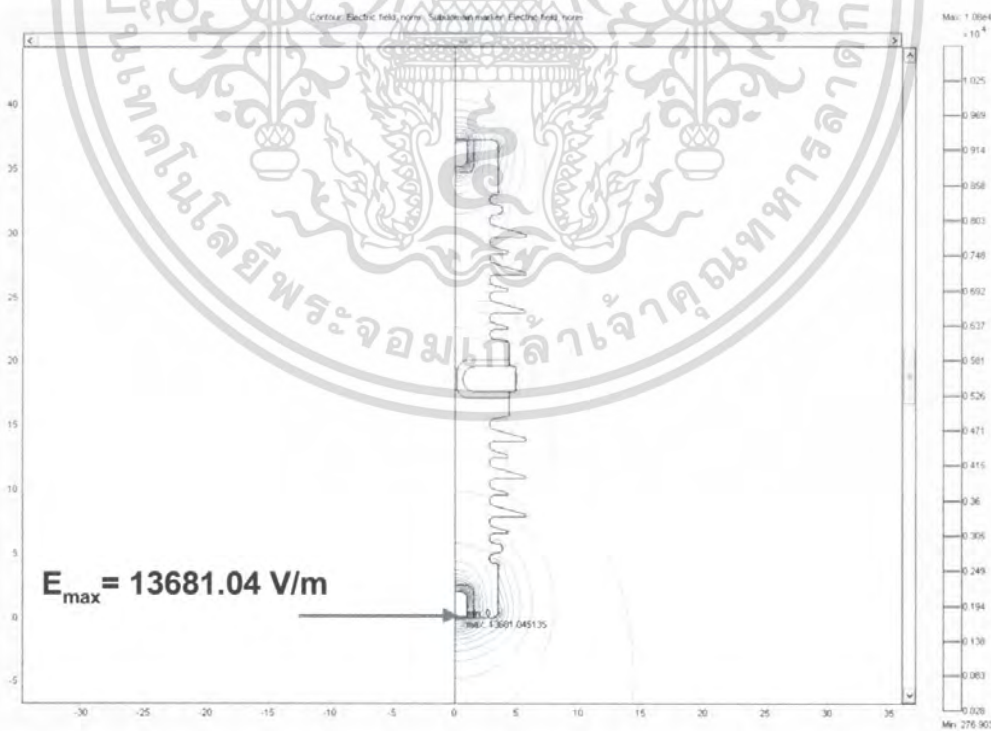


ภาพที่ 4.13 แสดง Dimension ต่าง ๆ ของครอบเอาร์ทไฟวส์แบบที่ 4 ครีบบลับ

เอกสารนี้เป็นเอกสารที่สงวนไว้สำหรับการใช้งานเพื่อการศึกษาเท่านั้น ไม่อนุญาตให้นำไปใช้ประโยชน์ด้านการค้า
 ไม่ว่ากรณีใดๆ ทั้งสิ้น อีกทั้งห้ามมิให้ตัดแปลงเนื้อหา และต้องอ้างอิงถึงเจ้าของเอกสารทุกครั้งที่มีการนำไปใช้



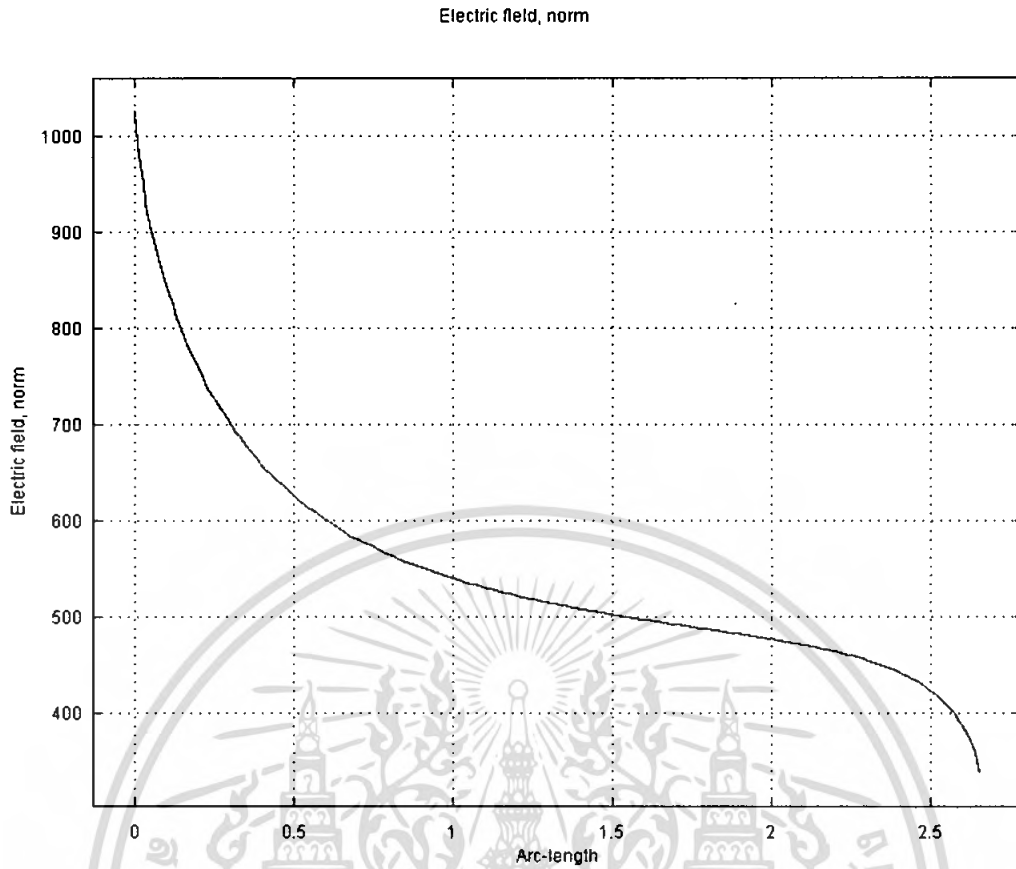
ภาพที่ 4.14 แสดงการกระจายของแรงดันไฟฟ้าตามผิวฉนวนของดรอพเอาต์พิวส์ แบบที่ 4 ครีบลับ โดยป้อนแรงดันที่ 21 kV



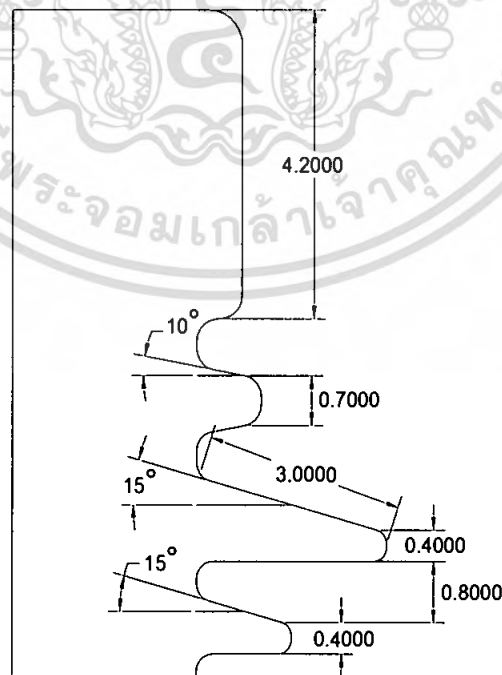
ภาพที่ 4.15 แสดงการกระจายความเครียดสนามไฟฟ้าตามผิวฉนวนของดรอพเอาต์พิวส์

แบบที่ 4 ครีบลับโดยป้อนแรงดันที่ 21 kV

เอกสารนี้เป็นเอกสารที่สงวนไว้สำหรับการใช้งานเพื่อการศึกษาเท่านั้น ไม่อนุญาตให้นำไปใช้ประโยชน์ด้านการค้า ไม่ว่าจะกรณีใดๆ ทั้งสิ้น อีกทั้งห้ามมิให้ตัดแปลงเนื้อหา และต้องอ้างอิงถึงเจ้าของเอกสารทุกครั้งที่มีการนำไปใช้

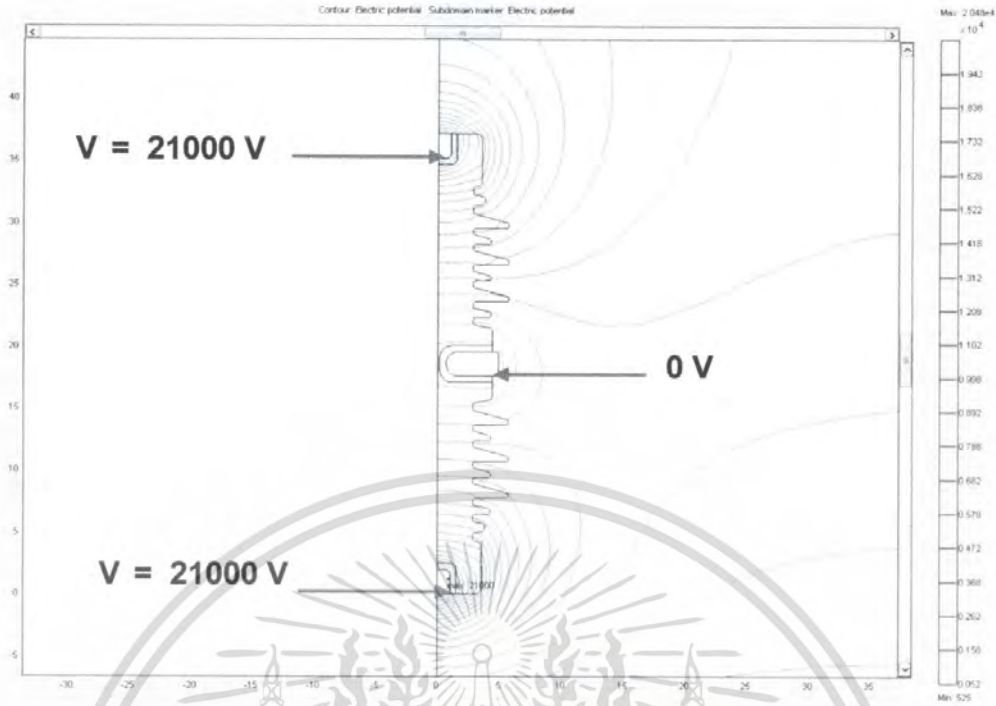


ภาพที่ 4.16 การวิเคราะห์ค่าความเครียดของสนามไฟฟ้าตามผิวครีบนวนครีบบแรกของ
 ครอบเอาต์พิวส์ แบบที่ 4 ครีบลับโดยป้อนแรงดันที่ 21 kV

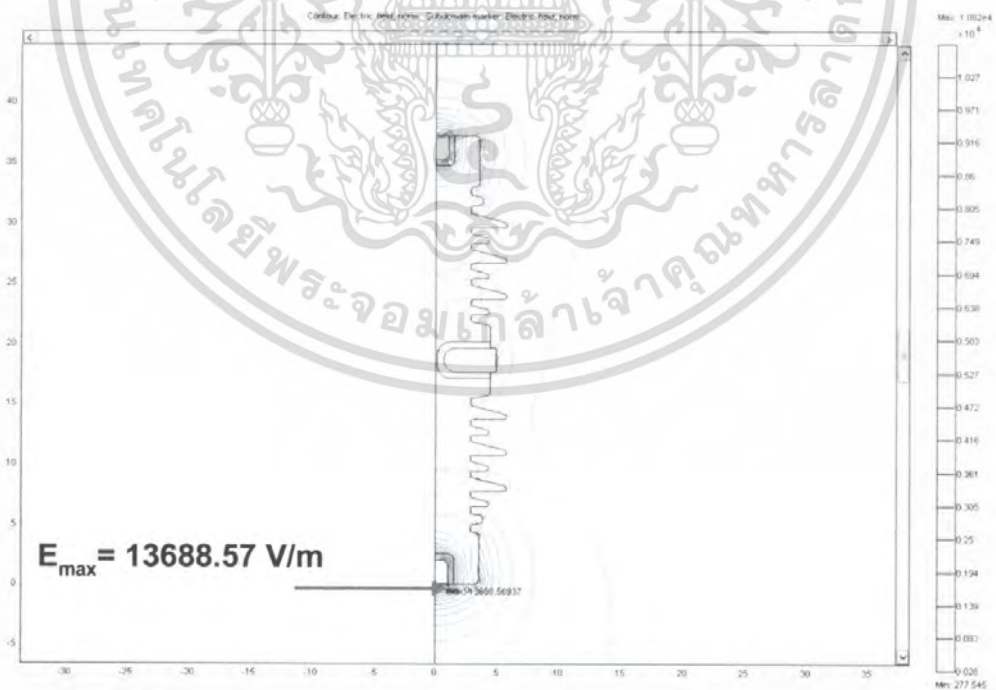


ภาพที่ 4.17 แสดง Dimension ต่างๆของครอบเอาต์พิวส์แบบที่ 5 ครีบลับ

เอกสารนี้เป็นเอกสารที่สงวนไว้สำหรับการใช้งานเพื่อการศึกษาเท่านั้น ไม่นิยมนำไปใช้ประโยชน์ด้านการค้า
 ไม่ว่ากรณีใดๆ ทั้งสิ้น อีกทั้งห้ามมิให้ตัดแปลงเนื้อหา และต้องอ้างอิงถึงเจ้าของเอกสารทุกครั้งที่มีการนำไปใช้

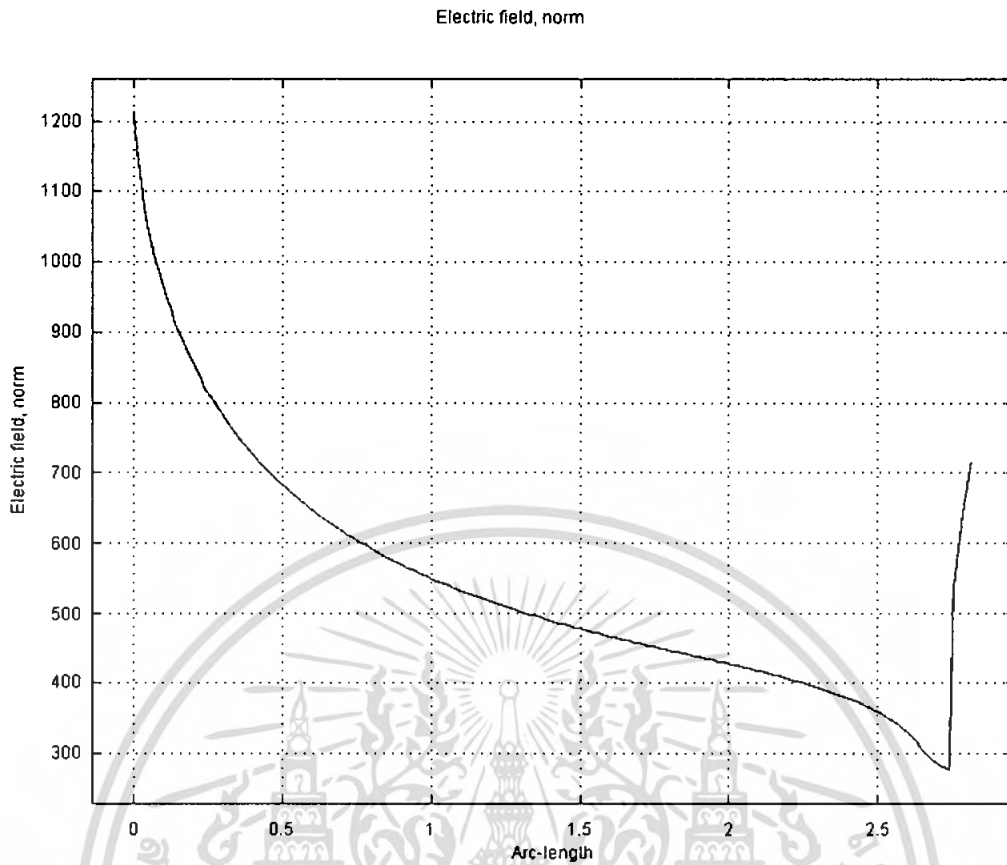


ภาพที่ 4.18 แสดงการกระจายของแรงดันไฟฟ้าตามผิวฉนวนของดรออปเอาร์ทไฟฟส์ แบบที่ 5 ครีบสลับ โดยป้อนแรงดันที่ 21 kV

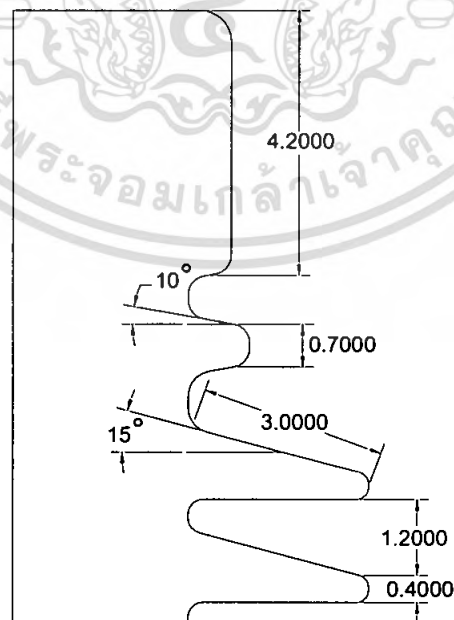


ภาพที่ 4.19 แสดงการกระจายความเครียดสนามไฟฟ้าตามผิวฉนวนของดรออปเอาร์ทไฟฟส์

เอกสารนี้เป็นเอกสารแบบที่ 5 ครีบสลับโดยป้อนแรงดันที่ 21 kV นั้น ไม่อนุญาตให้นำไปใช้ประโยชน์ด้านการค้า ไม่ว่าจะกรณีใดๆ ทั้งสิ้น อีกทั้งห้ามมิให้ตัดแปลงเนื้อหา และต้องอ้างอิงถึงเจ้าของเอกสารทุกครั้งที่มีการนำไปใช้

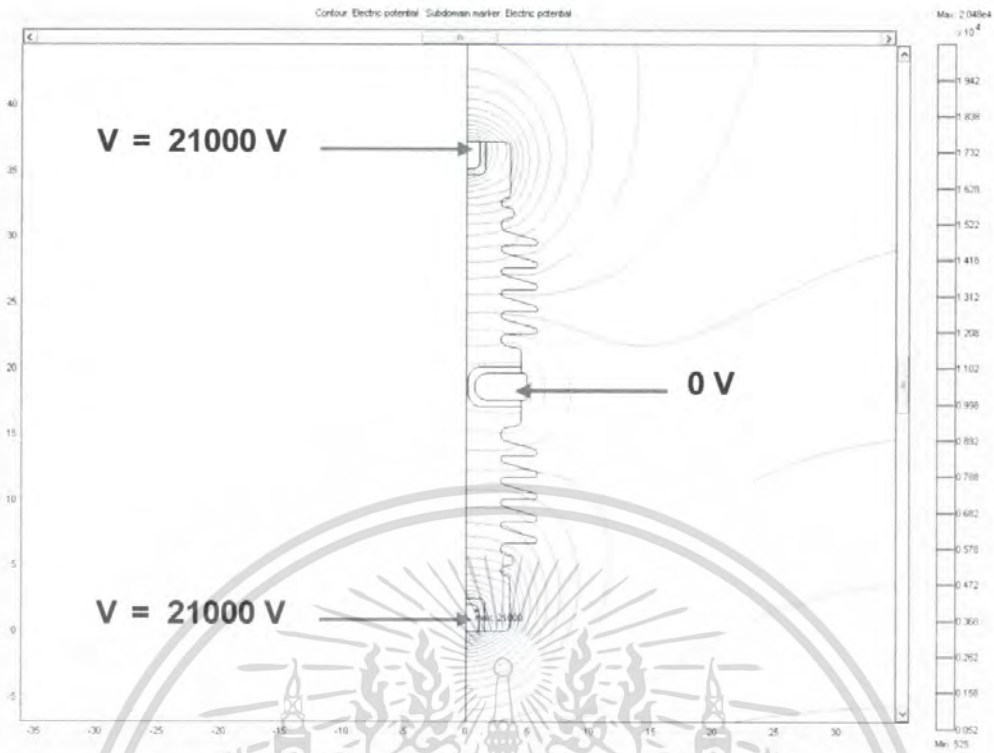


ภาพที่ 4.20 การวิเคราะห์ค่าความเครียดของสนามไฟฟ้าตามผิวครีบนวนครีบบแรกของ
 ครอบเออร์ทีฟิวส์ แบบที่ 5 ครีบลับโดยป้อนแรงดันที่ 21 kV

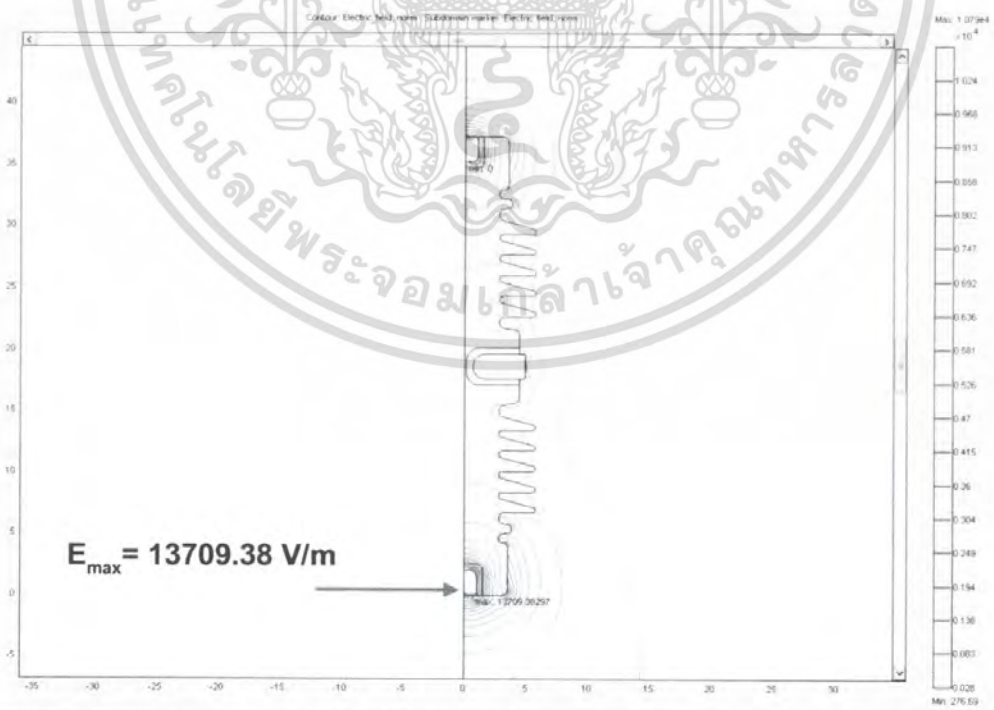


ภาพที่ 4.21 แสดง Dimension ต่างๆของครอบเออร์ทีฟิวส์แบบที่ 6 ครีบท่า (ภาคอุตสาหกรรม)

เอกสารนี้เป็นเอกสารที่สงวนไว้สำหรับการใช้งานเพื่อการศึกษาเท่านั้น ไม่อนุญาตให้นำไปใช้ประโยชน์ด้านการค้า
 ไม่ว่ากรณีใดๆ ทั้งสิ้น อีกทั้งห้ามมิให้ตัดแปลงเนื้อหา และต้องอ้างอิงถึงเจ้าของเอกสารทุกครั้งที่มีการนำไปใช้

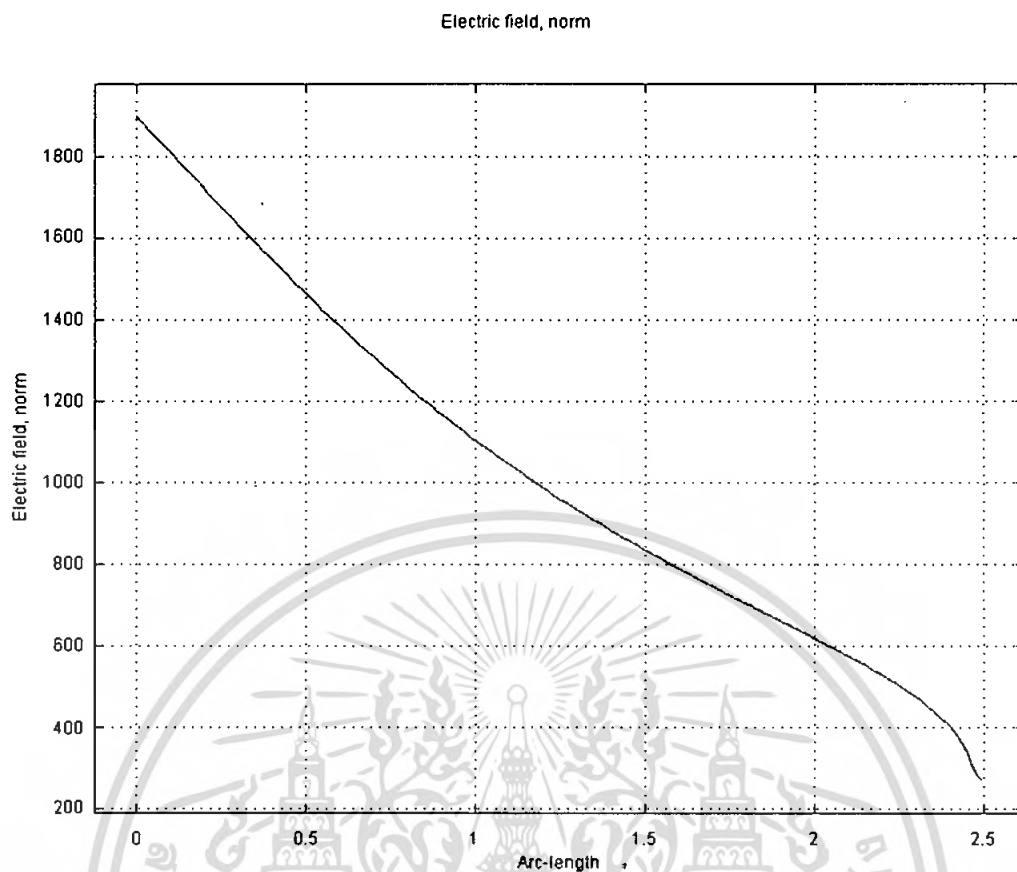


ภาพที่ 4.22 แสดงการกระจายของแรงดันไฟฟ้าตามผิวฉนวนของกรอบเอาร์ทพีวส์ แบบที่ 6 ครีบเท่า โดยป้อนแรงดันที่ 21 kV (ภาคอุตสาหกรรม)

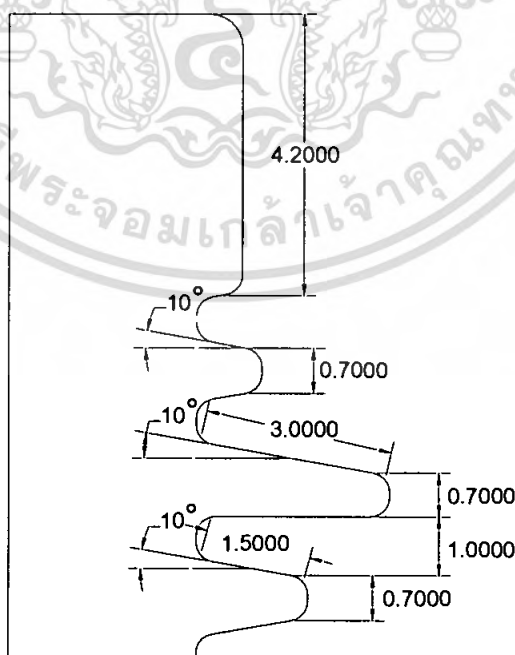


ภาพที่ 4.23 แสดงการกระจายความเครียดสนามไฟฟ้าตามผิวฉนวนของกรอบเอาร์ทพีวส์ แบบที่ 6 ครีบเท่า โดยป้อนแรงดันที่ 21 kV (ภาคอุตสาหกรรม)

เอกสารนี้เป็นเอกสารที่สงวนไว้สำหรับการใช้งานเพื่อการศึกษาเท่านั้น แม้ผู้ดูแลเห็นแก่ประโยชน์ด้านการค้า
ไม่ว่ากรณีใดๆ ทั้งสิ้น อีกทั้งห้ามมิให้ตัดแปลงเนื้อหา และต้องอ้างอิงถึงเจ้าของเอกสารทุกครั้งที่มีการนำไปใช้

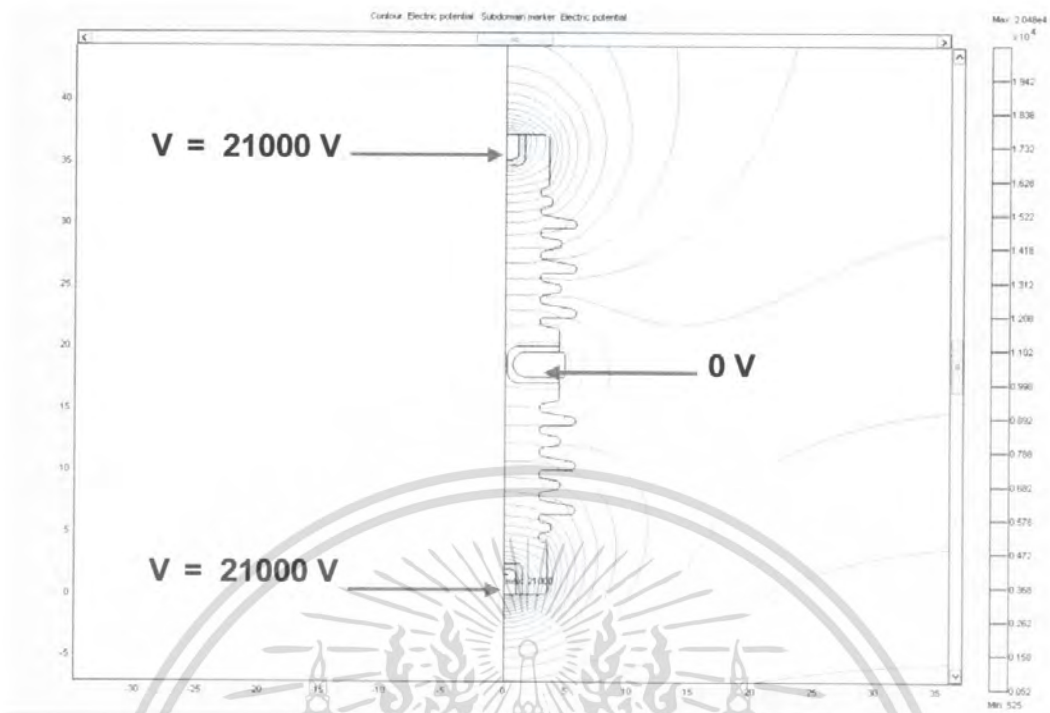


ภาพที่ 4.24 การวิเคราะห์ค่าความเครียดของสนามไฟฟ้าตามผิวครีบนวนครีบบแรกของ
 ครอบเอาร์ทไฟวส์ แบบที่ 6 ครีบท่อโดยป้อนแรงดันที่ 21 kV (ภาคอุตสาหกรรม)

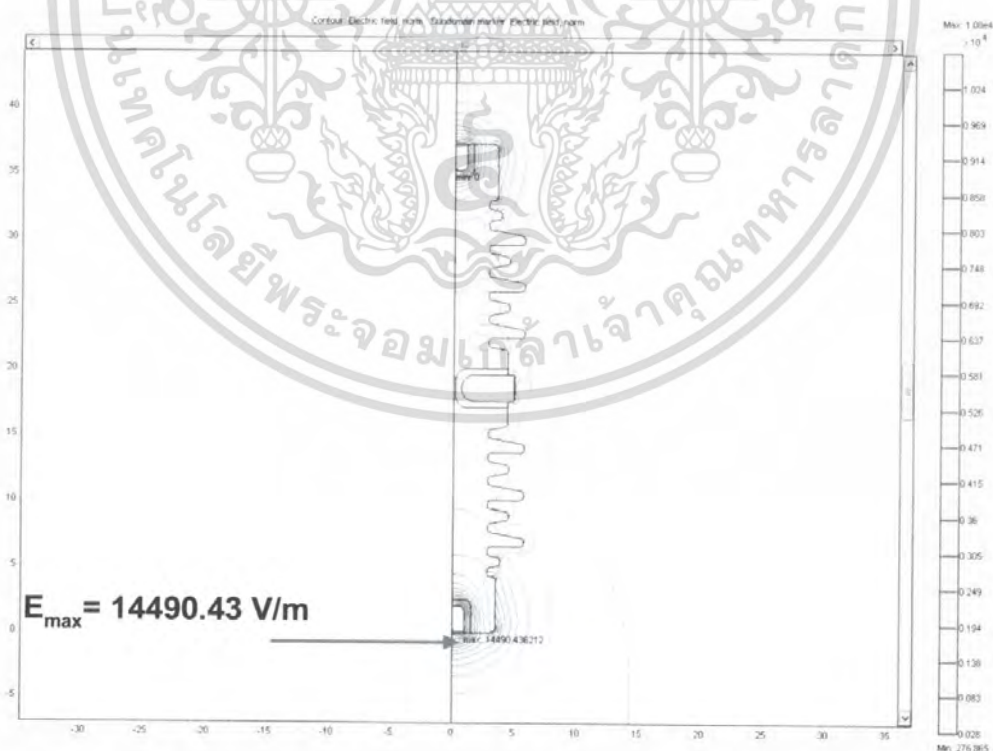


ภาพที่ 4.25 แสดง Dimension ต่างๆของครอบเอาร์ทไฟวส์แบบที่ 7 ครีบบลั๊บ

เอกสารนี้เป็นเอกสารที่สงวนลิขสิทธิ์สำหรับการใช้งานเพื่อการศึกษาเท่านั้น เมื่อผู้ซื้อเห็นหน้าเบาะเบาะระเบียนด้านการค้า
 ไม่ว่าจะกรณีใดๆ ทั้งสิ้น อีกทั้งห้ามมิให้ตัดแปลงเนื้อหา และต้องอ้างอิงถึงเจ้าของเอกสารทุกครั้งที่มีการนำไปใช้

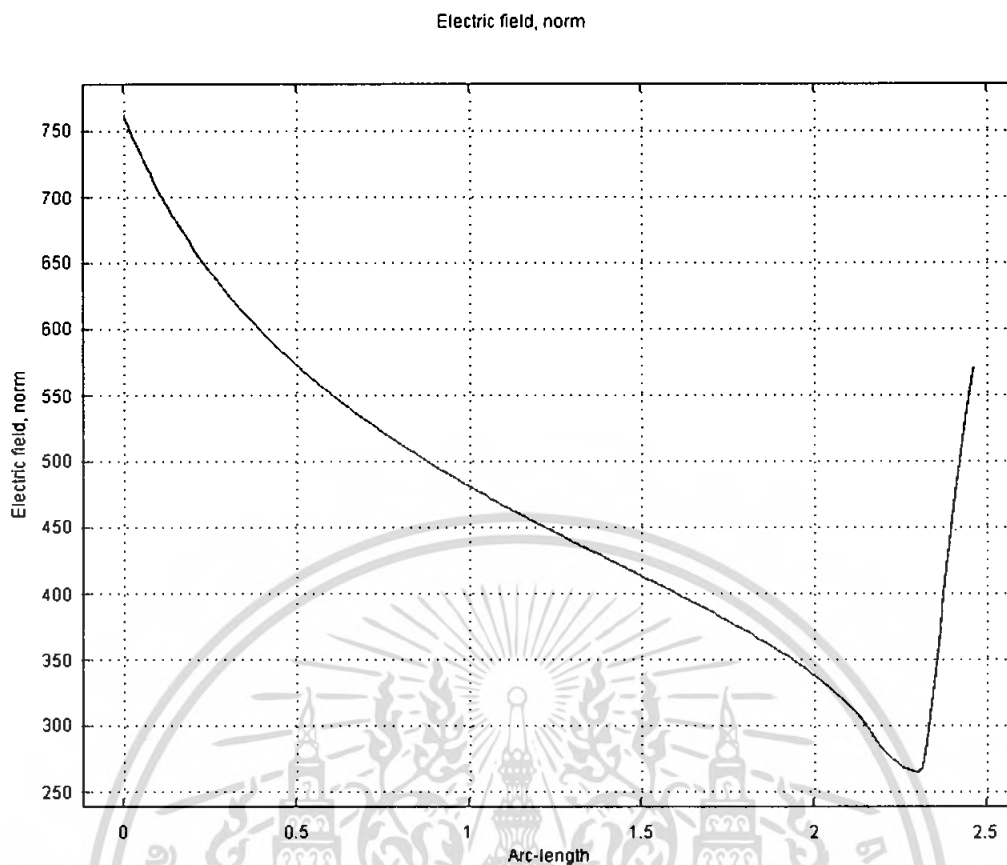


ภาพที่ 4.26 แสดงการกระจายของแรงดันไฟฟ้าตามผิวฉนวนของดรออปเอาร์ทไฟส์ แบบที่ 7 ครีบลับ โดยป้อนแรงดันที่ 21 kV

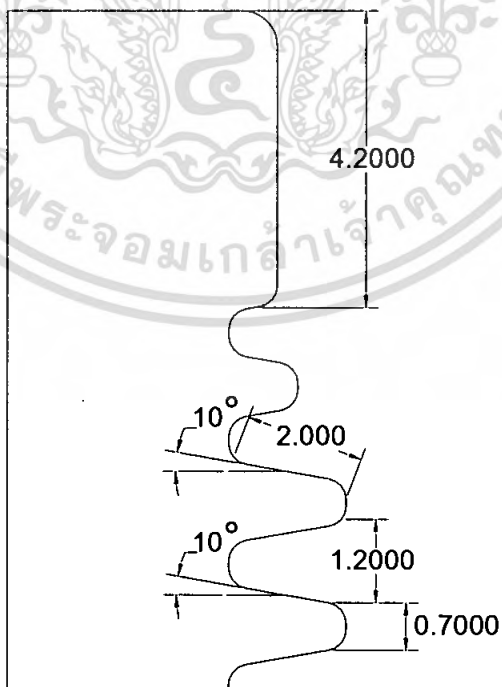


ภาพที่ 4.27 แสดงการกระจายความเครียดสนามไฟฟ้าตามผิวฉนวนของดรออปเอาร์ทไฟส์

เอกสารนี้เป็นเอกสารแบบที่ 7 ครีบลับโดยป้อนแรงดันที่ 21 kV นั้น ไม่อนุญาตให้นำไปใช้ประโยชน์ด้านการค้า ไม่ว่าจะกรณีใดๆ ทั้งสิ้น อีกทั้งห้ามมิให้ตัดแปลงเนื้อหา และต้องอ้างอิงถึงเจ้าของเอกสารทุกครั้งที่มีการนำไปใช้

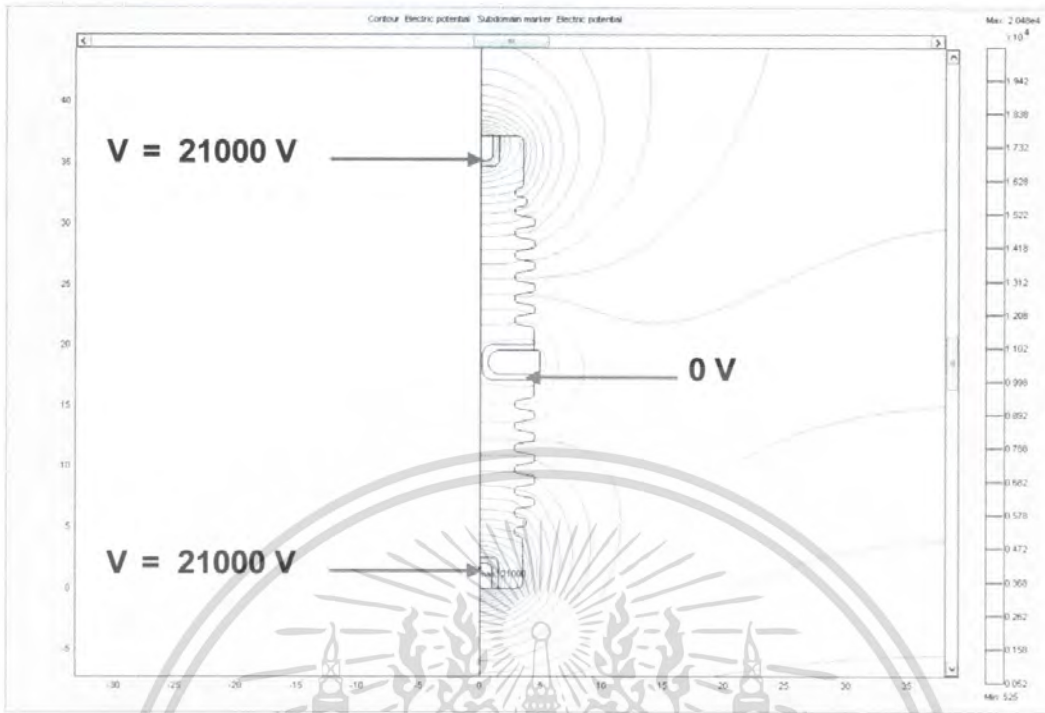


ภาพที่ 4.28 การวิเคราะห์ค่าความเครียดของสนามไฟฟ้าตามผิวครีบนวนครึ่งแรกของครอบเอาต์ไฟวส์ แบบที่ 7 ครีบลับโดยป้อนแรงดันที่ 21 kV

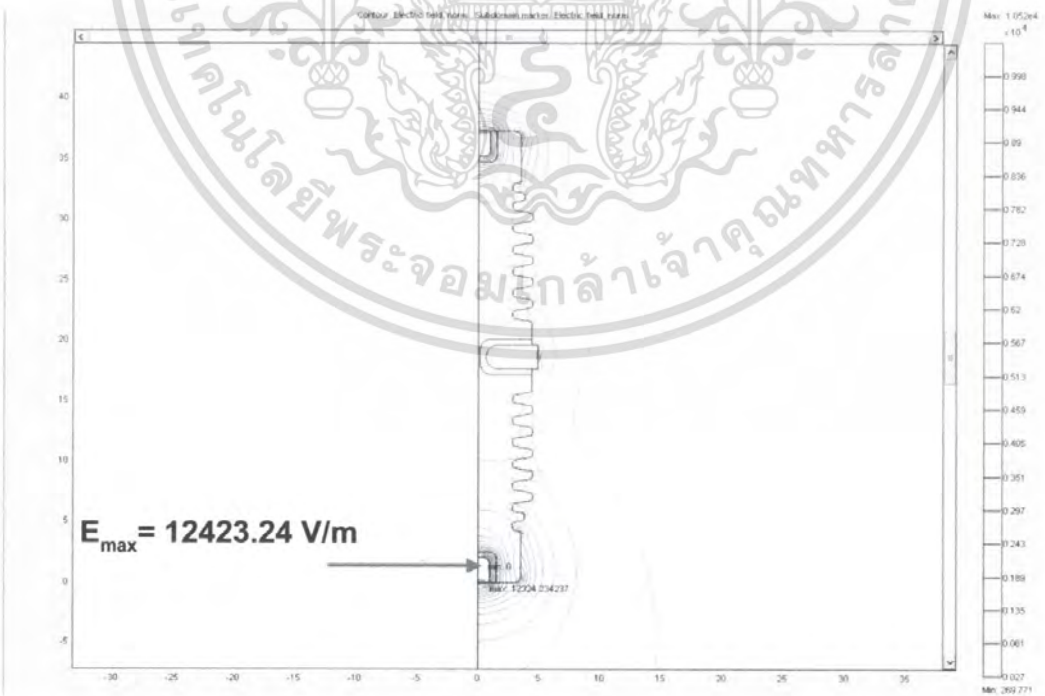


ภาพที่ 4.29 แสดง Dimension ต่างๆของครอบเอาต์ไฟวส์แบบที่ 8 ครีบท่า (ออกแบบใหม่)

เอกสารนี้เป็นเอกสารที่สงวนไว้สำหรับการใช้งานเพื่อการศึกษาเท่านั้น ไม่อนุญาตให้นำไปใช้ประโยชน์ด้านการค้า ไม่ว่าจะกรณีใดๆ ทั้งสิ้น อีกทั้งห้ามมิให้ตัดแปลงเนื้อหา และต้องอ้างอิงถึงเจ้าของเอกสารทุกครั้งที่มีการนำไปใช้

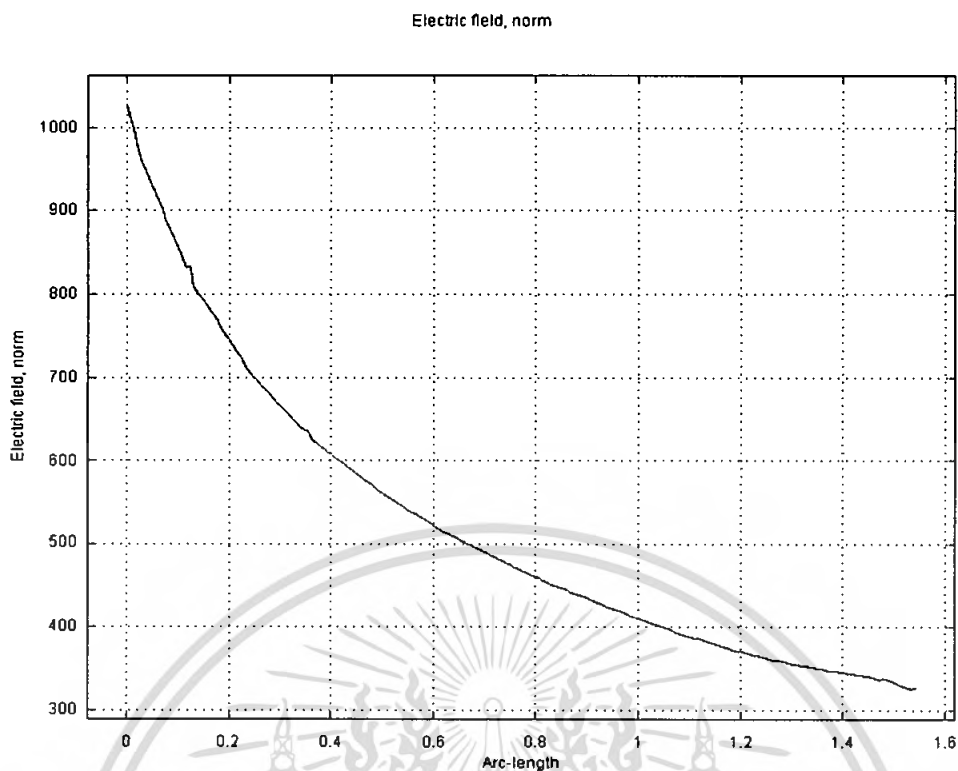


ภาพที่ 4.30 แสดงการกระจายของแรงดันไฟฟ้าตามผิวฉนวนของดรอพเอาร์ทพีวส์ แบบที่ 8 ครีบท่า โดยป้อนแรงดันที่ 21 kV (ออกแบบใหม่)



ภาพที่ 4.31 แสดงการกระจายความเครียดสนามไฟฟ้าตามผิวฉนวนของดรอพเอาร์ทพีวส์ แบบที่ 8 ครีบท่า โดยป้อนแรงดันที่ 21 kV (ออกแบบใหม่)

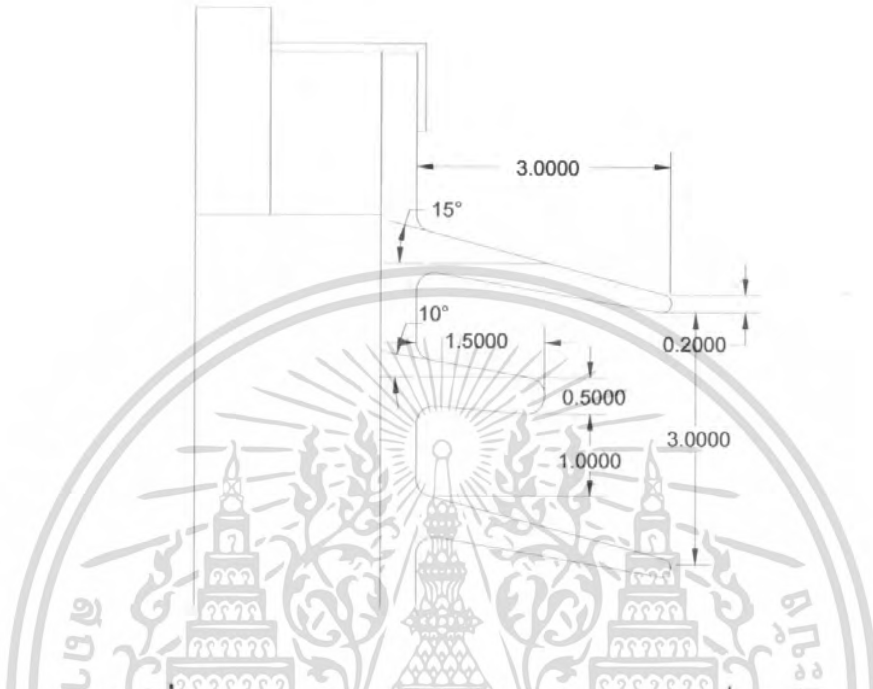
เอกสารนี้เป็นเอกสารที่สงวนไว้สำหรับการใช้งานเพื่อการศึกษาเท่านั้น เมื่อผู้ใช้ได้เห็นว่าไปใช้ประโยชน์ด้านการค้า ไม่ว่าจะกรณีใดๆ ทั้งสิ้น อีกทั้งห้ามมิให้ตัดแปลงเนื้อหา และต้องอ้างอิงถึงเจ้าของเอกสารทุกครั้งที่มีการนำไปใช้



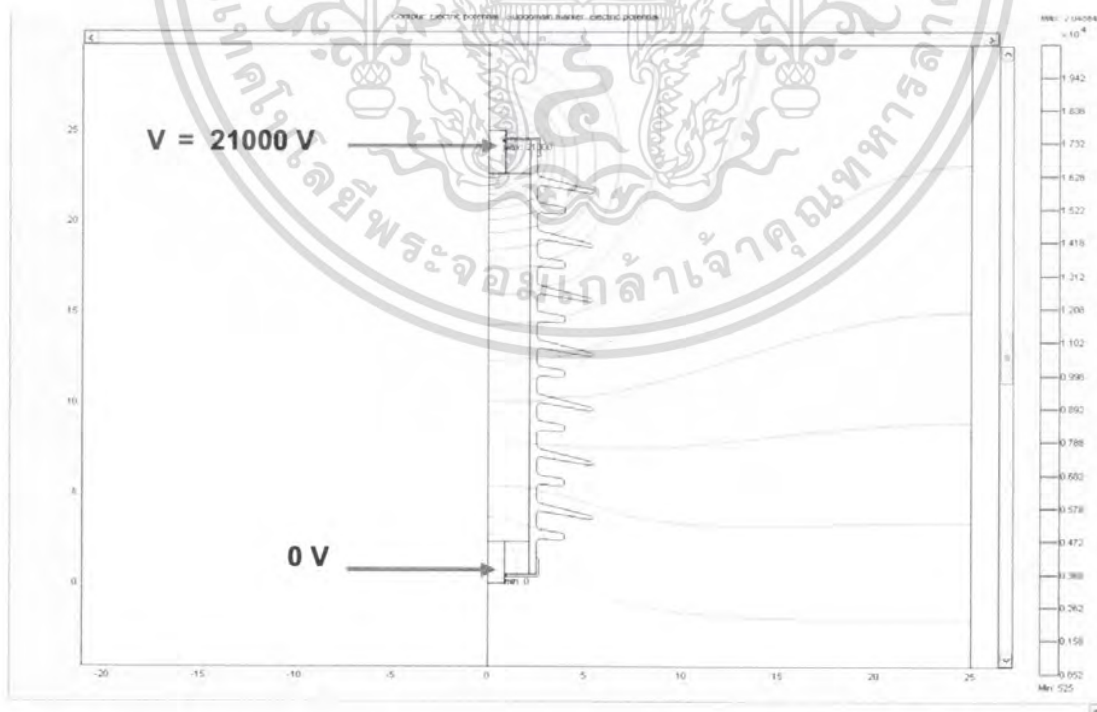
ภาพที่ 4.32 การวิเคราะห์ค่าความเครียดของสนามไฟฟ้าตามผิวคريبจนวนคريبแรกของ
 ครอบเอาร์ทไฟวส์ แบบที่ 8 ครีบท่า โดยป้อนแรงดันที่ 21 kV (ออกแบบใหม่)

เอกสารนี้เป็นเอกสารที่สงวนไว้สำหรับการใช้งานเพื่อการศึกษาเท่านั้น ไม่อนุญาตให้นำไปใช้ประโยชน์ด้านการค้า
 ไม่ว่าจะกรณีใดๆ ทั้งสิ้น อีกทั้งห้ามมิให้ตัดแปลงเนื้อหา และต้องอ้างอิงถึงเจ้าของเอกสารทุกครั้งที่มีการนำไปใช้

4.2 การออกแบบครีบนวนและวิเคราะห์สภาพสนามไฟฟ้าตามผิวฉนวนของ
กับดักฟ้าผ่า

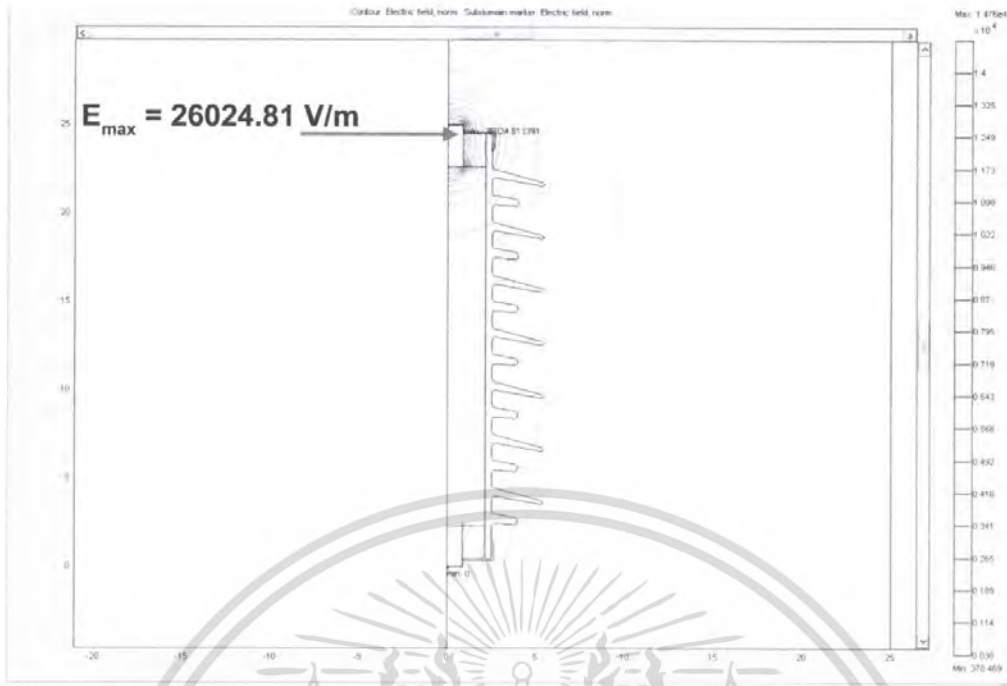


ภาพที่ 4.33 แสดง Dimension ของกับดักฟ้าผ่าแบบที่ 1

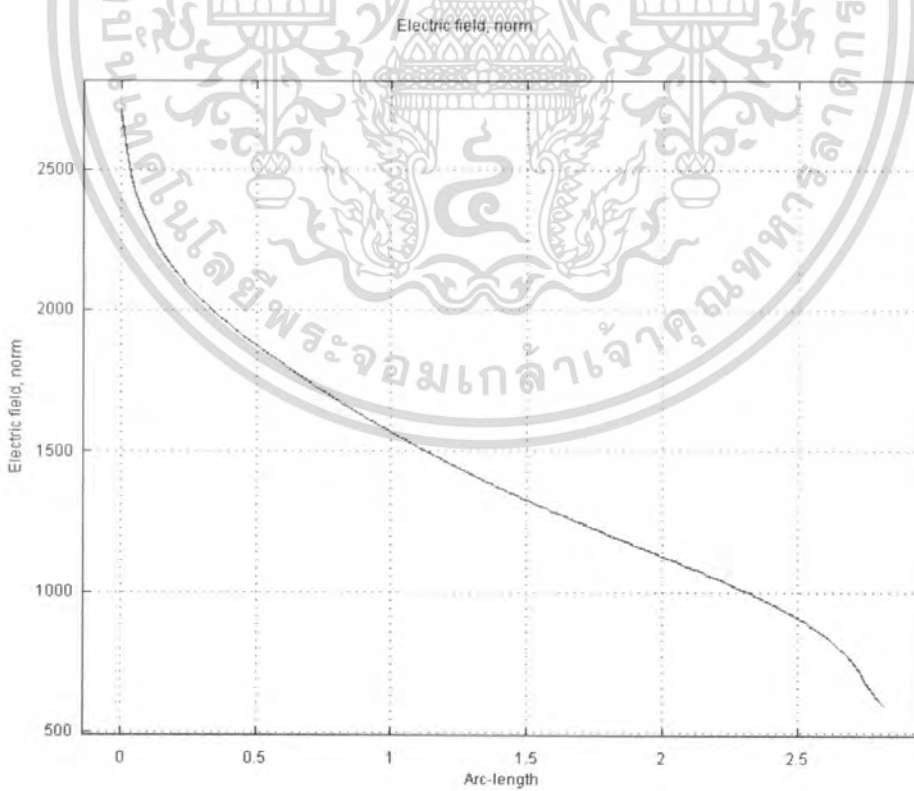


ภาพที่ 4.34 แสดงการกระจายของแรงดันไฟฟ้าตามผิวฉนวนของกับดักฟ้าผ่าแบบที่ 1

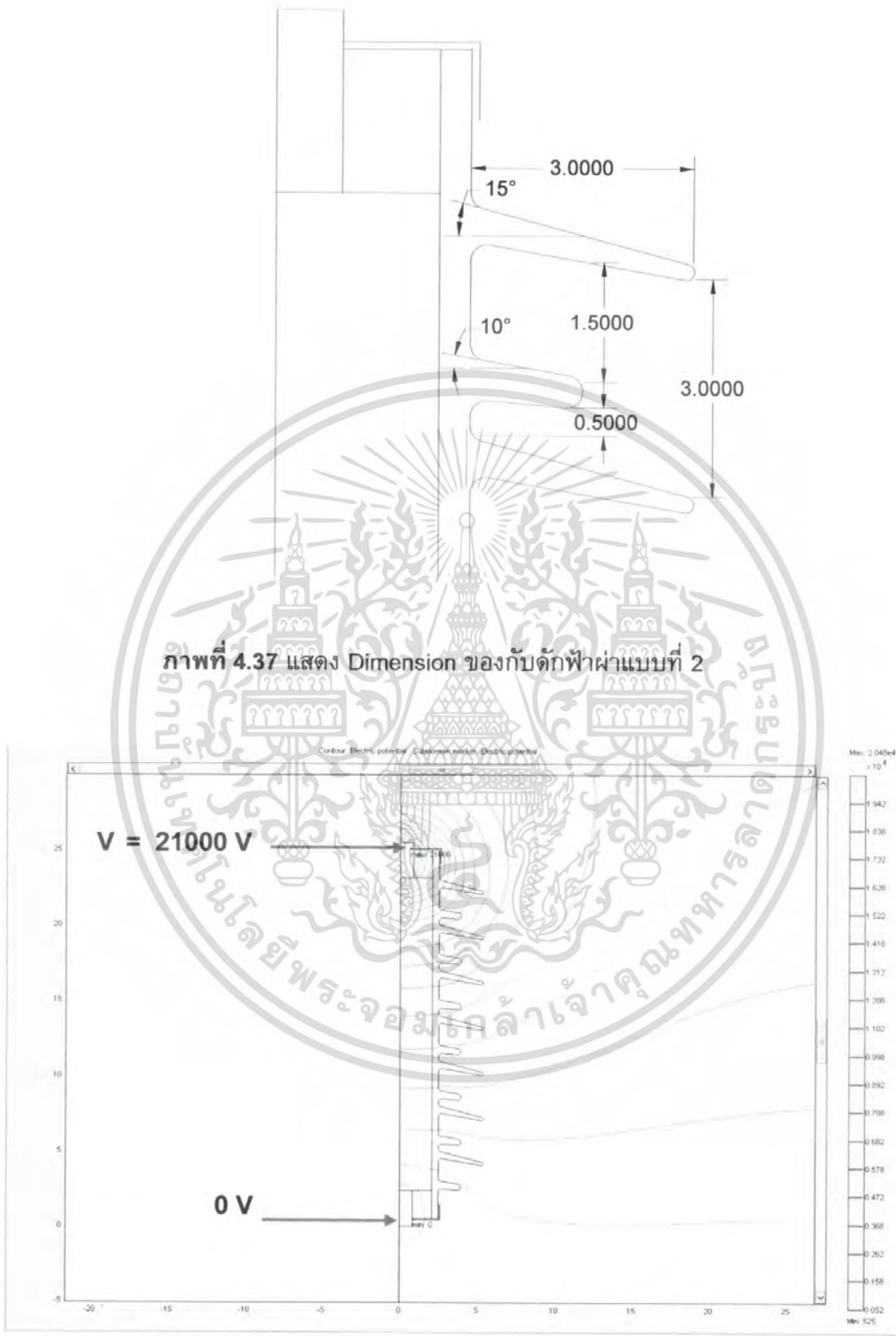
เอกสารนี้เป็นเอกสารโดยป้อนแรงดันที่ 21 kV เพื่อการศึกษาเท่านั้น ไม่อนุญาตให้นำไปใช้ประโยชน์ด้านการค้า
ไม่ว่ากรณีใดๆ ทั้งสิ้น อีกทั้งห้ามมิให้ตัดแปลงเนื้อหา และต้องอ้างอิงถึงเจ้าของเอกสารทุกครั้งที่มีการนำไปใช้



ภาพที่ 4.35 แสดงการกระจายความเครียดสนามไฟฟ้าตามผิวฉนวนของกัณฑ์ไฟฟ้าผ่าแบบที่ 1 โดยป้อนแรงดันที่ 21 kV



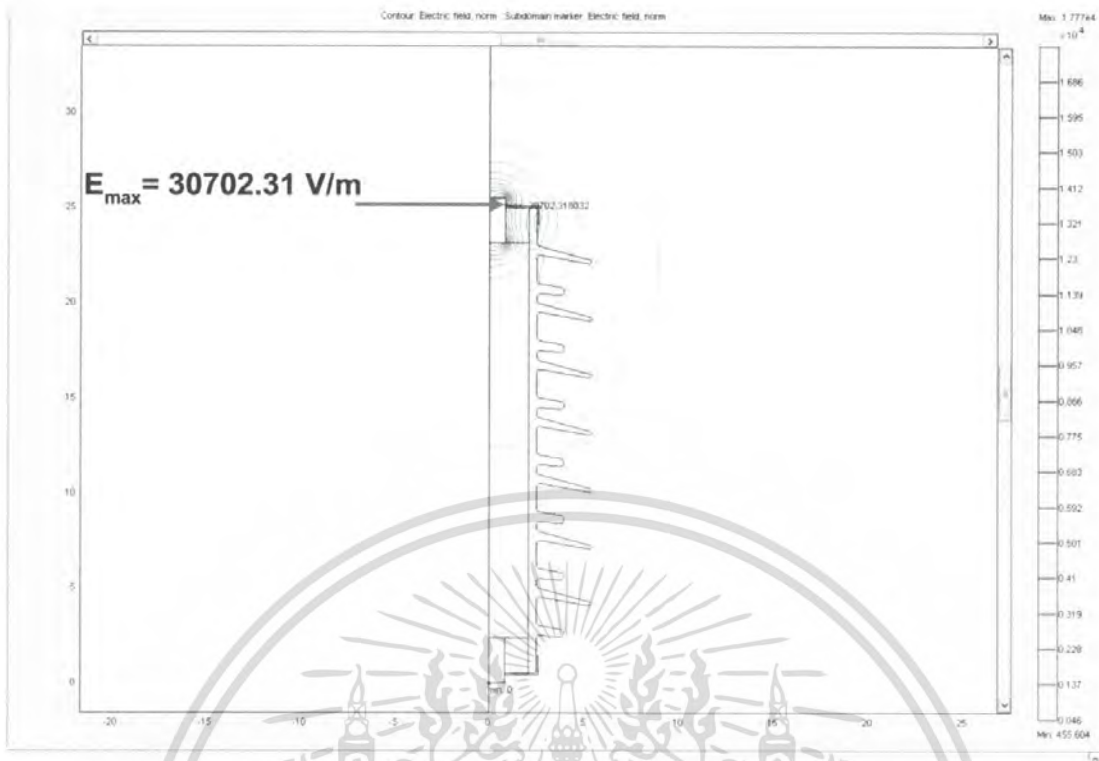
ภาพที่ 4.36 การวิเคราะห์ค่าความเครียดของสนามไฟฟ้าตามผิวฉนวนครีบนครีบนแรกของเอกสารนี้เป็นเอกสารกัณฑ์ไฟฟ้าผ่าแบบที่ 1 โดยป้อนแรงดันที่ 21 kV มอนูญาติให้นำไปใช้ประโยชน์ด้านการค้าไม่ว่ากรณีใดๆ ทั้งสิ้น อีกทั้งห้ามมิให้ตัดแปลงเนื้อหา และต้องอ้างอิงถึงเจ้าของเอกสารทุกครั้งที่มีการนำไปใช้



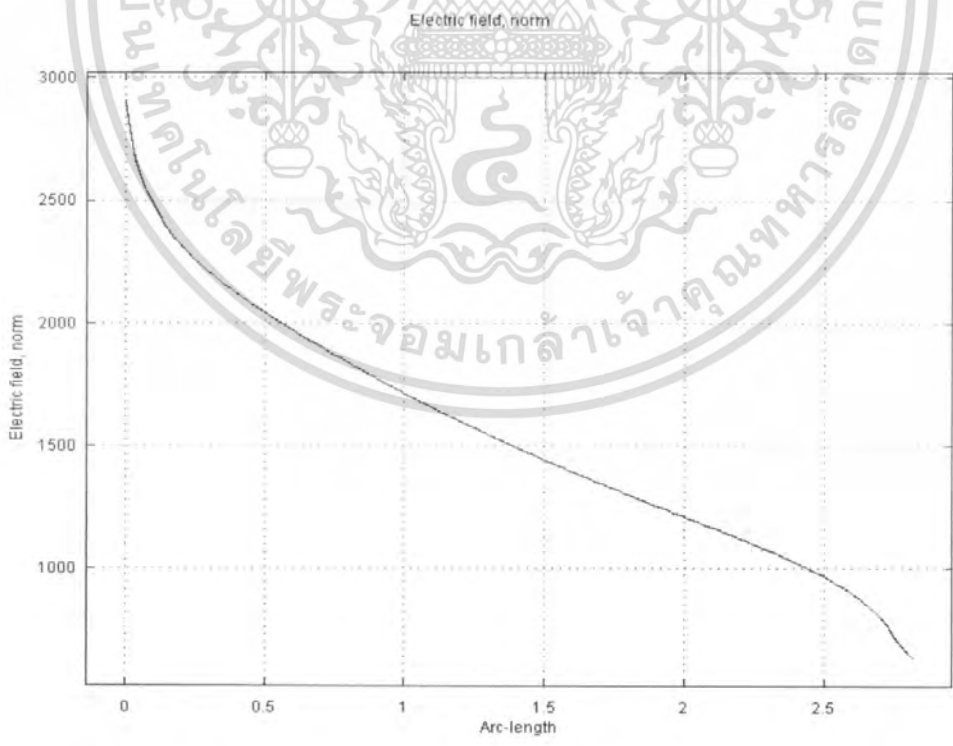
ภาพที่ 4.37 แสดง Dimension ของกับดักฟ้าผ่าแบบที่ 2

ภาพที่ 4.38 แสดงการกระจายของแรงดันไฟฟ้าตามผิวฉนวนของกับดักฟ้าผ่าแบบที่ 2 โดยป้อนแรงดันที่ 21 kV

เอกสารนี้เป็นเอกสารที่สงวนไว้สำหรับการใช้งานเพื่อการศึกษาเท่านั้น ไม่อนุญาตให้นำไปใช้ประโยชน์ด้านการค้า ไม่ว่าจะกรณีใดๆ ทั้งสิ้น อีกทั้งห้ามมิให้ตัดแปลงเนื้อหา และต้องอ้างอิงถึงเจ้าของเอกสารทุกครั้งที่มีการนำไปใช้

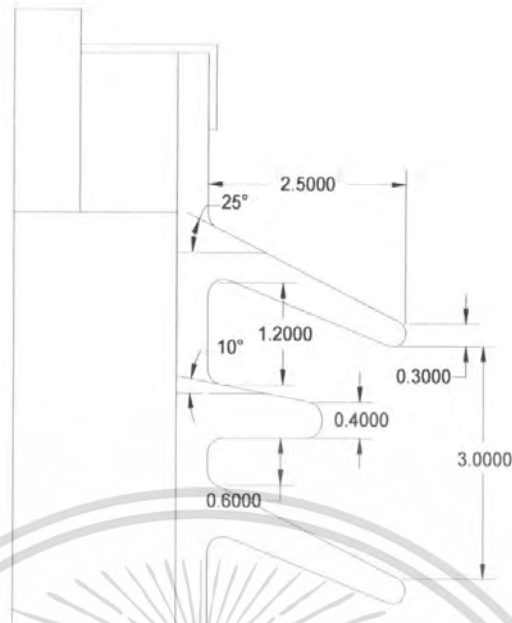


ภาพที่ 4.39 แสดงการกระจายความเครียดสนามไฟฟ้าตามผิวฉนวนของกัับดักฟ้าผ่าแบบที่ 2 โดยป้อนแรงดันที่ 21 kV

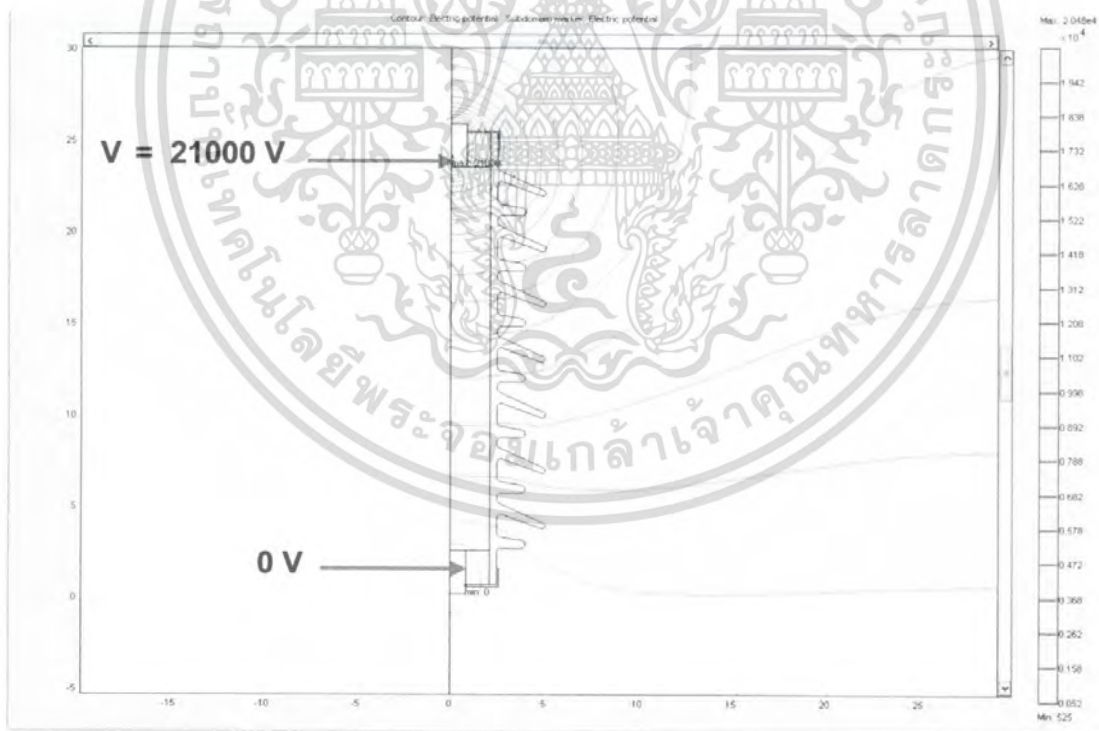


ภาพที่ 4.40 การวิเคราะห์ค่าความเครียดของสนามไฟฟ้าตามผิวฉนวนกรีนแรกของกัับดักฟ้าผ่าแบบที่ 2 โดยป้อนแรงดันที่ 21 kV

เอกสารนี้เป็นเอกสารที่สงวนไว้สำหรับการใช้งานเพื่อการศึกษาเท่านั้น เมื่อนุญาตให้นำไปใช้ประโยชน์ด้านการค้าไม่ว่ากรณีใดๆ ทั้งสิ้น อีกทั้งห้ามมิให้ดัดแปลงเนื้อหา และต้องอ้างอิงถึงเจ้าของเอกสารทุกครั้งที่มีการนำไปใช้

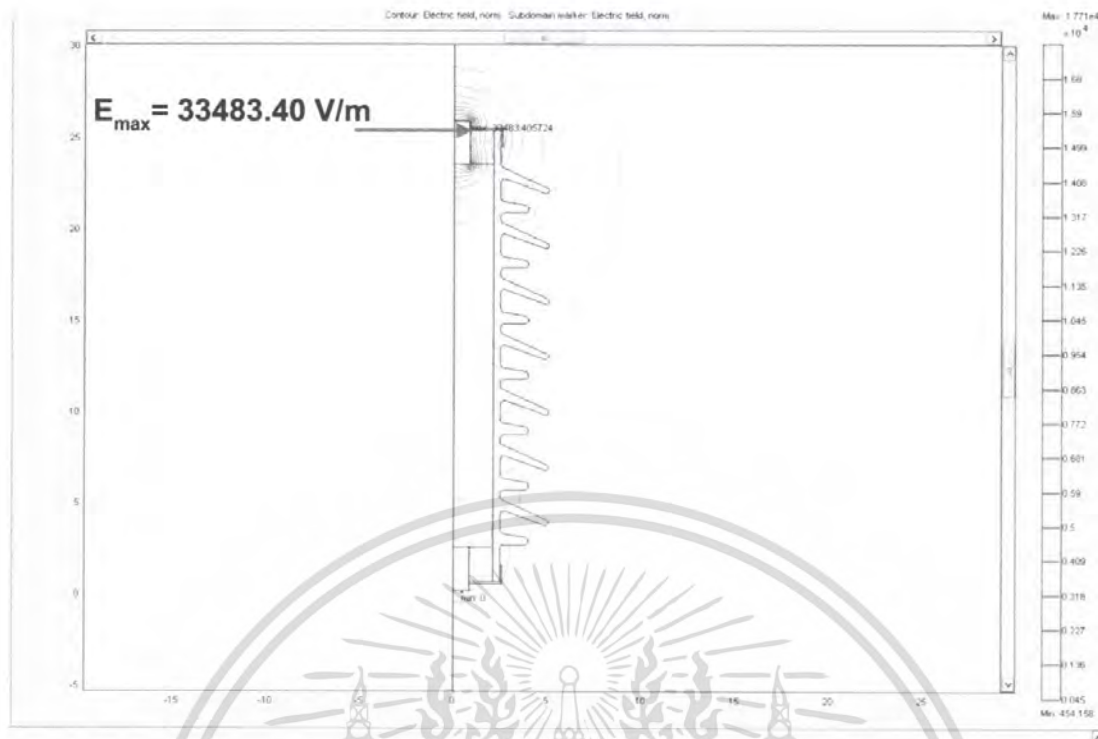


ภาพที่ 4.41 แสดง Dimension ของกับดักฟ้าผ่าแบบที่ 3

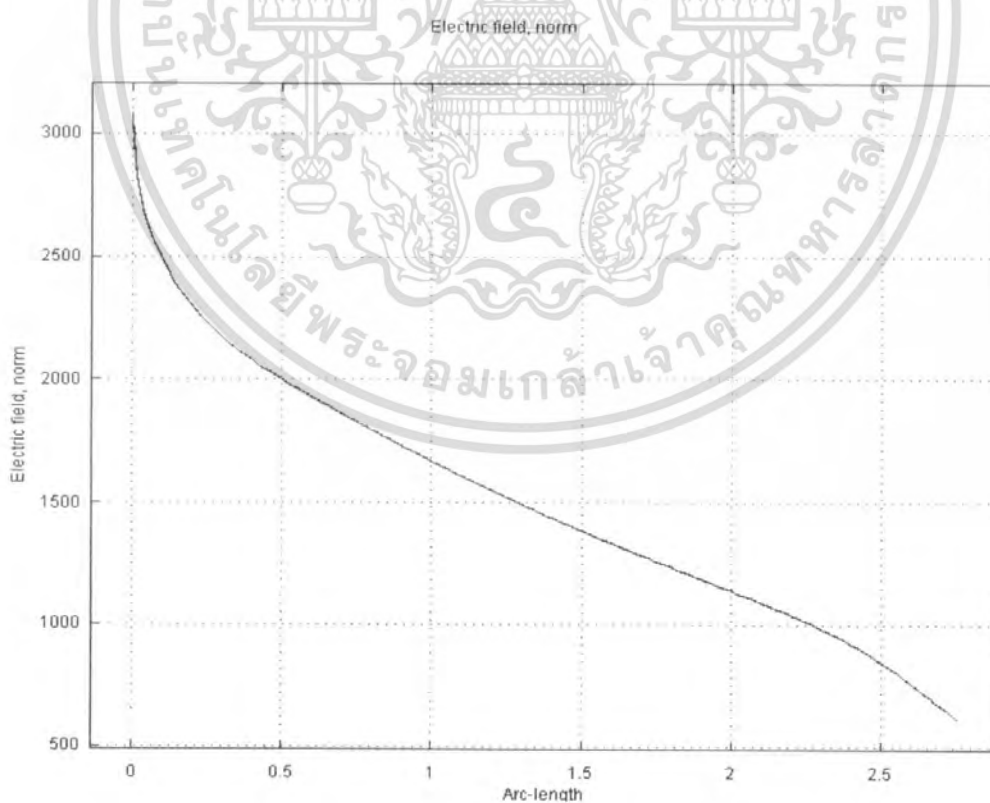


ภาพที่ 4.42 แสดงการกระจายของแรงดันไฟฟ้าตามผิวฉนวนของกับดักฟ้าผ่าแบบที่ 3 โดยป้อนแรงดันที่ 21 kV

เอกสารนี้เป็นเอกสารที่สงวนไว้สำหรับการใช้งานเพื่อการศึกษาเท่านั้น ไม่อนุญาตให้นำไปใช้ประโยชน์ด้านการค้า ไม่ว่าจะกรณีใดๆ ทั้งสิ้น อีกทั้งห้ามมิให้ดัดแปลงเนื้อหา และต้องอ้างอิงถึงเจ้าของเอกสารทุกครั้งที่มีการนำไปใช้

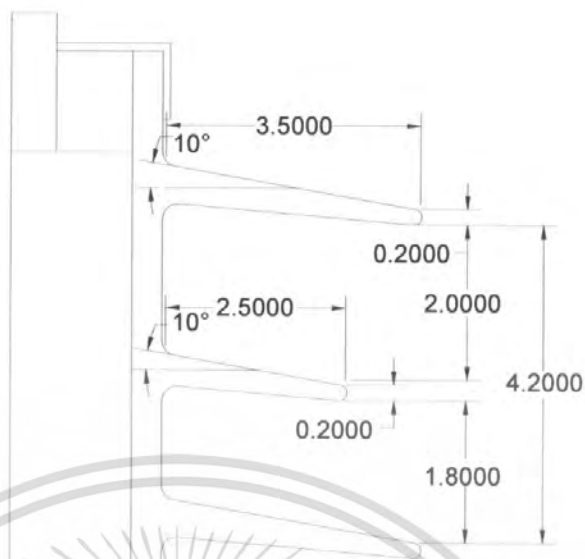


ภาพที่ 4.43 แสดงการกระจายความเครียดสนามไฟฟ้าตามผิวฉนวนของกัณฑ์ฟ้าผ่าแบบที่ 3 โดยป้อนแรงดันที่ 21 kV

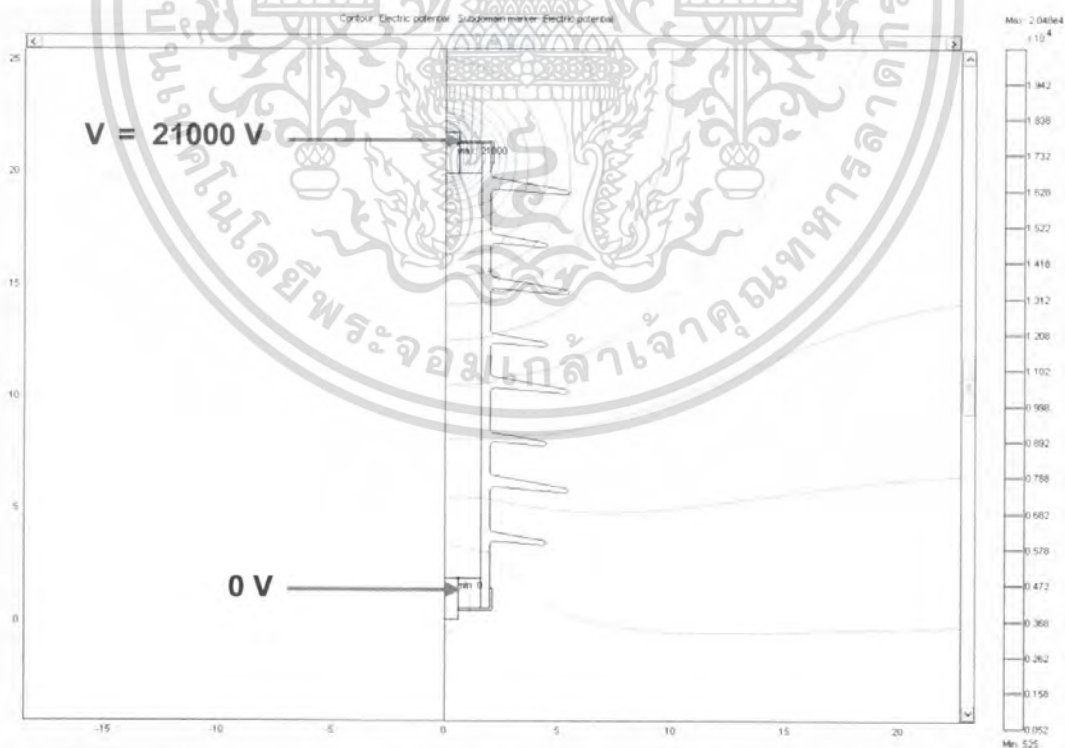


ภาพที่ 4.44 การวิเคราะห์ค่าความเครียดของสนามไฟฟ้าตามผิวฉนวนครีบนแรกของ

เอกสารนี้เป็นเอกสารที่สงวนลิขสิทธิ์ภายใต้การดูแลของสถาบันวิจัยและพัฒนาเทคโนโลยีพระจอมเกล้าเจ้าคุณทหารลาดกระบัง อนุญาตให้นำไปใช้ประโยชน์ด้านการค้าไม่ว่ากรณีใดๆ ทั้งสิ้น อีกทั้งห้ามมิให้ตัดแปลงเนื้อหา และต้องอ้างอิงถึงเจ้าของเอกสารทุกครั้งที่มีการนำไปใช้



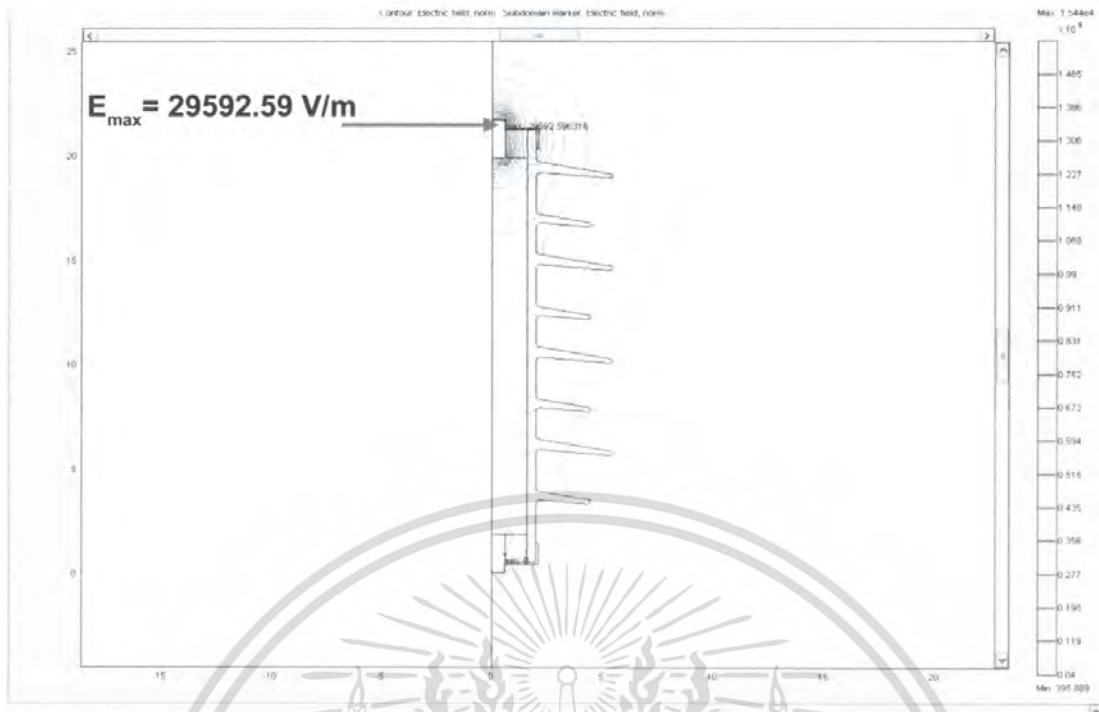
ภาพที่ 4.45 แสดง Dimension ของกับดักฟ้าผ่าแบบที่ 4



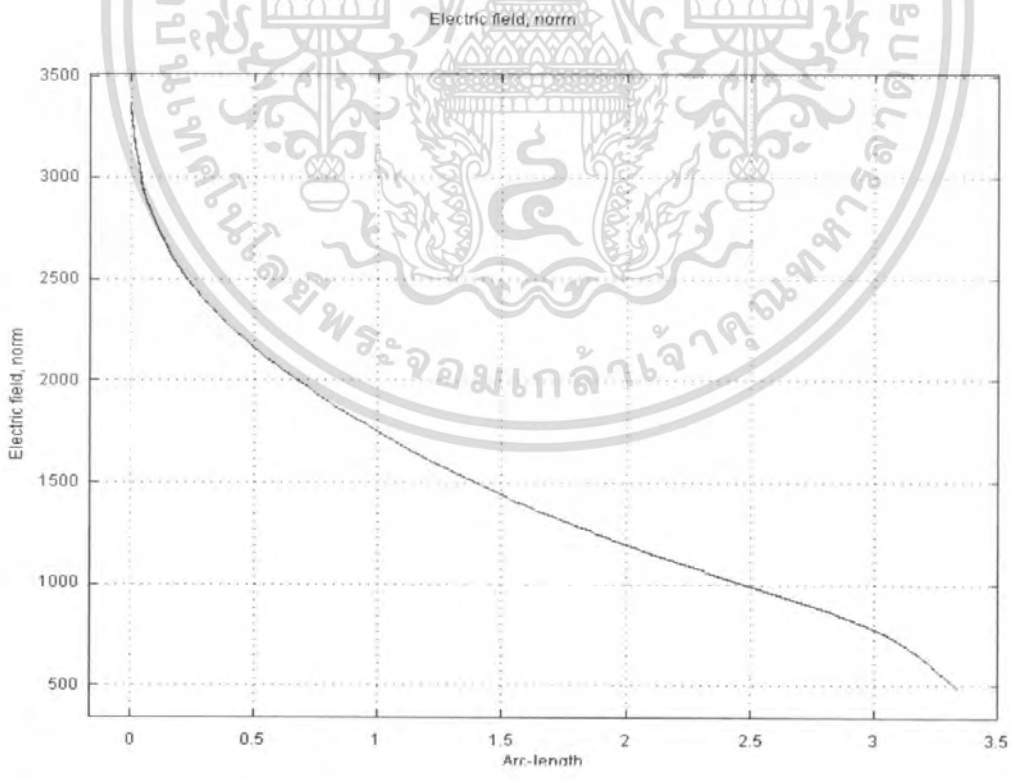
ภาพที่ 4.46 แสดงการกระจายของแรงดันไฟฟ้าตามผิวฉนวนของกับดักฟ้าผ่าแบบที่ 4

โดยป้อนแรงดันที่ 21 kV

เอกสารนี้เป็นเอกสารที่สงวนไว้สำหรับการใช้งานเพื่อการศึกษาเท่านั้น ไม่อนุญาตให้นำไปใช้ประโยชน์ด้านการค้า ไม่ว่าจะกรณีใดๆ ทั้งสิ้น อีกทั้งห้ามมิให้ตัดแปลงเนื้อหา และต้องอ้างอิงถึงเจ้าของเอกสารทุกครั้งที่มีการนำไปใช้



ภาพที่ 4.47 แสดงการกระจายความเครียดสนามไฟฟ้าตามผิวฉนวนของกับดักฟ้าผ่าแบบที่ 4 โดยป้อนแรงดันที่ 21 kV



ภาพที่ 4.48 การวิเคราะห์ค่าความเครียดของสนามไฟฟ้าตามผิวฉนวนครีบนครีบแรกของกับดักฟ้าผ่าแบบที่ 4 โดยป้อนแรงดันที่ 21 kV

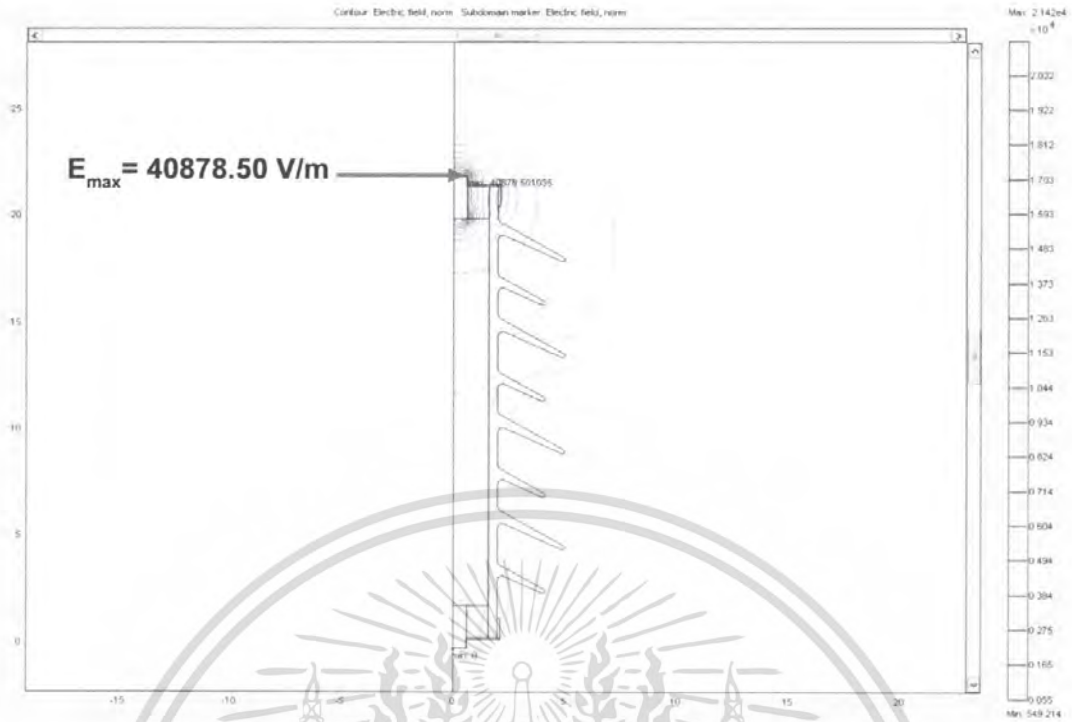
เอกสารนี้เป็นเอกสารที่สงวนไว้สำหรับการใช้งานเพื่อการศึกษาเท่านั้น ไม่อนุญาตให้นำไปใช้ประโยชน์ด้านการค้าไม่ว่ากรณีใดๆ ทั้งสิ้น อีกทั้งห้ามมิให้ตัดแปลงเนื้อหา และต้องอ้างอิงถึงเจ้าของเอกสารทุกครั้งที่มีการนำไปใช้



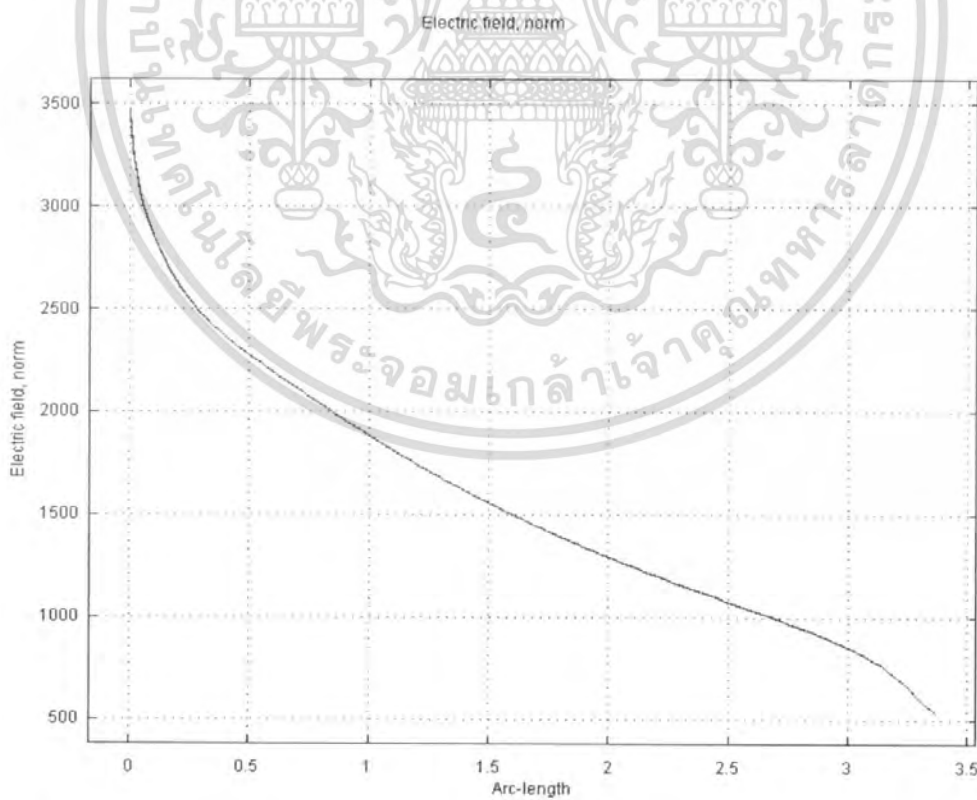
ภาพที่ 4.49 แสดง Dimension ของกัณฑ์ฟ้าผ่าแบบที่ 5 (ภาคอุตสาหกรรม)

ภาพที่ 4.50 แสดงการกระจายของแรงดันไฟฟ้าตามผิวฉนวนของกัณฑ์ฟ้าผ่าแบบที่ 5 โดยป้อนแรงดันที่ 21 kV (ภาคอุตสาหกรรม)

เอกสารนี้เป็นเอกสารที่สงวนไว้สำหรับการใช้งานเพื่อการศึกษาเท่านั้น ไม่อนุญาตให้นำไปใช้ประโยชน์ด้านการค้า ไม่ว่าจะกรณีใดๆ ทั้งสิ้น อีกทั้งห้ามมิให้ตัดแปลงเนื้อหา และต้องอ้างอิงถึงเจ้าของเอกสารทุกครั้งที่มีการนำไปใช้



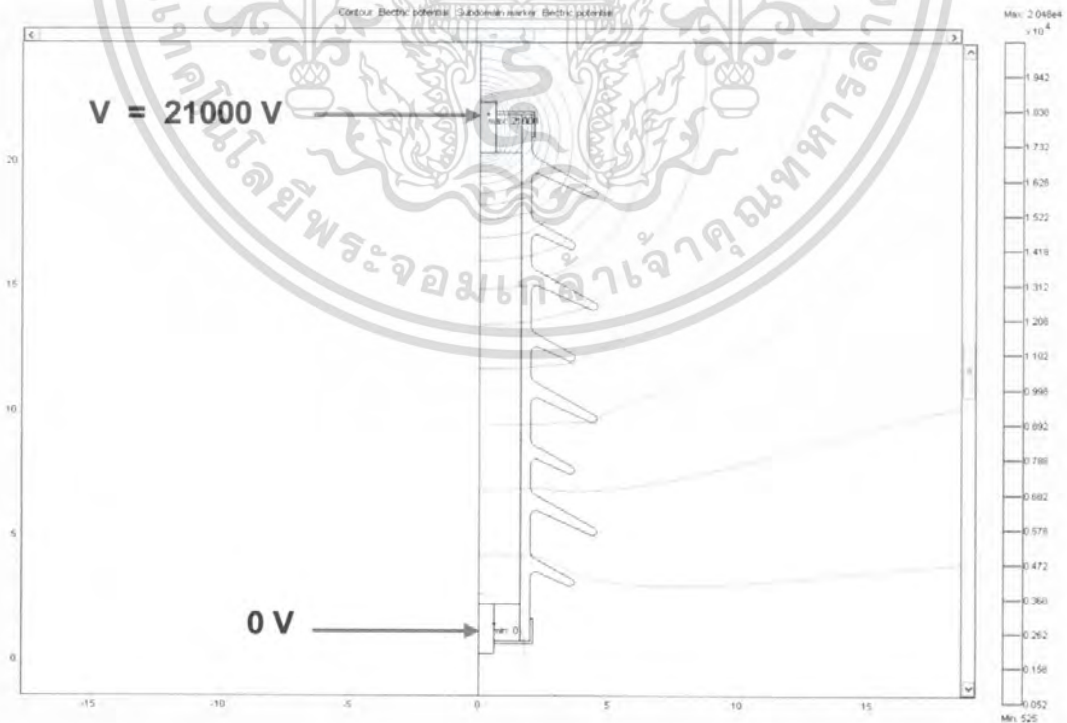
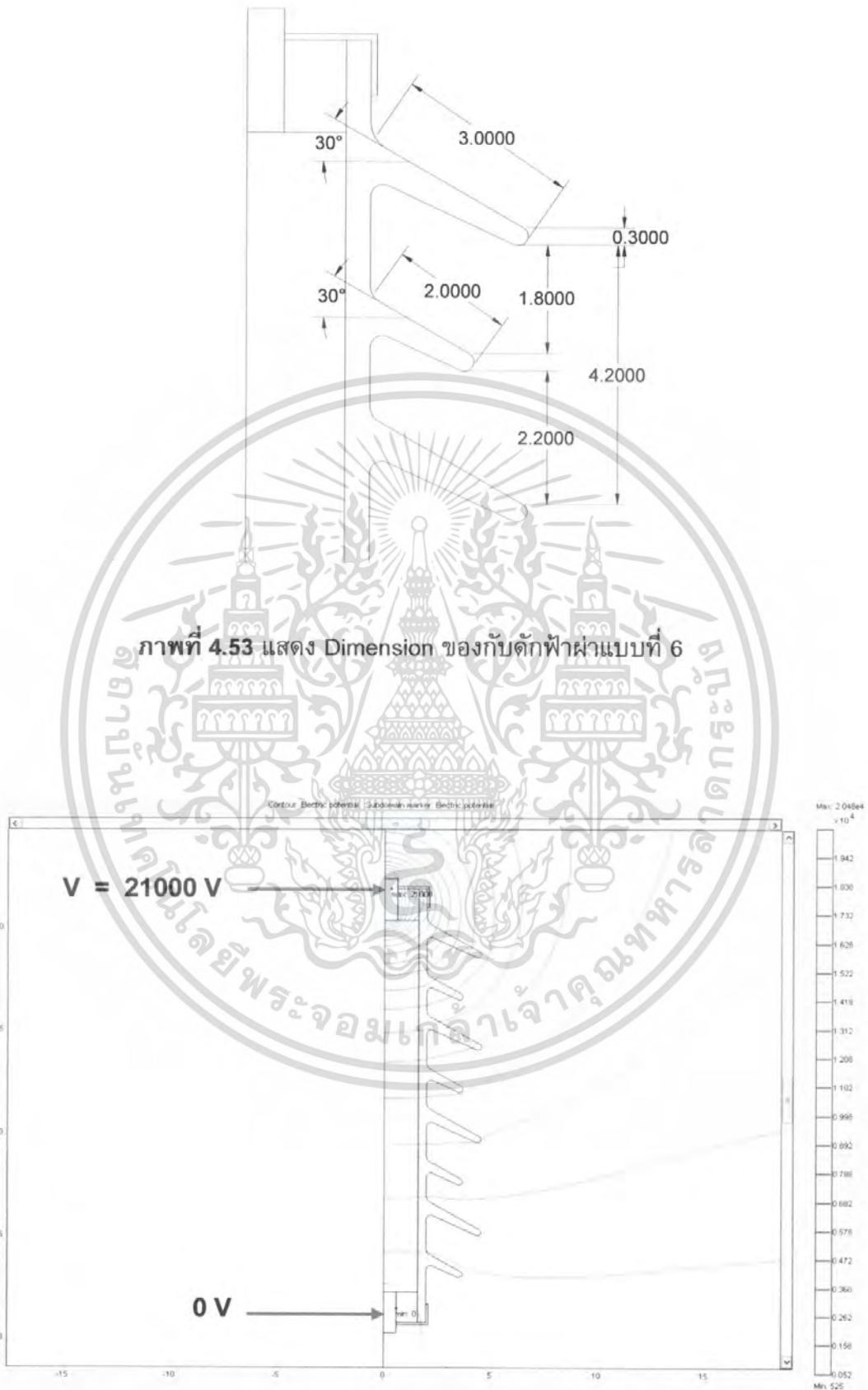
ภาพที่ 4.51 แสดงการกระจายความเครียดสนามไฟฟ้าตามผิวฉนวนของกับดักฟ้าผ่าแบบที่ 5 โดยป้อนแรงดันที่ 21 kV (ภาคอุตสาหกรรม)



ภาพที่ 4.52 การวิเคราะห์ค่าความเครียดของสนามไฟฟ้าตามผิวฉนวนครีบนครีบแรกของ

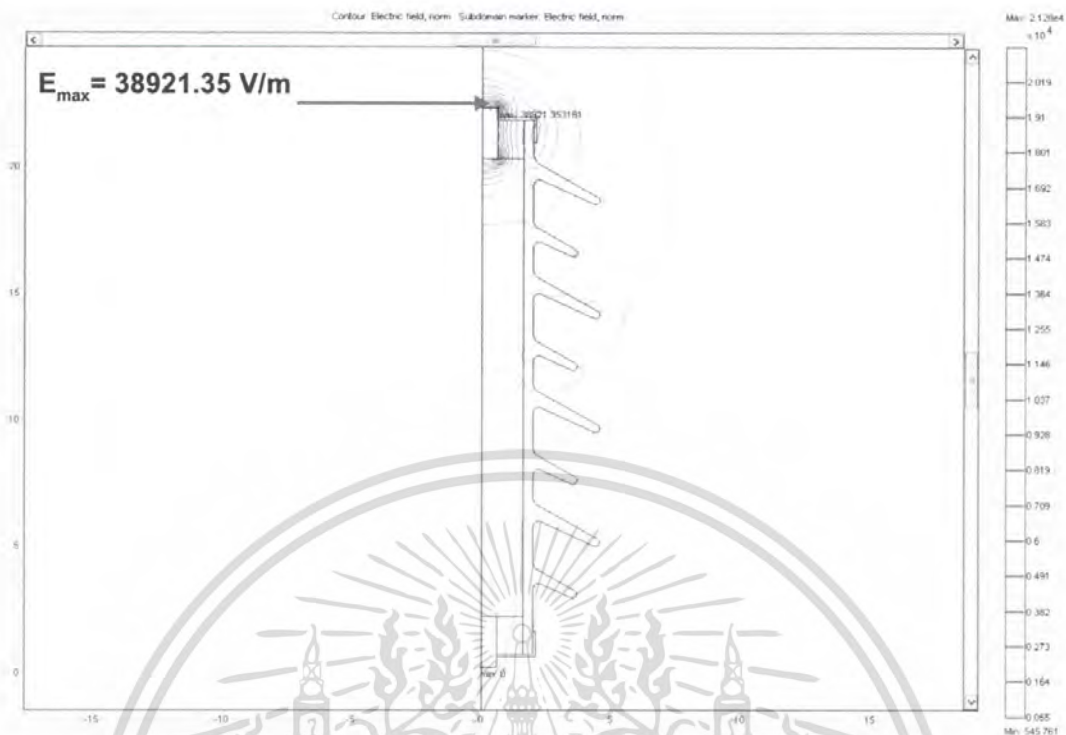
กับดักฟ้าผ่าแบบที่ 5 โดยป้อนแรงดันที่ 21 kV (ภาคอุตสาหกรรม)

เอกสารนี้เป็นเอกสารที่สงวนไว้สำหรับการใช้งานเพื่อการศึกษาเท่านั้น เมื่ออนุญาตให้เผยแพร่โดยคณะกรรมการ
ไม่ว่ากรณีใดๆ ทั้งสิ้น อีกทั้งห้ามมิให้ตัดแปลงเนื้อหา และต้องอ้างอิงถึงเจ้าของเอกสารทุกครั้งที่มีการนำไปใช้

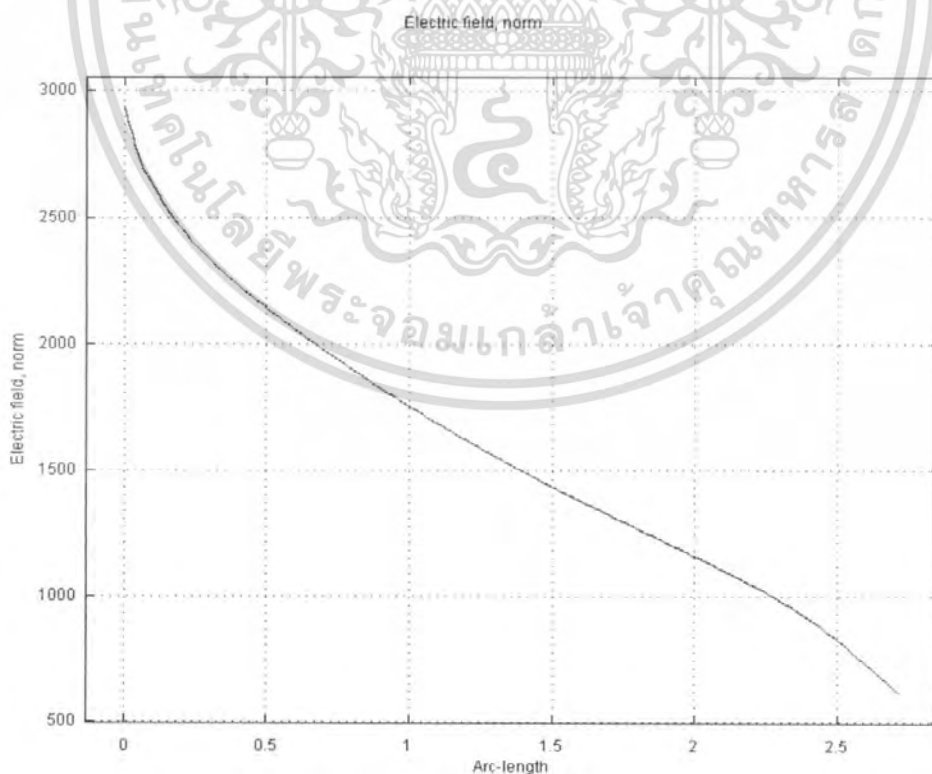


ภาพที่ 4.54 แสดงการกระจายของแรงดันไฟฟ้าตามผิวฉนวนของกัณฑ์ฟ้าผ่าแบบที่ 6

เอกสารนี้เป็นเอกสารที่สงวนลิขสิทธิ์ไว้เพื่อการศึกษาเท่านั้น ไม่อนุญาตให้นำไปใช้ประโยชน์ด้านการค้า โดยป้อนแรงดันที่ 21 kV ไม่ว่าจะกรณีใดๆ ทั้งสิ้น อีกทั้งห้ามมิให้ตัดแปลงเนื้อหา และต้องอ้างอิงถึงเจ้าของเอกสารทุกครั้งที่มีการนำไปใช้



ภาพที่ 4.55 แสดงการกระจายความเครียดสนามไฟฟ้าตามผิวฉนวนของกับดักฟ้าผ่าแบบที่ 6 โดยป้อนแรงดันที่ 21 kV



ภาพที่ 4.56 การวิเคราะห์ค่าความเครียดของสนามไฟฟ้าตามผิวฉนวนครึ่งแรกของเอกสารนี้เป็นเอกสารที่สงวนลิขสิทธิ์ภายใต้การดำเนินงานของ ไมออนุญาตให้นำไปใช้ประโยชน์ด้านการค้า ไม่ว่าจะกรณีใดๆ ทั้งสิ้น อีกทั้งห้ามมิให้ตัดแปลงเนื้อหา และต้องอ้างอิงถึงเจ้าของเอกสารทุกครั้งที่มีการนำไปใช้

บทที่ 5

บทสรุป

5.1 สรุปการจัดทำโครงการ

1. ผู้ปฏิบัติงานมีความเข้าใจในกระบวนการทดสอบตามมาตรฐาน ANSI C37.42-1996 ที่ใช้อ้างอิง ในการทดสอบคุณสมบัติทางไฟฟ้าของทรอบเอาต์พิวส์และมาตรฐาน IEEE 60099-4 ที่ใช้อ้างอิงในการทดสอบคุณสมบัติทางไฟฟ้าของกับดักฟ้าผ่า
2. มีความเข้าใจในการใช้โปรแกรม Finite Element
3. ห้องปฏิบัติการไฟฟ้าแรงสูง ภาควิชาวิศวกรรมไฟฟ้า สถาบันเทคโนโลยีพระจอมเกล้าเจ้าคุณทหารลาดกระบัง สามารถรองรับการทดสอบคุณสมบัติทางไฟฟ้าของทรอบเอาต์พิวส์และกับดักฟ้าผ่าได้ดังนี้

<u>ทรอบเอาต์พิวส์</u>	- การทดสอบความทนอยู่ได้ต่อแรงดันที่ความถี่กำลังต่อเนื่อง
	- การทดสอบความทนอยู่ได้ต่อแรงดันอิมพัลส์
<u>กับดักฟ้าผ่า</u>	- การทดสอบการเกิดดิสชาร์จบางส่วน
	- การทดสอบหาแรงดันเริ่มทำงาน
	- การทดสอบหากระแสรั่วไหล

5.2 สรุปผลการทดลอง

5.2.1 สรุปการทดสอบความทนอยู่ได้ต่อแรงดันที่ความถี่กำลังต่อเนื่องของทรอบเอาต์พิวส์

การทดสอบความทนอยู่ได้ต่อแรงดันที่ความถี่กำลังต่อเนื่องของทรอบเอาต์พิวส์ระบบ 22 kV พิกัดแรงดัน 27 kV กระแสต่อเนื่อง 100 A ปรากฏว่าเมื่อจ่ายแรงดัน 42.37 kV ให้กับทรอบเอาต์พิวส์เป็นเวลา 1 นาที ทั้งการต่อทรอบเอาต์พิวส์ กรณีเทอร์มินอล-เทอร์มินอล และ กรณีเทอร์มินอล-กราวนด์ ไม่เกิดวาบไฟตามผิวทั้ง 2 ตัวอย่าง

ดังนั้นจึงกล่าวได้ว่าทรอบเอาต์พิวส์ในชุดนี้ผ่านมาตรฐาน ของ ANSI C 37.42 ว่าด้วยการทดสอบความคงทนต่อแรงดันวาบไฟตามผิวแห้งสะอาดกระแสสลับ 50 Hz

5.2.2 สรุปการทดสอบความทนอยู่ได้ต่อแรงดันอิมพัลส์

ในการทดสอบความทนอยู่ได้ต่อแรงดันอิมพัลส์ของทรอบเอาต์พิวส์ระบบ 22 kV พิกัด 27 kV 100 A ทั้งสองตัวอย่างปรากฏว่า การป้อนแรงดันทดสอบที่ 140 kV ชั่วบวก ต่อแบบเทอร์มินอล-เทอร์มินอล ไม่เกิดวาบไฟตามผิว ที่แรงดันชั่วลบตัวอย่างที่ 1 จะเกิดวาบไฟตามผิวที่แรงดัน 139.54 kV ตัวอย่างที่ 2 ไม่เกิดวาบไฟตามผิว เมื่อต่อแบบเทอร์มินอล-กราวนด์ ที่แรงดันชั่วบวก เกิดวาบไฟตามผิวทั้งสองตัว ที่แรงดัน 139.54 kV

เอกสารนี้เป็นเอกสารที่สงวนไว้สำหรับการใช้งานเพื่อการศึกษาเท่านั้น ไม่อนุญาตให้นำไปใช้ประโยชน์ด้านการค้า ไม่ว่าจะกรณีใดๆ ทั้งสิ้น อีกทั้งห้ามมิให้ตัดแปลงเนื้อหา และต้องอ้างอิงถึงเจ้าของเอกสารทุกครั้งที่มีการนำไปใช้

ฉะนั้นจึงสรุปได้ว่าดรออปเอาร์ทพีวส์ทั้งสองตัวอย่างไม่ผ่านการทดสอบตามมาตรฐาน IEEE std 4 :1995, IEEE C37.41-2000, IEEE C37.42-1996 และ ANSI C37.42

5.2.3 สรุปผลการทดสอบการดิสชาร์จบางส่วนในกับดักฟ้าผ่า

ค่าการดิสชาร์จที่วัดได้จากการทดสอบต้องมีค่าไม่เกินค่ากำหนดในมาตรฐาน IEC 60099-4 คือ ค่าที่วัดได้ต้องมีค่าไม่เกิน 10 pC

จากการทดสอบวัดค่าการดิสชาร์จบางส่วนที่ระดับแรงดัน 1.05 เท่า ของแรงดันใช้งาน ต่อเนื่องของกับดักฟ้าผ่าตามมาตรฐาน IEC 60099-4 พบว่ากับดักฟ้าผ่า พิกัด 21 kV 5kA ทั้ง 5 ตัวอย่างทดสอบ มีค่าการเกิดดิสชาร์จบางส่วนอยู่ในช่วงประมาณ 0.86 – 1.07 pC กับดักฟ้าผ่า พิกัด 24kV 10 kA ตัวอย่างที่ 6 มีค่าการดิสชาร์จบางส่วนที่ 1.14 pC ส่วนตัวอย่างทดสอบที่ 7 ซึ่งเป็นกับดักฟ้าผ่าพิกัด 24 kV 10 kA มีค่าการดิสชาร์จบางส่วนสูงกว่าตัวอย่างอื่น ๆ มาก ซึ่งมีค่า 4.83 pC เนื่องจากอาจก่อให้เกิดความเสียหายต่ออุปกรณ์ทดสอบ จากรูปการแสดงการดิสชาร์จบางส่วนบนฐานเวลารูปอีลีปส์ทำให้สามารถสรุปได้ว่า การดิสชาร์จบางส่วนที่ตรวจพบเป็นการดิสชาร์จภายในตัวกับดักฟ้าผ่าพิกัด 21 kV 5 kA ตัวอย่างการทดสอบที่ 1 – 5 และกับดักฟ้าผ่าพิกัด 24 kV 10 kA ตัวอย่างทดสอบที่ 6 – 7 ผ่านการทดสอบตามมาตรฐาน

5.2.4 สรุปผลการทดสอบการหาแรงดันเริ่มทำงานของกับดักฟ้าผ่า

ค่าแรงดันที่ป้อนให้กับกับดักฟ้าผ่าจนมีกระแสรั่วไหลตามที่บริษัทผู้ผลิตกำหนด จะถูกกำหนดเป็นค่าแรงดันเริ่มทำงาน

จากผลการทดสอบพบว่ากับดักฟ้าผ่าพิกัด 21 kV 5 kA มีระดับแรงดันเริ่มทำงานที่ 1 mA อยู่ในช่วง 32.96 – 35.35 kV ส่วนกับดักฟ้าผ่าพิกัด 24 kV 10 kA มีระดับแรงดันเริ่มทำงานที่ 1 mA อยู่ในช่วง 36.77 – 37.47 kV

5.2.5 สรุปผลการทดสอบการหากระแสรั่วไหลของกับดักฟ้าผ่า

กระแสรั่วไหลที่วัดได้ที่ระดับแรงดันที่กำหนด จะกำหนดเป็นกระแสรั่วไหลของกับดักฟ้าผ่าในขณะที่ใช้งานที่ระดับแรงดันปกติและขณะที่เกิดแรงดันเกินชั่วขณะ

จากผลการทดสอบกับดักฟ้าผ่าพิกัด 21 kV 5 kA มีค่ากระแสรั่วไหลที่ระดับแรงดันปกติ (12.7 kV) อยู่ในช่วงระหว่าง 0.17 – 0.21 mA และมีค่ากระแสรั่วไหลที่ระดับแรงดันใช้งานต่อเนื่องสูงสุด (17.0 kV) อยู่ในช่วงระหว่าง 0.22 – 0.223 mA ส่วนกับดักฟ้าผ่าพิกัด 24 kV 10 kA มีค่ากระแสรั่วไหลที่ระดับแรงดันปกติ (13.8 kV) อยู่ในช่วงระหว่าง 0.283 – 0.286 mA และมีค่ากระแสรั่วไหลที่ระดับแรงดันใช้งานต่อเนื่องสูงสุด (19.5 kV) อยู่ในช่วงระหว่าง 0.404 – 0.414 mA

5.3 สรุปผลการออกแบบและการวิเคราะห์สนามไฟฟ้า

5.3.1 สรุปผลการออกแบบและการวิเคราะห์สนามไฟฟ้าของครอบเอาต์พิวส์

จากการออกแบบและพิจารณาถึงความเครียดสนามไฟฟ้าสูงสุดที่ตัวครอบเอาต์พิวส์ ความเครียดสนามไฟฟ้าสูงสุดที่เกิดขึ้นในครอบเอาต์พิวส์ของภาคอุตสาหกรรมเท่ากับ 13709.38 V/m และความเครียดสนามไฟฟ้าสูงสุดที่ครอบเอาต์พิวส์ที่ออกแบบใหม่เท่ากับ 12423.24 V/m ซึ่งความเครียดสนามไฟฟ้าจะลดลงประมาณ 1286.14 V/m คิดเป็น 9.38 % ของแรงดันไฟฟ้าบริเวณผิวครีบนวนจุดที่สูงที่สุดของครอบเอาต์พิวส์ของภาคอุตสาหกรรม

และในการพิจารณาถึงความเครียดสนามไฟฟ้าบริเวณครีบนวนครีบนแรกปรากฏว่า ความเครียดสนามไฟฟ้าตามครีบนวนครีบนแรกของครอบเอาต์พิวส์ของภาคอุตสาหกรรมจุดที่มีความเครียดสนามไฟฟ้าสูงสุดเท่ากับ 2000 V/m ในส่วนของครอบเอาต์พิวส์ที่ออกแบบใหม่ ความเครียดสนามไฟฟ้าที่ครีบนวนครีบนแรกความเครียดสนามไฟฟ้าที่สูงที่สุดเท่ากับ 1100 V/m ซึ่งลดลง 900 V/m และคิดเป็น 45 % ของความเครียดสนามไฟฟ้าบริเวณผิวครีบนวนครีบนแรกของครอบเอาต์พิวส์ภาคอุตสาหกรรม

5.3.2 สรุปผลการออกแบบและการวิเคราะห์สนามไฟฟ้าของกัณฑ์ผ้าผ่า

จากการออกแบบและพิจารณาถึงความเครียดสนามไฟฟ้าสูงสุดที่ตัวกัณฑ์ผ้าผ่า ความเครียดสนามไฟฟ้าสูงสุดที่เกิดขึ้นในของภาคอุตสาหกรรมเท่ากับ 40878.50 V/m และความเครียดสนามไฟฟ้าสูงสุดที่ตัวกัณฑ์ผ้าผ่าที่ออกแบบใหม่เท่ากับ 26024.81 V/m ซึ่งความเครียดสนามไฟฟ้าจะลดลงประมาณ 14853.69 V/m คิดเป็น 36.33 % ของแรงดันไฟฟ้าบริเวณผิวครีบนวนจุดที่สูงที่สุดของครอบเอาต์พิวส์ของภาคอุตสาหกรรม

และในการพิจารณาถึงความเครียดสนามไฟฟ้าบริเวณครีบนวนครีบนแรกปรากฏว่า ความเครียดสนามไฟฟ้าตามครีบนวนครีบนแรกของกัณฑ์ผ้าผ่า ของภาคอุตสาหกรรมจุดที่มีความเครียดสนามไฟฟ้าสูงสุดเท่ากับ 3500 V/m ในส่วนของกัณฑ์ผ้าผ่าที่ออกแบบใหม่ ความเครียดสนามไฟฟ้าที่ครีบนวนครีบนแรกความเครียดสนามไฟฟ้าที่สูงที่สุดเท่ากับ 2800 V/m ซึ่งลดลง 900 V/m และคิดเป็น 20 % ของความเครียดสนามไฟฟ้าบริเวณผิวครีบนวนครีบนแรกของกัณฑ์ผ้าผ่าภาคอุตสาหกรรม

ตารางที่ 5.1 สรุปผลการวิเคราะห์สภาพสนามไฟฟ้าที่เกิดขึ้นที่ผิวฉนวนดรอพเอาท์พีวส์และกับดักฟ้าผ่าที่ออกแบบใหม่เทียบกับภาคอุตสาหกรรม

วัสดุ		ความเครียดสนามไฟฟ้าสูงสุด (V/m)	ความเครียดสนามไฟฟ้าที่ผิวฉนวนครีบบแรก (V/m)
ดรอพเอาท์พีวส์	ภาคอุตสาหกรรม	13709.38	2000
	ออกแบบใหม่	12423.24	1100
	ลดลง (%)	9.38	45
กับดักฟ้าผ่า	ภาคอุตสาหกรรม	40878.50	3500
	ออกแบบใหม่	26024.81	2800
	ลดลง (%)	36.33	20

5.4 ปัญหาและข้อเสนอแนะที่พบระหว่างดำเนินงาน

1. ปัญหาที่เกิดขึ้นในการทดลอง คือ เนื่องจากอุปกรณ์ที่ใช้ในการทดลองยังไม่พร้อมที่จะใช้งานได้ เช่น เครื่องกำเนิดอิมพัลส์ หม้อแปลงไฟฟ้ากระแสสลับ อยู่ในช่วงระหว่างการซ่อมแซม จึงทำให้การทดลองไม่เป็นไปตามที่วางแผนไว้

2. ผลของสนามไฟฟ้าความถี่สูงที่มารบกวนการทดสอบซึ่งจะทำให้ค่าที่วัดได้นั้นมีความผิดพลาด โดยเฉพาะอย่างยิ่ง ในการทดสอบหาค่าดิสชาร์จบางส่วนในกับดักฟ้าผ่า

ฉะนั้นในการทดสอบแต่ละครั้งไม่ควรให้เกิดสนามไฟฟ้าความถี่สูงมารบกวนหรือไม่ควรที่จะมีอุปกรณ์และเครื่องมือที่ก่อให้เกิดสนามไฟฟ้าความถี่สูง อยู่ใกล้การทดสอบที่สามารถส่งผลกระทบต่อทดสอบได้

เอกสารอ้างอิง

- [1] ดร. สำรวย สังข์สะอาด, **วิศวกรรมไฟฟ้าแรงสูง**, พิมพ์ครั้งที่ 1 กรุงเทพฯ, สนพ. จุฬาลงกรณ์มหาวิทยาลัย, 2547
- [2] สัญญา นามิ, ศภชัย นิสวอนุดรพันธ์, **AutoCAD Handbook คู่มือการใช้งานโปรแกรม ฉบับสมบูรณ์**, นนทบุรี : ไอดีซีฯ, 2549
- [3] **ANSI C 37.42 Specification for High-Voltage Expulsion Type Distribution Class Fuses, Cutout, Fuse Disconnecting Switches and Fuse Link**
- [4] **IEC 60060 -1, High – Voltage Test Technique; Part 1 General Definition and Test**
- [5] **IEC 60815, Guide for selection of insulator of Polluted conditions, First Edition, 1998**
- [6] **IEEE Std 4-1995, IEEE Standard Techniques for High-Voltage Testing, 1995**
- [7] **IEEE Std C37.41, IEEE Standard Design Test for High Voltage Fuses Distribution Enclosed Single-Pole air Switchs, Fuse Disconnecting Switch, and Accessories, 2000**
- [8] **IEC 60099-4, Metal – oxide surge arresters without gaps for a.c. systems, 2004-5**

เอกสารนี้เป็นเอกสารที่สงวนไว้สำหรับการใช้งานเพื่อการศึกษาเท่านั้น ไม่อนุญาตให้นำไปใช้ประโยชน์ด้านการค้า
ไม่ว่ากรณีใดๆ ทั้งสิ้น อีกทั้งห้ามมิให้ดัดแปลงเนื้อหา และต้องอ้างอิงถึงเจ้าของเอกสารทุกครั้งที่มีการนำไปใช้

ประวัติผู้เขียน



นาย จักรเพชร แจ่มใส เกิดเมื่อวันอังคาร ที่ 30 เดือน พฤษภาคม พ.ศ. 2527 จบการศึกษาระดับประกาศนียบัตรวิชาชีพจากวิทยาลัยการอาชีพตระการพิษผล จ.อุบลราชธานี ปี 2545 จบการศึกษาระดับประกาศนียบัตรวิชาชีพชั้นสูงจากมหาวิทยาลัยราชภัฏวชิรเวศน์ วิทยาเขตขอนแก่น จ. ขอนแก่น ปี 2547 และจบการศึกษาระดับปริญญาตรีจากสถาบันเทคโนโลยีพระจอมเกล้าเจ้าคุณทหารลาดกระบัง กรุงเทพมหานคร ปี 2550



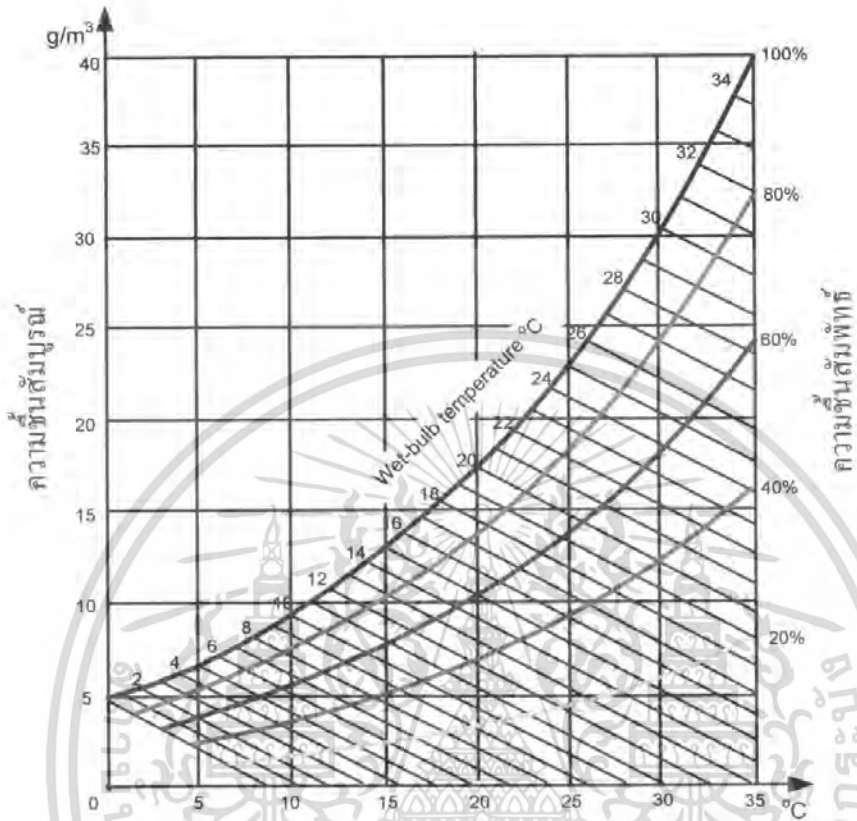
นาย สุพงษ์ วงษ์บุญชา เกิดเมื่อวัน เสาร์ ที่ 23 เดือน มีนาคม พ.ศ. 2528 จบการศึกษาระดับประกาศนียบัตรวิชาชีพจากวิทยาลัยเทคนิคอุดรธานี จ.อุดรธานี ปี 2545 จบการศึกษาระดับประกาศนียบัตรวิชาชีพชั้นสูงจากมหาวิทยาลัยราชภัฏวชิรเวศน์ วิทยาเขตขอนแก่น จ. ขอนแก่น ปี 2547 และจบการศึกษาระดับปริญญาตรีจากสถาบันเทคโนโลยีพระจอมเกล้าเจ้าคุณทหารลาดกระบัง จ. กรุงเทพมหานคร ปี 2550

เอกสารนี้เป็นเอกสารที่สงวนไว้สำหรับการใช้งานเพื่อการศึกษาเท่านั้น ไม่อนุญาตให้นำไปใช้ประโยชน์ด้านการค้า ไม่ว่ากรณีใดๆ ทั้งสิ้น อีกทั้งห้ามมิให้ตัดแปลงเนื้อหา และต้องอ้างอิงถึงเจ้าของเอกสารทุกครั้งที่มีการนำไปใช้



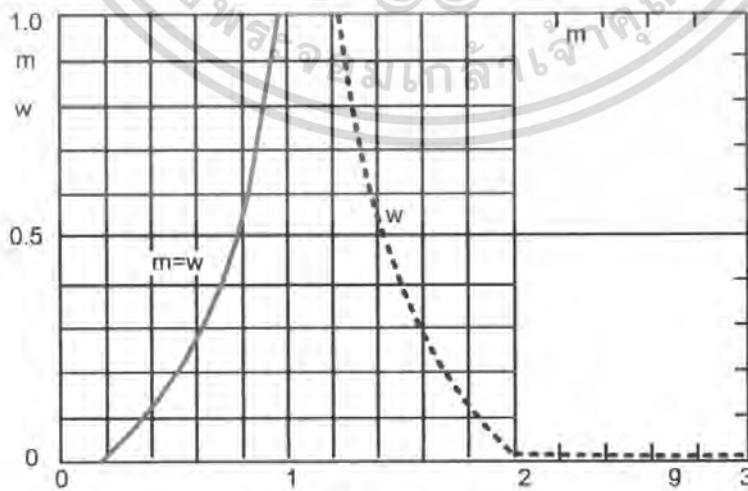
เอกสารนี้เป็นเอกสารที่สงวนไว้สำหรับการใช้งานเพื่อการศึกษาเท่านั้น ไม่อนุญาตให้นำไปใช้ประโยชน์ด้านการค้า
ไม่ว่ากรณีใดๆ ทั้งสิ้น อีกทั้งห้ามมิให้ดัดแปลงเนื้อหา และต้องอ้างอิงถึงเจ้าของเอกสารทุกครั้งที่มีการนำไปใช้

ภาคผนวก ก
กราฟการแปลงค่า



อุณหภูมิโดยรอบ-อุณหภูมิกระเปาะแห้ง

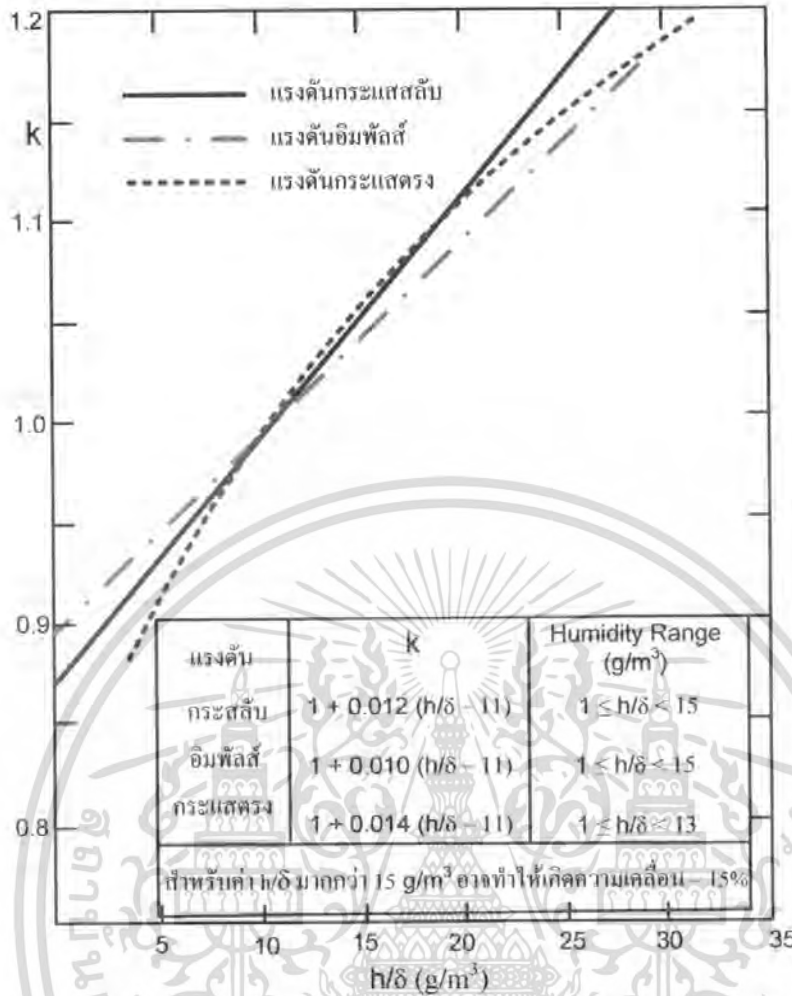
ภาพที่ ก.1 กราฟความชื้นสัมบูรณ์ของอากาศที่เป็นฟังก์ชันของอุณหภูมิกระเปาะแห้งที่สภาวะมาตรฐาน



ภาพที่ ก. 2 กราฟการหาค่า m และ w สำหรับแก้ค่าความหนาแน่นอากาศและแก้ค่าความชื้น

เป็นฟังก์ชันของพารามิเตอร์ g

เอกสารนี้เป็นเอกสารที่สงวนไว้สำหรับการใช้งานเพื่อการศึกษาเท่านั้น ไม่อนุญาตให้นำไปใช้ประโยชน์ด้านการค้าไม่ว่ากรณีใดๆ ทั้งสิ้น อีกทั้งห้ามมิให้ตัดแปลงเนื้อหา และต้องอ้างอิงถึงเจ้าของเอกสารทุกครั้งที่มีการนำไปใช้



ภาพที่ ก.3 กราฟการหาค่าพารามิเตอร์ k เป็นฟังก์ชันของ h/delta

IEEE sdt 4:1995 กำหนดที่สภาวะมาตรฐาน คือ อุณหภูมิ (t_0) 20°C และ ความดันบรรยากาศ (b_0) 101.3 kPa หรือ 1013 mbar หรือ 760 mmHg ที่ 0°C โดย ความชื้นสัมบูรณ์ 11 gm⁻³ ถ้า b เป็นความดันบรรยากาศ (kPa) และ H เป็นความสูงของ บารอมิเตอร์ (mmHg) จะได้

$$b = 0.1333H \quad (1)$$

ค่าที่สภาวะห้องทดลอง

$$U = U_0 K_1 K_2 \quad (2)$$

- เมื่อ U คือ แรงดันที่สภาวะห้องทดลอง
 U_0 คือ แรงดันที่สภาวะมาตรฐาน
 K_1 คือ ค่าแก้ไขจากความหนาแน่นอากาศ
 K_2 คือ ค่าแก้ไขจากความชื้น

เอกสารนี้เป็นเอกสารที่สงวนไว้สำหรับการใช้งานเพื่อการศึกษาเท่านั้น ไม่อนุญาตให้นำไปใช้ประโยชน์ด้านการค้า ไม่ว่ากรณีใดๆ ทั้งสิ้น อีกทั้งห้ามมิให้ตัดแปลงเนื้อหา และต้องอ้างอิงถึงเจ้าของเอกสารทุกครั้งที่มีการนำไปใช้

โดยที่
$$K_1 = \delta^m = \left[\frac{b(273+t_0)}{b_0(273+t)} \right]^m \quad (3)$$

$$K_2 = k^w \quad (4)$$

- เมื่อ δ คือ ความหนาแน่นอากาศ
 t คือ อุณหภูมิที่สภาวะห้องทดลอง
 b คือ ความดันบรรยากาศที่สภาวะห้องทดลอง
 m คือ เลขยกกำลังกำหนดจากพารามิเตอร์ g
 w คือ เลขยกกำลังกำหนดจากพารามิเตอร์ g
 k คือ พารามิเตอร์ขึ้นอยู่กับประเภทของแรงดันและอัตราส่วน $\frac{h}{\delta}$

$$g = \frac{U_b}{500L\delta k} \quad (5)$$

- เมื่อ U_b คือ 1.1 เท่าของแรงดันทดสอบ
 L คือ ระยะวาบไฟตามผิวที่สั้นที่สุดของวัสดุทดสอบ



ภาคผนวก ข
การวิเคราะห์แบบจำลองครอบเอาท์พิวส์ โดยโปรแกรมไฟไนเอลิเมนต์

เอกสารนี้เป็นเอกสารที่สงวนไว้สำหรับการใช้งานเพื่อการศึกษาเท่านั้น ไม่อนุญาตให้นำไปใช้ประโยชน์ด้านการค้า
ไม่ว่ากรณีใดๆ ทั้งสิ้น อีกทั้งห้ามมิให้ดัดแปลงเนื้อหา และต้องอ้างอิงถึงเจ้าของเอกสารทุกครั้งที่มีการนำไปใช้

ภาคผนวก ข

การวิเคราะห์แบบจำลองครอบเอาต์พิวส์ โดยโปรแกรมไฟโนเอลิเมนต์

ในเทคโนโลยีทางด้านไฟฟ้าแรงสูงนั้น มีความสนใจลักษณะการกระจายของสนามไฟฟ้าโครงสร้างของอิเล็กโทรด (Electrode) หรือการกระจายสนามไฟฟ้าโครงสร้างฉนวนไฟฟ้าในแบบต่างๆ ซึ่งเป็นปัญหาในการออกแบบสร้างอุปกรณ์ไฟฟ้าแรงสูง หากมีการวิเคราะห์แบบจำลองด้วยโปรแกรมคอมพิวเตอร์ที่ทำให้ได้คำตอบที่เที่ยงตรงแล้วการออกแบบและการนำไปใช้งานก็มีประสิทธิภาพสูงและประหยัดค่าใช้จ่ายได้มากที่สุดทีเดียว ในโครงการนี้จะเป็นการออกแบบป้องกันฉนวนไฟฟ้าของครอบเอาต์พิวส์ เพื่อแก้ปัญหาการใช้งานในสภาวะที่มีความแปรอะเปื้อน การวิเคราะห์จะทำการวิเคราะห์ทางด้านไฟฟ้า เพื่อวิเคราะห์หาการกระจายของศักย์ไฟฟ้าและการกระจายสนามไฟฟ้า ของครอบเอาต์พิวส์ที่มีการใช้งานอยู่ในปัจจุบันเพื่อทำการตรวจสอบว่าลักษณะการกระจายของศักย์ไฟฟ้า และค่าสนามไฟฟ้าสูงสุดที่เกิดขึ้นมีค่าเท่าไรก่อนที่จะไปปรับปรุงคุณลักษณะต่างๆ ของครอบเอาต์พิวส์ เพื่อให้สามารถใช้งานในระบบจำหน่ายไฟฟ้าแรงสูงได้ รวมไปถึงการออกแบบครอบเอาต์พิวส์แบบพื้นฐานใหม่เพื่อเปรียบเทียบผลต่างๆ ได้เช่นกัน

ครอบเอาต์พิวส์มีการใช้งานในระบบจำหน่ายไฟฟ้าแรงสูงดังแสดงในรูปที่ ข.1(ก) และลักษณะรูปร่างของครอบเอาต์พิวส์ ที่จำลองมาจากแบบจริงดังแสดงในรูป ข.1(ข)



(ก)

(ข)

ภาพที่ ข.1 ลักษณะรูปร่างของครอบเอาต์พิวส์

ตารางที่ ข.1 คุณสมบัติของครอบเอาต์พิวส์

RATED VOLTAGE (kV)	RATED CURRENT (A)	BREAKIN G CURRENT (kA)	IMPULSE WITHSTAND VOLTAGE LINE TO GROUND BIL (kV)	WET WITHSTAND VOLTAGE (kV)	CREEPAGE DISTANCE MIN (mm)	WEIGHT (kg)	DIMENSION L X H (cm)
27	100	8	125	50	320	8.5	500X300

เอกสารนี้เป็นเอกสารสงวนไว้สำหรับการใช้งานเพื่อการศึกษาเท่านั้น ไม่อนุญาตให้นำไปใช้ประโยชน์ด้านการค้า ไม่ว่าจะกรณีใดๆ ทั้งสิ้น อีกทั้งห้ามมิให้ตัดแปลงเนื้อหา และต้องอ้างอิงถึงเจ้าของเอกสารทุกครั้งที่มีการนำไปใช้

ประเภทของรูปร่างที่ใช้ในการจำลอง

-ดรอเอาร์ทพีวีส

คุณสมบัติขององค์ประกอบแบบย่อยๆ

-Porcelain

- Relative permittivity (ϵ_r) 5.7
- Conductivity (σ) 1×10^{-14} siemens/meter

-Cement

- Relative permittivity (ϵ_r) 7
- Conductivity (σ) 1×10^{-7} siemens/meter

-Iron

- Relative permittivity (ϵ_r) 1
- Conductivity (σ) 1.12×10^7 siemens/meter

- แรงดันไฟฟ้าที่ใช้ทดสอบ 21000 V

ตัวอย่างการเตรียมข้อมูล และการป้อนค่าสำหรับการจำลองดรอเอาร์ทพีวีส เพื่อคำนวณหาค่าการกระจายของศักย์ไฟฟ้า และสนามไฟฟ้า ดังต่อไปนี้

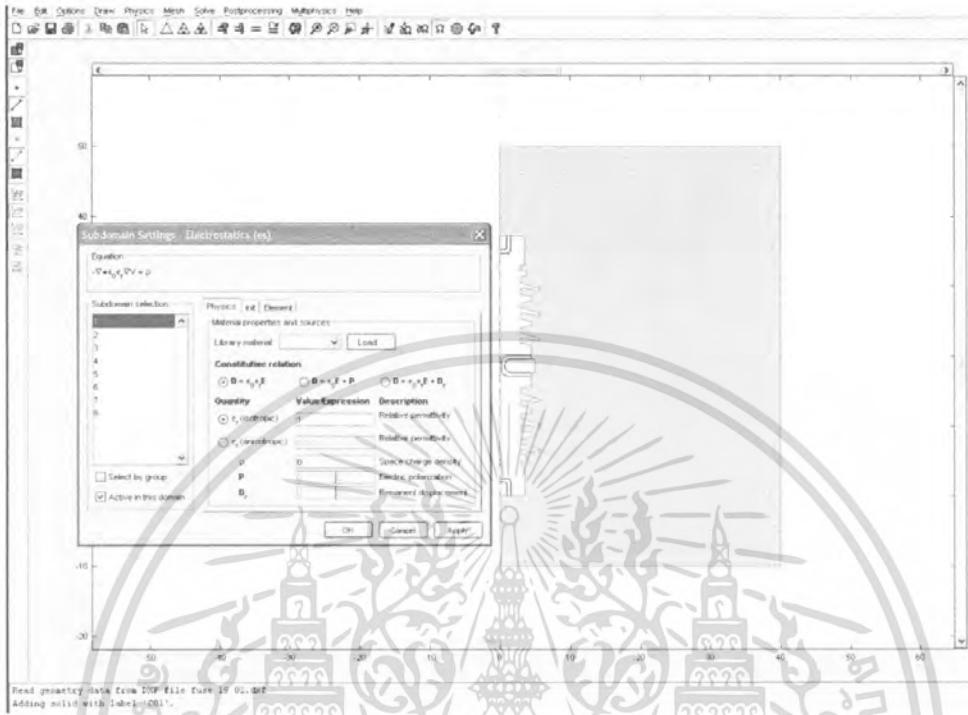
1.) ทำการวาดแบบของดรอเอาร์ทพีวีสและสร้างเอลิเมนต์



ภาพที่ ข.2 การวาดตัวดรอเอาร์ทพีวีสขึ้นมา

เอกสารนี้เป็นเอกสารที่สงวนไว้สำหรับการใช้งานเพื่อการศึกษาเท่านั้น ไม่นิยมนำไปใช้ประโยชน์ด้านการค้า ไม่ว่ากรณีใดๆ ทั้งสิ้น อีกทั้งห้ามมิให้ตัดแปลงเนื้อหา และต้องอ้างอิงถึงเจ้าของเอกสารทุกครั้งที่มีการนำไปใช้

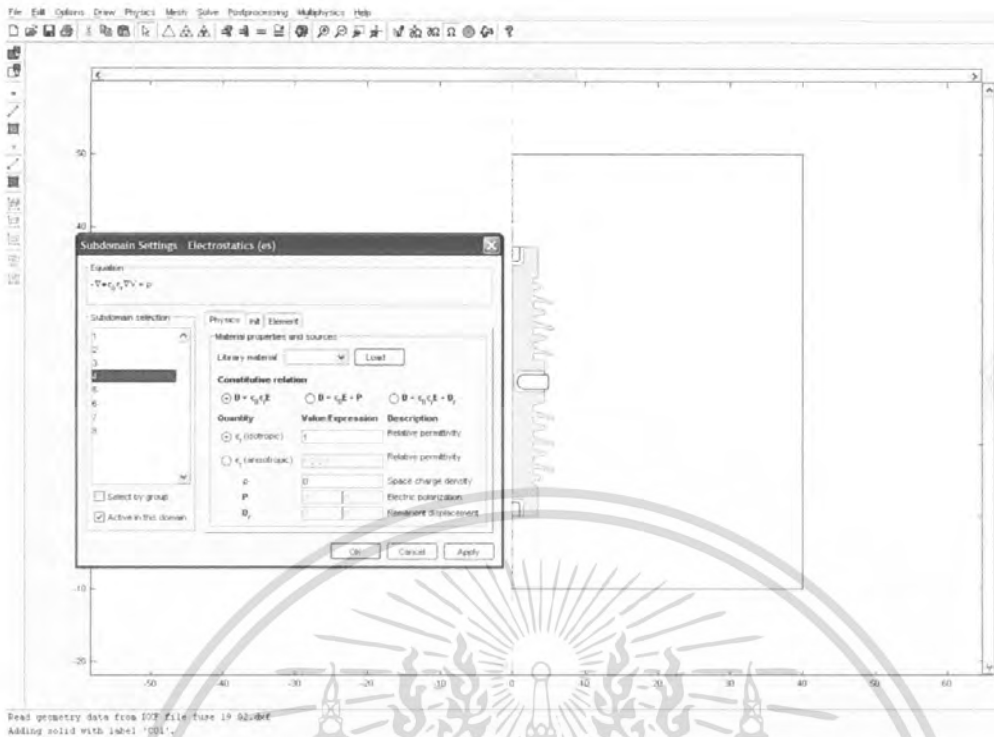
2.) ทำการป้อนค่าคุณสมบัติขององค์ประกอบต่างๆ โดยใช้ฟังก์ชัน Subdomain setting
 ดังแสดงในรูป ซึ่งค่าที่จะป้อนให้โปรแกรมมีทั้งหมด 8 ค่า



ภาพที่ ข.3 การสร้างขอบเขตให้กับกรอบเอ้าท์พิวส์



เอกสารนี้เป็นเอกสารที่**ภาพที่ ข.4** กำหนดให้ตัว bracket ให้มีคุณสมบัติเป็นหลักไปใช้ประโยชน์ด้านการค้า
 ไม่ว่าจะกรณีใดๆ ทั้งสิ้น อีกทั้งห้ามมิให้ตัดแปลงเนื้อหา และต้องอ้างอิงถึงเจ้าของเอกสารทุกครั้งที่มีการนำไปใช้

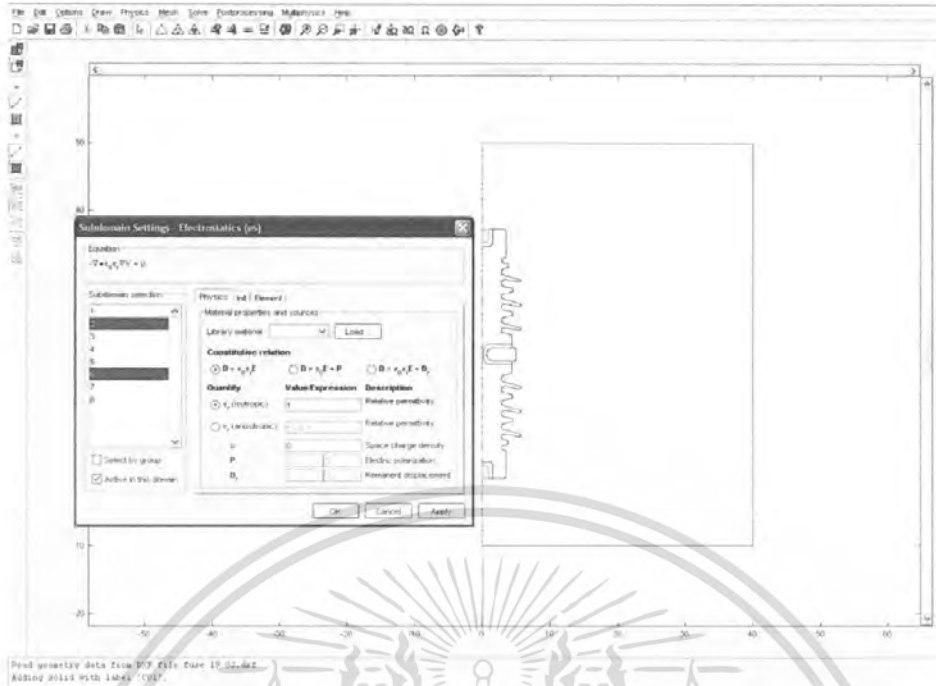


ภาพที่ ข.5 กำหนดให้ porcelain support มีคุณสมบัติเป็น porcelain



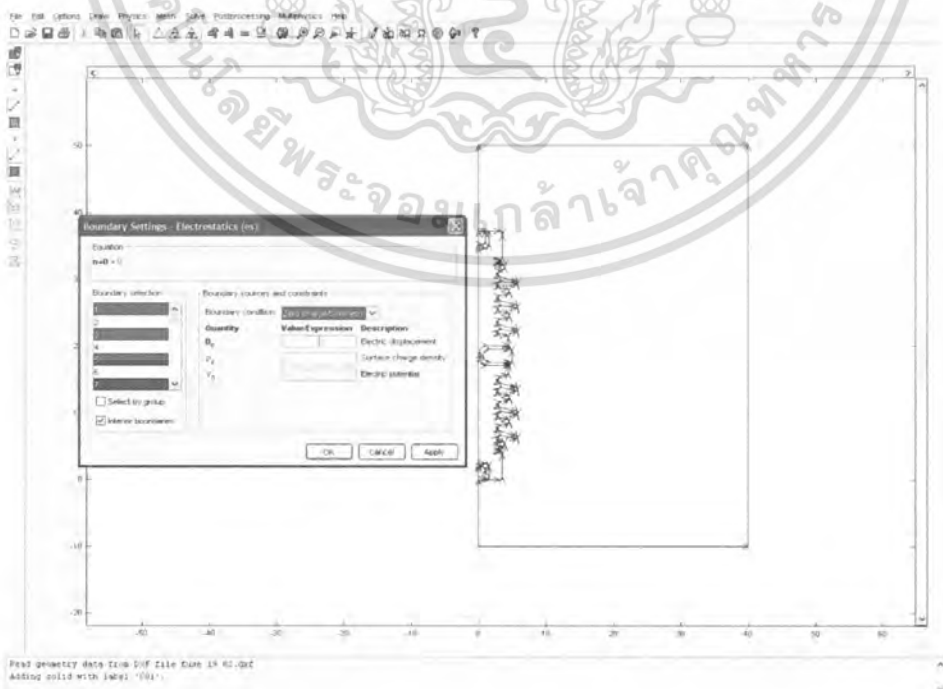
ภาพที่ ข.6 กำหนดให้ส่วนที่ยึด bracket และขั้วบน – ล่าง ให้มีคุณสมบัติเป็นซีเมนต์

เอกสารนี้เป็นเอกสารที่สงวนไว้สำหรับการใช้งานเพื่อการศึกษาเท่านั้น ไม่อนุญาตให้นำไปใช้ประโยชน์ด้านการค้า ไม่ว่ากรณีใดๆ ทั้งสิ้น อีกทั้งห้ามมิให้ตัดแปลงเนื้อหา และต้องอ้างอิงถึงเจ้าของเอกสารทุกครั้งที่มีการนำไปใช้

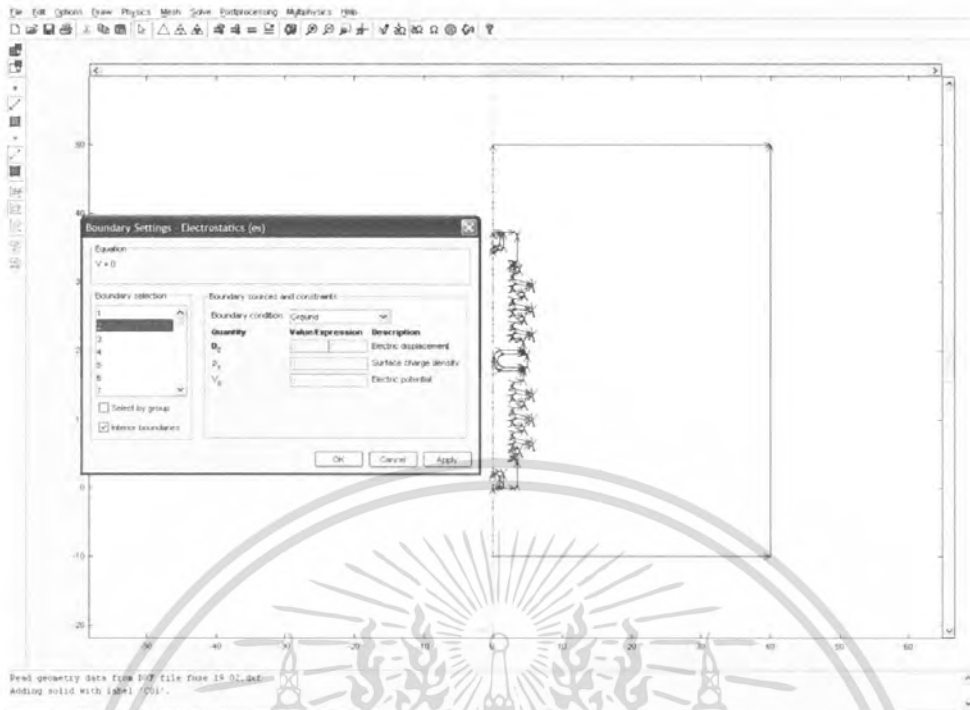


ภาพที่ ข.7 เป็นการกำหนดให้ส่วนขั้วด้านบนและด้านล่างให้มีคุณสมบัติเป็นหลัก

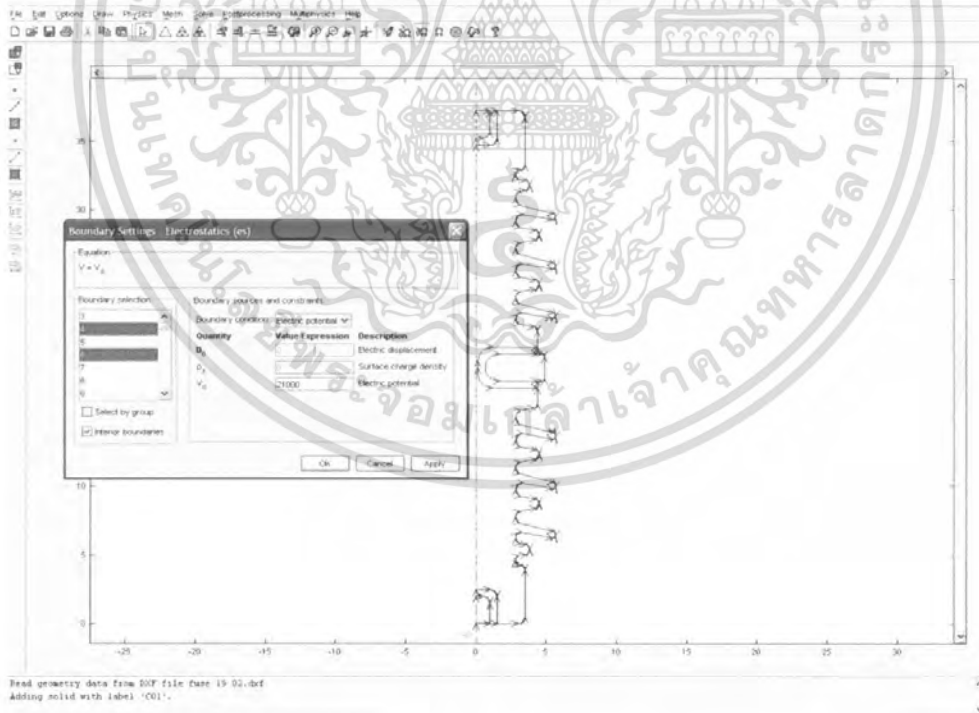
- 2.) ป้อนค่าแรงดันไฟฟ้าให้ครบเอาท์พิวส์โดยใช้ฟังก์ชัน Boundary setting กำหนดให้แรงดัน 100 โวลต์ ให้กับขั้วโลหะด้านบนและขั้วโลหะด้านล่าง มีค่า 100 โวลต์ และ 0 โวลต์ ที่ กราวด์ หรือ bracket ค่าที่จะต้องป้อนให้โปรแกรมมีทั้งหมด 3 ค่า



เอกสารนี้เป็นเอกสารที่สงวนลิขสิทธิ์ไว้สำหรับใช้ในการเรียนการสอนที่ห้องเรียนเท่านั้น ไม่อนุญาตให้นำไปใช้ประโยชน์ด้านการค้า
ภาพที่ ข.8 กำหนดค่าขอบเขตให้เป็น Zerocharge /Symmetry
 ไม่ว่ากรณีใดๆ ทั้งสิ้น อีกทั้งห้ามมิให้ตัดแปลงเนื้อหา และต้องอ้างอิงถึงเจ้าของเอกสารทุกครั้งที่มีการนำไปใช้



ภาพที่ ข.9 กำหนดค่าพื้นด้านล่างให้เป็นกราวด์



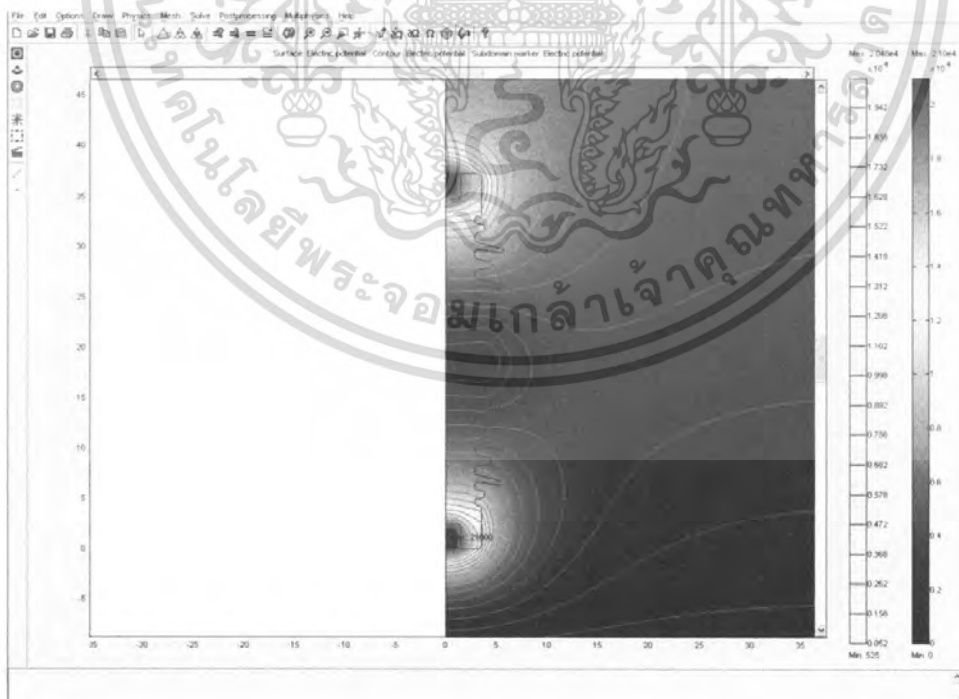
ภาพที่ ข.10 การป้อนแรงดันไฟฟ้า 21 kV ให้ส่วนหัวด้านบนและด้านล่าง

เอกสารนี้เป็นเอกสารที่สงวนไว้สำหรับการใช้งานเพื่อการศึกษาเท่านั้น ไม่อนุญาตให้นำไปใช้ประโยชน์ด้านการค้า ไม่ว่าจะกรณีใดๆ ทั้งสิ้น อีกทั้งห้ามมิให้ดัดแปลงเนื้อหา และต้องอ้างอิงถึงเจ้าของเอกสารทุกครั้งที่มีการนำไปใช้



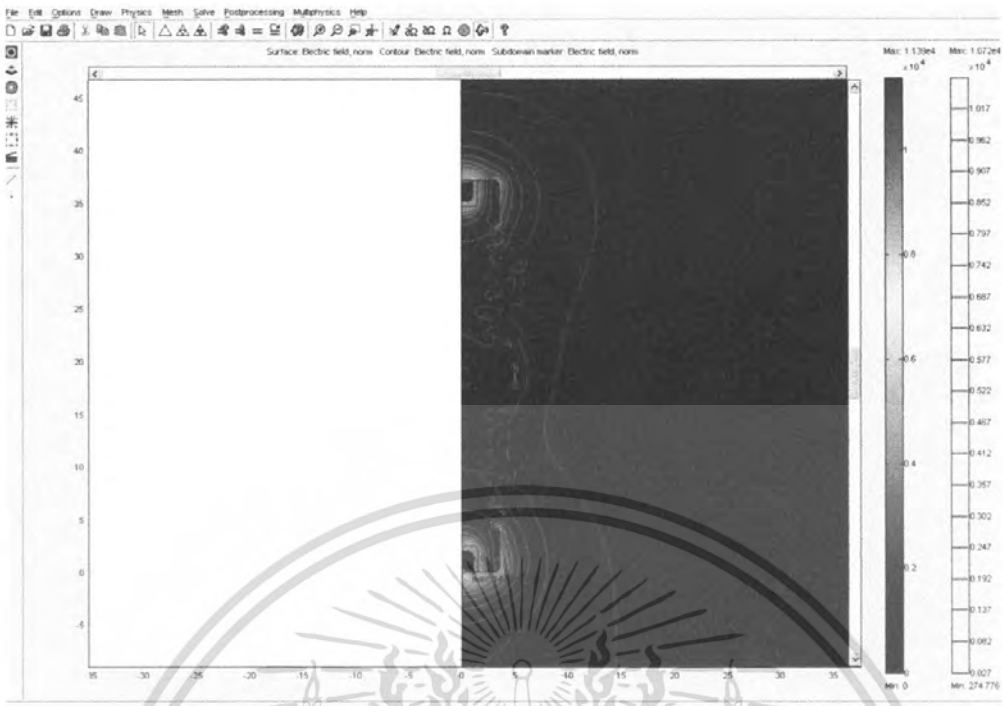
ภาพที่ ข.11 กำหนดค่าของ bracket ให้เป็นกราวด์

5.) ทำการประมวลผล โดยใช้ฟังก์ชัน Solve problem ตั้งแสดงในรูป



ภาพที่ ข.12 การแสดงผลการกระจายของศักย์ไฟฟ้า

เอกสารนี้เป็นเอกสารที่สงวนไว้สำหรับการใช้งานเพื่อการศึกษาเท่านั้น ไม่อนุญาตให้นำไปใช้ประโยชน์ด้านการค้า ไม่ว่าจะกรณีใดๆ ทั้งสิ้น อีกทั้งห้ามมิให้ตัดแปลงเนื้อหา และต้องอ้างอิงถึงเจ้าของเอกสารทุกครั้งที่มีการนำไปใช้



ภาพที่ ข.13 การแสดงผลการกระจายของสนามไฟฟ้า



เอกสารนี้เป็นเอกสารที่สงวนไว้สำหรับการใช้งานเพื่อการศึกษาเท่านั้น ไม่อนุญาตให้นำไปใช้ประโยชน์ด้านการค้า ไม่ว่าจะกรณีใดๆ ทั้งสิ้น อีกทั้งห้ามมิให้ดัดแปลงเนื้อหา และต้องอ้างอิงถึงเจ้าของเอกสารทุกครั้งที่มีการนำไปใช้